

MINISTERUL EDUCATIEI SI INVATAMINTULUI  
INSTITUTUL POLITEHNIC "TRAIAN VULIU" TIMISOARA  
FACULTATEA DE ELECTROTEHNICA

ING. CORNELIA ELENA IVAȘCU

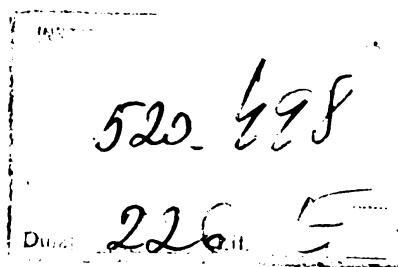
T E Z A   D E   D O C T O R A T

ESTIMAREA CARACTERISTICILOR STATICE ALE CONSUMATORILOR SI INFLUENTA LOR ASUPRA STABILITATII STATICE A SISTEMELOR ELECTROENERGETICE

CONDUCATOR STIINTIFIC:  
PROF.DR.ING. IOAN NOVAC

BIBLIOTECA CENTRALĂ  
UNIVERSITATEA "POLITEHNICA"  
TIMIȘOARA

- Timișoara 1987 -





CUPRINS

	pag.
<b>INTRODUCERE</b>	7
<b>Lista abrevierilor și a principalilor</b>	
<b>indici utilizati</b>	9
<b>Capitolul 1. CONSIDERATII GENERALE. PROBLEMA</b>	
<b>STABILITATII STATICE SI A REPRE-</b>	
<b>ZENTARII CARACTERISTICILOR STA-</b>	
<b>TICE ALE CONSUMATORILOR DINTR-UN</b>	
<b>SEE</b>	10
1.1. Noțiunea de stabilitate statică	10
1.2. Metode de analiză a stabilității	
statice prezентate în literatură	11
1.3. Reprezentarea sarcinii pentru	
studii de stabilitate statică	
a sistemelor electroenergetice	15
1.4. Deficiențele modului de conside-	
rare a sarcinii în calculele ac-	
tuale de stabilitate statică	26
1.5. Tema lucrării de doctorat	26
<b>Capitolul 2. CARACTERICILE STATICE ALE CONSU-</b>	
<b>MATORILOR INDIVIDUALI, RESPECTIV</b>	
<b>ALE CONSUMATORULUI COMPLEX ECHIVA-</b>	
<b>LENT</b>	29
2.1. Considerații generale privind	
sintetizarea caracteristicilor	
statice de putere funcție de	
tensiune	29
2.2. Caracteristicile statice de putere	
funcție de tensiune ale consumato-	
rilor individuali	30
2.2.1. Motoare asincrone	30
2.2.2. Motoare sincrone	41
2.2.3. Instalații de iluminat	42
2.2.4. Cuptoare electrice	42
2.2.5. Instalații de redresare	43
2.2.6. Consumatori casnici	43

2.2.7. Pierderi de putere în liniile rețelelor electrice	44
2.3. Caracteristicile statice de putere funcție de tensiune ale consumatorului complex echivalent	51
2.4. Observații și concluzii privind stabilitatea caracteristicilor statice de putere funcție de tensiune pentru consumatorul complex echivalent	60
2.5. Reprezentarea în SEE a consumatorilor neliniari la tensiuni apropiate de cea nominală	60
2.6. Concluzii	65
Capitolul 3 MODELAREA MATEMATICA EXACTA A CONSUMATORILOR LA Tensiuni APROPIATE DE CEA NOMINALA	
3.1. Problema urmărită, metode de calcul	67
3.2. Reprezentarea tensorială a comportamentului incremental al elementelor neliniare ale rețelei electrice.	68
3.3. Reprezentarea metricială a consumatorilor în studiile de stabilitate statică	70
3.3.1. Introducere	70
3.3.2. Reprezentarea motorului asincron	70
3.3.3. Reprezentarea sarcinilor passive	77
3.3.4. Reprezentarea consumatorului complex echivalent	77
3.4. Concluzii	79
Capitolul 4 STABILIREA SI INTERPRETAREA CARACTERISTICILOR STATICE ALR CONSUMATORULUI COMPLEX ECHIVALENT PE BAZA DE INCERCARI IN UNELE STATII S.E.E. NATIONAL	
4.1. Metoda de măsurare folosită și rezultate obținute	80
4.2. Interpretarea rezultatelor obținute din măsurările efectuate în sistemul energetic național, etapa I	89
4.3. Prelucrarea statistică a rezultatelor	

măsurătorilor	
4.3.1. Estimarea expresiei caracteristicilor statice de putere funcție de tensiune ale consumatorilor complecși echivalenți, pe baza caracteristicilor determinate experimental	92
4.3.2. Efectul reglant al puterii funcție de tensiune al consumatorului complex echivalent determinat pe baza caracteristicilor statice experimentale, (măsurători etapa I)	98
4.4. Caracteristici statice medii de putere funcție de tensiune ale consumatorului complex echivalent dintr-un sistem electroenergetic	100
4.4.1. Caracteristici statice medii și efectul reglant al puterii, obținut din măsurători (etapa a II-a)	100
4.4.2. Analiza rezultatelor obținute	104
4.5. Concluzii	107
<b>Capitolul 5. ANALIZA STABILITATII STATICE A SISTEMELOR ELECTROENERGETICE CONSIDERIND CONSUMATORUL COMPLEX ECHIVALENT PRIN CARACTERISTICILE SALE STATICE ALE PUTERII FUNCTIE DE TENSIUNE</b>	110
5.1. Criteriul <sup>dQ</sup> <sub>dU</sub> de apreciere a stabilității statice într-un sistem electroenergetic simplificat, în cazul considerării caracteristicilor statice ale consumatorului complex echivalent	110
5.1.1. Relații de calcul	110
5.1.2. Aprecierea erorii introduse prin considerarea unor caracteristici	

simplificate în locul caracteristicilor statice reale în calculul derivatei $\frac{dQ}{dU}$	113
5.1.3.Calculul tensiunii critice și a rezervei de stabilitate statică având în vedere caracteristicile de putere funcție de tensiune ale consumatorilor	119
5.2.Calculul stabilității statice a zonei din Sud-Vest a S.E.N. ținând cont de influența sarcinii	122
5.2.1.Metodologia de cercetare	122
5.2.2.Sistemul electroenergetic considerat în calcule	124
5.2.3.Influența caracteristicilor consumatorului complex echivalent asupra stabilității statice a sistemului electroenergetic considerat.Rezultate obținute	135
5.2.3.1.Probleme generale	135
5.2.3.2.Totii consumatorii din SEE reprezentați prin același fel de caracteristici statice de putere funcție de tensiune măsurate sau simplificate	139
5.2.3.3.Influența modului de reprezentare a consumatorului de pe bara Mintia	146
5.2.3.4.Influența reprezentării consumatorului de pe bara Rovinari	148
5.2.3.5.Influența reprezentării consumatorului de pe bara Timișoara	150
5.2.3.6.Influența reprezentării consumatorului de pe bara Slătina	153
5.2.3.7.Influența considerării nodului de echilibrare	157

5.2.4. Concluzii privind influența reprezentării consumatorului complex echivalent asupra calculelor de stabilitate statică într-un S.E.F.	157
5.3. Concluzii	159
<b>Capitolul 6 CONCLUZII GENERALE</b>	161
6.1. Conținutul lucrării	161
6.2. Concluzii în urma rezultatelor teoretice și experimentale	161
6.3. Contribuții teoretice și experimentale	164
6.4. Perspective de cercetare în viitor	165
<b>ANEXE</b>	166
Anexa A-1 Parametrii motoarelor electrice asincrone trifazate de uz general de la 0,06 la 132 kW	166
Anexa A-2 Aproximarea unei funcții printr-un polinom	167
Anexa A-3 Estimarea parametrilor	169
Anexa A-4 Programul de calcul CSPU (program pentru estimarea caracteristicilor statice de putere funcție de tensiune)	173
Anexa A-5 Programul de calcul REZSTATIC (program pentru analiza rezervei de stabilitate statică în funcție de modul de reprezentare al consumatorilor).	174
<b>BIBLIOGRAFIE</b>	175



## INTRODUCERE

Dezvoltarea sistemelor electrice interconectate, foarte rapidă în ultimul timp, a condus la mărirea siguranței în alimentarea cu energie electrică a consumatorilor prin posibilitatea de utilizare a rezervelor de putere în timpul incidentelor, la optimizarea funcționării sistemelor electrice prin folosirea judecătășă a curbelor de sarcină, dar sub alt aspect, s-a creat posibilitatea apariției unor avarii de sistem, dintre care cele mai grave sunt pierderile de stabilitate.

Proiectarea și exploatarea corectă a actualelor sisteme electroenergetice mari și complexe impun tot mai pregnant urmărirea problemelor de stabilitate a sistemului, probleme care dacă nu sunt judecătășă soluționate pot duce la avarii grave și de durată, /47/, /55/, /99/ .

Din date statistice reiese că avariile datorită pierderii stabilității statice pot fi relativ destul de frecvente; astfel în /125/ se arată că într-o perioadă de șapte ani s-au constatat, la un sistem electric urmărit, 44 de avarii de pierdere a stabilității, dintre care 33 de cazuri au fost de pierdere a stabilității tranzitorii și 11 cazuri de pierdere a stabilității statice. În etapa 1962-1966 au avut loc o serie de avarii în sistemul energetic național al R.S.R., avarii a căror extindere s-a datorat epuizării rezervei de stabilitate statică, /164/.

Dezvoltarea sistemelor electroenergetice naționale, crescerea puterii unitare a grupurilor generatoare, extinderea liniilor de transport de tensiune foarte înaltă, etc. ridică probleme noi privind calitatea energiei livrate și fiabilitatea alimentării consumatorilor.

Datorită acestor modificări structurale esențiale, apar noi aspecte și în domeniul STS care se cer cercetare, iar metodele de calcul existente trebuie verificate și readaptate noilor condiții, /229/.

Studiul stabilității statice a sistemelor electroenergetice este important și actual pentru că:

a) Datorită necesității de a se funcționa în regimuri ca-

pacitive cu generațoarele recordate la liniile de foarte înaltă tensiune. situații de funcționare în apropierea limitei de stabilitate statică devin foarte frecvente.

b) Datorită creșterii valorilor relative ale reactanțelor sincrone la generațoarele cu puteri unitare mari, tipurile de rețele în care încărcarea limită rezultă din condiții de stabilitate statică sunt mult mai numeroase în ultimii ani.

c) După orice avarie, regimul dinamic ce însoțește eliminarea defectelor, trebuie în final să tindă spre un regim static stabil.

Problema stabilității statice are o importanță deosebită, pentru că în cazul în care un regim staționar prezintă într-o anumită zonă a sistemului o rezervă de stabilitate statică suficient de mare, asigurarea stabilității tranziitorii în zona respectivă a sistemului nu mai necesită, în general, condiții speciale, /151/. În această situație, este foarte probabil ca generațoarele apropiate de punctul din sistem în care a apărut defectul să fie reprise în sincronism după reacționare și regimul tranziitoriu să se stabilizeze fără să fi necesare debucuri în sistem sau adoptarea altor măsuri speciale.

Menținerea funcționării stabile a sistemului electroenergetic asigură continuitatea în alimentare cu energie electrică a consumatorilor, deziderat major în preocupările cercetătorilor, a cadrelor de specialitate, cît și a tuturor energeticienilor care se ocupă de exploatarea unui sistem electroenergetic.

In acest context, tema tezei de doctorat prezintă un deosebit interes atât din punct de vedere teoretic cît și aplicativ.

Rezultatele obținute în teza de doctorat elucidă unele aspecte legate de întocmirea modelelor matematice ale consumatorului complex echivalent dintr-un SEE și a influenței caracteristicilor statice ale acestuia asupra stabilității statice a sistemului electroenergetic, iar prin contribuțiile originale deschid noi perspective de dezvoltare a cercetătorilor în acest domeniu.

Teza a fost elaborată sub îndrumarea permanentă a tov. prof.dr.ing. Novac Ioan, căruia autorul îi mulțumește călduroasă pentru indicațiile prețioase primite.

Lista abrevierilor și a principaliilor indici utilizati

a) abrevieri

AT - autotransformator  
CHE - centrală hidroelectrică; CTE - centrală termoelectrică  
CA - calculator analogic; CN - calculator numeric  
GS - generator sincron; HG - hidrogenerator  
LE - linie electrică ; LEA - linie electrică aeriană  
LES - linie electrică subterană  
MAS - motor asincron ; MS - motor sincron  
MM - model matematic  
RAT - regulator automat de tensiune  
RAV - regulator automat de viteză  
RE - rețea electrică  
SEE - sistem electroenergetic  
SEN - sistem electroenergetic național  
SRAE - sistem de reglare automată a excitării  
SRAV - sistem de reglare automată a vitezei (turării)  
STS - stabilitate statică  
TE - transformator electric; TG - turbogenerator  
t.e.m. - tensiune electromotoare; tm.m. - tensiune magnetomotoare  
V.P. - valori proprii  
u.a. - unități absolute; u.r. - unități relative  
b) principaliii indici  
"s" - pentru sarcină (consumator)  
"S" - pentru stator  
"R" - pentru rotor  
"n" - pentru mărime nominală  
"b" - pentru mărime de bază  
" $\sigma$ " - pentru dispersie  
"f" - pentru mărime de fază  
"N" - pentru mărimi în regim normal  
"M.as" - pentru mărimi referitoare la motor asincron  
"Ms" - pentru mărimi referitoare la motor sincron  
"il" - pentru iluminat  
"cas" - pentru consumator casnic  
"Rd" - pentru redresoare  
"CE" - pentru cupluri electrice  
"r" - pentru unități relative

## Capitolul I

### CÖNSIDERATII GENERALE. PROBLEMA STABILITATII STATICE SI A REPREZENTARII CARACTERISTICILOR STATICE ALE CONSUMATORILOR DINTR-UN SEE

#### 1.1. Notiunea de stabilitate statică

Prin stabilitatea statică a sistemelor electroenergetice se înțelege menținerea în sincronism a generatoarelor răcoridate la sistem cînd acest sistem este supus uneia sau mai multor perturbații mici.

Conform definițiilor adoptate de CIGRE 1966, /41/, un sistem se spune că este în regim de stabilitate statică dacă, în urma unei "mici" perturbații oarecare, își găsește o stare de regim permanent de funcționare identic cu regimul inițial sau foarte apropiat de acesta. Se numește "mică" perturbație, o perturbație pentru care liniarizarea ecuațiilor este practic justificată.

Din această definiție rezultă că se poate folosi ca metodă generală de studiu a stabilității statice a sistemelor electroenergetice metoda oscilațiilor mici, /47/, /125/, /128/, /159/, /177/ .

Studierea stabilității statice a sistemelor electroenergetice prezintă dificultăți din cauza numeroaselor categorii de

regimuri staționare posibile (normale, de vîrf de sarcină, de gol de sarcină, de după avarie, etc), a multiplelor posibilități de înrăutățire a regimurilor inițiale în vederea atingerii regimurilor critice și a complexității sistemului electroenergetic.

Pentru efectuarea unor studii mai complete a stabilității statice a sistemelor electroenergetice trebuie avute în vedere și influențele asupra sistemului, a caracteristicilor statice ale sarcinii alimentată din sistem /56/, /61/, /84/, /103/, /117/, /137/, /185/, /225/.

Conform /226/, caracteristica statică este caracteristica stabilității în ipoteza că pentru fiecare punct al caracteristicii mașina se găsește în regimul permanent sau staționar de funcționare.

Prin caracteristici statice a unui consumator se înțelege dependența între puterea activă respectiv puterea reactivă a consumatorului și tensiunea de alimentare, în regim de funcționare permanent sau staționar, în condițiile în care frecvența de alimentare a sistemului se consideră constantă. Ipoteza neglijării influenței frecvenței tensiunii de alimentare asupra puterii consumate este totdeauna valabilă în regim staționar, /78/, /86/, /126/.

Literatura de specialitate înregistrează în ultimii ani o intensificare a preocupărilor privind determinarea caracteristicilor de putere funcție de tensiune ale consumatorilor și a influenței acestora asupra limitei stabilității statice a SEE /9/, /16/, /40/, /77/, /93/, /119/, /123/, /173/, /175/, /206/. De astfel de probleme în țara noastră s-au ocupat colective de la ISPE /86/, DSE /160/, și ICEMENERG /180/.

### 1.2. Metode de analiză a stabilității statice prezente în literatură

Problema stabilității sistemelor electroenergetice a început să se pună în jurul anului 1925 /54/ cînd s-au constatat primele fenomene de instabilitate pe liniile de înaltă tensiune.

Stabilitatea statică determină o putere maximă în condițiile în care puterea este mărită lent, lăsînd excitația generatorului neschimbată sau reglînd-o pentru a menține constantă tensiunea la borne.

Fenomenul de pierdere a stabilității statice apare într-o rețea în momentul în care există un deficit de putere activă și reactivă și se poate recunoaște după nivelul scăzut al tensiunii.

Rezerva de stabilitate statică a sistemului electro-energetic reprezintă depărtarea față de situația limită de stabilitate statică ținând seama de condițiile de înrăutățire a regimului.

Rezerva de stabilitate, în funcție de putere,  $r_p$ , respectiv în funcție de tensiune,  $r_u$  se definesc /47/ prin relațiile (1.1) și (1.2) :

$$r_p = \frac{P_{\max} - P_{\text{norm}}}{P_{\text{norm}}} 100\% \quad (1.1)$$

$$r_u = \frac{U_{\text{norm}} - U_{\text{crit}}}{U_{\text{norm}}} 100\% \quad (1.2)$$

Se admite:

$$r_p = 15\% \text{ sau } r_u = 10\% \text{ pentru regimuri normale}$$

$$r_p = 8\% \text{ sau } r_u = 5\% \text{ pentru regimuri postavarie.}$$

În aceste relații s-au notat:  $r_p$  - coeficientul de rezervă a stabilității statice în funcție de putere;  $r_u$  - coeficientul de rezervă al stabilității statice în funcție de tensiune;  $P_{\max}$  - puterea activă maximă ce poate fi transportată pe linie, pe un element echivalent, pe grup, etc.;  $P_{\text{norm}}$  - puterea activă transportată în regim normal pe linie, pe un element echivalent, etc.;  $U_{\text{norm}}$  - tensiunea în regim normal;  $U_{\text{cr}}$  - tensiunea critică din punctul de vedere al stabilității statice.

Pentru studiul stabilității statice se pot considera fie mici perturbări aplicate sistemului, fie variații mici ale parametrilor regimului sistemului în starea lui inițială /55/ ambele căi conducind la aceleași rezultate.

Studierea stabilității statice a sistemelor complexe prin calcule cu metoda micilor oscilații necesită un mare volum de muncă, deși se admit unele simplificări, care evident conduc la îndepărțarea de situația reală /125/, /54/. Rezultatele vor fi afectate de erori și mai mari în cazul în care se adoptă pentru calcul metode aproximative, așa -

numitele criterii practice ( $\frac{dP}{d\delta}$ ,  $\frac{dP}{dU}$ ,  $\frac{dQ}{dU}$ ,  $\frac{dP}{dI}$ ,  $\frac{dE}{dU}$ , etc.), care însă sunt mult mai comod de aplicat, conducind la calcule mai simple /128/, /184/.

Adoptarea căii de rezolvare a problemei studiului stabilității statice a unui SEE depinde de schema acestuia, de gradul de precizie impus rezultatelor, de scopul studiului. Evident, costul studiului este direct proporțional cu timpul de calcul și este de dorit un cost cât mai mic, fără a prejudicia însă rezultatele obținute. În acest sens, se speleză la diverse metode, prezentate pe larg în literatură și redate succint în fig.1.1.

Pentru efectuarea unor studii mai complete a stabilității statice a sistemului electroenergetic trebuie avute în vedere influențele asupra sistemului și regulatoarelor de tensiune, /5/, /57/, /105/, /201/, /222/ și a caracteristicii statice de putere funcție de tensiune a sarcinii alimentată din sistem, /9/, /56/, /84/, /117/, /159/, /206/, /218/.

Existența calculatoarelor electronice au îmbunătățit în ultimii ani metodele clasice utilizate în studiile de stabilitate /17/, /63/, /80/, /105/, /112/, /225/, /230/, permitînd abordarea problemelor complexe, altfel mult simplificate prin ipotezele de calcul admise.

Folosirea calculatoarelor numerice la studiul stabilității statice permite pe de o parte considerarea unui număr destul de mare de generatoare din sistem (numărul lor fiind în funcție de capacitatea memoriei calculatorului), pe de altă parte permit introducerea prin ecuații suplimentare, în calculele de stabilitate, a efectului regulatoarelor automate ale turbo-generatoarelor (RAT) /130/, /225/. Consumatorul complex recordat în sistem se consideră în mod simplificat, de tip putere constantă, sau impedanță constantă, calculele fiind, evident, afectate de erori (v. cap.1.3).

În literatura de specialitate, începînd din anul 1960 au apărut diverse publicații care au prezentat metodele de calcul și stabilității sistemelor electroenergetice cu ajutorul calculatoarelor numerice /25/, /105/, /106/, /107/, /112/, /194/.

Aprecierea stabilității statice a SEE complexe este condiționată de localizarea valorilor proprii ale matricii de stare, corespunzătoare modelului matematic linierizat ce descrie com-

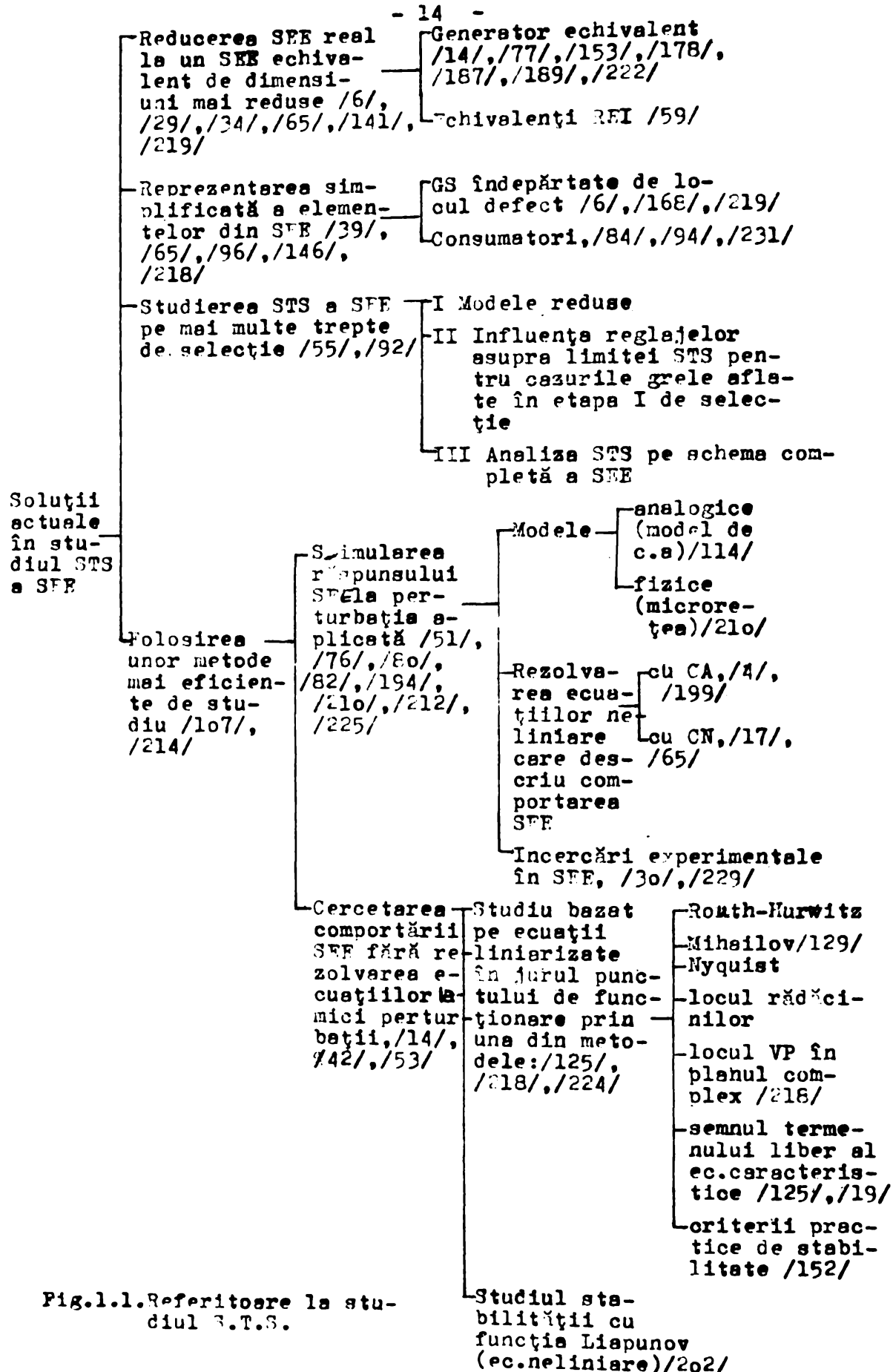


Fig.1.1.Referitoare la studiul S.T.S.

portarea SEE la mici perturbații / 184 /. Rezolvarea acestei probleme întâmpină dificultăți serioase legate de calculul valorilor proprii cît și de dimensiunea foarte mare a matricii de stare. Atingerea regimului permanent este condiționată de localizarea tuturor valorilor proprii ale matricii de stare  $[A]$  în semiplanul negativ al planului complex; se consideră forma generală a modelului matematic liniarizat al SEE complex sub formă (1.3), /149/, /184/, /218/

$$[\dot{X}] = [A][X] , \quad (1.3)$$

în care:  $[X]$  este vectorul mărimilor de stare, de dimensiune  $N$ ,  
 $[\dot{X}]$  este vectorul derivatelor mărimilor de stare,  
 $[A]$  este matricea de stare, de dimensiune  $N \times N$ .

Un studiu de stabilitate statică a unui SEE presupune rezolvarea următoarelor probleme:

- precizează dacă SEE este stabil sau nu ;
- calculul rezervei de stabilitate;
- redarea variației în timp a mărimilor de stare la apariția unei perturbații;
- influențele produse asupra stabilității statice prin modificarea unor parametri din SEE.

### 1.3. Reprezentarea sarcinii pentru studii de stabilitate statică a sistemelor electroenergetice

Variațiile sarcinii active și reactive în funcție de variația tensiunii de alimentare (caracteristicile statice ale sarcinii),  $P_s = f_1(U)$ ,  $Q_s = f_2(U)$ , influențează în mare măsură stabilitatea statică a SEE, / 54 /, / 99 /, / 117 /.

O formă generală a ecuațiilor caracteristicilor statice de putere funcție de tensiune, este:

$$\begin{aligned} P_s &= K_1 U^2 + K_2 U + K_3 , \\ Q_s &= K_4 U^2 + K_5 U + K_6 . \end{aligned} \quad (1.4)$$

În funcție de tipul sarcinii, coeficienții  $K_1 \dots K_6$  pot avea diferite valori / 54 /, / 99 /. În relațiile de mai sus,  $P_s$  și  $Q_s$  reprezintă puterea activă și reactivă a consumatorului (sarcinii),  $U$  tensiunea de alimentare a acestuia, iar  $K_1 \dots K_6$  sunt constante dependente de caracteristicile constructive ale consumatorilor.

Pe lângă forma analitică (1.4), aceste caracteristici

pot fi exprimate și grafic.

Consumatorii racordați la sistemul electroenergetic sunt formați dintr-un număr mare de sarcini (receptoare), care pot fi clasificați din diferite puncte de vedere /56/, /99/, /116/, /117/, /118/, /125/, /128/, /188/, dar pentru studiile de stabilitate statică interesează clasificarea după caracteristica lor statică de putere funcție de tensiune, /99/, /118/, vezi tabelul 1.1.

Din acest punct de vedere se deosebesc consumatori: motoare asincrone, motoare sincrone, iluminat, casnic, cuptoare cu rezistență, redresoare. Se poate vorbi și de un consumator complex echivalent, a cărui caracteristici se obțin din compunerea caracteristicilor sarcinilor componente ale consumatorului, /182/. Caracterul consumatorului complex echivalent este cunoscut numai cu aproximare și există variații ale caracteristicii consumatorului complex, care pot apărea de la zi la zi sau de la oră la oră. Din acest motiv în /10/ și /99/ se susține că dacă nu se dispune de date exacte, metoda de a sintetiza caracteristicile totale putere-tensiune pe baza unei distribuții approximative presupusă, nu ar fi mulțumitoare.

TABELUL nr. 1.1

Nr. crt.	Caracteristici statice	Consumatorul	Obs.
1.	$P_s = K_3$ $Q_s = K_4 U^2 + K_5 \frac{1}{U^2}$	Motor asincron	
2.	$P_s = K_3$ $Q_s = K_4 U^2 + K_5 U$	Motor sincron	
3.	$P_s = K_1 U^{1,6}$ $Q_s = 0$	Iluminat	
4.	$P_s = K_1 U^2$ $Q_s = 0$	Consumatori rezis- tivi (cuptoare elec- trice, casnici, redre- sori cu Hg, etc)	

Tabelul nr.1.1 (continuare)

5.	$P_s = K_3 U^2$ $Q_s = K_4 U^2$	Pierderi de putere	Expresia acestor caracte- ristici depinde de configurația rețelei și a consumatorului com- plex alimentat
----	------------------------------------	-----------------------	---

Componența consumatorului complex alimentat din sistemul electroenergetic, indicată de diversi autori, se poate vedea din datele prezentate în tabelul 1.2 (pag. 18).

Determinarea expresiilor caracteristicilor statice de putere funcție de tensiune ale consumatorului complex echivalent se poate realiza fie prin sintetizarea caracteristicilor statice ale componentelor consumatorului, fie prin identificarea expresiei pe baza prelucrării rezultatelor experimentale /46/, /119/, /120/. Prima posibilitate, deși mai accesibilă, în general nu conduce la rezultate satisfăcătoare decât în situațiile în care se cunoaște exact structura consumatorului complex echivalent și, evident, dacă nu se fac multe ipoteze simplificatoare în reprezentarea caracteristicii statice a consumatorilor individuali. Din această cauză și atunci când nu sunt rezultate experimentale să au propus și diferite modele matematice pentru consumatorul complex echivalent ca de exemplu în /94/ se propune reprezentarea acestuia prin trei elemente echivalente: motor asincron, motor sincron și rezistență, precizindu-se că acest model conduce la rezultate apropiate de cele reale.

Determinarea experimentală a caracteristicilor statice de putere, mai dificil de realizat, oferă rezultate mult mai precise și deci de incredere. Expresiile caracteristicilor se obțin în acest caz prin identificarea coeficienților statistic, cu metoda celor mai mici pătrate.

Cu privire la determinările experimentale se conturează două metode:

- metoda măsurătorilor "directe" în SEE, prin modificarea prizei la transformatoarele din stațiile de transformare /21/, /22/, /72/, /160/, /172/, /213/, /229/, metodă folosită și în prezentă lucrare;

- metoda măsurătorilor "pasive" în SEE, care conduce la stabilirea caracteristicilor statice de putere funcție de ten-

5.20.498  
Z.26 E

TABELUL nr. 1.2.

Date privind structurile admise pentru consumatorul complex echivalent

Nr. crt.	Tipul Bi-blegraf.	Motor asincr.	Motor sincr.	Illum. + casn.	Cupt. el.	Re-dre-soare	Pierderi de put. pe transf. și lini	Total	Obs.
1.	/201,47/	I	30	10	6,47+ 8,53	15	20	10	100
2.		II	50	10	8,62+ 11,38	5	5	10	100
3.		III	50	10	4,31+ 5,69	10	10	10	100
4.		IV	70	10	4,31+ 5,69	3	2	5	100
5.	/199/	I	60	20	20	-	-	-	100
6.		II	60	15	25	-	-	-	100
7.		III	50	25	25	-	-	-	100
8.	/125/		50	9	21		11	9	100
9.	/128/		55	10	4		31	-	100
10.	/130/		60	10	30	-	-	-	100
11.	/176/	I	60	-	20	15	5	-	100
12.		II	20	-	30	10	40	-	100
13.	/184/	I	51		30	3	8	8	100 cu sarcină urbană
14.		II	53		18	8	13	8	100 cu sarcină industrială
15.	/210/		50	10	23		10	7	100

siune, respectiv a efectului reglant al sarcinii funcție de tensiune, fără intervenția în regimul de alimentare cu energie electrică a consumatorilor, bazată pe înregistrarea fluctuațiilor de tensiune și putere, inerente în funcționarea SEE și prelucrarea acestor înregistrări. Evident această cale presupune existența unor aparate de măsură înregistratoare, este de durată mai mare și implică calcule multe față de metoda măsurătorilor directe. În literatură /93/, se precizează că prin această metodă se obțin rezultate comparabile cu cele mai precise rezultate cunoscute.

Măsurătorile în sistem în vederea stabilirii caracteristicii statice de putere funcție de tensiune pentru un consumator complex echivalent prezintă mult interes pentru că în practică, în cazul sarcinilor complexe, este destul de complicată problema determinării caracteristicilor statice de sarcină, întrucât răspunsurile sarcinilor la variația de tensiune nu se coreleză după aspectări cu compoziția cunoasătă a sarcinilor /9/, /137/, /192/.

Încercări experimentale pentru obținerea "pe viu" în instalațiile electroenergetice în funcțiune, a caracteristicilor statice de putere pentru consumatorii complecși echivalenți, sunt relativ puține și cu atit mai puține sunt cele indicate în literatură. Dintre acestea se pot aminti rezultatele din /9/, /21/, /72/, /73/, /74/, /104/, /137/, /158/, /173/, /192/, iar pentru cîteva platforme industriale din țara noastră în /86/, /120/, /122/, /160/.

Se poate aprecia că rezultatele sunt incomplete, referindu-se numai la anumite zone din SE, nu totdeauna cele mai reprezentative. De altfel, alegerea zonei este discutabilă, iar aprecieri cît mai apropiate de realitate se pot face numai pe baza unui bogat material experimental care să permită generalizări.

De fapt, aceste caracteristici statice putere-tensiune nu pot fi determinate pentru întreg sistemul electroenergetic, în ansamblu, pentru că este foarte dificilă o scădere simultană și identică a tensiunii în toate nodurile rețelei. Din această cauză, de obicei, caracteristicile statice de putere se determină pentru diferite noduri importante ale sistemului, în care tensiunea poate fi reglată relativ ușor (de ex. barele de la tensiunea generatoarelor în centralele electrice de putere mare, sau barele pe care sunt legate transformatoare reglabile sub sarcină, etc.).

Din cauza complexității introduse în calcule prin considerarea caracteristicilor statice de putere, cît și datorită cunoașterii lor incomplete, în majoritatea lucrărilor și mai ales în cele clasice ele se aproximează, cu toate că în anumite situații prin aceasta se pot introduce erori destul de mari.

Atunci cînd nu se dispune de caracteristici exacte, teoretice sau ridicate experimental, se reprezintă sarcinile considerindu-se pentru acestea legile de variație apropriate de variația din situația reală, /54/, /99/, /130/, ca de exemplu  $P_s = K_p U^x$ ,

$Q_s = K_q U^\alpha$ , în funcție de valoarea adoptată pentru " $\alpha$ " rezultând metodele de reprezentare indicate în tabelul 1.3.

TABELUL nr. 1.3.

Forme de exprimare simplificată a caracteristicilor de sarcină pentru consumatorul complex echivalent			
Componența	$P_s$	$Q_s$	Comentarii
Ipoțeza			
Impedanță constantă ( $\alpha=2$ )	$P_s = K_p U^2$	$Q_s = K_q U^2$	<ul style="list-style-type: none"> <li>-metoda simplă</li> <li>-permite includerea consumatorului în matricea de sistem rezultând simplificarea calculelor de regimuri</li> <li>-dezvantaj: introduce erori în rezultatul calculelor</li> <li>-în calcule de stabilitate statică conduce la rezultate prea optimiste /99/</li> </ul>
Curent activ și reactiv constant ( $\alpha = 1$ )	$P_s = K_p U$	$Q_s = K_q U$	<ul style="list-style-type: none"> <li>-în general acceptată în studii de stabilitate statică</li> <li>-la o scădere a tensiunii cu maximum 10%, ipoteza curentului constant este aproape exactă în ceea ce privește puterea activă și ușor pessimistă în privința puterii reactive /99/</li> </ul>
Putere constantă ( $\alpha = 0$ )	$P_s = K_p$	$Q_s = K_q$	<ul style="list-style-type: none"> <li>-folosită în studii de stabilitate statică</li> <li>-rezultatele obținute sunt acoperitoare, ușor pessimiste /56/</li> </ul>
Caracteristici normale " (teoretice)	$P_s = K_p$	$Q_s = K_q U^2$	<ul style="list-style-type: none"> <li>-forma cea mai folosită pentru reprezentarea sarcinii în studiile de stabilitate statică</li> <li>-conduce la rezultate ușor pessimiste</li> </ul>

Dacă se urmărește un calcul exact al stabilității statice a sistemului electroenergetic ar trebui să se considere sarcinile racordate la acesta, prin caracteristicile lor statice de putere

obținute prin măsurători.

Trebuie menționat însă că apar o serie de dificultăți în utilizarea caracteristicilor statice reale ale consumatorului complex echivalent, pe de o parte pentru că calculele de stabilitate se complică, iar pe de altă parte aceste caracteristici, care în general nu se cunosc, depind de o serie de factori printre care numărul și tipul consumatorilor individuali care-l compun și care se modifică în diferite perioade, uneori chiar în intervalul unei zile.

Pretențiile care se ridică în ultimul timp referitor la calcule de stabilitate statică impun însă considerarea consumatorului printr-o reprezentare care să fie cât mai apropiată de cea reală. Dintre preocupările mai semnificative indicate în literatura din acest domeniu, care au propus diferite moduri de exprimare a caracteristicilor statice pentru consumatorul complex echivalent, s-au redat concentrat în tabelul 1.4. Cîteva forme pentru exprimarea caracteristicilor statice putere funcție de tensiune ale consumatorului complex echivalent cu scopul de a servi ca bază de comparație pentru rezultatele din prezentă lucrare.

Se observă că există o mare diversitate de reprezentare a caracteristicilor statice de putere în funcție de tensiune pentru consumatorul complex.

TABELUL nr.1.4

Forme de exprimare a caracteristicilor consumatorului complex					
Nr. crt.	Compozită nentă (anul)	P	Q	Obs. (spre- cieri)	Biblio- grafie
1	2	3	4	5	6
1.	SUA (1972)	$P = P_0 \left( \frac{U}{U_0} \right)^a U$	$Q = Q_0 \left( \frac{U}{U_0} \right)^b U$		/21/
2.	SUA (1972)	$P = K_p U^a$	$Q = K_q U^b$		/50/
		$a = 0,5, 1, 2$	$b = 1 \dots 4$		
3.	SUA (1977)	$P = \frac{dP}{dU} \Big _{\omega=ct} \cdot \Delta U + \frac{dP}{d\omega} \Big _{U=ct} \cdot \Delta \omega$	$Q = \frac{dQ}{dU} \Big _{\omega=ct} \cdot \Delta U + \frac{dQ}{d\omega} \Big _{U=ct} \cdot \Delta \omega$		/176/

TABELUL nr. 1.4 (cont.)

1	2	3	4	5	6
4. RFG (1969)	$P = P_N \left( \frac{U}{U_n} \right)^p$ sau $P = A_0 + A_1 \left( \frac{U}{U_n} \right)^{a_1} +$ $+ A_2 \left( \frac{U}{U_n} \right)^{a_2}$	$Q = Q_N \left( \frac{U}{U_n} \right)^q$ $Q = B_0 + B_1 \left( \frac{U}{U_n} \right)^{b_1} +$ $+ B_2 \left( \frac{U}{U_n} \right)^{b_2}$	$p = \frac{\Delta P}{\Delta U}$ $q = \frac{\Delta Q}{\Delta U}$	/78/	
5. URSS (1968)	$P_r = K_1 + K_2 U_r +$ $+ K_3 U_r^2$	$Q_r = K_4 + K_5 U_r +$ $+ K_6 U_r^2$	Coeficien- ții se de- termină statistic cu metoda celor mai mici pătre- te	/133/	
6. URSS (1973)	$P = P_{2n} \left( \frac{1 - \frac{S_n}{k_i}}{1 - S_n} \right)^{\beta+1}$ $+ P_{on} k_i^2 + \Delta P_m \cdot \frac{1}{k_i}$ $+ \Delta P_{on} k_i^{\alpha_2} + P_{3n} k_i +$ $+ P_{sn}$	$Q = Q_{on} k_i^4 +$ $+ \Delta Q_{ln} \frac{1}{k_i^{\alpha_1}} +$ $+ \Delta Q_{on} k_i^{\alpha_2} -$ $- Q_{lsn} \left( \frac{k_i^4 - b^2}{1 - b} \right)^{0,5} +$ $+ Q_{2sn} k_i^3$	Pentru deter- minarea coefi- cientilor co- respunzător u- nui nod de sar- cină se elabo- reză algorit- mul și progra- mul de calcul bazat pe meto- da celor mai mici pătrate	/94/	
7. RGR (1967) și (1977)	$P_r = K_2 U_r$ $P_r = 0,83 +$ $+ 0,17 U_r$	$Q = K_3 + K_4 U_r^2$ $= -0,41 +$ $+ 0,44 \frac{1}{U^2} +$ $+ 1,03 U_r^2$	(1967)	Pentru consu- mator de pe barele de 35- 220 kV	/184/
	$P_r = 0,83 + 0,17 U_r$	$Q = -0,61 +$ $+ 0,32 \frac{1}{U^2} +$ $+ 1,29 U_r^2$	Pentru consu- matorul de pe barele de 6- 10 kV		
8. RSR (1978)	$P = P_o + K_p U^{Z_p}$  $K_p = \frac{\frac{dP}{P_n}}{\frac{dU}{U_n}} \%$	$Q = Q_o + K_q U^{Z_q}$  $K_q = \frac{\frac{dQ}{Q_n}}{\frac{dU}{U_n}} \%$	$K_p, K_q$ - indica- toare sintetici și caracteris- ticilor stati- ce	/2/	
			$Z_p, Z_q$ - coeficienți specifici fiecă- rui tip de consu- mator		

Trebuie precizat că efectul reglant al sarcinii se judecă pe baza rapoartelor  $\frac{\Delta P}{\Delta U}$ ,  $\frac{\Delta Q}{\Delta U}$ . În acest sens, se prezintă în tabelul nr. 1.5 valorile efectului reglant indicate în literatură de specialitate.

TABELUL nr. 1.5.

Efectul reglant al sarcinii în diferite sisteme energetice <sup>(*)</sup>							
Nr. crt.	Tara (executantul)	Data măsurării	U <sub>n</sub> kV	ΔU%	Răspunsul sarcinii	Biblio-grafie	
					$\frac{\Delta P}{\Delta U} \%$	$\frac{\Delta Q}{\Delta U} \%$	
1.	SUA	1941	27	-10	1,3	1,9	/78/
2.	RFG	1953	6	15	1,5	3,3	/78/
3.	Elveția			-5	1	3...4	/78/
4.	Polonia	1958	10		0,6...0,7 0,8...1,1 0,8...1	1,8...2,6 1,5...2,2 1,7...2,3	/78/
5.	Polonia	1958	6		0,6...0,7 0,8...1,1 0,8...1	2,2...2,9 1,8...2,5 2 ...2,6	/78/
6.	URSS (Bielorusă)	1963	VD GN		0,75 0,65	2,5 3,75	/172/
7.	URSS				0,5...0,75	1,5...2,5	/72/
8.	URSS (raioanele casudice) industr. 1964-1971	1964-1971			1 1,5	2,5 3,5	/16/
9.	URSS		.		0,6	1,6	/125/
10.	URSS (nodul Moscova cu consum de 7,1 MW)				1,23	2,78	/94/
11.	RSR(ISPE)	1973	5-10 kV VD VS		0,6...1,75 0,865..1,81	2,14...11,44 3,35--10,35	/86/
12.	RSR(ISPE)	1973	15-35 kV VD VS		2,215 0,7...1,7	3,35...6,75 1,8...5,8	/86/

- 24 -  
TABELUL nr. 1, 5 (continuare 1)

		3	4	5	6	7	8
13.	RSR (DEN)	VD	1	1...3,5	2,5...11		/86/
14.	Anglia		1	1			/86/
15.	Anglia (Chesing- ton)	martie 1971		0,3...0,9	1,2		/137/
16.	Anglia (New port South)	1968  VD  VS  GN (industr.)	1	1,46 1,56 1,65	5 5,3 5,7		/192/
17.	Anglia (Cardiff West)	1968 (casnic edili- tar)	1	1,3 1,6 1,76	8,9 27 -17,5		/192/
18.	Anglia (Hirwaun)	1968 (mixt)	1	1 1,03	4,8 7,5		/192/
19.	Anglia (Dowlais)	1968 (mixt)	1	1,78 2,14 1,66	6,7 40 40		/192/
20.	Anglia (Briton- Ferry)	1968 (industr.)	1	1,2 1,48 1,72	4,6 5,1 4,4		/192/
21.	Norvegia (OCTE din SE)	mai 1971		1,1...2,4	1,6...3,9		/21/
22.	SUA		1	1			/86/
23.	SUA	I II III IV con- sumator edili- tar		1,2 0,67 1,02 1,44 0,42 0,63	2,5 1,14 0,9 3,3 3,63 4,59	ziua noaptea	/176/
24.	SUA			0,5...1,3 1,3 0,5...0,75	1...1,9 1,75 1,5...1,75		/39/

TABELUL nr.1.5(continuare 2)

	2	3	4	5	6	7	8
25.RDG	orage meri	VS GN			1,5...1,7 1,5...1,6	2,2...2,6 2,4...3,0	/128/
	uzine chi- mice	VS GN			0,6...0,75 0,6...0,7	1,8...2,3 1,8...2,7	
	uzine constr. de ma- șini	VS GN			0,6...0,65 0,6...0,65	1,8...2,3 1,8...2,7	
	nod de 60 kV	VS GN			0,8...1,1 0,8...1	1,5...2,2 1,7...2,3	
26.Suedia			1		0,7...1,2	1,2...2	7867

Urmărind datele din tabelul 1.5 se poate constata efectul reglant mai puternic al puterii reactive în funcție de tensiune în comparație cu cel al puterii active.

Diferențele care intervin în privința limitelor atinse de răspunsurile sarcinii la variații ale tensiunii, obținute prin măsurători făcute de diversi autori se explică prin componența diferită a consumatorului complex echivalent.

Se observă că în cazul unui efect reglant pozitiv, la scădere tensiunii vor scădea și puterile active și reactive absorbite, indicând o comportare naturală de autoreglare din partea consumatorilor față de modificarea mărimilor electrice la bornele lor. Un efect reglant negativ însă, conduce în cazul scăderii tensiunii la o creștere a puterilor absorbite ceea ce face și mai dificilă revenirea la un regim normal. Se preferă un efect reglat pozitiv și de valoare cît mai mare.

Desi modul de considerare a caracteristicii sarcinii reprezintă una din trăsăturile specifice diferențelor moduri de calcul a stabilității statice, există pînă în prezent puține verificări experimentale ale acestor caracteristici; chiar studiile existente sunt neconcludente pentru că se referă la cazuri particulare și nu au fost obținute în condițiile reale ale micilor oscilații din sistem.

Avînd în vedere multiplele utilizări ale caracteristicilor statice de sarcină în funcție de tensiune (studii de stabilitate statică, repartiții de sarcini, etc) și posibilitatea trăsării lor fără perturbarea consumatorilor, se consideră util ridicarea perio-

dică a caracteristicilor statice de sarcină în funcție de tensiune.

#### 1.4. Deficiențele modului de considerare a sarcinii în calculele actuale de stabilitate statică

Dăsi în ultimul timp în calculele de stabilitate statică a sistemelor electroenergetice se utilizează cu succes calculatoarele electronice (numerice sau analogice), metodele actuale prezintă unele deficiențe în considerarea sarcinilor (consumatorului complex) recordat la sistem, a căror componentă nefiind cunoscută, se face aproximății care conduc la erori în rezultatele calculelor obținute după cum a reieșit din cele prezentate în paragraful 1.2.

In legătură cu modul de considerare a sarcinii în calculele de stabilitate statică a sistemelor electroenergetice, se conținează pentru viitor rezolvarea următoarelor probleme:

- determinarea, pentru consumatorul complex echivalent prin măsurători direct în S.E.E., a caracteristicilor statice de putere în funcție de tensiune, în nodurile semnificative și repetarea acestor determinări la anumite intervale de timp;
- utilizarea metodelor statistice de analiză a caracteristicilor statice ale consumatorului complex echivalent;
- stabilirea unor modele de calcul care să reproducă cât mai fidel caracteristicile statice ale consumatorului complex echivalent;
- stabilirea erorilor introduse în calculele de STS a SEE considerind consumatorii prin caracteristici simplificate în vederea limitării aplicabilității acestor ipoteze.

In ultimii ani în țările cu SEE dezvoltate se acordă un interes deosebit pentru reconsiderarea modului de reprezentare a sarcinilor în calcule de stabilitate statică.

#### 1.5. Tema lucrării de doctorat

In contextul celor de mai sus, a tendințelor actuale în rezolvarea acestor probleme, autorul consideră oportună abordarea problemelor legate de influența reprezentării sarcinii în studiile de stabilitate statică.

In situația actuală a explorației SEE, cînd fortuit se func-

ționează în apropierea limitei de stabilitate statică, este indicat să se cunoaște cu exactitate această limită, pentru că simplificările introduse în calcul pot conduce la rezultate eronate.

Tema tezei de doctorat prezintă interes atât sub aspect teoretic cât și al aplicabilității practice. Structurată în această idee, lucrarea constituită din șase capitole extinse pe 191 pagini, având 59 figuri, 56 tabele și cuprinzînd 233 titluri bibliografice din care 11 contribuții ale autorului (personale sau în colaborare) poate fi delimitată în două părți distincte dar interdependente: o parte teoretică (capl.2,3 și 5) și o parte experimentală (cap.4).

In lucrarea de doctorat se urmărește rezolvarea unor probleme legate de stabilirea caracteristicilor statice ale sarcinii (prin măsurători direct în SEN sau prin calcule) și se analizează stabilitatea statică a zonei de SV din SEN introducînd în calcule sarcinile prin diferite caracteristici statice putere funcție de tensiune măsurate sau simplificate.

O sinteză a materialului bibliografic referitor la considerarea caracteristicilor statice ale consumatorilor în studiile de stabilitate statică se prezintă în capitolul 1.

In cadrul capitolului 2 se prezintă posibilitățile obținerei unor caracteristici statice de putere funcție de tensiune pentru consumatorul complex echivalent cunoscînd componentă acestuia, caracteristici utile în calcule în situație în care nu se dispune de date experimentale. Trebuie menționată considerarea saturăției și a încărcării motoarelor în expresia caracteristicii statice putere funcție de tensiune a acestora și expresia propusă pentru caracteristica statică corespunzătoare pierderilor de putere. Se propune o expresie liniară pentru exprimarea caracteristicilor statice putere funcție de tensiune pentru consumatorul complex echivalent din SEN, comodă pentru calcule.

In capitolul 3 se indică modelul matematic exact al consumatorilor neliniari și a consumatorului complex echivalent din SEN funcționînd la tensiuni apropriate de cea nominală.

Capitolul 4 este dedicat prezentării metodei de măsurare și a rezultatelor obținute prin prelucrarea statistică a unui mare număr de măsurători efectuate, de către autoarea prezentei lu-

crări, în diferite stații din orașul Timișoara și Reșița. Se prezintă și programul de calcul CSPU pentru estimarea caracteristicii statice de putere funcție de tensiune pe baza măsurătorilor efectuate în sistem. Capitolul este în întregime original, atât prin rezultatele obținute din experimentări cît și prin prelucrarea și interpretarea rezultatelor obținute prin măsurători.

In cadrul capitolului 5, se studiază detaliat calculul stabilității statice pentru un SEE simplu, folosind criteriul de apreciere a stabilității  $\frac{dQ}{dU}$  criteriu care permite introducerea în calcule a caracteristicilor statice ale sarcinii. Pe baza relațiilor de calcul, s-a întocmit și un program de calcul "REZ STATIC" pentru calculul tensiunii critice din punct de vedere al stabilității statice și a rezervei de stabilitate. Pentru a studia influența modului de reprezentare a sarcinii asupra calculelor de stabilitate statică într-un sistem complex, s-a considerat zona de S-V din SEN, reprezentând succesiv sarcina atât prin caracteristici măsurate cît și prin caracteristici estimate sau simplificate. A fost luat în considerare regimul de funcționare static stabil, determinîndu-se printr-o analiză detaliată a celor 37 cauzuri considerate, influența modului de reprezentare a caracteristicilor statice putere funcție de tensiune a consumatorului complex echivalent asupra stabilității statice a SEE. Pe baza acestui studiu se pot face precizări privind limitările în aplicabilitatea reprezentării simplificate a caracteristicilor statice a consumatorului complex echivalent.

Capitolul 6 sintetizează concluziile prezentate la finele fiecărui capitol, subliniind elementele originale ale tezei.

Lucrarea este însotită de cîteva anexe de calcul, introduse în sconul de a menține continuitatea în prezentare a capitolelor anterioare, descărcate astfel de detaliu de calcul.

La sfîrșitul lucrării se prezintă bibliografia în ordine alfabetică. Bibliografia nu este exhaustivă ci se limitează la principalele lucrări din domeniu, consultate.

Rezultatele experimentale obținute de autor și-au găsit aplicabilitate la întocmirea unor studii în cadrul ISPE[86] și pot fi utile în calcule de stabilitate statică a sistemului electroenergetic, reprezentarea consumatorului complex echivalent prin caracteristicile indicate, apropiind mai mult rezultatele calculelor de situația reală din sistem.

## Capitolul 2

### CARACTERISTICILE STATICE ALE CONSUMATORILOR INDIVIDUALI, RESPECTIV ALE CONSUMATORULUI COMPLEX ECHIVALENT

#### 2.1. Considerații generale privind sintetizarea caracteristicilor statice de putere funcție de tensiune

In condițiile exploatarii intensive a sistemelor electro-energetice , cînd se impune cunoașterea cît mai precisă posibil a limitelor de stabilitate, s-a accentuat tendința unei modelizări mai fidele a consumatorilor.

In lipsa datelor experimentale, cunoscînd compoñenþa sarcinii și caracteristicile statice de putere în funcþie de tensiune ale consumatorilor individuali, se pot obþine (sintetiza) caracteristicile statice ale consumatorului complex echivalent.

Pentru un nod în care sînt concentraþi consumatori diferenþi, caracteristicile statice pot fi determinate cu o relaþie de tipul (2.1) ,/3/, /19/ :

$$y = \sum_{i=1}^n \alpha_i y_i \cdot 10^{-2} \quad (2.1)$$

în care:  $y$  reprezintă puterea totală (activă respectiv reactivă) din nod;  $i$  este numărul de ordine al receptorului;  $\alpha_i$  este cota (ponderea) lui de participare la sarcina totală a nodului, la tensiunea nominală, în %;  $y_i$  este puterea consumatorului  $i$ , exprimată în unităþi relative. Explicînd relaþia (2.1) pentru puteri active și reactive, se obþine:

$$\begin{aligned} P &= \sum_{i=1}^n p_i P_i \cdot 10^{-2}, \\ Q &= \sum_{i=1}^n q_i Q_i \cdot 10^{-2}. \end{aligned} \quad (2.2)$$

Dacă în expresiile (2.2) se înlocuiesc puterile  $P_i$  respectiv  $Q_i$  prin caracteristicile lor statice putere funcþie de tensiune, se obþin caracteristicile statice corespunþătoare consumatorului complex echivalent.

După o scurtă prezentare a exprimării caracteristicilor statice de putere funcþie de tensiune pentru consumatori indivi-

uali, se va estima caracteristica statică pentru diferite componente ale consumatorului complex echivalent.

In dezvoltările ulterioare s-au admis anumite ipoteze simplificatoare în vederea obținerii pentru caracteristicile statice a unor expresii relativ simple, comod de aplicat în calcule, dar care să fie în același timp mult mai apropiate de situația reală față de considerarea consumatorului prin caracteristici de tip putere, curent sau impedanță constantă.

Rezultatele obținute pe această cale vor fi comparate cu rezultatele experimentale (v. capitolul 4) în vederea delimitării aplicabilității lor.

Se vor lua în considerare următorii consumatori individuali (componente ale consumatorului complex echivalent): motoare asincrone, motoare sincrone, cuptoare electrice, instalații de redresare, instalații de iluminat, consumatori casnici și pierderi de putere pe rețea.

Se va determina expresia caracteristicilor statice de putere activă și reactivă absorbită de fiecare tip de consumator, în regim permanent, în funcție de valoarea tensiunii. Frecvența s-a considerat constantă, fiind vorba de regimuri de funcționare apropiate de regimul nominal.

## 2.2. Caracteristicile statice de putere funcție de tensiune ale consumatorilor individuali

### 2.2.1. Motoare asincrone

Ecuatiile motorului asincron în regim permanent simetric sunt ,/184/:

$$m_s k_{bs} N_s I_s + m_R k_{br} N_R I_R = m_s k_b N_s I_{s0}, \quad (2.3)$$

$$\underline{U}_s + (R_s + j\omega L_{sg}) \underline{I}_s = -j\omega N_s \Psi = -N_s \underline{U}_{eR}, \quad (2.4)$$

$$\left( \frac{R_R}{s} + j\omega L_{rg} \right) \underline{I}_s = j\omega N_R \Psi = N_R \underline{U}_{eR}, \quad (2.5)$$

în care  $m_s$  și  $N_s$  respectiv  $m_R$ ,  $N_R$  reprezintă numărul de faze și numărul de spire active al înfășurării statorice, respectiv rotorice,  $I_{s0}$  este curentul de mers în gol, din stator;

$$\underline{I}_s = \underline{I}_d + j\underline{I}_q, \quad (2.6)$$

$$I_R = I_D + jI_Q, \quad (2.7)$$

$$\alpha = 1 - \frac{\omega_R}{\omega} \quad (2.8)$$

$\alpha$  este alunecarea;  $\omega$  este pulsărea curentilor statorici;  $\omega_R$  - viteza unghiulară a rotorului; indicele S se referă la mărimi din stator, indicele R la mărimi din rotor;  $L_{SG}$  este inductivitatea de dispersie a unei faze statorice, iar  $L_{RG}$  inductivitatea de dispersie a unei faze rotorice.

Pe baza ecuațiilor (2.3) ... (2.5) se construiește schema echivalentă a motorului asincron, (fig.2.1)

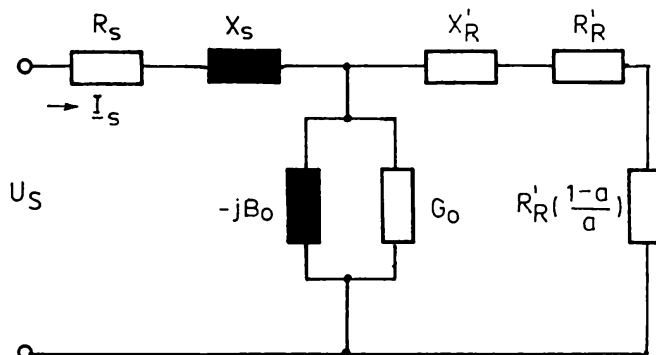


Fig. 2.1. Schema echivalentă a motorului asincron

In figură:  $X_S = j\omega L_{SG}$ ,  $X'_R = j\omega L_{RG}$ . Currentul de mers în gol fiind inductiv, admitemă laturii transversale este  $G_o = G_o - jB_o$ , unde  $B_o = \frac{1}{\omega L}$ . In schema din figura 2.1 parametrii din rotor sunt reportați la stator.

Pentru calcule calitative se pot face următoarele ipoteze simplificatoare: se neglijeează  $G_o$  față de  $jB_o$ , se neglijeează  $R'_R$  față de  $R'_R/\alpha$  și se neglijeează  $(R_S + R'_R)$  față de  $jX$ :

$$X = X_{SG} + X'_{RG} = \omega L_{SG} + \omega L'_{RG}, \quad (2.9)$$

în care caz se obține schema echivalentă din fig.2.2.

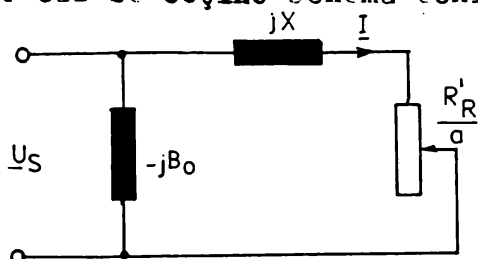


Fig.2.2. Schema echivalentă simplificată a motorului asincron.

De precizat că din punct de vedere cantitativ, lucrând cu schema din figura 2.2 vor interveni unele abateri.

În continuare se va folosi totuși această schemă pentru că, cu ajutorul ei se pot urmări problemele studiate mai simplu, cu rezultate calitative corecte.

Puterea electromagnetică primită de circuitele rotorice rezultă din schema 2.2 :

$$P_e \approx 3I^2 \frac{R'_R}{a} = \frac{R'_R}{a} \frac{3U_s^2}{\left(\frac{R'_R}{a}\right)^2 + X^2}. \quad (2.10)$$

Notind slunecarea critică :

$$s_k \approx \frac{R'_R}{X}, \quad (2.11)$$

rezultă pentru puterea electromagnetică expresia:

$$P_e = \frac{3U_s^2}{X} \frac{1}{\frac{s_k}{a} + \frac{a}{s_k}}, \quad (2.12)$$

respectiv pentru puterile active și reactive la bornele motorului asincron:

$$P = G_o U_s^2 + \frac{3U_s^2}{X} \frac{s_k a}{\frac{a^2}{s_k^2} + a^2}, \quad (2.13)$$

$$Q = B_o U_s^2 + \frac{3U_s^2}{X} \frac{a^2}{\frac{a^2}{s_k^2} + a^2}. \quad (2.14)$$

În regim normal de funcționare,  $a \in (0,01 \dots 0,03)$ ,  $s_k \approx 0,1$ , deci  $a^2 \ll s_k^2$  și se poate neglija  $a^2$  față de  $s_k^2$ , ca urmare relațiile (2.10), (2.12)...(2.14) devin:

$$P \approx G_o U_s^2 + P_e, \quad (2.15)$$

$$Q \approx B_o U_s^2 + \frac{X P_e}{U_s^2}, \quad (2.16)$$

$$P_e \approx \frac{3U_s^2}{X} \frac{a}{s_k}. \quad (2.17)$$

Termenul  $G_o U_s^2 \ll P_e$ , se neglijă, deci :

$$P = P_e. \quad (2.18)$$

Parametrii  $X$ ,  $R$ ,  $B_o$ , care intervin în schema echivalentă simplificată a motorului asincron se calculează în funcție de caracteristicile indicate în tabele:  $\cos \varphi_n$ ,  $a_n$  și  $b_n = \frac{M_{max}}{M_n}$ .

Alegind că mărimi de bază puterea și tensiunea nominală a motorului asincron, se pot exprima parametrii în unități relative,  $X_r$ ,  $R_r$  și  $B_{or}$ . /184/ :

$$X_r = \frac{1}{2b_n \cos \varphi_n} \quad (2.19)$$

$$R_r = a_n \frac{b_n + \sqrt{b_n^2 - 1}}{2b_n \cos \varphi_n} \quad (2.20)$$

$$B_r = \sin \varphi_n - (b_n - \sqrt{b_n^2 - 1}) \cos \varphi_n \quad (2.21)$$

Cu ipotezele simplificate admise, în literatură se consideră pentru motoare asincrone puterea activă constantă în funcție de tensiune, în cazul variațiilor mici ale acesteia în jurul velerii de lucru, adică în regimul stationar, puterea electromagnetica fiind echilibrată de puterea la arbore, determinată de caracteristicile mecanismului entranță de motor. Deci, caracteristicile statice ale puterii active funcție de tensiune se aproximează de forma unor drepte. O astfel de caracteristică prezintă efectul reglant.  $R_p = \frac{dP}{dU} = 0$  în domeniul tensiunilor nominale.

Pentru puterea reactivă s-a considerat conform relației (2.16) o caracteristică statică în funcție de tensiune, având efectul de reglaj  $\frac{dQ}{dU} \approx 2$  în domeniul tensiunilor nominale.

Referitor la puterea reactivă absorbită de motorul asincron, puterea care constă din puterea reactivă pentru magnetizarea fierului și puterea de dispersie se poate preciza că rezultă o variație rapidă a puterii reactive absorbite la variația tensiunii, dacă coeficientul de încărcare  $k_i$  este scăzut.

Puterea reactivă absorbită pentru magnetizarea miezului:

$$Q_m = \frac{3U^2}{X_m^2} \quad (2.22)$$

crescă mai rapid decât cu pătratul tensiunii la creșterea tensiunii, pentru că rezistența de magnetizare scade datorită saturării.

Puterea reactivă absorbită pentru acoperirea pierderilor din rezistența de dispersie a mașinii este:

$$Q_f = X_f \frac{P^2}{U^2} \quad (2.23)$$

In domeniul tensiunilor nominale predomină  $Q_m$ .

De menționat că , /15/ :

- puterea reactivă de magnetizare a motoarelor esincrone și a transformatoarelor care reprezintă la tensiunea nominală (7...80)% din întreaga sarcină reactivă a sistemului se reduce mult la scăderea tensiunii, ceea ce determină scăderea sensibilă a puterii reactive la tensiuni chiar apropiate de cele nominale de (2...3)% față de o scădere a tensiunii de numai 1%;

- scăderea tensiunii duce la creșterea puterii reactive pierdute pe reactanțele longitudinale ale motoarelor esincrone cu aproape 2% la o scădere a tensiunii de numai 1%. La tensiunea nominală această componentă a puterii reactive reprezintă numai (20...30)% din întreaga sarcină reactivă. Pe măsură ce tensiunea scade, contribuția ei la sarcina reactivă crește.

O mare importanță prezintă factorul de încărcare al motoarelor esincrone  $k_1$  și anume cu cât acesta este mai mare, cu atât crește procentul sarcinii reactive  $Q_f$  și respectiv scade procentul sarcinii reactive  $Q_m$ .

Tinând seama de precizările făcute se poate admite pentru caracteristicile statice de putere funcție de tensiune ale motorului asincron, expresiile , /46/:

$$P_r \approx 1 \quad (2.24)$$

$$Q_r \approx 0,7 \cdot U_r^2 + 0,3 \frac{1}{U_r^2} \quad (2.25)$$

exprimate în unități relative față de mărimile nominale  $P_n$ ,  $Q_n$ ,  $U_n$ .

In relațiile redate mai sus pe baza datelor din literatură, parametrii motorului s-au presupus constanți, ceea ce corespunde unei mașini nesaturate. In realitate, în circuitul feromagnetic al mașinii, la solicitările magnetice corespunzătoare regimului nominal, se manifestă fenomenul de saturare, așa cum rezultă din caracteristica în gol a motorului (vezi fig.2.3) care după cum se știe, prin intermediul scărilor de reprezentare, este similară cu caracteristica de magnetizare. Saturarea influențează asupra inductivităților, implicit asupra reactanțelor motorului, micșorindu-le față de cazul nes-

turăției, cu atât mai mult, cu cît saturăția este mai pronunțată; asupra reactanței de magnetizare ( $X_m = \frac{1}{B_0} \approx \frac{1}{H_0}$ , v. figura 2.2)

influența saturăției este mai pronunțată, dar asupra reactanței de dispersie această influență poate fi neglijată. De precizat

că reactanța de magnetizare poate varia în limite destul de largi, depinzînd de condițiile de funcționare, datorită saturăției /99/. Tratarea simplificată a caracteristicilor statice putere funcție de tensiune ale motorului asincron în studiile de stabilitate statică, neglijînd saturăția, poate avea consecințe nefavorabile asupra preciziei rezultatelor obținute pe cale teoretică față de cele experimentale. Modificarea reactanței este determinată de existența dependenței neliniare dintre  $B$  și  $H$ . În literatură curba de variație reală  $B=f(H)$  este aproxiimată prin curbe continue sau prin porțiuni de drepte. În /66/ se indică modul de considerare a influenței saturăției asupra reactanței prin introducerea coeficientului de saturăție  $k_s$  definit în modul următor: se consideră caracteristica de magnetizare a motorului asincron (figura 2.4). Dacă mașina este nesaturată, atunci unei t.m.m.  $U_H=0A$  îi corespunde un flux polar  $\emptyset_{nesat} = -AC$ ; mașinii saturate îi corespunde numai fluxul  $\emptyset_{sat} = AB$ . Deci:

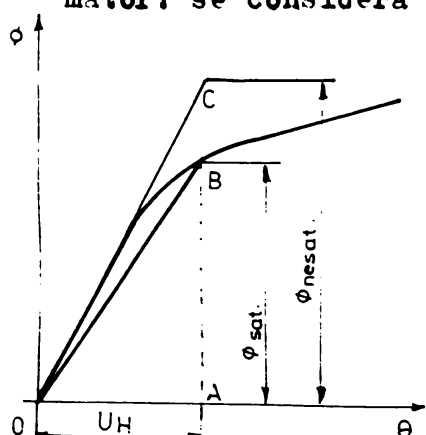


Fig.2.4.Caraotistica de magnetizare a motorului în care  $k_s$  este definit de (2.27):

$$k_s = 1 + \frac{U_{HFe}}{U_{H\delta}} \quad (2.27)$$

și se numește factor de saturăție.

Dacă mașina este nesaturată,  $k_s$  are valoarea 1. Deci reactanța depinde de valoarea momentană a t.m.m.  $U_H$  și variază cu poziția

punctului B pe caracteristica de magnetizare a mașinii.

La motoarele esincrone cu rotorul în colivie  $1/k_g$  variază între 0,71 și 0,88, iar pentru cele cu rotor cu inele de contact, în medie este de 0,8, [66]. Revenind la relația (2.25) se observă că valoarea puterii reactive în unități relative absorbită pentru scoperirea pierderilor din reactanța de dispersie a mașinii este influențată de valoarea încărcării mașinii, relația menționată fiind corectă la funcționarea la încărcare nominală, ( $P=P_n$ ). De cele mai multe ori însă, deși nu este de dorit, motoarele funcționează cu un coeficient de încărcare  $K_i = \frac{P}{P_n}$  mai mult sau mai puțin diferit de 1. Din curbele care redau variația puterii reactive specifice absorbite de către motoare esincrone de diferite puteri în funcție de tensiunea de alimentare pentru diferiți  $K_i$ , [3], rezultă că variația puterii reactive absorbite este foarte rapidă în cazul unui  $K_i$  foarte scăzut al motorului respectiv. În cazurile reale din practică, valorile absorbitei  $\Delta U$  și ale coeficientului  $K_i$  variază în timp.

Dacă se dispune de date statistice suficiente, se pot calcula valori medii ale acestora.

Afînd în vedere cele de mai sus, se apreciază ca necesară o corecție a relației (2.25) astfel încît să se țină cont atât de gradul de saturație a fierului cât și de gradul de încărcare a motorului. De influență acestor elemente se poate ține seama exprimînd puterea  $Q_r = f(U_r)$  printr-o relație rezultată din (2.25) introducînd doi factori de corecție și anume:

$$Q_r = k_s \frac{\frac{U_r^2}{X_{mr \text{ nesat}}^2} - \frac{k_s^2}{2X_{mr \text{ nesat}}^2} \frac{\Delta X_{mr \text{ sat}}}{\Delta U_r} U_r^3 + \frac{k_i^3 P_r^2}{\cos^2 \varphi} \frac{X_{Gr}}{U_r^2}}{(2.28)}$$

sau, într-o formă restrînsă, (2.29) :

$$Q_r = C_s \frac{\frac{U_r^2}{X_{mr \text{ nesat}}^2} + C_i \frac{X_{Gr}}{U_r^2}}{(2.29)}$$

unde valoarea coeficientului de corecție  $C_s$ , care ține seama de influența saturării:

$$C_s = k_s - \frac{k_s^2}{2X_{mr \text{ nesat}}^2} U_r \frac{\Delta X_{mr \text{ sat}}}{\Delta U_r} \quad (2.30)$$

s-a stabilit pornind de la expresiile puterii reactive absorbite,

pentru magnetizarea fierului în regim nesaturat, respectiv în regim saturat și a efectelor reglante  $R_Q = dQ_r/dU_r$  în aceste regimuri:

$$Q_{mr\ nesat} = \frac{U_r^2}{X_{mr\ nesat}} \quad (2.31)$$

$$Q_{mr\ sat} = \frac{U_r^2}{X_{mr\ sat}} = \frac{C_s U_r^2}{X_{mr\ nesat}} \quad (2.32)$$

$$\left(\frac{dQ_{mr}}{dU_r}\right)_{nesat} = \frac{2U_r}{X_{mr\ nesat}} \quad (2.33)$$

$$\left(\frac{dQ_{mr}}{dU_r}\right)_{sat} = \frac{2C_s U_r}{X_{mr\ nesat}} \quad (2.34)$$

$$\left(\frac{dQ_{mr}}{dU_r}\right)_{sat} = \frac{2U_r}{X_{mr\ sat}} - \frac{U_r^2}{X_{mr\ sat}^2} \frac{dX_{mr\ sat}}{dU_r} \quad (2.35)$$

$$\frac{2C_s U_r}{X_{mr\ nesat}} = \frac{2U_r}{X_{mr\ sat}} - \frac{U_r^2}{X_{mr\ sat}^2} \frac{dX_{mr\ sat}}{dU_r} \quad (2.36)$$

Rezolvînd ecuația (2.36) în raport cu  $C_s$  și avînd în vedere relația (2.26), se obține expresia (2.30).

In regim nesaturat,  $k_s=1$ ,  $\frac{dX_m}{dU_r} = 0$ , deci  $C_s = 1$ .

Se observă că prin considerarea saturației se complică calculul, modelul matematic al motorului esincron se prezintă prin relații mai complexe, dar acuratețea rezultatelor crește.

Includerea saturației prin coeficientul  $C_s$  propus, păstrează forma ecuației (2.25) utilizată în prezent.

$C_i$  este un coeficient ce ține cont de gradul de încărcare a mașinii:

$$C_i = \frac{K_i^2 \cdot P_r^2}{\cos^2 \varphi} \quad (2.37)$$

In relațiile de mai sus s-au notat:

$X_{mr}$  - reactanță de magnetizare în regim nesaturat, iar nesat

$X_{mr\ sat}$  - reactanță de magnetizare în regim saturat;

$X_Gr$  - reactanță de dispersie;

$K_i$  - coeficient de încărcare a motorului.

Pe baza datelor de catalog (STAS 1764-70):  $P_n$ ,  $\cos \varphi_n$ ,  $b_n$ , s-au calculat valorile reactanțelor de dispersie  $X_G$  și de magnetizare  $X_m$  (vezi anexa A.1) pentru motoarele electrice esincrone trifazate de uz general. Au rezultat  $X_G \min = 0,263$ ;  $X_G \max = 0,375$ ;

$X_m \min = 2,20$ ,  $X_m \max = 3,70$  exprimate în u.r. față de mărimele normale. Din caracteristica de mers în gol, figura 2.3. /66/, /196/, pentru variații mici ale tensiunii în jurul valorii normale rezultă  $\frac{\Delta X_m}{\Delta U} = -1$ . Cu aceste valori, presupunind  $K_s = \frac{1}{0,8}$ ;  $K_f = 0,25$ ;  $P_r = 0,8$  și  $\cos \varphi = 0,8$  (valoare medie), s-au stabilit valorile de calcul pentru coeficienții  $C_s$ ,  $C_1$  și puterea reactivă  $Q_r$ , în situația necunoașterii în detaliu a motoarelor racordate la sistem.

Au rezultat:

- pentru  $X_m \min$ ,  $X_m \min$ :

$$C_s \min = 1,25 + 0,35 U_r \quad (2.38)$$

- pentru  $X_m \max$ ,  $X_m \max$ :

$$C_s \max = 1,25 + 0,21 U_r \quad (2.39)$$

iar pentru  $C_1 = 0,0625$ .

Deci corespunzător, expresia caracteristicii statice de putere reactivă funcție de tensiune este:

$$Q_r \min = 0,56 U_r^2 + 0,157 U_r^3 + \frac{0,0164}{U_r^2}, \quad (2.40)$$

$$Q_r \max = 0,34 U_r^2 + 0,057 U_r^3 + \frac{0,0234}{U_r^2}. \quad (2.41)$$

Impunând condiția la  $U_r = 1$ ,  $Q_r = 1$ , expresia caracteristicii statice devine:

$$Q_r \min = 0,764 U_r^2 + 0,214 U_r^3 + \frac{0,0224}{U_r^2}, \quad (2.42)$$

respectiv  $Q_r \max = 0,809 U_r^2 + 0,1356 U_r^3 + \frac{0,0557}{U_r^2}$ . (2.43)

Pentru a se aprecia cantitativ efectul saturării și al gradului de încărcare asupra caracteristicii statice și a efectului reglant al sarcinii, se prezintă în tabelul 2.1 rezultatele obținute prin calcule cu relația aproximativă (2.25) respectiv cu relația (2.28) neglijind și respectiv considerind saturarea fierului. Se poate observa mareea influență a încărcării motoarelor cît și a considerării saturării asupra valorii efectului de reglaj.

In figura 2.5 se prezintă variația coeficientului  $C_s$  funcție de factorul de saturare, stabilite la diferite valori ale reactanței  $X_m$ , pentru  $U_r = 1$ .

In figura 2.6 se prezintă variația coeficientului  $C_1$  funcție de coeficientul de încărcare  $K_1$  pentru  $P_r=1$  și  $P_r=0,8$ , la  $\cos \varphi = 0,8$

TABELUL nr.2.1

Mărimi		Valori comparative					
Cazul considerat (rel.de calcul)	Nr.	Caracteristici statice a puterii reactive funcție de tensiune	$X_m, X_G$ maxime	$X_m, X_G$ minime	Efectul de reglaj la $U_r=1$	$X_m, X_G$ max	$X_m, X_G$ min
1	2	3	4	5	6		
Neglijarea seturării și a încercării motorului, rel.(2.19)		$Q_r = 0,7U_r^2 + \frac{0,3}{U_r^2}$	$Q_r = 0,7U_r^2 + \frac{0,3}{U_r^2}$		0,8	0,8	
$P_r=1$ Neglijarea seturării (în 2.28): $C_g=1$	1	$Q_r = 0,65U_r^2 + \frac{0,35}{U_r^2}$	$Q_r = 0,814U_r^2 + \frac{0,186}{U_r^2}$		0,6	1,256	
	2	$Q_r = 0,32U_r^2 + \frac{0,68}{U_r^2}$	$Q_r = 0,523U_r^2 + \frac{0,477}{U_r^2}$		-0,72	0,092	
	3	$Q_r = 0,74U_r^2 + \frac{0,26}{U_r^2}$	$Q_r = 0,872U_r^2 + \frac{0,128}{U_r^2}$		0,96	1,488	
	4	$Q_r = 0,42U_r^2 + \frac{0,58}{U_r^2}$	$Q_r = 0,63U_r^2 + \frac{0,27}{U_r^2}$		-0,32	0,52	
$P_r=0,8$ Considerearea saturării $-1/K_s = -0,8$ $P_r=1$ rel. (2.22) respectiv (2.40) și (2.41)	5	$Q_r = 0,62U_r^2 + \frac{0,1053U_r^3}{U_r^2} + \frac{0,2705}{U_r^2}$	$Q_r = 0,653U_r^2 + \frac{0,191U_r^3}{U_r^2} + \frac{0,125}{U_r^2}$		1,023	1,69	
	6	$Q_r = 0,345U_r^2 + \frac{0,0581U_r^3}{U_r^2} + \frac{0,597}{U_r^2}$	$Q_r = 0,497U_r^2 + \frac{0,139U_r^3}{U_r^2} + \frac{0,364}{U_r^2}$		-0,33	0,683	
	7	$Q_r = 0,69U_r^2 + \frac{0,12U_r^3}{U_r^2} + \frac{0,19}{U_r^2}$	$Q_r = 0,72U_r^2 + \frac{0,20U_r^3}{U_r^2} + \frac{0,08}{U_r^2}$		1,36	1,88	

TABELUL nr. 2.1 (continuare)

I	2	3	4	5	6
$K_1 = 0,5$	8	$Q_r = 0,44U_r^2 +$ $+ 0,074U_r^3 +$ $+ \frac{0,487}{U_r^2}$	$Q_r = 0,572U_r^2 +$ $+ 0,16U_r^3 +$ $+ \frac{0,268}{U_r^2}$	0,128	1,088

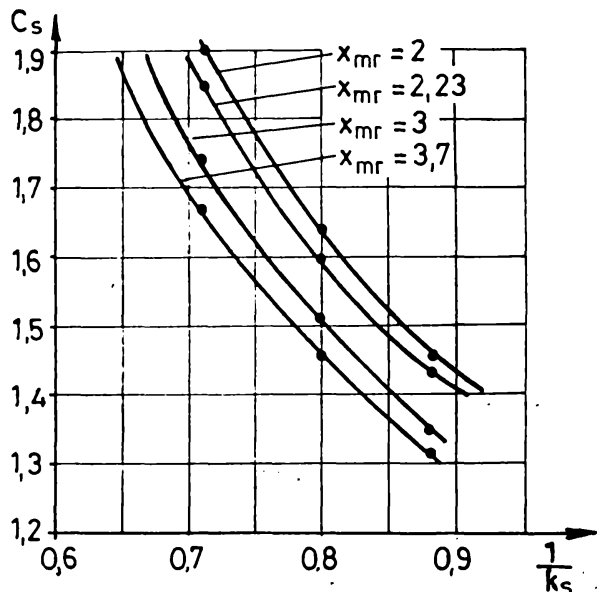


Fig. 2.5. Dependență coeficientului  $C_s$  de parametrii motorului

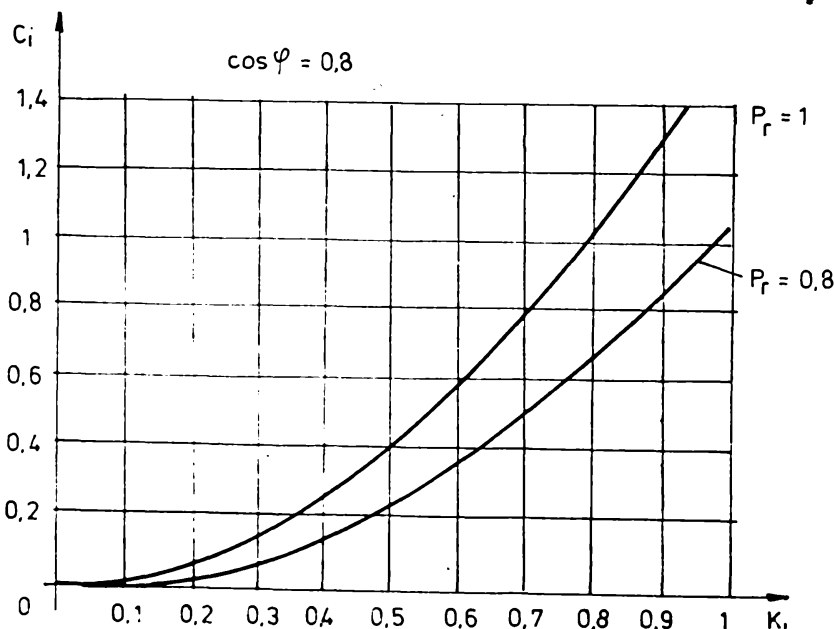


Fig. 2.6. Dependență coeficientului  $C_i$  de gradul de încărcare a mașinii.

Curbele de variație a valorii coeficienților de corecție  $C_s$  și  $C_i$  funcție de parametrii motorului și de gradul de saturare, respectiv de gradul de încărcare a motorului permit un calcul comun și rapid în vederea estimării caracteristicilor statice de putere reactivă funcție de tensiune, în absența unor date experimentale.

Se consideră că prin relațiile (2.42) respectiv (2.43) se obțin caracteristici statice  $Q_r = f(U_r)$  pentru motorul asincron, mai apropiate de cele reale decât prin relația recomandată în literatură (2.25).

### 2.2.2. Motoare sincrone

Aceste motoare avind turăția constantă, dată de frecvența tensiunii la care sunt racordate bornele infășurării statorice, au puterea absorbită dependentă riguros de caracteristicile mașinii de lucru.

Puterile consumate de motorul sincron cu poli plini au expresiile, /66/ :

$$P = - \frac{3 U \cdot U_{eE}}{X} \sin \delta , \quad (2.44)$$

$$Q = \frac{3(U^2 - UU_{eE} \cos \delta)}{X} , \quad (2.45)$$

în care s-au considerat tensiuni de fază.

In aceste relații s-au notat:  $\delta$  - unghiul electric,  $U_{eE}$  - tensiunea electromotoare,  $X$  - reactanța sincronă a mașinii.

Dacă motorul sincron are poli apărări în rotor, intervin două reactanțe: una după axa longitudinală ( $X_d$ ) și una după axa transversală ( $X_q$ ), expresiile puterilor devin, /66/, /184/:

$$P = - \frac{3UU_{eE}}{X_d} \sin \delta - 3U^2 \frac{\frac{X_d - X_q}{2} \sin 2\delta}{X_d X_q} , \quad (2.46)$$

$$Q = 3U^2 \left( \frac{\cos^2 \delta}{X_d} + \frac{\sin^2 \delta}{X_q} \right) - \frac{3UU_{eE}}{X_d} \cos \delta . \quad (2.47)$$

Deoarece turăția motorului sincron rămîne riguros constantă (la frecvență constantă) și cuplul mașinii antrenate se păstrează constant, ca urmare puterea activă absorbită  $P$ , rel. (2.44) este constantă în raport cu tensiunea.

Puterea reactivă are un minim în domeniul negativ și aceasta depinde de valoarea tensiunii electromotoare. Admînd că  $U_{eE} \cos \delta = 1$ , puterea reactivă absorbită de motorul sincron se va exprima sub forma, /46/ :

$$Q = \frac{3(U^2 - U)}{X} . \quad (2.45')$$

La tensiunea nominală, puterea reactivă se împarte aproximativ egal între cele două componente din expresia sa.

Deci, pentru caracteristicile statice de putere funcție de tensiune ale motorului sincron cu poli plini se pot folosi relațiile (2.48) și (2.49) :

$$P = P_n = \text{const.}, \quad (2.48)$$

$$Q = Q_n \left[ 0,5 \left( \frac{U}{U_n} \right)^2 - 0,5 \left( \frac{U}{U_n} \right) \right], \quad (2.49)$$

sau în u.r. față de mărimele nominale:

$$P_r = 1, \quad (2.50)$$

$$Q_r = 0,5 \cdot U_r^2 - 0,5 U_r. \quad (2.51)$$

### 2.2.3. Instalații de iluminat

Acest tip de consumator are o pondere mai redusă în consumul total de energie, nu absorbe putere reactivă, iar puterea activă absorbită este proporțională cu pătratul tensiunii.

$$P = \frac{U^2}{R}; \quad Q = 0. \quad (2.52)$$

La consumatorii cu iluminat cu lămpi cu incandescență, deoarece rezistența crește cu temperatura, puterea activă se modifică mai lent decit proporțional cu pătratul tensiunii și se poate exprima prin relația (2.53), /47/, /128/ :

$$P = P_n \left( \frac{U}{U_n} \right)^{1,6}. \quad (2.53)$$

In calculele ulterioare se vor considera pentru instalații de iluminat caracteristicile statice din relațiile (2.54) exprimate în u.r. față de mărimele nominale:

$$\begin{aligned} P_r &= U_r^{1,6}, \\ Q_r &= 0. \end{aligned} \quad (2.54)$$

### 2.2.4. Cuptoare electrice

Caracteristicile statice de putere funcție de tensiune teoretice ale cuptoarelor electrice pot fi considerate de forma (2.55), /2/ :

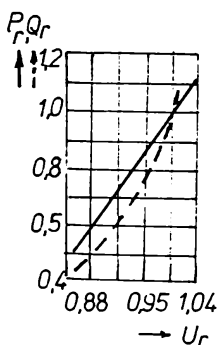
$$P = \frac{3U^2}{Z^2} R; \quad Q = \frac{3U^2}{Z^2} X, \quad (2.55)$$

unde  $R$ ,  $X$ ,  $Z$  reprezintă respectiv, rezistență, reactanță și impedanță pe fază a cuporului și rețelei de alimentare. În u.r. față de mărimele nominale, relația (2.55) săint:

$$P_r = U_r^2; \quad Q_r = U_r^2. \quad (2.56)$$

### 2.2.5. Instalații de redresare

Variatia puterilor activă și reactivă absorbite de instalație este aproximativ direct proporțională cu tensiunea la baza /2/. În figura 2.7 se prezintă caracteristicile statice



$P=f(U)$  și  $Q=f(U)$  pentru o instalație de electroliză cu redresoare cu mercur, fără reglaj de curent continuu. În cazul existenței reglajului, caracteristica  $P=f(U)$  devine aproape orizontală (puterea activă absorbită depinde într-o măsură neînsemnată de tensiune).

Folosind metoda aproximării unei funcții printr-un polinom (anexa A-2) din caracteristicile prezентate în fi-

Fig.2.7.Ca racteristicile gura 2.7 rezultă următoarele expresii statice ale unei instalații de electroliză cu redresoare cu mercur /2,p.107/

$$P_r = 3U_r - 2 , \quad (2.57)$$

$$Q_r = 90,625U_r^2 - 172,375U_r + 92,75 , \quad (2.58)$$

care prezintă efectul reglant la tensiunea nominală:

$$R_P = \frac{dP_r}{dU_r} = 3 , \quad (2.59)$$

$$R_Q = \frac{dQ_r}{dU_r} = 8,875 . \quad (2.60)$$

### 2.2.6. Consumatori casnici

Consumatorii casnici cuprind, de obicei, pe lîngă instalații de iluminat, instalații de încălzit și motoare asincrone obisnuit de puteri mici pentru antrenarea aparatelor electrocasnice. De fapt, consumatorii casnici reprezintă un consumator complex echivalent, format din totalitatea abonaților casnici alimentați din stația respectivă, fiecare din acești abonați, la rîndul lor, reprezentând un consumator complex echivalent care cuprinde consum pentru încălzirea spațiilor, pentru prepararea apelor calde, pentru pregătirea și conservarea hranei, pentru mecanizarea activităților de curățenie, pentru iluminat și pentru activități cultural - distractive.

Pe baza datelor din /20/ în care se indică sarcina pentru iluminat și sarcina aparatelor electrocasnice corespunzătoare

unor apartamente având diferite numere de camere și din /110/ care indică necesarul de energie electrică ținând seama de cota parte de participare a aparatelor electrocasnice, s-a apreciat următoarea distribuție a puterilor din aceste instalații:

$$P_{\text{casnic}} = 0,2 \cdot P_{\text{iluminat}} + 0,35 \cdot P_{\text{motor}} + 0,45 \cdot P_{\text{încălz.}} \quad (2.61)$$

asincron

Având în vedere relația (2.24), (2.42), (2.52), (2.56) și (2.61) rezultă expresiile caracteristice statice de putere funcție de tensiune, exprimate în u.r. față de mărimele nominale, pentru consumatori casnici:

$$P_r \text{ casnic} = 0,45 U_r^2 + 0,2 U_r^{1,6} + 0,35 \quad (2.62)$$

$$Q_r \text{ casnic} = 0,897 U_r^2 + 0,094 U_r^3 + 0,0098 U_r^{-2} \quad (2.63)$$

#### 2.2.7. Pierderi de putere în liniile rețelelor electrice

Pierderile de putere în rețea, numite și consum tehnologic de putere, depind în mod contradictoriu de valoarea mărimilor variabile la borne, fiind funcție de compozitia consumatorului, de coeficientul de încărcare, de configurația rețelei.

Pierderile de putere activă în rețea au loc practic numai pe rezistențele longitudinale ale schimelor echivalente ale acestaia, în timp ce pierderile de putere reactivă conțin, pe lângă puterea pierdută în elementele longitudinale ale rețelei și puterea capacativă consumată în capacitațile naturale ale liniilor.

Pierderile de putere în elementele longitudinale ale rețelei se exprimă prin relația (2.64), respectiv (2.65), /47/, /101/, /184/ :

$$\underline{\Delta S} = \Delta P + j \Delta Q \quad (2.64)$$

$$\underline{\Delta S} = \frac{P^2 + Q^2}{U^2} R + j \frac{P^2 + Q^2}{U^2} X. \quad (2.65)$$

Exprimând în u.r. față de mărimele nominale se obține:

$$\underline{\Delta S}_r = \Delta P_r + j \Delta Q_r, \quad (2.66)$$

$$\Delta P_r = \frac{S_r^2}{U_r^2} R_r, \quad (2.67)$$

$$\Delta Q_r = \frac{s_r^2}{U_r^2} X_r . \quad (2.68)$$

Pentru LEA din SEN, /71/, se cunosc:

$$R_r = 0,16 \dots 0,1$$

$$X_r = 0,99 \dots 1$$

Valorile 0,16 și 0,99 sunt valabile pentru LEA de 220 kV, iar valorile 0,1 și 1 sunt valabile pentru LEA de 400 kV.

In dezvoltările ulterioare se va considera o LEA de 400 kV și se va admite pentru pierderile în elementele longitudinale expresiile:

$$\Delta P_r = 0,1 \frac{s_r^2}{U_r^2} , \quad (2.69)$$

$$\Delta Q_{Lr} = \frac{s_r^2}{U_r^2} U_r^2 . \quad (2.70)$$

Puterea reactivă consumată în capacitatele naturale ale liniilor este:

$$\Delta Q_C = B_L U^2 . \quad (2.71)$$

Din /71/, pentru principalele tipuri de LEA se dă valoarea admitanței capacitive:

$$Y_{cap} = (3,464 \dots 6,878) \cdot 10^{-6} \text{ S/km} , \quad (2.72)$$

$$Y_{cap} = (2,771 \dots 5,418) \cdot 10^{-6} \text{ S/km} . \quad (2.73)$$

Valorile (2.72) se referă la LEA de 400 kV, iar valorile (2.73) la LEA de 220 kV. Exprimând în u.r. față de mărimile nominale, se obține:

- pentru LEA de 220 kV :

$$B_{Lr} \approx (7 \dots 27) \cdot 10^{-6} \quad (2.74)$$

- pentru LEA de 400 kV :

$$B_{Lr} \approx (10 \dots 43) \cdot 10^{-6} \quad (2.75)$$

și  $\Delta Q_{cr} = B_{Lr} U_r^2 . \quad (2.76)$

Deci, expresia pierderilor totale de putere reactivă, în u.r. este :

$$\Delta Q_r = \Delta Q_{Lr} + \Delta Q_{Cr} \quad (2.77)$$

sau explicitat:

$$\Delta Q_r = \frac{S_r^2}{U_r^2} + B_{Lr} U_r^2. \quad (2.78)$$

Din cele prezentate și din calculele făcute a rezultat că în relațiile (2.77), (2.78) primul termen este preponderent.

Dacă se mai ține seama de faptul că în general ponderea pierderilor de putere reactivă reprezintă numai 25% din puterea activă consumată, se justifică neglijarea saturăției miezului transformatorelor din SEE în calculul pierderilor în transformator, cu atit mai mult cu cît relațiile de calcul apar complexe în cazul considerării saturăției.

Confirmarea celor de mai sus vor fi evidențiate și prin rezultatele obținute în calculul caracteristicii statice a consumatorului complex (paragraful 2.3).

Dacă se consideră caracteristicile statice simplificate a puterilor consumatorului funcție de tensiune, se obțin pentru pierderile de putere expresiile indicate în tabelul 2.2.

TABELUL nr.2.2.

Expresia pierderilor de putere activă și reactivă în funcție de modul în care se exprimă caracteristica statică putere funcție de tensiune a consumatorului				
Cazul	Expresia caracteristicii statice a consumatorului (C.S.C.), /u.r./	Efectul de reglaj al C.S.C., /u.r./	Expresia pierderilor de putere pe linie (CPT), /u.r./	Valoarea efectului de reglaj al CPT <sup>x</sup> , /u.r./
I	$P_r = 1$	0	$\Delta P_r = \frac{0,2}{U_r^2}$	-0,4
	$Q_r = 1$	0	$\Delta Q_r = \frac{0,2}{U_r^2} + B_{Lr} U_r^2$	-4+2B <sub>Lr</sub>
II	$P_r = U_r$	1	$\Delta P_r = 0,2$	0
	$Q_r = U_r$	1	$\Delta Q_r = 2 + B_{Lr} U_r^2$	2B <sub>Lr</sub>
III	$P_r = U_r^2$	2	$\Delta P_r = 0,2 U_r^2$	0,4
	$Q_r = U_r^2$	2	$\Delta Q_r = 2 U_r^2 + B_{Lr} U_r^2$	4+2B <sub>Lr</sub>

TABELUL nr.2.2(continuare)

1	2	3	4	5
IV	$P_r = 1$ $Q_r = U_r^2$	0 2	$\Delta P_r = \frac{0,1}{U_r^2} + 0,1 U_r^2$ $\Delta Q_r = \frac{1}{U_r^2} + U_r^2 + B_{Lr} U_r^2$	0 $2 B_{Lr}$

x) S-a calculat valoarea efectului de reglaj pentru  $U_r = 1$ .

Presupunind caracteristicile statice ale consumatorilor printr-o expresie <sup>generală care</sup> prin particularizarea constantelor poate reprezenta oricare din consumatorii analizați

$$P_r = k_{1P} U_r^2 + k_{2P} U_r + k_{3P} + k_{4P} U_r^{1,6}, \quad (2.79)$$

$$Q_r = k_{1Q} U_r^2 + k_{2Q} U_r + k_{3Q} + k_{4Q} U_r^{-2} + k_{5Q} U_r^3, \quad (2.80)$$

rezultă pentru expresia pierderilor de putere relațiile (2.81) și (2.82):

$$\begin{aligned} \Delta P_r = & 0,1 \left\{ k_{5Q}^2 U_r^4 + 2k_{1Q} k_{5Q} U_r^3 + (k_{1P}^2 + k_{2Q}^2 + 2k_{2Q} k_{5Q}) U_r^2 + \right. \\ & + 2k_{1P} k_{4P} U_r^{1,6} + k_{4P}^2 U_r^{1,2} + 2(k_{1P} k_{2P} + k_{1Q} k_{2Q} + k_{3Q} k_{5Q}) U_r + \\ & + 2k_{2P} k_{4P} U_r^{0,6} + (k_{2P}^2 + k_{2Q}^2 + 2k_{1P} k_{3P} + 2k_{1Q} k_{3Q}) + \frac{2k_{3P} k_{4P}}{U_r^{0,4}} + \\ & + \frac{2(k_{2P} k_{3P} + k_{2Q} k_{3Q} + k_{4Q} k_{5Q})}{U_r} + \frac{k_{3P}^2 + k_{3Q}^2 + 2k_{1Q} k_{4Q}}{U_r^2} + \\ & \left. + \frac{2k_{2Q} k_{4Q}}{U_r^3} + \frac{2k_{3Q} k_{4Q}}{U_r^4} + \frac{k_{4Q}^2}{U_r^6} \right\}, \end{aligned} \quad (2.81)$$

$$\begin{aligned} \Delta Q_r = & k_{5Q}^2 U_r^4 + 2k_{1Q} k_{5Q} U_r^3 + (k_{1P}^2 + k_{1Q}^2 + 2k_{2Q} k_{5Q} + B_{Lr} U_r^2) U_r^2 + \\ & + 2k_{1P} k_{4P} U_r^{1,6} + k_{4P}^2 U_r^{1,2} + 2(k_{1P} k_{2P} + k_{1Q} k_{2Q} + k_{3Q} k_{5Q}) U_r + \\ & + 2k_{2P} k_{4P} U_r^{0,6} + (k_{2P}^2 + k_{2Q}^2 + 2k_{1P} k_{3P} + 2k_{1Q} k_{3Q}) + \frac{2k_{3P} k_{4P}}{U_r^{0,4}} + \\ & + \frac{2(k_{2P} k_{3P} + k_{2Q} k_{3Q} + k_{4Q} k_{5Q})}{U_r^2} + \frac{k_{3P}^2 + k_{3Q}^2 + 2k_{1Q} k_{4Q}}{U_r^4} + \\ & + \frac{2k_{2Q} k_{4Q}}{U_r^3} + \frac{2k_{3Q} k_{4Q}}{U_r^4} + \frac{k_{4Q}^2}{U_r^6}. \end{aligned} \quad (2.82)$$

Din relațiile (2.81) și (2.82) se poate calcula efectul

de reglaj al pierderilor de putere:

$$\begin{aligned} \left( \frac{d\Delta P_r}{dU_r} \right)_{U_r=1} = & 0,4k_{5Q}^2 + 0,6k_{1Q}k_{5Q} + 0,2(k_{1P}^2 + k_{1Q}^2 + 2k_{2Q}k_{5Q}) + \\ & + 0,32k_{1P}k_{4P} + 0,12k_{4P}^2 + 0,2(k_{1P}k_{2P} + k_{1Q}k_{2Q} + k_{3Q}k_{5Q}) + \\ & + 0,12k_{2P}k_{4P} - 0,08k_{3Q}k_{4P} - 0,2(k_{2P}k_{3P} + k_{2Q}k_{3Q} + k_{4Q}k_{5Q}) - \\ & - 0,2(k_{3P}^2 + k_{3Q}^2 + 2k_{1Q}k_{4Q}) - 0,6k_{2Q}k_{4Q} - 0,8k_{3Q}k_{4Q} - \\ & - 0,6k_{4Q}^2, \end{aligned} \quad (2.83)$$

$$\begin{aligned} \left( \frac{d\Delta P_r}{dU_r} \right)_{U_r=1} = & 4k_{5Q}^2 + 6k_{1Q}k_{5Q} + 2(k_{1P}^2 + k_{1Q}^2 + 2k_{2Q}k_{5Q} + B_{Lr}) + \\ & + 3,2k_{1P}k_{4P} + 1,2k_{4P}^2 + 2(k_{1P}k_{2P} + k_{1Q}k_{2Q} + k_{3Q}k_{5Q}) + \\ & + 1,2k_{2P}k_{4P} - 0,8k_{3P}k_{4P} - 2(k_{2P}k_{3P} + k_{2Q}k_{3Q} + k_{4Q}k_{5Q}) - \\ & - 2(k_{3P}^2 + k_{3Q}^2 + 2k_{1Q}k_{4Q}) - 6k_{2Q}k_{4Q} - 8k_{3Q}k_{4Q} - \\ & - 6k_{4Q}^2. \end{aligned} \quad (2.84)$$

Avind în vedere că relațiile care exprimă caracteristicile statice de putere funcție de tensiune ale pierderilor de putere (2.81) și (2.82) sunt destul de complexe, în literatură și în calcule practice se consideră această caracteristică de formă: putere activă constantă, putere reactivă proporțională cu  $U^2$  /46/, putere activă și reactivă proporționale cu pătratul tensiunii /3/, soluții care îndepărtează rezultatele de realitate, aceste simplificări având o valabilitate limitată și introducînd erori de calcul deloc neglijabile.

Dacă se urmărește totuși o carecare simplificare pentru un calcul mai rapid se propune aproximarea caracteristicilor statice de putere funcție de tensiune prin relația de formă (2.85), (2.86) în locul relațiilor (2.79) și (2.80) :

$$P_r = (k_{1P} + k_{4P})U_r^2 + K_{2P}U_r + K_{3P}, \quad (2.85)$$

$$Q_r = (k_{1Q} + k_{5Q})U_r^2 + K_{2Q}U_r + K_{3Q} + K_{4Q}U_r^{-2}. \quad (2.86)$$

Se observă că în aceste relații s-au făcut aproximările:

$$k_{4P}U_r^{1,6} \approx k_{4P}U_r^2, \quad K_{5Q}U_r^3 \approx K_{5Q}U_r^2.$$

Se consideră că aceste simplificări se pot admite, condu-

cind la relații de calcul mai simple, iar erorile ce rezultă prin admiterea acestor ipoteze simplificate sunt mici ( $\varepsilon < 3\%$ ) pentru valori ale tensiunii apropiate de valoarea nominală (situație ce intervine în studiile de stabilitate statică), după cum rezultă din datele prezentate în tabelele 2.3...2.7.

TABELUL nr.2.3

Erori în aprecierea caracteristicii statice a puterii active			
Expresia	$U_r^{1,6}$	$U_r^2$	$\varepsilon = \frac{U_r^{1,6} - U_r^2}{U_r^{1,6}} \cdot 100\%$
0,95	0,9212	0,9025	2,03
1	1	1	0
1,05	1,0812	1,1025	-1,92

TABELUL nr.2.4

Erori în aprecierea caracteristicii statice a puterii reactive prin aproximarea $k_{5Q} U_r^3 = K_{5Q} U_r^2$ , considerind caracteristica motorului asincron de tipul 5 din tabelul nr.2.1			
Expresia	a = $0,683 U_r^2 + 0,191 U_r^3$	b = $(0,683 + 0,191) U_r^2$	$\varepsilon = \frac{a-b}{a} \cdot 100\%$
0,9	0,69247	0,70794	- 2,23
0,95	0,780166	0,788785	- 1,1047
1	0,874	0,874	0
1,05	0,974114	0,963585	1,0809
1,1	1,080651	1,05754	2,311

TABELUL nr.2.5

Idem tabelul nr.2.4 dar considerind caracteristica 6 din tabelul nr.2.1			
Expresia	a = $0,497 U_r^2 + 0,139 U_r^3$	b = $(0,497 + 0,139) U_r^2$	$\varepsilon = \frac{a-b}{a} \cdot 100\%$
1	2	3	4
0,9	0,503901	0,51516	- 2,23
0,95	0,56772	0,57399	- 1,1044

TABELUL nr.2.5 (continuare)

1	2	3	4
1	0,636	0,636	0,1
1,05	0,7088529	0,70119	0,766
1,1	0,78638	0,76956	1,682

TABELUL nr.2.6

Idem tabelul nr.2.4 dar considerind caracteristica 7			
din tabelul nr.2.1			
<del>Expresia</del>	$a = 0,72U_r^2 + 0,2U_r^3$	$b = (0,72 + 0,2)U_r^2$	$\varepsilon = \frac{a-b}{a} \cdot 100\%$
0,9	0,729	0,7452	-2,222
0,95	0,8213	0,8303	-0,9
1	0,92	0,92	0
1,05	1,025325	1,0143	1,075
1,1	1,1374	1,1132	2,1276

TABELUL nr.2.7

Idem tabelul nr.2.4, dar considerind caracteristica 8			
din tabelul nr.2.1			
<del>Expresia</del>	$a = 0,572U_r^2 + 0,16U_r^3$	$b = (0,572 + 0,16)U_r$	$\varepsilon = \frac{a-b}{a} \cdot 100\%$
0,9	0,57996	0,59292	-2,2346
0,95	0,65341	0,66063	-1,10497
1	0,732	0,732	0
1,05	0,81585	0,80703	1,08108
1,1	0,90508	0,88572	2,139

In acest caz rezulta pentru pierderi expresiile (2.87) si (2.88).:

$$\Delta P_r = 0,1 \left\{ \left[ (k_{1P} + k_{4P})^2 + (k_{1Q} + k_{5Q})^2 \right] U_r^2 + \left[ 2k_{2P}^2 (k_{1P} + k_{4P}) + 2k_{2Q} (k_{1Q} + k_{5Q}) \right] U_r + \left[ k_{2P}^2 + k_{2Q}^2 + 2(k_{1P} + k_{4P})k_{3P} + 2k_{1Q}k_{3Q} \right] + 2k_{2P}k_{3P}U_r^{-1} + \left[ k_{3P}^2 + k_{3Q}^2 + 2(k_{1Q} + k_{2Q})k_{4Q} \right] U_r^{-2} + k_{4Q}^2 U_r^{-6} \right\}, \quad (2.87)$$

$$\begin{aligned} \Delta Q_r = & [(k_{1P} + k_{4P})^2 + (k_{1Q} + k_{5Q})^2 + B_{rL}] U_r^2 + [2k_{2P}^2 (k_{1P} + k_{4P}) + \\ & + 2k_{2Q}^2 (k_{1Q} + k_{5Q})] U_r + [k_{2P}^2 + k_{2Q}^2 + 2(k_{1P} + k_{4P}) k_{3P} + \\ & + 2k_{1Q} k_{3Q} + 2k_{2P} k_{3P}] U_r^{-1} + [k_{3P}^2 + k_{3Q}^2 + \\ & + 2(k_{1Q} + k_{2Q}) k_{4Q}] U_r^{-2} + k_{4Q}^2 U_r^{-6}. \end{aligned} \quad (2.88)$$

Simplificarea este evidentă, iar erorile ce se introduc față de considerarea caracteristicilor statice ale consumatorilor obținute prin măsurători pot fi ușor calculate, valoarea lor numerică depinde de caracteristicile statice putere funcție de tensiune ale consumatorului complex echivalent din SEE:

$$\epsilon_p \% = \frac{\Delta P_r \text{ teoret.} - \Delta P_r \text{ simplif.}}{\Delta P_r \text{ teoret.}} 100\%, \quad (2.89)$$

$$\epsilon_q \% = \frac{\Delta Q_r \text{ teoret.} - \Delta Q_r \text{ simplif.}}{\Delta Q_r \text{ teoret.}} 100\%, \quad (2.90)$$

în care s-au notat  $\Delta P_r$  teoret. și  $\Delta Q_r$  teoret. expresiile pierderilor de putere calculate cu relațiile (2.81) respectiv (2.82) iar cu  $\Delta P_r$  simplif., respectiv  $\Delta Q_r$  simplif. cele rezultate calculând cu relațiile (2.87) respectiv (2.88).

Din cele prezentate se poate trage concluzia că pentru o determinare corectă a pierderilor de putere active și reactive trebuie să se țină seama de caracteristicile statice de putere funcție de tensiune ale sarcinii, calculul pierderilor făcindu-se în acest caz prin metoda aproximărilor succesive.

Prin această metodă, sarcina se înlocuiește, pas cu pas pentru fiecare nivel de tensiune calculat, cu valorile corespunzătoare caracteristicii statice care poate fi dată sub formă de tabel sau prin dependență analitică.

In tabelul nr. 2.8 se prezintă centralizat rezultatele obținute, v. pag. 52 .

### 2.3. Caracteristicile statice de putere funcție de tensiune ale consumatorului complex

In vederea stabilirii unor caracteristici statice de putere funcție de tensiune ale consumatorului complex echivalent dintr-un nod de consum din sistemul electroenergetic, trebuie cunoscute puterea totală absorbită și compoziția consumatorilor.

Aplicând relația (2.1) pentru un consumator complex având drept consumatori individuali consumatori de toate tipurile in-

TABELUL nr.2.8.

Tabel centralizator privind caracteristicile statice de putere  
funcție de tensiune și efectul de rezist. la  $U_r=1$

Consu- mato- rul	Putere activă	$\frac{dP_r}{dU_r}$	Putere reactivă	$\frac{dQ_r}{dU_r}$
	Caracteristica statică		Caracteristica statică	
$P_r=1$	0	$Q_r = 0,764U_r^2 + 0,214U_r^3 + \frac{0,0224}{U_r^2}$	-	$2,13$
Motor asincron				
Motor sincron	$P_r=1$	0	$Q_r = 0,5U_r^2 - 0,5U_r$	$0,5$
Instal. de ilum.	$P_r = U_r^{1,6}$	1,6	$Q_r = 0$	-
Casnic	$P_r = 0,45 U_r^2 + 0,2U_r^{1,6} + 0,35$	1,22	$Q_r = 0,897U_r^2 + 0,094U_r^3 + \frac{0,0098}{U_r}$	$2,06$
Cuptos- re electrică	$P_r = U_r^2$	2	$Q_r = U_r^2$	2
Redresoare	$P_r = 3U_r - 2$	3	$Q_r = 90,625U_r^2 - 172,375U_r + 82,75$	$8,875$
Pierderi de putere	vezi rel. (2.83)		vezi rel. (2.82)	vezi rel. (2.84)

dicate în tabelul nr.2.8, se obține:

$$P_r = p_{as} P_{ras} + p_s P_{rs} + p_{il} P_{ril} + p_{cas} P_{rcas} + p_{cE} P_{rcE} + \\ + p_{Rd} P_{rRd} + p_p P_{rp}, \quad (2.91)$$

$$Q_r = q_{as} Q_{ras} + q_s Q_{rs} + q_{il} Q_{ril} + q_{cas} Q_{rcas} + q_{cE} Q_{rcE} + \\ + q_{Rd} Q_{rRd} + q_p Q_{rp}, \quad (2.92)$$

semnificația indicilor este cea indicată în lista prezentată în partea introductivă.

Având în vedere că  $q_{ril} = 0$  și că  $\sum_{i=1}^n q_i$  trebuie să fie egală cu 1, relația (2.92) devine:

$$Q_r = \frac{1}{q_{as} + q_s + q_{cas} + q_{cE} + q_{Rd} + q_p} [q_{as} Q_{ras} + q_s Q_{rs} + q_{cas} Q_{rcas} + q_{cE} Q_{rcE} + q_{Rd} Q_{rRd} + q_p Q_{rp}]. \quad (2.93)$$

Ponderile puterilor active al consumatorilor individuali în consumatorul complex rezultă din compoziția acestuia, iar ponderile puterilor reactive se stabilesc având în vedere că puterea reactivă consumată de consumatorii individuali depinde de factorul de putere ( $\cos \varphi_i$ ) cu care aceștia lucrează. Deci ponderile puterii reactive pentru consumatori se stabilesc cu relația (2.94):

$$q_i = p_i \operatorname{tg} \varphi_i, \quad (2.94)$$

iar pentru pierderi, conform indicațiilor din literatură, /101/, se poate adopta:

$$q_p = (0,2 \dots 0,25) \sum p_i. \quad (2.95)$$

Se vor sintetiza caracteristicile statice de putere funcție de tensiune pentru consumatorii complecsi indicați în literatură, v. tabelul nr.1.2 și pentru consumatorii cu compoziția propusă în tabelul nr.2.9 (compoziția indicată corespunde ponderilor  $p_i$ ). De precizat că pentru consumatorii din tabelul nr. 2.9, pentru care s-au făcut și măsurători a căror rezultate sunt prezentate în capitolul 4, s-a cunoscut compoziția consumatorului sub forma: casnic, edilitar, industrial (cu precizarea întreprinderilor alimentate din stație) și apoi după specificul întreprinderii s-a apreciat consumatorul complex al fiecărui. Desigur această evaluare este afectată de erori, ceea ce va duce la unele diferențe față de valorile măsurate, dar oricum re-

zultatele sunt mult mai apropiate de situația reală fără de considerarea caracteristicilor simplificate.

Rezultatele calculului sunt indicate în tabelele nr. 2.10,..2.12.

TABELUL nr. 2.9

Tip. con- su- mat.	Consu- mat. com- plex.	Date privind structurile propuse pentru consuma- torul complex (exprimate în %) *			
		B(16)	C(17)	E(18)	S-E(19)
		70%C+30%II.	80%I+5%II+	1,15% I + 15%E	67,32 I+ 98,85%A 32,68C
Motoare asin- crone	-	76	25	38,6	
Motoare sin- crone	-	-	-	-	
Iluminat	30	5	5	10	
Casnic	66	-	20	30	
Cuptoare electrice	-	-	10	2	
Rezresorare	-	15	35	15,4	
Pierderi de putere	4	4	5	4	
Total:	100	100	100	100	

\* ) S-a notat: I - industrial; C- casnic; II- iluminat;

E - edilitar(magazine, ateliere mici,  
spitale, etc); A - agrar.

și au fost obținute înlocuind în relația (2.91) și (2.92) ponderile din tabelele nr. 1.2 respectiv 2.4, având în vedere relația din tabelul nr. 2.8. În tabelele nr. 2.10 și 2.11 se dau expresiile caracteristicilor statice pentru consumatorul complex iar în tabelul nr. 2.12 valorile efectelor de reglaj  $R_p$  și  $R_Q$  în punctul nominal de funcționare ( $P_x=1$ ,  $Q_x=1$ ;  $U_x=1$ ), considerind pentru caracteristicile pierderilor de putere expresii simplificate ( $\Delta P = K$ ,  $\Delta P = KU^2$ , respectiv  $\Delta Q = KU^2$ ) iar apoi considerind influența caracteristicii statice a consumatorului complex asupra expresiei pierderilor de putere (cazul notat în tabelul nr. 2.7 cu " $f(P_x, Q_x)$ "). Calculul caracteristicii statice a puterii reactive, respectiv efectul de reglaj al acesteia s-a făcut atât pentru cazul neglijării saturăției cât și în situa-

ția considerării acesteia. S-au calculat erorile care rezultă în cazul admiterii ipotezelor simplificatoare față de situația reală. Prin  $\mathcal{E}_{PK}\%$  s-au notat erorile în calculul efectului reglant al caracteristicii statice a consumatorului complex în cazul considerării pierderilor de putere activă constantă, independente de tensiune, iar prin  $\mathcal{E}_{PU}\%$  eroarea în cazul considerării pentru pierderile de putere a unei dependențe pătratice cu tensiunea față de situația reală cind expresia pierderilor de putere este funcție de caracteristica statică a consumatorului complex. Pentru puterea reactivă,  $\mathcal{E}_{QfărăS}\%$ , respectiv  $\mathcal{E}_Q$  cu  $S\%$  reprezintă erorile de determinare a efectului reglant al sarcinii în absență, respectiv în prezența saturăției, în situația cind pentru pierderi se consideră o dependență pătratică față de tensiune și cazul exprimării acestora având în vedere caracteristica statică putere funcție de tensiune a consumatorului complex.

Analizând rezultatele din tabelul nr. 2.1 se observă că, în cazul caracteristicilor statice de putere activă funcție de tensiune, reprezentarea pierderilor de putere ca o valoare constantă, independentă de tensiune ( $\Delta P=K$ ) introduce erori relativ mici ( $\mathcal{E}_{PK}\% \leq 4,5\%$ ); valorile obținute pentru efectul reglant în acest caz simplificat sunt toate mai mici decât în situația reală (erorile  $\mathcal{E}_{PK}$  sunt negative). Dimpotrivă, considerarea pierderilor de putere activă de forma  $\Delta P = KU^2$  conduce la erori foarte mari ( $\mathcal{E}_{PU}\%$  cu unele excepții  $\gg 10\%$ ) pentru exprimarea efectului reglant, ceea ce conduce la concluzia evitării acestui mod de exprimare a pierderilor de putere activă.

Pentru caracteristica statică putere reactivă funcție de tensiune rezultatele sunt mai puțin concluzante, erorile variind în limite foarte largi, ceea ce impune considerarea în calculul pierderilor de putere reactivă a expresiei caracteristicilor consumatorului complex.

In figurile 2.8 și 2.9 s-au reprezentat spre exemplificare caracteristicile statice putere activă respectiv reactivă funcție de tensiune pentru cazurile în care se consideră consumatorii prin caracteristici simplificate (figura 2.8) respectiv pentru cazuri cind pentru consumatori s-au considerat

TABELUL nr. 2.1.

Caracteristicile statice putere funcție de tensiune pentru consumatorii complecși indicați în tabelul nr. 1.2			
Nr. crt.	$P_r = f(U_r)$ ; $P_r = \frac{P}{U_n}$ ; $U_r = \frac{U}{U_n}$ ( $\Delta P = K$ )	$Q_r = f(U_r)$ ; $Q_r = \frac{Q}{U_n}$ ; $U_r = \frac{U}{U_n}$ (fără saturatie; $\Delta Q = KU^2$ )	$Q_r = f(U_r)$ (cu saturatie $Q = \Delta KU^2$ )
1.	$P_r = 0,19U_r^2 + 0,6U_r + 0,13 + 0,082U_r^{1,6}$	$Q_r = 16,96U_r^2 - 31U_r + 14,9 + \frac{0,091}{U_r}$	$Q_r = 16,98U_r^2 - 31U_r + 14,9 + \frac{0,091}{U_r} + 0,065U_r^3$
2.	$P_r = 0,101U_r^2 + 0,15U_r + 0,64 + 0,11U_r^{1,6}$	$Q_r = 4,93U_r^2 - 7,99U_r + 3,81 + \frac{0,152}{U_r}$	$Q_r = 4,96U_r^2 - 7,99U_r + 3,81 + \frac{0,152}{U_r} + 0,11U_r^3$
3.	$P_r = 0,126U_r^2 + 0,3U_r + 0,52 + 0,054U_r^{1,6}$	$Q_r = 8,66U_r^2 - 15,13U_r + 7,24 + \frac{0,138}{U_r}$	$Q_r = 8,69U_r^2 - 15,13U_r + 7,24 + \frac{0,138}{U_r} + 0,098U_r^3$
4.	$P_r = 0,0556U_r^2 + 0,06U_r + 0,83 + 0,045U_r^{1,6}$	$Q_r = 2,26U_r^2 - 2,9U_r + 1,37 + \frac{0,18}{U_r}$	$Q_r = 2,3U_r^2 - 2,9U_r + 1,37 + \frac{0,18}{U_r} + 0,123U_r^3$
5.	$P_r = 0,8 + 0,2U_r^{1,6}$	$Q_r = 0,87U_r^2 - 0,167U_r + \frac{0,2}{U_r}$	$Q_r = 0,93U_r^2 - 0,166U_r + \frac{0,22}{U_r} + 0,213U_r^3$
6.	$P_r = 0,045U_r^2 + 0,785 + 0,17U_r^{1,6}$	$Q_r = 0,835U_r^2 - 0,107U_r + \frac{0,277}{U_r}$	$Q_r = 0,89U_r^2 - 0,106U_r + \frac{0,206}{U_r} + 0,107U_r^3$
7.	$P_r = 0,1125U_r^2 + 0,8375 + 0,05U_r^{1,6}$	$Q_r = 0,93U_r^2 - 0,16U_r + \frac{0,22}{U_r}$	$Q_r = 0,974U_r^2 - 0,167U_r + \frac{0,183}{U_r} + 0,1742U_r^3$
8.	$P_r = 0,1175U_r^2 + 0,18U_r + 0,6125 + 0,09U_r^{1,6}$	$Q_r = 5,57U_r^2 - 9,17U_r + 4,4 + \frac{0,15}{U_r}$	$Q_r = 5,6U_r^2 - 9,17U_r + 4,4 + \frac{0,11}{U_r} + 0,107U_r^3$
9.	$P_r = 0,11U_r^2 + 0,6U_r + 0,25 + 0,04U_r^{1,6}$	$Q_r = 21,61U_r^2 - 39,97U_r + 19,17 + \frac{0,191}{U_r}$	$Q_r = 21,71U_r^2 - 40,07U_r + 19,21 + \frac{0,143}{U_r} + 0,137U_r^3$
10.	$P_r = 0,045U_r^2 + 0,735 + 0,22U_r^{1,6}$	$Q_r = 0,797U_r^2 - 0,0716U_r + \frac{0,275}{U_r}$	$Q_r = 0,854U_r^2 - 0,0714U_r + \frac{0,114}{U_r} + 0,197U_r^3$
11.	$P_r = 0,15U_r^2 + 0,15U_r + 0,5 + 0,2U_r^{1,6}$	$Q_r = 6,4U_r^2 - 10,8U_r + 5,2 + \frac{0,225}{U_r}$	$Q_r = 6,425U_r^2 - 10,8U_r + 5,2 + \frac{0,117}{U_r} + 0,161U_r^3$
12.	$P_r = 0,1U_r^2 + 1,2U_r - 0,6 + 0,3U_r^{1,6}$	$Q_r = 52,13U_r^2 - 98,5U_r + 47,3 + \frac{0,086}{U_r}$	$Q_r = 52,15U_r^2 - 98,5U_r + 47,3 + \frac{0,064}{U_r} + 0,061U_r^3$
13.	$P_r = 0,12U_r^2 + 0,24U_r + 0,5 + 0,14U_r^{1,6}$	$Q_r = 7,44U_r^2 - 12,66U_r + 6,06 + \frac{0,16}{U_r}$	$Q_r = 7,47U_r^2 - 12,66U_r + 6,06 + \frac{0,12}{U_r} + 0,12U_r^3$
14.	$P_r = 0,08U_r^2 + 0,39U_r + 0,35 + 0,18U_r^{1,6}$	$Q_r = 12,65U_r^2 - 22,71U_r + 10,9 + \frac{0,16}{U_r}$	$Q_r = 12,68U_r^2 - 22,71U_r + 10,9 + \frac{0,12}{U_r} + 0,115U_r^3$
15.	$P_r = 0,095U_r^2 + 0,15U_r + 0,605 + 0,15U_r^{1,6}$	$Q_r = 5U_r^2 - 6,13U_r + 3,9 + \frac{0,152}{U_r}$	$Q_r = 5,03U_r^2 - 6,13U_r + 3,9 + \frac{0,114}{U_r} + 0,11U_r^3$

caracteristici obținute prin măsurători, figura 2.9.

TABELUL nr. 2.11

Caracteristicile statice putere funcție de tensiune  
pentru consumatorii complecși indicați în tabelul  
nr. 2.9.

Nr. con- sumo- tor	Carac- teris- tici- cul	$P_r = f(U_r)$ $(\Delta P = K)$	$Q_r = f(U_r)$ $(\Delta Q = KU^2)$
16	fără satu- rație	$P_r = 0,297U_r^2 + 0,432U_r^{1,6} + 0,271$	$Q_r = 0,903U_r^2 + \frac{0,098}{U_r}$
	cu satu- rație		$Q_r = 0,923U_r^2 + 0,071U_r^3 + \frac{0,00735}{U_r^2}$
17	fără satu- rație	$P_r = 0,05U_r^{1,6} + 0,45U_r + 0,5$	$Q_r = 11,89U_r^2 - 21,31U_r + 10,23 + \frac{0,19}{U_r^2}$
	cu satura- ție		$Q_r = 11,93U_r^2 - 21,31U_r + 10,23 + \frac{0,014}{U_r^2} + 0,134U_r^3$
18	fără satu- rație	$P_r = 0,19U_r^2 + 0,09U_r^{1,6} + 1,05U_r - 0,33$	$Q_r = 27,06U_r^2 + \frac{0,0842}{U_r^2} - 50,3U_r + 24,13$
	cu satu- rație		$Q_r = 27,07U_r^2 + 0,06U_r^3 + \frac{0,0063}{U_r^2} - 50,3U_r + 24,13$
19	fără sa- turație	$P_r = 0,155U_r^2 + 0,16U_r^{1,6} + 0,462U_r + 0,223$	$Q_r = 12,9U_r^2 + \frac{0,135}{U_r^2} - 23,15U_r + 11,14$
	cu satu- rație		$Q_r = 12,93U_r^2 + 0,097U_r^3 + \frac{0,0101}{U_r^2} - 23,15U_r + 11,11$

TABELUL Nr. 2.12

Valorile efectelor de reglaj pentru consumatorul complex avind caracteristicile din tabelele nr.

2.5 și 2.6 în punctul nominal de funcționare ( $U_r = 1$ )

Nr. con- su- mat.	$R_p = dP_r / dU_r$			$R_Q = dQ_r / dU_r$					
	pentru $\Delta P_r$			$\epsilon_{PK} \%$	$\epsilon_{PU} \%$	fără sat. cu satura-		$\epsilon_Q$	$\epsilon_Q$
	K	$KU_r^2$	$f(P_r, Q_r)$			pt. $\Delta U_r =$	cu $\Delta Q_r$		
1	1,1080	1,3076	1,1633	-4,75	12,40	2,782	3,028	3,912	-28,90
2	0,5270	0,727	0,5515	-4,44	31,82	1,571	2,242	2,364	-33,58
3	0,6384	0,8384	0,642	-0,56	30,59	1,92	2,528	2,911	-34,04
4	0,2584	0,3584	0,2646	-2,34	35,45	1,271	2,066	1,877	-32,28
5	0,320	-	-	-	0,970	2,292	-	-57,68	-
6	0,362	-	-	-	1,008	2,221	-	-54,61	-
7	0,305	-	-	-	1,23	2,27	-	-45,81	-
8	0,559	0,739	0,5802	-3,654	27,37	1,647	2,31	2,401	-31,40
9	0,884	-	-	-	2,87	3,733	-	-23,11	-
10	0,442	-	-	-	0,97	2,19	-	-55,71	-
11	0,770	-	-	-	1,53	2,524	-	-30,37	-
12	1,88	-	-	-	5,587	5,065	-	-6,34	-
13	0,704	0,864	0,7296	-3,509	18,221,885	2,598	2,90	-35	-10,4
14	0,838	0,998	0,8737	-4,086	14,23	2,261	2,973	3,591	-37,03
15	0,58	0,72	0,6069	-4,432	18,63	1,570	2,245	2,7069	-41,99
16	1,2852	1,3652	1,2964	-0,864	5,31	1,61	2,042	2,2423	-28,2
17	0,53	0,61	0,5445	-2,663	12,05	2,099	2,93	3,34	-37,15
18	1,574	1,674	1,61	-2,236	3,975	3,67	4,04	5,33	-31,14
19	1,028	1,108	1,047	-1,815	5,83	2,381	2,98	3,662	-34,98
									-18,6

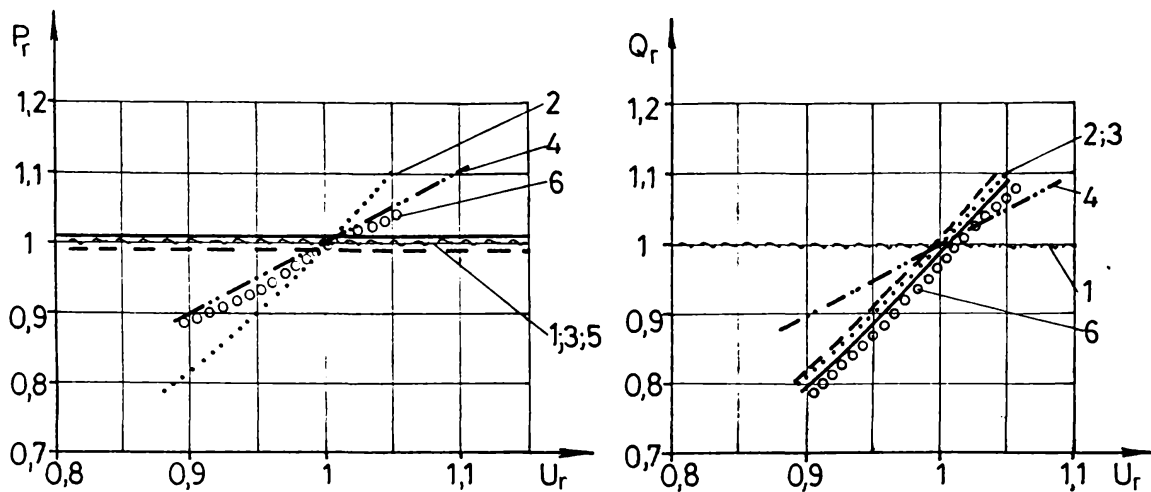


Fig. 2.8. Caracteristici  $P_r = f(U_r)$  și  $Q_r = f(U_r)$   
 1- $P, Q = \text{const.}$ ; 2- $Z = \text{const.}$ , 3-"normale"; 4- $I = \text{const.}$ ;  
 5-motor asincron; 6-casicnic.

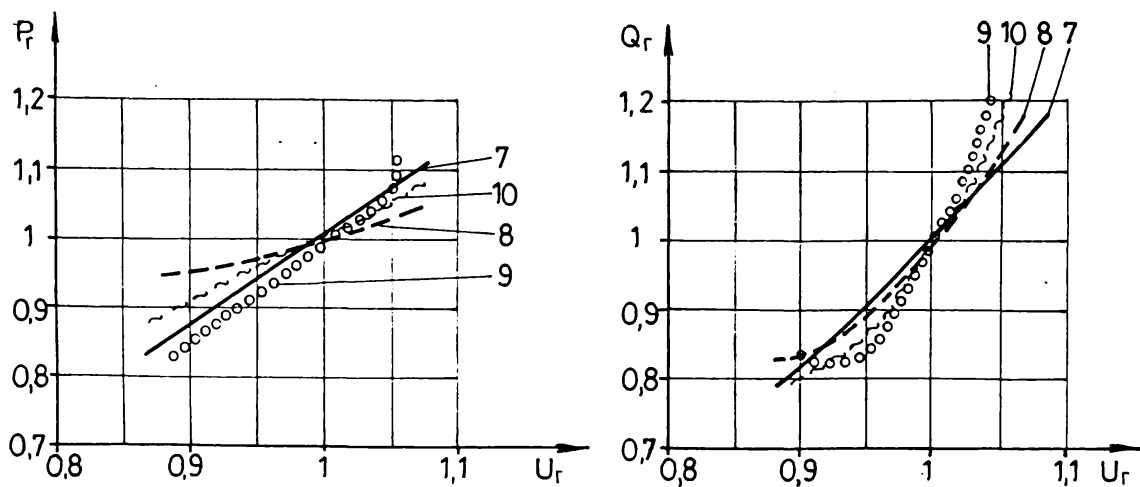


Fig. 2.9. Caracteristici  $P_r = f(U_r)$  și  $Q_r = f(U_r)$  pentru consumatori din tabelul nr. 2.9.  
 7-consumatorul 16; 8 - consumatorul 17;  
 9- consumatorul 18; 10- consumatorul 19

#### 2.4. Observații și concluzii privind sintetizarea caracteristicilor statice de putere funcție de tensiune pentru consumatorul complex

Sintetizând caracteristica statică putere funcție de tensiune a consumatorului complex din caracteristicile statice ale consumatorilor individuali, cu toate aproximările făcute, se obțin expresii complexe (v. relațiile din tabelele nr. 2.10 și 2.11), incomode de utilizat în calcule.

Aceste caracteristici prezintă o mare dispersie, nepermittînd o generalizare în funcție de componentă consumatorului complex. În schimb, efectul de reglaj prezintă o oarecare constantă față de componentă consumatorului complex, ceea ce conduce la ideea exprimării caracteristicii statice într-o formă liniarizată care să includă însă efectul de reglaj, cum se va vedea în subcapitolul 2.5.

Valorile efectului de reglaj obținute pentru caracteristicile statice de putere funcție de tensiune, sintetizate pentru consumatori complecși de diverse componente sunt în concordanță cu valorile indicate în literatură .

Comparînd rezultatele calculelor considerînd influența caracteristicii statice  $P_r = f(U_r)$  și  $Q_r = f(U_r)$  a consumatorului a-supra pierderilor în regele electrice cu cele în care s-a neglijat această influență (rezultatele din tabelul nr.2.12), se observă o mare diferență pentru valorile efectului reglant ceea ce conduce la concluzia că în calcule nu se recomandă această simplificare.

Cunoscînd componentă consumatorului complex echivalent se poate aprecia astfel efectul reglant al sarcinii, atunci cînd nu se dispune de date experimentale.

#### 2.5. Reprezentarea în sistemul electroenergetic a con- sumatorilor neliniari la tensiuni apropriate de cea nominală

Considerarea în calcule a consumatorului complex din sistemul electroenergetic prin caracteristicile statice de putere funcție de tensiune neliniare (v. relațiile din tabelul nr. 2.10 și 2.11), neliniaritate rezultată din faptul că elementele sistemului nu au caracteristici liniare, conduce la

complicarea calculelor. Relațiile devin și mai complicate în cazul considerării în expresia pierderilor de putere a expresiei caracteristicilor statice putere funcție de tensiune a sarcinii. Deseori se recurge, în vederea simplificării calculelor la liniarizarea elementelor, în felul acesta se admit anumite erori față de situația reală cunoscută numai pe cale experimentală.

În funcție de gradul de aproximare acceptat, se pot folosi diferite metode de calcul /8/, /9/ dintre care se amintesc metoda coardei unice, metoda tangentei, metoda aproximării curbei printr-o parabolă.

În figura 2.10 se prezintă pentru o caracteristică statică experimentală 1, caracteristicile approximate prin metodele amintite, iar expresiile puterii funcție de tensiune sunt:

a) metoda coardei unice conduce la caracteristica:

$$P = U \operatorname{tg} \alpha \quad (2.96)$$

$$\operatorname{tg} \alpha = \frac{P_n}{U_n} \quad (2.97)$$

b) metoda tangentei constă în înlocuirea caracteristicii reale prin tangentă în punctul de funcționare, obținindu-se ecuația caracteristicii:

$$P = U \operatorname{tg} \beta - U_n \operatorname{tg} \beta + P_n \quad (2.98)$$

unde

$$(2.99)$$

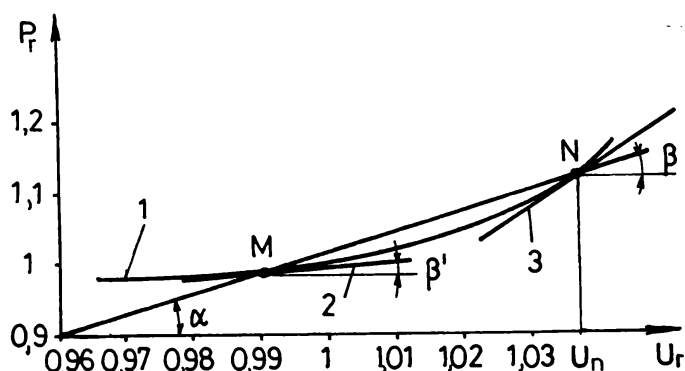


Fig. 2.10. Caracteristica statică  $P_r = f(U_r)$  pentru consumatorul complex din stația S-E, ora 8:30 (1), coarda (2),  $\operatorname{tg}$  (3).

$$\operatorname{tg} \beta = \frac{\Delta P}{\Delta U}.$$

Intervalul  $U$  trebuie ales suficient de mic, astfel încât caracteristica liniară să reflecte suficient de bine dependența funcției  $P=f(U)$ . Pentru alt punct de funcționare, în afară limitelor admise pentru  $\Delta U$ , trebuie dusă altă tangentă la curba caracteristicii statice și scrisă ecuația liniară corespunzătoare noului coeficient unghiular. Soluția completă a problemei se obține racordind diversele soluții prin condiții

comune la limită.

c) metoda aproximării curbei printr-o parabolă, cu ecuația de forma (vezi anexa A-2):

$$P_r = k_{1P} U_r^2 + k_{2P} U_r + k_3 \quad (2.100)$$

De precizat că relațiile analoage cu (2.96)...(2.100) pot fi obținute și pentru expresia caracteristicii statice a puterii reactive funcție de tensiune,  $Q_r = f(U_r)$ .

Pentru a se aprecia precizia diferitelor metode de calcul, în tabelul nr.2.13 se indică rezultatele obținute prin diferitele metode folosite pentru cîteva caracteristici statice de putere.

S-a considerat eroarea:

$$\varepsilon \% = \frac{P_r \text{ real} - P_r \text{ calc.}}{P_r \text{ real}} \cdot 100 \quad (2.101)$$

$P_r \text{ real}$  - valoarea puterii active (în u.r.) determinată experimental pentru diferite valori ale tensiunii,

$P_r \text{ calc.}$  - valoarea puterii active (în u.r.) determinată prin diferite metode de calcul, pentru aceleasi valori ale tensiunii.

Din tabel se poate observa că aproximarea caracteristicii statice a puterii active sau reactive printr-o tangentă dusă în punctul de funcționare conduce la erori relativ mici atât pentru caracteristica statică a puterii active, cât și a puterii reactive. În același timp însă calculele sunt mult mai simple, iar în expresia puterii funcție de tensiune intervine tocmai efectul reglant al sarcinii.

Dacă se cere o precizie mai mare a calculului se impune rezolvarea ecuațiilor algebrice neliniare; deobicei în acest scop se folosesc metode numerice iterative de calcul pentru care este indicată scrierea matricială, soluția este însă neeconomică atât sub aspectul utilizării memoriei calculatorului numeric, cât și a timpului de calcul. Din acest motiv, în prezentă lucrare se consideră că reprezentarea caracteristicilor statice ale consumatorilor prin caracteristici liniarizate în jurul punctului de funcționare staționară, conduce la rezultate corespunzătoare în cazul calculelor de stabilitate statică a sistemului electroenergetic, cind variațiile de tensiune și de putere sunt relativ mici.

TABELLUT nr. 2.13

Rezultate comparative privind datele obținute prin diverse metode de aproximare a caracteristicilor statice de putere în funcție de tensiune pentru diferiți consumatori complecși neliniștri

Nr. Caracteristica ort. reală(experi- mentală)	Metoda coardei unice	Metoda tangentelor										
		Putere activă			Putere reactivă							
P <sub>r</sub> real=f(U <sub>r</sub> )	U <sub>r</sub>	P <sub>r</sub>	Q <sub>r</sub>	P <sub>r</sub>	ε <sub>p</sub> %	Q <sub>r</sub>	ε <sub>q</sub> %	P <sub>r</sub>	ε <sub>p</sub> %	Q <sub>r</sub>	ε <sub>q</sub> %	
I	0,97	0,98	0,88	0,97	1,02	-	0,97	-10,22	0,983	-0,306	0,883	-0,341
	0,99	0,995	0,96	0,99	0,5025	-	0,99	3,125	0,9943	0,07035	0,961	-0,104
	1,01	1,01	1,0	1	0	-	1	0	1	0	1	0
II	0,97	0,985	0,89	0,97	1,01	0,98	1,01	6,48	1,00566	1,406	1,039	3,796
	0,99	0,99	0,97	0,99	0	0,97	0,99	-8,99	0,978	0,7106	0,885	0,562
	1,01	1,01	1,08	1,01	0,98	-	1,01	6,48	-	-	-	-
III	0,97	0,985	0,89	0,97	1,023	-	0,97	-2,06	0,9927	-0,2727	0,9617	0,855
	0,99	0,99	0,97	0,99	0	-	0,99	-2,06	-	-	-	-
	1,01	1,01	1	1	0	-	1	0	1	0	1	0
IV	0,97	0,975	0,8875	0,97	0,513	-	0,97	-9,296	0,959	1,641	0,8461	4,66
	0,99	0,9875	0,9375	0,99	-0,253	-	0,99	5,6	0,98634	0,1174	0,9487	-1,194
	1,01	1,0375	1,1	1,01	2,65	-	1	0	1	0	1	0
V	0,97	0,975	0,8875	0,97	0,513	-	0,97	-9,296	0,959	1,641	0,8461	4,66
	0,99	0,9875	0,9375	0,99	-0,253	-	0,99	5,6	0,98634	0,1174	0,9487	-1,194
	1,01	1,0375	1,1	1,01	2,65	-	1,01	8,182	1,01366	2,298	1,0513	4,42

Astfel, pentru caracteristica corespunzătoare puterii active variația puterii active  $\Delta P$  determinată de o variație a tensiunii  $\Delta U$ , este:

$$\Delta P = \left( \frac{dP}{dU} \right) \Delta U . \quad (2.102)$$

Considerind punctul de funcționare staționar  $P_{or}$ ,  $U_{or}$  (mărimi în unități relative nominale), relația (2.102) devine:

$$P_r - P_{or} = \frac{dP_r}{dU_r} (U_r - U_{or}) . \quad (2.103)$$

Cind punctul de funcționare staționară este cel nominal, cazul practic cel mai frecvent, expresia caracteristicii statice de putere funcție de tensiune poate fi scrisă:

$$P_r = 1 - \frac{dP_r}{dU_r} + \frac{dP_r}{dU_r} U_r . \quad (2.104)$$

sau notând efectul reglant al sarcinii active:

$$R_P = \frac{dP_r}{dU_r} \quad (2.105)$$

$$P_r = 1 - R_P + R_P U_r . \quad (2.106)$$

Similar, pentru caracteristica corespunzătoare puterii reactive funcție de tensiune se obține:

$$Q_r = 1 - R_Q + R_Q U_r , \quad (2.107)$$

unde  $R_Q$  reprezintă efectul reglant al sarcinii reactive

$$R_Q = \frac{dQ_r}{dU_r} : \quad (2.108)$$

Se observă că de fapt relațiile (2.104) și (2.107) sunt variante ale relației (2.98).

Exprimarea caracteristicilor statice sub forma (2.104) și (2.107) prezintă avantajul simplității (funcții liniare) și al utilizării unui singur parametru (efectul reglant) specific unui anumit tip de consumator, așa cum a rezultat din exemplele de calcul considerate în acest capitol și cum s-a confirmat prin rezultatele experimentale prezentate în capitolul 4.

Caracteristicile statice putere funcție de tensiune exprimate prin caracteristici liniare deși au o formă simplă, redau relativ fidel comportarea consumatorilor în regimuri staționare eliminând în același timp complicarea calculului ce apare

în cazul folosirii expresiilor polinomiale rezultate din prelucrarea rezultatelor experimentale sau din calcule de sintetizare a caracteristicilor consumatorilor complecși.

Ca dezavantaj al acestui mod de exprimare se poate menționa că aceasta este corectă numai pentru abateri mici ale tensiunii în jurul valorii nominale. În general însă, în practică punctele de funcționare ale consumatorilor în regimuri staționare sunt caracterizate prin mărimi electrice apropriate de mărurile nominale, expresiile (2.106) și (2.107) pot fi utilizate în majoritatea cazurilor.

### 2.6. Concluzii

Sintetizarea caracteristicii statice a sarcinii consumatorului complex, din caracteristicile statice putere funcție de tensiune a consumatorilor individuali componente, este o metodă ce se impune pentru situațiile în care nu se dispune de rezultate experimentale. Ea permite stabilirea unor expresii de calcul pentru caracteristicile putere funcție de tensiune ale consumatorului complex mult mai apropriate de caracteristicile reale în comparație cu reprezentarea consumatorului complex prin caracteristici simplificate.

Aproximarea acestor caracteristici este cu atât mai mică cu cât modelul matematic adoptat pentru caracteristicile consumatorilor individuali este mai exact.

Având în vedere considerentele de mai sus în acest capitol se propune un model matematic pentru caracteristica motorului asincron, având în vedere atât gradul de încărcare a motorului cît și influența saturăției fierului motorului. Deși relațiile se complică să se consideră necesară această reprezentare, mai apropiată de situația reală, știut fiind că motorul asincron are o pondere însemnată între consumatorii de energie electrică. Se observă că răspunsul sarcinii puterii reactive este considerabil influențat de saturarea fierului acestuia. Având în vedere slaba răspindire a motoarelor sincrone care contribuie cu o mică pondere în consumatorul complex, s-a considerat potrivit neglijarea influenței saturăției asupra caracteristicilor acestora obținându-se astfel evident simplificări ale calculelor. Pe baza literaturii studiate s-a adoptat componenta consumatorului casnic, rezultând caracteristica

statică putere funcție de tensiune corespunzătoare. S-a întocmit un studiu însupra modulului de reprezentare a pierderilor de putere în rețea, arătindu-se că greșit se apreciază uneori în literatură expresia pierderilor de putere activă funcție de tensiune printr-o dependentă pătratică. Se va putea eventual admite pentru simplificarea calculelor pierderile de putere activă în rețea constante, independente de tensiune. Dacă această concesie poate fi admisă în cazul pierderilor de putere active, în schimb în cazul pierderilor de putere reactivă în rețea se impune considerarea expresiei caracteristicii statice putere funcție de tensiune a consumatorului în calculul expresiei caracteristicilor statice putere funcție de tensiune pentru pierderile de putere reactivă în rețea.

Pentru exemplificarea dezvoltărilor teoretice se prezintă și rezultatele obținute prin sintetizarea unor consumatori complecsi indicați în literatură, respectiv a unor pentru care s-au ridicat caracteristicile statice putere funcție de tensiune experimental.

Reprezentarea consumatorilor complecsi prin caracteristici statice putere funcție de tensiune are avantajul că permite modelarea corespunzătoare a modificărilor puterii active și reactive absorbite de acestea la modificările de tensiune din sistem. Aceste caracteristici redau comportarea consumatorului mai apropiat de comportarea reală decât reprezentarea prin caracteristici simplificate, apăr însă și unele erori față de situația reală deturate modului de apreciere a ponderilor consumatorilor individuali din compoziția consumatorului complex. Aceste ponderi au o modificare continuă (detorită conectării sau deconectării unor consumatori în conformitate cu graficul de sarcină), în plus practic este imposibilă o cunoaștere exactă a compoziției consumatorului complex. Ponderile pentru puterea reactivă au fost calculate avându-se în vedere un cos  $\varphi_{med}$  al consumatorului care absorbe puterea reactivă respectivă, factor de putere presupus constant, ori se știe că factorul de putere variază în funcție de condițiile exploatarii.

In încheierea capitolului se propune o reprezentare a caracteristicilor statice de putere funcție de tensiune ale consumatorilor complecsi prin expresii liniare, având ca parametru efectul de reglaj al consumatorului.

### Capitolul 3

#### MODELUL MATEMATIC EXACT AL CONSUMATORILOR FUNCTIONIND LA TENSIUNI APROPIATE DE CEA NOMINALA

##### 3.1. Problema urmărită, metode de calcul

Obținerea caracteristicilor statice pentru funcție de tensiune a consumatorului complex echivalent prin metode sintetizării acestora din caracteristicile statice ale consumatorilor individuali componenti, cum s-a văzut în capitolul 2, conduce datorită ipotezelor admise la relații aproximative, dar relativ ușor de mărit în calcule și care dă rezultate mai apropiate de cele din realitate decât calculele în care se consideră consumatorul prin caracteristicile sale simplificate.

Se observă că exprimarea acestor caracteristici este neliniară. Pentru studii de stabilitate, ca de altfel și în alte probleme de studiu a SFE este util să se definească comportarea acestor elemente neliniare în vecinătatea unei situații cunoscute (nominală, de referință) pentru a se analiza efectul unei schimbări reduse a situației. Se știe că în același de circuite, la o variație a tensiunii, pe lângă variația curentului se modifică și impedanța, respectiv admitența circuitului; relațiile de calcul devin mai complexe.

Metoda clasică cunoscută și frecvent aplicată pentru rezolvarea problemei, constănd în liniarizarea elementelor rețelei, considerindu-se deci impedanțele acestora constante, evident că introduce erori față de situația reală, cunoscută numai pe calea experimentală. În funcție de gradul de aproximare acceptat, se pot folosi diferite metode de calcul /11/, /49/, /197/, /205/, /218/, prezentate sumar în subcapitolul 2.5 și care conduc la expresii relativ simple.

Metodele analitice bazate pe calculul matricial sau tensorial pot conduce la rezultate mai exacte în sensul redării mai fidele a situației reale.

În acest sens se prezintă în continuare o metodă de repre-

zentare tensorială (după /183/) iar apoi pe baza noțiunilor din calculul matricial se propune o reprezentare unitară a consumatorului complex echivalent.

### 3.2. Reprezentarea tensorială a comportamentului incremental al elementelor neliniare ale rețelei electrice

In analize comportării incrementale în general nu se poate aplica conceptul de impedanță (sau admitanță) ca raportul între creșterea tensiunii și creșterea curentului, pentru că această admitanță este în mod întrinsec funcție de tensiunea incrementală (sau de curent, sau simultan de tensiune și de curent). Se poate însă aplica conceptul de tensor de impedanță (sau de admitanță) incrementală, care definește relație între vectorii tensiunii și curentului incremental, prezentat în dezvoltările ce urmează.

Se consideră un dipol, în regim alternativ sinusoidal, caracterizat prin corespondența mărimilor tensiune  $U$  și curent  $I$ , vectori cu două dimensiuni și  $a$ ,  $b$ , de componente  $U_a$ ,  $U_b$  respectiv  $I_a$ ,  $I_b$  și fie  $U_m$  și  $I_m$  valorile lui  $U$  și  $I$  într-o anumită situație de referință. Dacă se consideră o situație vecină, caracterizată prin tensiunea :

$$U = U_m + \Delta U \quad (3.1)$$

și prin curentul

$$I = I_m + \Delta I, \quad (3.2)$$

în care  $\Delta U$  și  $\Delta I$  sunt mici, se poate defini tensorul de impedanță incrementală prin

$$\Delta U = Z \Delta I, \quad (3.3)$$

sau

$$\Delta U_a = Z_{aa} \Delta I_a + Z_{ab} \Delta I_b, \quad (3.4)$$

$$\Delta U_b = Z_{ba} \Delta I_a + Z_{bb} \Delta I_b, \quad (3.5)$$

neglijînd termenii de ordin superior. Similar se poate defini și tensorul admitanței incrementale:

$$\Delta I = Y \Delta U, \quad (3.6)$$

sau  $\Delta I_a = Y_{aa} \Delta U_a + Y_{ab} \Delta U_b, \quad (3.7)$

$$\Delta I_b = Y_{ba} \Delta U_a + Y_{bb} \Delta U_b. \quad (3.8)$$

Rezultă și expresiile tensorului impedanței respectiv admitanței incrementale:

$$Z = \begin{bmatrix} Z_{aa} & Z_{ab} \\ Z_{ba} & Z_{bb} \end{bmatrix}; \quad Y = \begin{bmatrix} Y_{aa} & Y_{ab} \\ Y_{ba} & Y_{bb} \end{bmatrix}. \quad (3.9)$$

Spre exemplu, se indică tensorii impedanței și admitanței incrementale în circuitele pentru care sunt definite elasticitățile puterii active  $\frac{P}{U}$  și ale puterii reactive  $\frac{Q}{U}$  în raport cu tensiunea.

In imediata vecinătate a unei stări de referință notată prin indicele  $m$ , se definesc coeficienții

$$\varepsilon = \frac{P_m}{E|U|} \quad (3.10)$$

și

$$\eta = \frac{Q_m}{E|U|}, \quad (3.11)$$

$P$  și  $Q$  fiind puterea activă și reactivă absorbită de dipol la bornele la care este aplicată tensiunea  $U$ .

Sub o altă formă, în apropierea acestui de mică față de situația de referință notată cu  $m$ , neglijînd termenii de ordin superior, se obțin:

$$\frac{P}{P_m} = \left( \frac{|U|}{|U|_m} \right)^\varepsilon \approx 1 + \varepsilon \frac{|U| - |U|_m}{|U|_m}, \quad (3.12)$$

$$\frac{Q}{Q_m} = \left( \frac{|U|}{|U|_m} \right)^\eta \approx 1 + \eta \frac{|U| - |U|_m}{|U|_m}. \quad (3.13)$$

Având:

$$P = P_m + \Delta P, \quad (3.14)$$

$$Q = Q_m + \Delta Q, \quad (3.15)$$

și

$$P_m = U_a I_a + U_b I_b, \quad (3.16)$$

$$Q_m = U_b I_a - U_a I_b, \quad (3.17)$$

$$\Delta P = U_a \Delta I_a + U_b \Delta I_b + I_a \Delta U_a + I_b \Delta U_b \quad (3.18)$$

$$\Delta Q = U_b \Delta I_a - U_a \Delta I_b + I_a \Delta U_b - I_b \Delta U_a, \quad (3.19)$$

rezultă prin calcul, /183/ :

$$Z = f(P, Q, \varepsilon, \eta, U_a, I_a, U_b, I_b), \quad (3.20)$$

$$Y = f(P, Q, \varepsilon, \eta, U_a, I_a, U_b, I_b). \quad (3.20)$$

Cunoscând tipul consumatorilor recordați la rețea, se pot estima valorile lui  $\epsilon$  și  $\eta$  pe baza unor măsurători făcute în rețele similare.

### 3.3. Reprezentarea matricială a consumatorilor în studiile de stabilitate statică

#### 3.3.1. Introducere

Se consideră reprezentarea consumatorilor individuali cît și a celui complex echivalent din SFE printr-o scriere matricială care permite asigurarea unui grad de generalitate, o exprimare unitară și simplă a caracteristicii puterii funcție de tensiune, valabilă în domeniul micilor perturbații.

Această reprezentare este potrivită având în vedere că ecuațiile algebrice care caracterizează circuitele electrice neliniare se rezolvă prin metode numerice iterative de calcul.

#### 3.3.2. Reprezentarea motorului asincron

Ecuatiile generale de funcționare ale motorului asincron scrise sub forma matricială, în coordonate de fază sunt, /169/ :

$$[u] = -[e] + [R][i] = \frac{d}{dt}[\Psi] + [R][i] \quad (3.21)$$

unde:

$[u]$ ,  $[e]$ ,  $[i]$ ,  $[\Psi]$ , sunt matricele coloană a tensiunilor la borne, a t.e.m., ale curentelor și fluxurilor rezultante, iar  $[R]$  este matricea diagonală a rezistențelor.

$$\begin{aligned} [u] &= \begin{bmatrix} [u_S] \\ [u_R] \end{bmatrix}; \quad [e] = \begin{bmatrix} [e_S] \\ [e_R] \end{bmatrix}; \quad [i] = \begin{bmatrix} [i_S] \\ [i_R] \end{bmatrix}, \\ [\Psi] &= \begin{bmatrix} [\Psi_S] \\ [\Psi_R] \end{bmatrix}; \quad [R] = \begin{bmatrix} [R_S] & 0 \\ 0 & [R_R] \end{bmatrix}. \end{aligned} \quad (3.22)$$

Prin indicii S și R s-au notat submatricile mărimilor corespunzătoare statorice și rotorice

$$[u_S] = \begin{bmatrix} u_{aS} \\ u_{bS} \\ u_{cS} \end{bmatrix}; \quad [u_R] = \begin{bmatrix} u_{aR} \\ u_{bR} \\ u_{cR} \end{bmatrix}; \quad [i_S] = \begin{bmatrix} i_{aS} \\ i_{bS} \\ i_{cS} \end{bmatrix};$$

$$\begin{aligned}
 [i_R] &= \begin{bmatrix} i_{aR} \\ i_{bR} \\ i_{cR} \end{bmatrix}; & [e_S] &= \begin{bmatrix} e_{aS} \\ e_{bS} \\ e_{cS} \end{bmatrix}; & [e_R] &= \begin{bmatrix} e_{aR} \\ e_{bR} \\ e_{cR} \end{bmatrix}; \\
 [\psi_S] &= \begin{bmatrix} \psi_{aS} \\ \psi_{bS} \\ \psi_{cS} \end{bmatrix}; & [\psi_R] &= \begin{bmatrix} \psi_{aR} \\ \psi_{bR} \\ \psi_{cR} \end{bmatrix}; & [R_S] &= \begin{bmatrix} R_S & 0 & 0 \\ 0 & R_S & 0 \\ 0 & 0 & R_S \end{bmatrix}; \\
 [R_R] &= \begin{bmatrix} R_R & 0 & 0 \\ 0 & R_R & 0 \\ 0 & 0 & R_R \end{bmatrix}.
 \end{aligned} \quad (3.23)$$

Dar  $[\psi] = [L] [i]$ , (3.24)

unde  $[L]$  este matricea inductanțelor

$$[L] = \begin{bmatrix} [L_S] & [M_{RS}] \\ [M_{SR}] & [L_R] \end{bmatrix} \quad (3.25)$$

în care dacă se consideră mașina asincronă de referință, figura 3.1 și relațiile dintre permeanțele circuitelor magnetice, numărul de spire ale înfășurărilor statorice respectiv rotorice, inductivitățile proprii și mutuale ale unei faze statorice și rotorice, cu notările unghiurilor din figură, se obține:

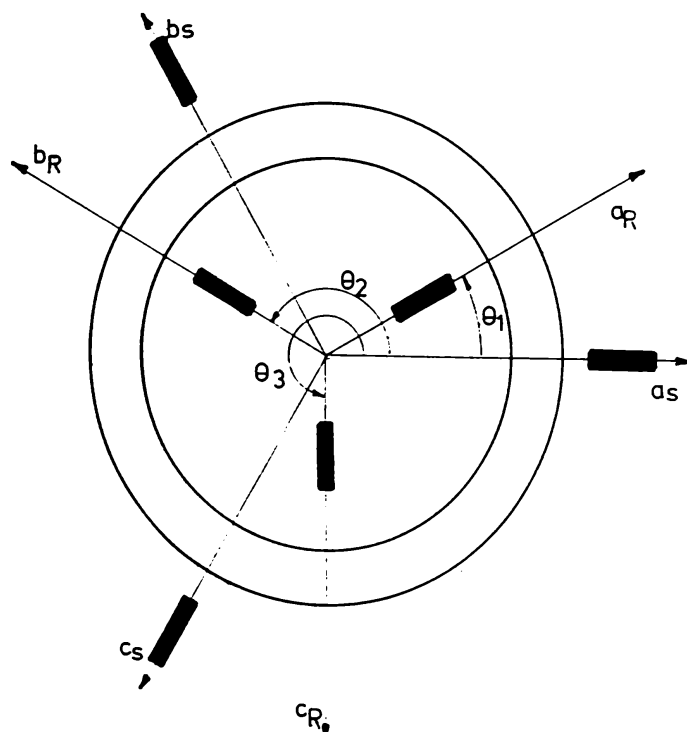


Fig.3.1. Mașina asincronă de referință

$$[L_S] = \begin{bmatrix} L_{aS} & M'_S & M''_S \\ M'_S & L_{bS} & M''_S \\ M''_S & M'_S & L_{cS} \end{bmatrix},$$

$$[L_R] = \begin{bmatrix} L_{aR} & M'_R & M''_R \\ M''_R & L_{bR} & M'_R \\ M'_R & M''_R & L_{cR} \end{bmatrix}. \quad (3.26)$$

$$[M_{RS}] = \begin{bmatrix} M' \cos\theta_1 & M' \cos\theta_3 & M' \cos\theta_2 \\ M' \cos\theta_2 & M' \cos\theta_1 & M' \cos\theta_3 \\ M' \cos\theta_3 & M' \cos\theta_2 & M' \cos\theta_1 \end{bmatrix},$$

$$[M_{SR}] = \begin{bmatrix} M' \cos\theta_1 & M' \cos\theta_2 & M' \cos\theta_3 \\ M' \cos\theta_3 & M' \cos\theta_1 & M' \cos\theta_2 \\ M' \cos\theta_2 & M' \cos\theta_3 & M' \cos\theta_1 \end{bmatrix}. \quad (3.27)$$

unde:  $L_g = L_{gG} + L_{Sm}$ ;  $L_R = L_{RG} + L_{Rm}$ ;  $L_{SG} = L'_{SG} + M_{SG}$ ;

$$L_{RG} = L'_{RG} + M_{RG}; \quad L_{Sm} = \frac{3}{2} L'_{Sm}; \quad L_{Rm} = \frac{3}{2} L'_{Rm}; \quad (3.28)$$

$$M'_S = -M_{SG} + L'_{Sm} \cos 120^\circ = -M_{SG} - 0,5 L_{Sm};$$

$$M'_R = -M_{RG} + L'_{Rm} \cos 240^\circ = -M_{RG} - 0,5 L_{Rm};$$

$$M = \frac{3}{2} M';$$

$$\theta_2 = \theta_1 + 240^\circ = \theta_1 - 120^\circ;$$

$$\theta_3 = \theta_1 + 120^\circ.$$

Se observă că matricea  $[M_{RS}]$  este transpusa matricei  $[M_{SR}]$ :

$$[M_{RS}] = [M_{SR}]^t. \quad (3.29)$$

În ceea ce următoarele:

$L_g$ ,  $L_R$  - inductivitățile ciclice totale ale statorului respectiv rotorului;  $L_{gG}$ ,  $L_{RG}$  - inductivitățile totale de scăpări ale statorului respectiv rotorului;  $L_{Sm}$ ,  $L_{Rm}$  - inductivitățile ciclice mutuale proprii ale statorului și rotorului;  $L'_{SG}$ ,  $L'_{RG}$  - inductivitățile proprii de scăpări ale unei feze a statorului sau ro-

rului;  $L'_{Sm}$ ,  $L'_{Rm}$  - inductivități proprii mutuale ale unei faze a statorului sau rotorului;  $L_{aS}$ ,  $L_{bS}$ ,  $L_{cS}$  - inductivități proprii totale ale fazelor statorului;  $L_{aR}$ ,  $L_{bR}$ ,  $L_{cR}$  - inductivități proprii totale ale fazelor rotorului;  $M'$  - inductivitatea mutuală maximă dintre o fază a statorului și una a rotorului;  $M_{SG}$ ,  $M_{RG}$  - inductivități mutuale de scăpări dintre două faze ale statorului sau ale rotorului;  $M_{RS}$ ,  $M_{SR}$  - inductivități mutuale totale între înfășurarea statorului și cea a rotorului;  $M$  - inductivitate mutuală ciclică dintre stator și rotor;

Dacă se introduce (3.24) în (3.21), se obține:

$$[u] = [z][i], \quad (3.30)$$

unde  $[z]$  este matricea de impedanță a motorului:

$$[z] = [R] + [X], \quad (3.31)$$

$[X]$  fiind matricea de reactanță a motorului.

Ecuatia (3.21) trebuie completată cu ecuația de mișcare a rotorului

$$M_m - M_g = \frac{J}{p} \frac{d^2\theta}{dt^2}, \quad (3.32)$$

în care:  $M_m$  - este cuplul mecanic de la arborele mașinii;  $M_g$  este cuplul electromagnetic;  $J$  - este momentul de inerție al maselor în mișcare,  $p$  - este numărul perechilor de poli.

Ecuatiile mașinii de forma (3.21) prezintă dezavantajul că inductivitățile care intervin în expresia fluxului (3.24) depend de timp prin intermediul unghiului  $\theta_1$ , deci sunt ecuații diferențiale cu coeficienți variabili. Pentru liniarizarea acestor ecuații se aplică transformarea Park, adică se face o schimbare de coordonate, de la mărimile de fază  $a_S$ ,  $b_S$ ,  $c_S$ , respectiv  $a_R$ ,  $b_R$ ,  $c_R$  la sistemul de componente  $d$ ,  $q$ ,  $o$  (figura 3.2).

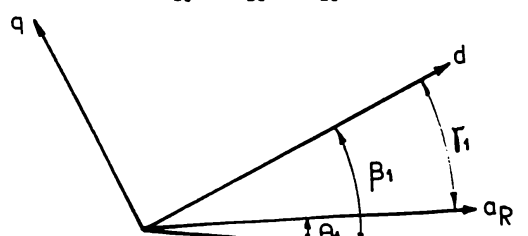


Fig. 3.2. Cea mai bună caracterizare a sistemului de coordonate  $d$ ,  $q$  față de sistemele de mărimi de fază

Trecerea de la sistemele inițiale de coordonate la noul sistem se va face prin intermediul matricei Park de conexiuni  $[C]$ :

$$[C] = \begin{bmatrix} [C_{aSd}] & 0 \\ 0 & [C_{aRd}] \end{bmatrix}, \quad (3.33)$$

în care:

$$[C_{aSd}] = \begin{bmatrix} \cos \beta_1 & -\sin \beta_1 & 1 \\ \cos \beta_2 & -\sin \beta_2 & 1 \\ \cos \beta_3 & -\sin \beta_3 & 1 \end{bmatrix}, \quad (3.34)$$

$$[C_{aRd}] = \begin{bmatrix} \cos \gamma_1 & -\sin \gamma_1 & 1 \\ \cos \gamma_2 & -\sin \gamma_2 & 1 \\ \cos \gamma_3 & -\sin \gamma_3 & 1 \end{bmatrix}, \quad (3.35)$$

unde:  $\beta_2 = \beta_1 - 120^\circ$ ;  $\beta_3 = \beta_1 + 120^\circ$ ;  $\gamma_2 = \gamma_1 - 120^\circ$ ;  $\gamma_3 = \gamma_1 + 120^\circ$

$$(3.36)$$

Noile variabile  $[y']$  se exprimă în funcție de variabilele inițiale  $[y]$  prin relația:

$$[y] = [C][y'], \quad (3.37)$$

sau

$$[y'] = [C]^{-1}[y], \quad (3.38)$$

unde  $[C]^{-1}$  este matricea inversă de conexiuni și se stie că

$$[C] \cdot [C]^{-1} = 1. \quad (3.39)$$

Deci ecuația (3.21) în noul sistem de coordonate devine:

$$\begin{aligned} [u'] = & -[e'] + [R'][i'] = [C]^{-1} \left\{ \frac{d}{dt} [C] + [C] \frac{d}{dt} \right\} [y'] + \\ & + [R'] [i'], \end{aligned} \quad (3.40)$$

unde:

$$[R'] = [C]^{-1}[R][C]. \quad (3.41)$$

$$[u'] = \begin{bmatrix} u_d \\ u_q \\ u_o \end{bmatrix}; \quad [\Psi] = \begin{bmatrix} \Psi_d \\ \Psi_q \\ \Psi_o \end{bmatrix}; \quad [i'] = \begin{bmatrix} i_d \\ i_q \\ i_o \end{bmatrix}$$

Tensiunile de alimentare fiind simetrice, componente homopolare  $u_o$ ,  $\Psi_o$ ,  $i_o$  sunt egale cu zero, iar ecuația (3.32), este, /66/ :

$$M_m - p (\Psi_q i_q - \Psi_d i_q) = \frac{J}{p} \frac{d^2 \theta}{dt^2}. \quad (3.42)$$

În relația (3.40) matricea inversă de conexiune este:

$$[C]^{-1} = \begin{bmatrix} [C_{dS}] & \\ 0 & [C_{dR}] \end{bmatrix}, \quad (3.43)$$

unde:

$$[C_{dS}] = [C_{eSd}]^{-1} = \frac{2}{3} \begin{bmatrix} \cos\beta_1 & \cos\beta_2 & \cos\beta_3 \\ -\sin\beta_1 & -\sin\beta_2 & -\sin\beta_3 \\ 1/2 & 1/2 & 1/2 \end{bmatrix}, \quad (3.44)$$

$$[C_{dR}] = [C_{eRd}]^{-1} = \frac{2}{3} \begin{bmatrix} \cos\gamma_1 & \cos\gamma_2 & \cos\gamma_3 \\ -\sin\gamma_1 & -\sin\gamma_2 & -\sin\gamma_3 \\ 1/2 & 1/2 & 1/2 \end{bmatrix}. \quad (3.45)$$

Din (3.24) se obțin expresiile fluxurilor în sistemul de coordinate d,q,o :

$$[\Psi] = [C]^{-1} [L] [C] [i'] = [L'] [i'], \quad (3.46)$$

unde  $[L']$  este matricea inductanță a mașinii în sistemul d,q,o, echivalentă matricei  $[L]$ , (3.25)

$$[L'] = [C]^{-1} [L] [C]. \quad (3.47)$$

Inlocuind expresiile (3.43), (3.45) și (3.33) în expresie (3.47) se obține:

$$[L'] = \begin{bmatrix} [C_{dS}] & 0 \\ 0 & [C_{dR}] \end{bmatrix} \begin{bmatrix} [L_S] & [M_{RS}] \\ [M_{SR}] & [L_R] \end{bmatrix} \begin{bmatrix} [C_{eSd}] & 0 \\ 0 & [C_{eRd}] \end{bmatrix}. \quad (3.48)$$

Deci:

$$[L'] = \begin{bmatrix} [C_{dS}] [L_S] [C_{eSd}] & [C_{dS}] [M_{RS}] [C_{eRd}] \\ [C_{dR}] [M_{SR}] [C_{eSd}] & [C_{dR}] [L_R] [C_{eRd}] \end{bmatrix}. \quad (3.49)$$

După efectuarea produselor matriciale și ținând cont de relațiiile (3.28), se obtine:

$$[L'] = \begin{bmatrix} L_S & 0 & 0 & M & 0 & 0 \\ 0 & L_S & 0 & 0 & M & 0 \\ 0 & 0 & L_{So} & 0 & 0 & 0 \\ M & 0 & 0 & L_R & 0 & 0 \\ 0 & M & 0 & 0 & L_R & 0 \\ 0 & 0 & 0 & 0 & 0 & L_{Ro} \end{bmatrix}. \quad (3.50)$$

Pentru analiza micilor perturbații, ecuațiile (3.40), (3.46) și (3.42) își formează:

$$[\Delta u'] = [C]^{-1} \left\{ \frac{d}{dt} [C] + [C] \frac{d}{dt} \right\} [\Delta \psi'] + [R'] [i'] , \quad (3.51)$$

$$[\Delta \psi'] = [L'] [\Delta i'] ,$$

$$\Delta M_m - p(\Psi_q \Delta i_d + i_d \Delta \Psi_q - \Psi_d \Delta i_q - i_q \Delta \Psi_d) = \frac{J}{p} \frac{d^2 \Delta \theta}{dt^2} ,$$

Puterea activă și reactivă la bornele mașinii, în unități relative în coordonate dq este, /169/, /218/

$$\begin{aligned} p &= u_d i_d + u_q i_q \\ q &= u_d i_q - u_q i_d \end{aligned} \quad (3.52)$$

unde ecuația tensiunii este

$$u^2 = u_d^2 + u_q^2 , \quad (3.53)$$

dar în domeniul variațiilor mici, ecuațiile puterii devin:

$$\begin{aligned} \Delta p &= i_d \Delta u_d + i_q \Delta u_q + u_d \Delta i_d + u_q \Delta i_q , \\ \Delta q &= i_q \Delta u_d - i_d \Delta u_q - u_q \Delta i_d + u_d \Delta i_q , \end{aligned} \quad (3.54)$$

iar tensiunile

$$(U + \Delta U)^2 = (u_d + \Delta u_d)^2 + (u_q + \Delta u_q)^2 \quad (3.55)$$

și neglijînd termenii de gradul doi

$$\Delta U = \frac{u_d}{U} \Delta u_d + \frac{u_q}{U} \Delta u_q . \quad (3.56)$$

Făcînd un sistem de referință admis, vin în considerare unghiurile din figura 3.3.

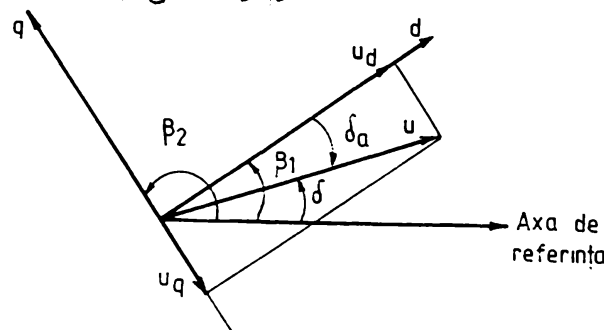


Fig.3.3. Referitoare la definirea poziției tensiunii față de o axă de referință

Deci:

$$\delta = \beta_2 - 90^\circ + \delta_a \quad (3.57)$$

$$\operatorname{arcctg} \frac{u_q}{u_d} = \delta_a .$$

Linierizînd, se obține:

$$\begin{aligned} \Delta \delta &= - \frac{u_d}{U^2} u_q + \\ &+ \frac{u_q}{U^2} \Delta u_d \end{aligned} \quad (3.58)$$

Relațiile (3.54), (3.56) și (3.58) pot fi scrise sub forma:

$$\begin{bmatrix} \Delta P \\ \Delta Q \\ \Delta U \\ \Delta \delta \end{bmatrix} = \begin{bmatrix} i_d & i_q & u_d & u_q \\ i_q & -i_d & -u_q & u_d \\ u_d & u_q & u & 0 \\ u & u & 0 & 0 \end{bmatrix} \begin{bmatrix} \Delta u_d \\ \Delta u_q \\ \Delta i_d \\ \Delta i_q \end{bmatrix} \quad (3.59)$$

care caracterizează funcționarea motorului asincron în regim stationar.

### 3.3.3. Reprezentarea sarcinilor pasive

Prin sarcini pasive s-a considerat consumatorii: iluminat, rezistivi, cuntoare electrice. Pornind de la expresiile caracteristicilor statice de putere funcție de tensiune, prezente în capitolul 2, forma lor linierizată este:

- pentru iluminat:

$$\Delta P_{il} = 1,6 \frac{P_{il}}{U} \Delta U \quad ; \Delta Q_{il} = 0 \quad (3.60)$$

- pentru consumatori rezistivi, cuntoare electrice:

$$\Delta P_{CE} = 2 \frac{P_{CE}}{U} \Delta U, \quad \Delta Q_{CE} = 2 \frac{Q_{CE}}{U} \Delta U, \quad (3.61)$$

care reprezentate matricial conduc la relațiile:

$$\begin{bmatrix} \Delta P \\ \Delta Q \\ \Delta U \end{bmatrix} = \begin{bmatrix} K_P \frac{P}{U} u_d & K_P \frac{P}{U} u_q \\ K_Q \frac{Q}{U} u_d & K_Q \frac{Q}{U} u_q \\ u_d & u_q \end{bmatrix} \begin{bmatrix} \Delta u_d \\ \Delta u_q \end{bmatrix}, \quad (3.62)$$

unde  $K_P = 1,6$  și  $K_Q = 0$  în cazul consumatorilor iluminat și  $K_P = 2$ ,  $K_Q = 2$  în cazul consumatorilor rezistivi sau cuntoare electrice.

### 3.3.4. Reprezentarea consumatorului complex echivalent

Pentru reprezentarea consumatorului complex echivalent dintr-un SEE trebuie cunoscută ponderea fiecărui consumator din compoziția consumatorului complex, și se vor însuma ecuațiile

liniare ale fiecărui consumator:

$$\Delta P = \Delta P_{MS} + \Delta P_{il} + \Delta P_{cas} + \Delta P_{cE} + \Delta P_{Rd} + \Delta P_p, \quad (3.63)$$

$$\Delta Q = \Delta Q_{MS} + \Delta Q_{cas} + \Delta Q_{cE} + \Delta Q_{Rd} + \Delta Q_p.$$

în care  $P$  și  $Q$  reprezintă sarcina totală, adică puterea activă respectiv reactivă totală din SEE. Indicii din relațiile (3.63) au aceeași semnificație ca și indicii similari din capitolul 2.

Consumatorul casnic (v.cap.2) fiind de fapt un consumator complex, în acest capitol nu s-a explicitat scrierea sa matricială.

In general pentru un consumator complex având expresia caracteristicii statice putere funcție de tensiune de forma (2.97), forma liniarizată rezultă:

$$\begin{aligned} \Delta P &= (2k_{1P}U + k_{2P}) \Delta U, \\ \Delta Q &= (2k_{1Q}U + k_{2Q}) \Delta U. \end{aligned} \quad (3.64)$$

Considerind pentru analize comportării consumatorilor la mici perturbații, tensiunea prin componente sale  $U_d$ ,  $U_q$ , în sistemul de coordonate  $d, q$ , rel. (3.53) și (3.56), caracteristicile consumatorului complex pot fi exprimate prin relațiile matriciale:

$$\begin{bmatrix} \Delta P \\ \Delta Q \\ \Delta U \end{bmatrix} = \begin{bmatrix} 2k_{1P}U_d + k_{2P}\frac{U_d}{U} & 2k_{1P}U_q + k_{2P}\frac{U_q}{U} \\ 2k_{1Q}U_d + k_{2Q}\frac{U_d}{U} & 2k_{1Q}U_q + k_{2Q}\frac{U_q}{U} \\ \frac{U_d}{U} & \frac{U_q}{U} \end{bmatrix} \begin{bmatrix} \Delta U_d \\ \Delta U_q \end{bmatrix}, \quad (3.65)$$

din care prin particularizare se obțin relațiile ce caracterizează comportarea din punctul de vedere al caracteristicilor statice putere funcție de tensiune ale consumatorilor de orice tip. Spre exemplu, pentru sarcini cu caracteristici "normale", se obține:

$$\begin{bmatrix} \Delta P \\ \Delta Q \\ \Delta U \end{bmatrix} = \begin{bmatrix} 0 & 0 \\ 2k_{1Q}U_d & 2k_{1Q}U_q \\ \frac{U_d}{U} & \frac{U_q}{U} \end{bmatrix} \begin{bmatrix} \Delta U_d \\ \Delta U_q \end{bmatrix}. \quad (3.66)$$

Acest mod de reprezentare a sarcinii se pretează la calculoare numerice.

### **3.4. Concluzii**

In acest capitol s-a arătat posibilitatea unei reprezentări precise a consumatorilor pentru studii de stabilitate.

Desigur modelul matematic al motorului asincron este cunoscut din literatura de specialitate după cum a rezultat și din trimiterile bibliografice făcute în cadrul acestui capitol, contribuția autorului constând în generalizarea acestei scrimeri și pentru consumatorul complex din SAE.

Un astfel de model matematic valabil în domeniul micilor perturbații conduce la o reprezentare mai fidelă a consumatorilor, dar în același timp la relații mai complexe care implică cunoașterea unui număr mare de parametri, un număr mai mare de variabile, de ecuații, ceea ce va implica un timp mai mare de calcul pe CN. Având în vedere aceste aspecte, în capitolul 5 s-a analizat influența reprezentării consumatorilor complecși echivalenți în studiile de stabilitate statică, rezultând situațiile în care este necesară o reprezentare precisă, implicit un calcul mai complex și respectiv cînd o reprezentare eventual mai simplificată nu influențează sensibil rezultatele studiului.

#### Capitolul 4

##### STABILIREA SI INTERPRETAREA CARACTERISTICILOR STATICE ALE CONSUMATORULUI COMPLEX ECHIVALENT PE BAZA DE IN- CERCARI IN UNELE STATII DIN S.E.E. NATIONAL

In vederea cunoasterii caracteristicilor statice de putere in functie de tensiune pentru consumatorii complecsi echivalenți recordați la sistemul energetic național, autorul prezentei lucrări a făcut, măsurători în sistem, în două etape: în perioada iulie-august 1972 și respectiv decembrie 1984-aprilie 1985, determinând experimental pentru câteva zone din SEN, curbele de variație  $P, Q = f(U)$ . O parte din rezultatele obținute sunt prezentate în lucrările autorului /119/, /120/, /121/, /122/, /162/, /163/ și vor fi redată în cele ce urmează (v.paragraful 4.1 și 4.4).

Rezultatele obținute au fost comparate cu caracteristicile statice de putere în funcție de tensiune determinate prin măsurători în sistemul energetic național, efectuate de către DSE în anul 1963, /160/ și de către ISPE în aprilie 1973, /86/.

Pentru comparație cu rezultatele obținute în alte țări, se folosesc caracteristicile prezentate concentrat în tabelul 1.4 respectiv valorile efectului reglant al sarcinii indicate în tabelul nr.1.5.

###### 4.1. Metoda de măsurare folosită și rezultatele obținute

Măsurătorile s-au făcut pe barele de 10 și 20 kV ale stațiilor: Timișoara Sud-Est (Calea Buziașului), Timișoara Nord, Timișoara Est și Reșița, în etapa I, respectiv stațiile Bucovina, Dumbrăvița și Cetate în etapa a II-a, în perioade caracteristice: vîrf de dimineată, VD (orele 8,30 -9), ora de prins, 11 (orele 11-12, VS (orele 20,30-21) și gol de noapte, GN (orele 3-3,30).

Reglajul tensiunii s-a făcut prin comutări de ploturi la transformatoarele din stație. Durata măsurătorilor pentru trăsarea unei caracteristici nedepășind circa 15...20 minute, se poate considera că în acest interval componenta sarcinii a

rămes aceeași. Pentru măsurători s-au folosit instrumente de măsură cu clasa de precizie 0,5.

S-au determinat 364 caracteristici, pentru diversi consumatori, după cum se poate vedea din tabelul nr.4.1.

TABELUL nr.4.1

Măsurători efectuate în SEN					
Date efectuării măsurătorii	Stație	Nr.III consumatorilor	Nr. de zile	ore VD, P, VS, GN	Total caracteristici
iulie-august 1972 (etapa I)	Timișoara SE	8	1	4	32
	Timișoara N	7	1	4	28
	Timișoara E	4	1	4	16
	Reșița	4	1	4	16
	<u>TOTAL I</u>	<u>23</u>	<u>1</u>	<u>4</u>	<u>92</u>
decembrie 1984-aprilie 1985 (etapa II)	Timișoara-Rucovina	4	5	4	80
	Timișoara-Dumbrăvița	3	6	4	72
	Timișoara Cetate	3	10	4	120
	Total etapa II	10	21	-	272
iulie-august 1972; dec.1984-apr.1985	Etapă(I + II)	33	-	-	364

Componența consumatorului complex echivalent din diferite stații pentru care s-au traseat caracteristicile statice de putere funcție de tensiune, prezентate în figurile 4.1...4.8, se poate vedea din datele indicate în tabelul nr.4.2.

Pentru obținerea expresiei analitice a caracteristicilor statice de putere funcție de tensiune s-a folosit metoda aproximării curbei traseate pe baza măsurătorilor printr-un polinom de gradul II /8/, aproximare suficient de exactă pentru necesitățile de calcul /117/, /159/, /160/.

TABULUL nr.4.2

Componența consumatorului complex echivalent din stații		Timișoara Sud-Est %	Timișoara Nord %	Timișoara Est %	Reșița %
Tipul consumatorului	Stație				
Industrial (I)	67,32	70,78	1,15	91,37	
Carnic (C)	32,68	29,22	0	5,37	
Agrar (A)	-		98,85	3,26	

Metoda de calcul este dată în anexa A-2.

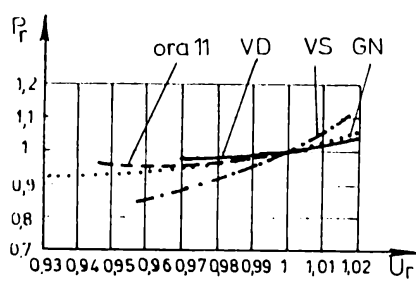


Fig.4.1.Cașteristicile sta-  
tice  $P_r = f(U_r)$ ; Timi-  
șoara S-E

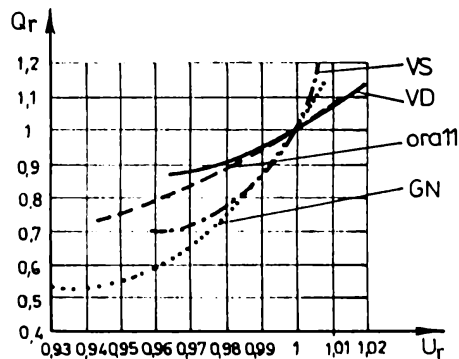


Fig.4.2.Cașteristicile sta-  
tice  $Q_r = f(U_r)$ ; Timi-  
șoara S-E

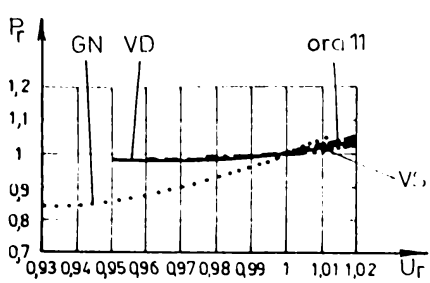


Fig.4.3.Cașteristicile sta-  
tice  $P_r = f(U_r)$ ; Timi-  
șoara N

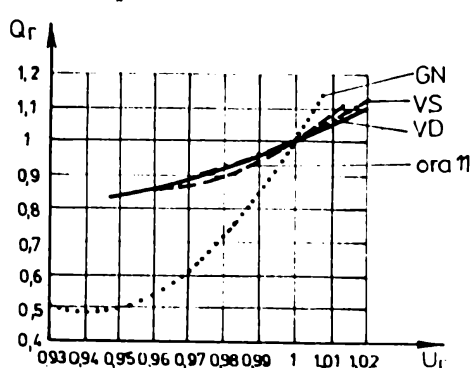


Fig.4.4.Cașteristicile sta-  
tice  $Q_r = f(U_r)$ ; Timi-  
șoara N.

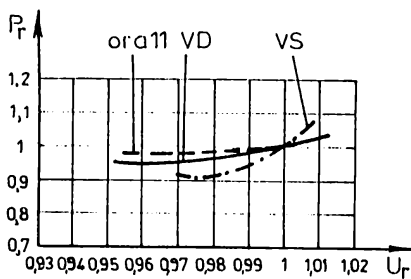


Fig.4.5.Caracteristici statice  $P_r=f(U_r)$ ; Timisoara E

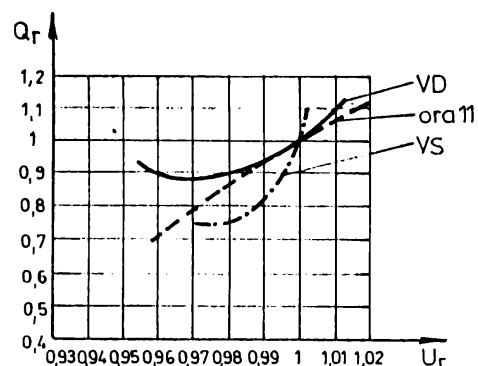


Fig.4.6.Caracteristici statice  $Q_r=f(U_r)$ ; Timisoara E

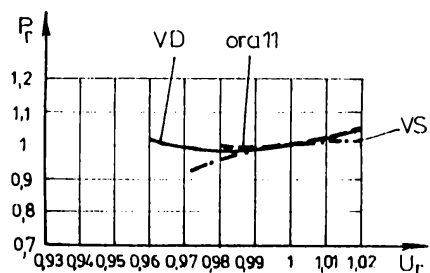


Fig.4.7.Caracteristici statice  $P_r=f(U_r)$ ; Reșița

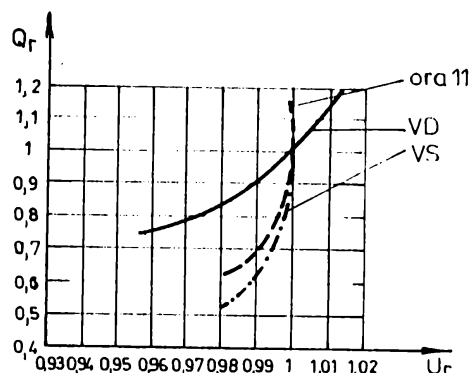


Fig.4.8.Caracteristici statice  $Q_r=f(U_r)$ ; Reșița

Rezultatele calculelor au fost sistematizate în tabelul nr. 4.3, în care s-ă prezintă expresiile caracteristicilor statice putere funcție de tensiune atât în u.r. cât și în % pentru o mai ușoară comparație cu rezultatele din literatura clasică.

TABELUL nr.4.3

Expresia analitică a caracteristicilor statice putere funcție de tensiune reprezentate în fig.4.1-4.8			
Nr. figura- rii	mărimea ora	Puterea și tensiunea exprimate în u.r.	Puterea și tensiunea exprimate în %
1	2	3	4
1 (Tms.SE)	VD	a) $P_r=f(U_r)$	b) $P\% = f(U\%)$
		$P_r=10U_r^2-19,2U_r+10,198$	$P=0,1U^2-19,2U+1019,8$
	11	$P_r=10U_r^2-18,7U_r+9,698$	$P=0,1U^2-18,7U+969,8$

TABELUL nr. 4.3 (continuare)

1	2	3	4
2 (Tms. N)	VS	$P_r = 50U_r^2 - 96U_r + 47,01$	$P = 0,5U^2 - 96U + 4701$
	GN	$P_r = 20U_r^2 - 39,34U_r + 20,34$	$P = 0,2U^2 - 39,34U + 2034$
	VD	$P_r = 20U_r^2 - 38,96U_r + 19,96$	$P = 0,2U^2 - 38,96U + 1996$
	l1	$P_r = 1,1U_r - 0,1$	$P = 1,1U - 10$
3 (Tms. E)	VS	$P_r = 50U_r^2 - 99,64U_r + 50,637$	$P = 0,5U^2 - 99,64U + 5063,7$
	GN	$P_r = 25U_r^2 - 46,95U_r + 22,96$	$P = 0,25U^2 - 46,95U + 2296$
	VD	$P_r = 10U_r^2 - 18,3U_r + 9,297$	$P = 0,1U^2 - 18,3U + 929,7$
	l1	$P_r = 40U_r^2 - 79,07U_r + 40,065$	$P = 0,4U^2 - 79,07U + 4006,5$
4 (Resi- ta)	VS	$P_r = 175U_r^2 - 347,5U_r + 173,5$	$P = 1,75U^2 - 347,5U + 173,5$
	VD	$P_r = 20U_r^2 - 38,6U_r + 19,596$	$P = 0,2U^2 - 38,6U + 19,596$
	l1	$P_r = 25U_r^2 - 49,25U_r + 25,245$	$P = 0,25U^2 - 49,25U + 2524,5$
	VS	$P_r = -25U_r^2 + 51,75U_r - 25,75$	$P = -0,25U^2 + 51,75U - 2575$
		c) $Q_r = f(U_r)$	d) $Q\% = f(U\%)$
5 (Tmss. S-E)	VD	$Q_r = 90U_r^2 - 173,6U_r + 84,682$	$Q = 0,9U^2 - 173,6U + 8468,2$
	l1	$Q_r = 25U_r^2 - 43,9U_r + 19,9$	$Q = 0,25U^2 - 43,9U + 1990$
	VS	$Q_r = 345U_r^2 - 681U_r + 337,01$	$Q = 3,45U^2 - 681U + 33701$
	GN	$Q_r = 70U_r^2 - 128,3U_r + 59,30$	$Q = 0,7U^2 - 128,3U + 5930$
6 (Tmss. N)	VD	$Q_r = 25U_r^2 - 45,6U_r + 21,598$	$Q = 0,25U^2 - 45,6U + 2159,8$
	l1	$Q_r = 50U_r^2 - 93,5U_r + 44,49$	$Q_r = 0,5U^2 - 93,5U + 4449$
	VS	$Q_r = 50U_r^2 - 94,50U_r + 46,50$	$Q = 0,5U^2 - 94,50U + 4550$
	GN	$Q_r = 145U_r^2 - 275,8U_r + 131,8$	$Q = 1,45U^2 - 275,8U + 13180$

TABELUL nr.4.3(continuare 2)

1	2	3	4
7 (Tms.E)	VD	$Q_r = -25U_r^2 + 55,6U_r - 2960,5$	$Q = -0,25U^2 + 55,6U - 2960,5$
	II	$Q_r = -60U_r^2 + 127,06U_r - 64,402$	$Q = -0,6U^2 + 127,06U - 6440,2$
	VS	$Q_r = 586,915U_r^2 - 1165,6U_r + 579,59$	$Q = 5,8691U^2 - 1165,5U + 57959$
8 (Reșița)	VD	$Q_r = 162,73U_r^2 - 317,85U_r + 156,11$	$Q = 1,6273U^2 - 317,85U + 15611$
	II	$Q_r = 1157U_r^2 - 2301U_r + 1145$	$Q = 11,57U^2 - 2301U + 114500$
	VS	$Q_r = 1350U_r^2 - 2684,67U_r + 1335,68$	$Q = 13,5U^2 - 2684,67U + 133568$

Efectul reglant al sarcinii în funcție de tensiune pentru consumatorii considerați este dat în tabelul nr.4.4, calculele fiind făcute pentru variații mici ale tensiunii față de tensiunea nominală.

TABELUL nr.4.4

Stația	ora	Efectul reglant al sarcinii în funcție de tensiune marimea $\Delta P_r / \Delta U_r$				Efectul reglant al sarcinii în funcție de tensiune marimea $\Delta Q_r / \Delta U_r$			
		VD	II	VS	GN	VD	II	VS	GN
Timișoara S-E	0,8	1,3	4	0,66	6,4	6,1	9	11,7	
Timișoara N	1,04	1,1	0,36	3,05	4,4	6,5	4,16	14,2	
Timișoara E	1,7	0,93	2,5	-	5,6	7,06	8,33	-	
Reșița	1,4	0,75	1,75	-	7,61	13	15,33	-	

Pe lîngă caracteristicile din tabelul nr. 4.3 trasate pentru consumatorul complex echivalent recordat la barele stației respective, s-au determinat prin măsurători și caracteristicile statice de putere în funcție de tensiune pentru consumatorii individuali indicați în tabelul nr.4.5, obținându-se efectul reglant indicat în tabelul nr.4.6. Pentru exemplificare, în figurile 4.9 - 4.16 s-au prezentat cîteva din caracteristicile determinate și a-nume pentru consumatori diferenți: industrial (cablul C<sub>1</sub> stația

Timișoara S-E), mixt cănic și industrial (cablul C7 stație Timișoara SE), cănic (cablul C23 stație Timișoara N) și agrar (cablul C1 stație Timișoara E).

TABELUL nr.4.5

Stație	Plecărește	Consumatori		Industriaș %	Cănic edili-	Agrar %	Obs.
		Casnic	tar %				
Timișoara S-E	C1	95	5	-			
	C3	45	55	-			
	C5	-	100	-			
	C7	50	50	-			
	C9	100	-	-			
	C11	10	90	-			
Timișoara N	C14	100	-	-			redresare
	C23	-	100				
	C26	100	-				
	C29	50	50				
	C31	100	-				comprese
	C32	100	-				
Timișoara "	C30	80	20				
	C1	-	-	100			
	C7	10	-	90			
Reșița	C9	-	-	100			
	Furnale	100	-				
	Bocșa	75	13,30	11,70			
	Ciudanovița	85,50	7,80	7			

Dată fiind dispersie constată la răspunsuri, s-a făcut determinarea mediilor statistice a abaterilor medii pătratice și a intervalelor de încredere în care se situează valorile, /8/, /37/, /38/, /181/ (vezi anexa A-3), rezultatele fiind date în tabelul nr.4.7.

TABELUL nr.4.6

Stația		Ple- ca- rea	ora	$\Delta P_r / \Delta U_r$				$\Delta Q_r / \Delta U_r$			
VD	11			VS	GN	VD	11	VS	GN		
Timi- șoara Sud- Est	C <sub>1</sub>	1	0,4	2	0,2	9	9	8	0,5		
	C <sub>3</sub>	3,5	2	2	2	-	-	10	-		
	C <sub>5</sub>	2,5	2,8	1	-5	-	-	-	-		
	C <sub>7</sub>	1	2	0	2	6	6	5	46		
	C <sub>9</sub>	0,5	1	1	0	-	2,5	-	-		
	C <sub>11</sub>	1	3	0	7,5	-	-	-	-		
Timi- șoara Nord	C <sub>14</sub>	4,5	0,5	6	0	-	4	-	6		
	C <sub>23</sub>	1	2	2	5	2,5	4,5	7,5	5		
	C <sub>26</sub>	0,5	0,2	3,5	6	3,5	8	6	10		
	C <sub>29</sub>	2	2,5	2	0	7,5	6	-	10		
	C <sub>31</sub>	0,1	0,5	0	0	2,5	7,5	3	3,5		
	C <sub>32</sub>	1	1	1,5	8,5	6	5,5	-	-		
Timi- șoara Est	C <sub>30</sub>	3	2	2	1,7	24	1	16	-		
	C <sub>1</sub>	1,5	2	2,5	-	3	5	24	-		
	C <sub>7</sub>	1,5	2,5	2,5	-	3,5	-	14	-		
Reșița	C <sub>9</sub>	1	1,5	2,5	-	3,5	1	-	-		
	Furna- le	1	-7	-	-	2	-	-	-		
	Bocșa	0	0	0,7	-	2,5	5	2,2	-		
	Cindă- novi- ta	-5	5	0	-	2,5	11	-	-		

TABELUL nr.4.7

Caracteris- tici deter- minate pen- tru bara de lo kV Tms. SE și Tms.N	$\Delta P_r / \Delta U_r$				$\Delta Q_r / \Delta U_r$			
	ora	ora	ora	ora	ora	ora	ora	ora
	VD	11	VS	GN	VD	11	VS	GN
1	2	3	4	5	6	7	8	9
Răspunsul mediu	1,5627	1,4868	1,824	2,1073	7,18	6,66	7,629	11,878
Abaterea medie pa- tratică a răspuns.	1,2636	0,9078	1,6631	3,4698	6,276	2,551	3,885	13,501

TABELUL nr.4.7 (continuare)

1	2	3	4	5	6	7	8	9
Intervalul de incredere pt.răspuns la o probabilitate de 50%	1,3424 ...	1,3284 ...	1,5341 ...	1,5026 ...	6,0857 ...	6,2153 ...	6,9517 ...	9,524 ...
	1,7629	1,6445	2,1139	2,7120	8,2742	7,1047	8,3060	14,230

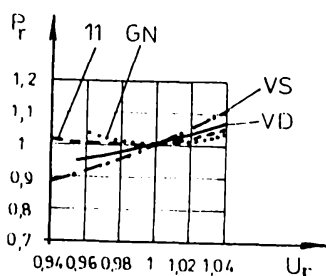


Fig.4.9.Carakteristica statică  
 $P_r = f(U_r)$ .Timișoara S-E  
 C<sub>1</sub>

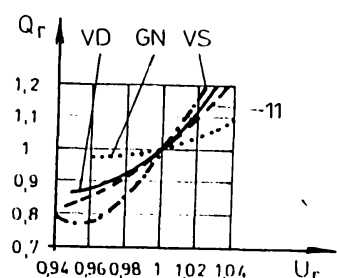


Fig.4.10.Carakteristica statică  
 $Q_r = f(U_r)$ .Timișoara S-E  
 C<sub>1</sub>

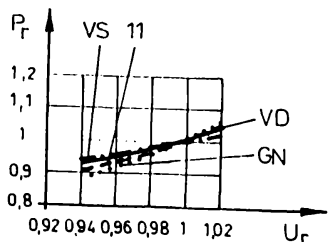


Fig.4.11.Carakteristica statică  
 $P_r = f(U_r)$ .Timișoara S-E  
 C<sub>7</sub>

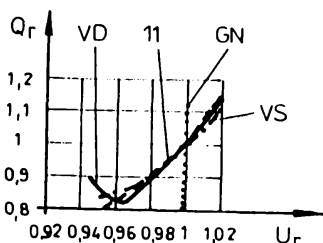


Fig.4.12.Carakteristica statică  
 $Q_r = f(U_r)$ .Timișoara S-E  
 C<sub>7</sub>

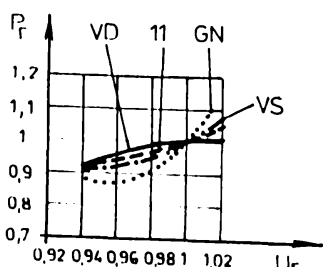


Fig.4.13.Carakteristica statică  
 $P_r = f(U_r)$ .Timișoara N  
 C<sub>23</sub>

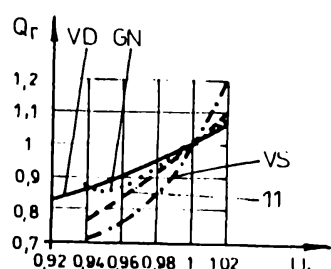


Fig.4.14.Carakteristica statică  
 $Q_r = f(U_r)$ .Timișoara N  
 C<sub>23</sub>

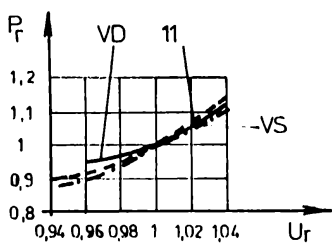


Fig.4.15.Carakteristica statică  
 $P_f = f(U_f)$ . Timișoara E  
C7

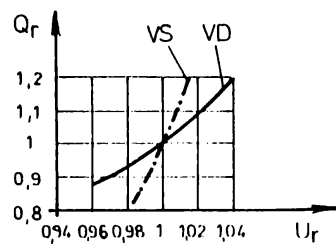


Fig.4.16.Carakteristica statică  
 $Q_f = f(U_f)$ . Timișoara F  
C7

**Observație:** Valorile din tabelul nr.4.7 s-au calculat numai pentru bara de 10 kV unde au fost suficiente măsurători pentru calcule statistice ( $\geq 10$ ), /8/, /38/. De precizat că și diferențele plecări de pe bare reprezintă un consumator complex echivalent, fiecare plecare asigurând alimentarea mai multor întreprinderi (consumatori industriali) sau asigurând consumul casnic și iluminatul străzilor (casnic, edilitar) etc.

#### 4.2. Interpretarea rezultatelor obținute din măsurările efectuate în sistemul energetic național, etapa I-a

Efectul reglant al sarcinii în funcție de tensiune s-a considerat, în mod simplificat, prin rapoartele  $\frac{\Delta P}{\Delta U}$  respectiv  $\frac{\Delta Q}{\Delta U}$ . Expresia riguroasă matematică a acestui efect este dată, /16/ de relația /4.1/:

$$\begin{aligned} \frac{dP}{dU} &= -\frac{\partial P}{\partial U} + \frac{\partial P}{\partial f} \frac{df}{dU}, \\ \frac{dQ}{dU} &= -\frac{\partial Q}{\partial U} + \frac{\partial Q}{\partial f} \frac{df}{dU}. \end{aligned} \quad (4.1)$$

S-a considerat însă că pentru scopul propus: estimarea caracteristicilor statice ale consumatorilor și influența acestora asupra stabilității sistemelor electroenergetice, frecvența putând fi considerată constantă, simplificarea nu influențează rezultatele studiului și ca urmare nu s-ar justifica complicarea calculelor considerind expresiile (4.1).

Domeniul de reglaj adoptat pentru tensiuni, a fost în jurul valorii nominale ( $U_{min} = 0,93 \dots 0,95 U_n$ ;  $U_{max} = (1,02 \dots 1,04) U_n$ , astfel încât prin măsurători să nu fie perturbată alimentarea consumatorilor.

De observat că și în literatura de specialitate, efectul

- 90 -

sarcinii se judecă pe baza rapoartelor  $\frac{\Delta P}{\Delta U}$ ,  $\frac{\Delta Q}{\Delta U}$ . În acest sens, se prezintă în tabelul nr. 4.8 sintetizat valorile efectului reglant al sarcinii grupate pe categorii de consumatori pe baza măsurătorilor efectuate în etape I-a.

Aceste rezultate sunt comparabile cu cele indicate în literatură de specialitate și prezentate sistematizat pentru o mai ușoară comparație în tabelul nr. 1.5.

Să remarcă faptul că în timp ce răspunsurile sarcinilor la variații ale tensiunii indicate în literatură, oscilează între (0,3...3,3) pentru puteri active și între (1,2...40) pentru puteri

TABELUL nr.4.8

Măsurători			R.S.R.		Răspunsul sarcinii (în punctul nominal de funcționare)	
Data	Locul	Caracl. terul conso- matoru- rului	ora	U n KV	$\Delta P_r / \Delta U_r$	$\Delta Q_r / \Delta U_r$
Iu- lie 1972	Stația Timi- șoara S-E	mixt	VD VS GN	10	0,8	6,4
					4	9
					0,66	11,7
Iu- lie 1972	Stația Tms.N	mixt	VD VS GN	10	1,04	4,4
					0,36	4,16
					2,05	14,20
Iu- lie 1972	Stația Tms.E	rural	VD VS	20	1,7	5,6
					2,5	8,33
					1,4	7,61
Au- gust 1972	Stația Reși- ta	indus- trial	VD VS	35	1,75	15,33
					0,1...4,5	2,5...9
					0...6	3 ... 8
Iu- lie 1972	Stații- le Ti- mișoae- re S-E și N	indus- trial plecă- rile C1,C9, C14, C26,C31, C32)	VD VS GN	10	0...8,5	0,5...10
					1...2,5	2,5
					0...2	7,5
Iu- lie 1972	Stații- le Timi- șoara S-E și N	casnic edili- tor plecă- rile C5,C11, C23)	VD VS GN	10	5...7,5	5

TABELUL nr.48(continuare)

1	2	3	4	5	6	7
iulie 1972	Stația Timișo- re B	rural (plecări- le C1,C9)	VD VS	20	1 ... 1,5 2,5	3 ... 3,5 24
iulie 1972	Stația Reșița	industri- al(plecă- rile F,B, C)	VD VS	35	0 ... 5 0 ... 0,7	2 ... 2,5 2,2

reactive, în cazul măsurătorilor efectuate în cadrul lucrării de față s-au obținut răspunsuri între (0...8,5) pentru puteri active și (0,5...24) pentru puteri reactive.

Diferențele care intervin în privința limitelor atinse de răspunsurile sarcinii la variații ale tensiunii, obținute prin măsurători făcute de diversi autori se explică prin componenta diferită a consumatorului complex echivalent. De aceea se observă că dacă se compară rezultatele obținute de autor și de către ISPE prin măsurători în stații electrice de transformare din sistemul energetic național, acestea sunt relativ apropiate. Astfel răspunsul sarcinii la variații de tensiune pentru consumatorul complex echivalent din stație obținute de autor sunt de (0,36...4) pentru puteri active și de (4,16 ... 15,33) pentru puteri reactive, în timp ce ISPE a obținut răspunsuri între (0,6 ... 1,81) pentru puteri active și (1,8 ... 11,44) pentru puteri reactive.

Din examinarea curbelor  $P,Q = f(U)$  se poate constata efectul reglant mai puternic al puterii reactive în funcție de tensiune, în comparație cu cel al puterii active.

De observat că plecările cu sarcină casnică (C5, C11) au un răspuns procentual mare în comparație cu cele cu sarcină industrială (C1, C9, C31) care au un răspuns procentual mai scăzut.

Trebui să notat că efectul reglant al puterii active în timpul nopții este în general mai mare decât cel de dimineață. Pentru serviciile de dispecer prezintă interes în special răspunsurile puterii active ale sarcinii în timpul orelor de vîrf, în vederea asigurării unei repartiții optime a sarcinii.

Comparind caracteristicile statice de putere în funcție de tensiune ale același consumatori, la diferite ore, se observă că, în timp ce pentru vîrful de dimineață și pentru funcționarea cu încărcarea normală (ora 11) puterea activă poate fi conside-

rată aproxiimativ constantă, în raport cu variația tensiunii, pentru funcționarea în orele de gol de noapte sau chiar de vîrf de seară "aproxiata nu mai este neglijabilă. Această comportare se explică prin caracterul consumatorului complex echivalent care în timpul zilei este industrial (predomină motoare asincrone) în timp ce seara sau mai târziu se simte puternic influența consumului de energie electrică pentru iluminatul electric.

În funcție de caracterul consumatorului industrial, casnic, edilitor, mixt sau agrar, s-au obținut și caracteristici statice diferite. Cunoașterea consumatorului complex echivalent însă în modul indicat în tabelul nr.4.5 nu permite și realizarea unui model al acestuia, întrucât nu se dispune de date privind componentă precisă (motoare-sarcină statică) a fiecărei plecări. De aceea cînd nu se pot determina experimental caracteristicile statice putere în funcție de tensiune pentru un anumit consumator complex echivalent, folosirea caracteristicilor obținute la un consumator de componentă asemănătoare (industrial, casnic, etc) vor conduce numai la rezultate aproximative.

Dăsi modul de considerare a caracteristicii sarcinii reprezentă una din trăsăturile specifice diferitelor moduri de calcul a stabilității statice, există pînă în prezent puține variricări experimentale ale acestor caracteristici; chiar studiile existente sunt neconcluante pentru că se referă la cazuri particulare și nu au fost obținute în condițiile reale ale micilor oscilații din sistem. În această situație prezintă interes determinarea unei caracteristici statice mediană caracteristicilor statice determinate experimental.

#### 4.3. Prelucrarea statistică a rezultatelor măsurătorilor

##### 4.3.1. Estimarea expresiei caracteristicilor statice de putere funcție de tensiune ale consumatorilor complecsi echivalenți pe baza caracteristicilor determinate experimental

În scopul determinării unei caracteristici statice medie a caracteristicilor statice determinate experimental pentru consumatori complecsi echivalenți, s-a extins algoritmul celor mai mici patrate la prelucrarea unui set de m caracteristici expe-

rimentale date fiecare prin cîte n puncte de măsură  $(P, U)$  sau  $(Q, U)$ .

Pentru o mai mare maleabilitate a expresiei caracteristicii estimate aceasta a fost considerată atît pentru puterea activă cît și pentru cea reactivă sub forma unor polinoame cu trei termeni, de grad  $\alpha$ , neîntreg:

$$\begin{aligned} P &= K_{1P}U^{\alpha_P} + K_{2P}U + K_{3P} \\ Q &= K_{1Q}U^{\alpha_Q} + K_{2Q}U + K_{3Q} \end{aligned} \quad (4.2)$$

#### 4.3.1.1. Modelul matematic al metodei de estimare a caracteristicii statice de putere

Se consideră expresie analitică a caracteristicilor statice de putere funcție de tensiune:  $P_c = P(p, U)$  și  $Q_c = Q(p', U)$  unde  $p$  și  $p'$  sunt vectorii parametrilor caracteristicilor și dispunind de m caracteristici determinate experimental prin măsurători în n puncte, se poate scrie:

$$\begin{aligned} P_{t_{i,j}} &= P_{ij}(p, U_j) + \delta P_{i,j} : \\ Q_{t_{i,j}} &= Q_{ij}(p', U_j) + \delta Q_{i,j} : \end{aligned} \quad (4.3)$$

unde  $P_{t_{i,j}}$  și  $Q_{t_{i,j}}$  reprezintă puterile activă și respectiv reactivă măsurată la tensiunea  $U_j$  pe caracteristica i;  $i=1\dots m; j=1\dots n$ ;

$\delta P_{i,j}$ ;  $\delta Q_{i,j}$  reprezintă erorile de măsurare pentru puterea activă și respectiv reactivă, la măsurarea j, pe caracteristica i.

Deoarece parametrii caracteristicilor P și Q sunt independenți, dezvoltările ulterioare se fac numai pentru caracteristica puterii active, concluziile fiind valabile și pentru caracteristica puterii reactive. Pentru determinarea parametrilor p, ai caracteristicii statice de putere se definește o funcție obiectiv, conform teoriei estimării cu metoda celor mai mici pătrate:

$$J = [\delta]^T [W] [\delta] \quad (4.4)$$

unde:  $[\delta]$  - este matricea erorilor cu dimensiunea  $(m \times n)$

$[W]$  - este matricea de ponderare cu dimensiuni  $(m \times n)$

In cazul de față, prin explicitarea relației (4.4) rezultă:

$$J = \sum_{j=1}^n \left( \sum_{i=1}^m (P_{t_{i,j}} - \hat{P}(p, U_j))^2 \cdot w_{ii} \right) \quad (4.5)$$

unde:  $\hat{P}(p, U_j)$  reprezintă puterea corespunzătoare unui punct j, de pe caracteristica estimată (medie)

$w_{ii}$  - element din matricea de ponderare W corespunzător caracteristicii experimentale i. Matricea  $[W]$  s-a considerat că este

diagonală, având în vedere independența relativă a celor m caracteristici determinante.

Din condiția de minim a funcției de obiectiv, rezultă:

$$\sum_{j=1}^n \left[ \sum_{i=1}^m p_{t_{i,j}} - m \hat{P}(p, U_j) w_i \right] \frac{\partial P}{\partial p} = 0 \quad (4.6)$$

Considerind caracteristica estimată sub forma unui polinom cu trei termeni, de grad  $\alpha$  și notând cu  $a, b, c$  - componente vectorului  $p$ , relația (4.6) reprezintă un sistem de patru ecuații cu patru necunoscute. Dificultățile de rezolvare a acestui sistem nelinier constatătoare ulterior, ca urmare a slabiei condiționării a sistemului, a impus fie determinarea separată a exponentului  $\alpha$  ca o valoare medie a exponenților optimi pentru fiecare caracteristică, calculați cu metodele din /31/, /93/, /99/, /184/, /191/, fie considerarea lui  $\alpha$  de valori recomandate în literatură.

Pentru caracteristice estimată de forma:  $P=a+bU+cU^2$ .

Sistemul (4.6) poate fi explicitat astfel:

$$\begin{aligned} [L][P_t][L]^T - m[a+b[L][U]+c[L][U^\alpha]] &= 0, \\ [L][P_t][U] - m[a[L][U]+b[L][U^2]+c[L][U^{\alpha+1}]] &= 0, \\ [L][P_t][U^\alpha] - m[a[L][U^\alpha]+b[L][U^{\alpha+1}]+c[L][U^{2\alpha}]] &= 0, \end{aligned}$$

unde:  $[L]$  - este o matrice linie, cu dimensiunea  $(m \times 1)$ , cu toate elementele egale cu unitatea,

$[U]$ ,  $[U^\alpha]$ ,  $[U^{\alpha+1}]$  și  $[U^{2\alpha}]$  reprezintă matricea coloanei cu dimensiune  $(1 \times n)$ , având ca elemente tensiunile în punctele de măsură la puterile 1,  $\alpha$ ,  $\alpha+1$  și respectiv  $2\alpha$ .

In vederea simplificării scrierii și a întocmirii algoritmului de calcul s-au introdus notațiile (4.8):

$$\begin{aligned} P_{t_0}^S &= P_{t_{11}} + P_{t_{21}} + \dots + P_{t_{ml}} + P_{t_{12}} + P_{t_{22}} + \dots + P_{t_{m2}} + \dots + P_{t_{nl}} + \dots + P_{t_{nm}}, \\ P_{t_1}^S &= (P_{t_{11}} + P_{t_{21}} + \dots + P_{t_{ml}})U_1 + (P_{t_{12}} + P_{t_{22}} + \dots + P_{t_{m2}})U_2 + \dots + \\ &\quad + (P_{t_{nl}} + \dots + P_{t_{nm}})U, \\ P_{t_\alpha}^S &= (P_{t_{11}} + P_{t_{21}} + \dots + P_{t_{ml}})U_1^\alpha + (P_{t_{12}} + P_{t_{22}} + \dots + P_{t_{m2}})U_2^\alpha + \dots + \\ &\quad + (P_{t_{nl}} + \dots + P_{t_{nm}})U^\alpha, \\ US_1 &= \sum_{i=1}^n U_i; \quad US_2 = \sum_{i=1}^n U_i^2; \quad US_\alpha = \sum_{i=1}^n U_i^\alpha; \\ US_{\alpha+1} &= \sum_{i=1}^n U_i^{\alpha+1}, \\ US_{2\alpha} &= \sum_{i=1}^n U_i^{2\alpha}; \end{aligned} \quad (4.8)$$

Cu aceste notării, sistemul de ecuații (4.7), după gruparea termenilor și simplificări, devine:

$$\begin{aligned} a+b \frac{SU_1}{n} + c \frac{SU_{\alpha}}{n} &= \frac{P_t S_0}{m \cdot n}, \\ a+b \frac{SU_2}{SU_1} + c \frac{SU_{\alpha 1}}{SU_1} &= \frac{P_t S_1}{SU_1^m}, \\ a+b \frac{SU_{1\alpha}}{SU_{\alpha}} + c \frac{SU_{\alpha 2}}{SU_{\alpha}} &= \frac{P_t S_{\alpha}}{m P_t \cdot U_{\alpha}}. \end{aligned} \quad (4.9)$$

#### 4.3.1.2. Estimarea caracteristicilor statice de putere funcție de tensiune

In vederea prelucrării unui volum mare de date obținute experimental privind caracteristicile statice de putere funcție de tensiune ale unor consumatori importanți din raza IRE Timișoara, s-a elaborat algoritmul de prelucrare, printr-o extindere a metodei celor mai mici patrate. Implementat în cadrul unui program de calcul denumit convențional "CSPU" (CSPU - caracteristici statice de putere funcție de tensiune) a cărui ordinogramă de principiu este reprezentată în figura 4.17, algoritmul permite estimarea parametrilor unei caracteristici statice mediane pe baza unui set de caracteristici determinate experimental, precizând totodată abaterea medie pătratică a fiecărei față de expresia determinată.

Ca măsură a abaterii caracteristicii statice estimate față de caracteristicile determinate experimental se utilizează, abaterea medie pătratică,  $\bar{\sigma}_k$ , definită pentru caracteristica K, astfel:

$$\bar{\sigma}_k = \frac{1}{n} \sqrt{\sum_{i=1}^n [P_{t_{k,i}} - P(U_1)]^2} \quad (4.10)$$

Abaterea medie pătratică  $\bar{\sigma}_k$  reprezintă totodată un indicator al fidelității caracteristicii statice estimate față de caracteristica k, pe baza acestui indicator apreciindu-se gradul de încredere al caracteristicii estimate față de o anumită caracteristică determinată experimental. Caracteristicile cu abateri medii pătratice mult superioare mediei, se impune să fi eliminate din setul de caracteristici estimate de expresia obținută, considerindu-se pentru aceasta o altă expresie.

In anexa A-4 se prezintă programul de calcul pentru estimare-

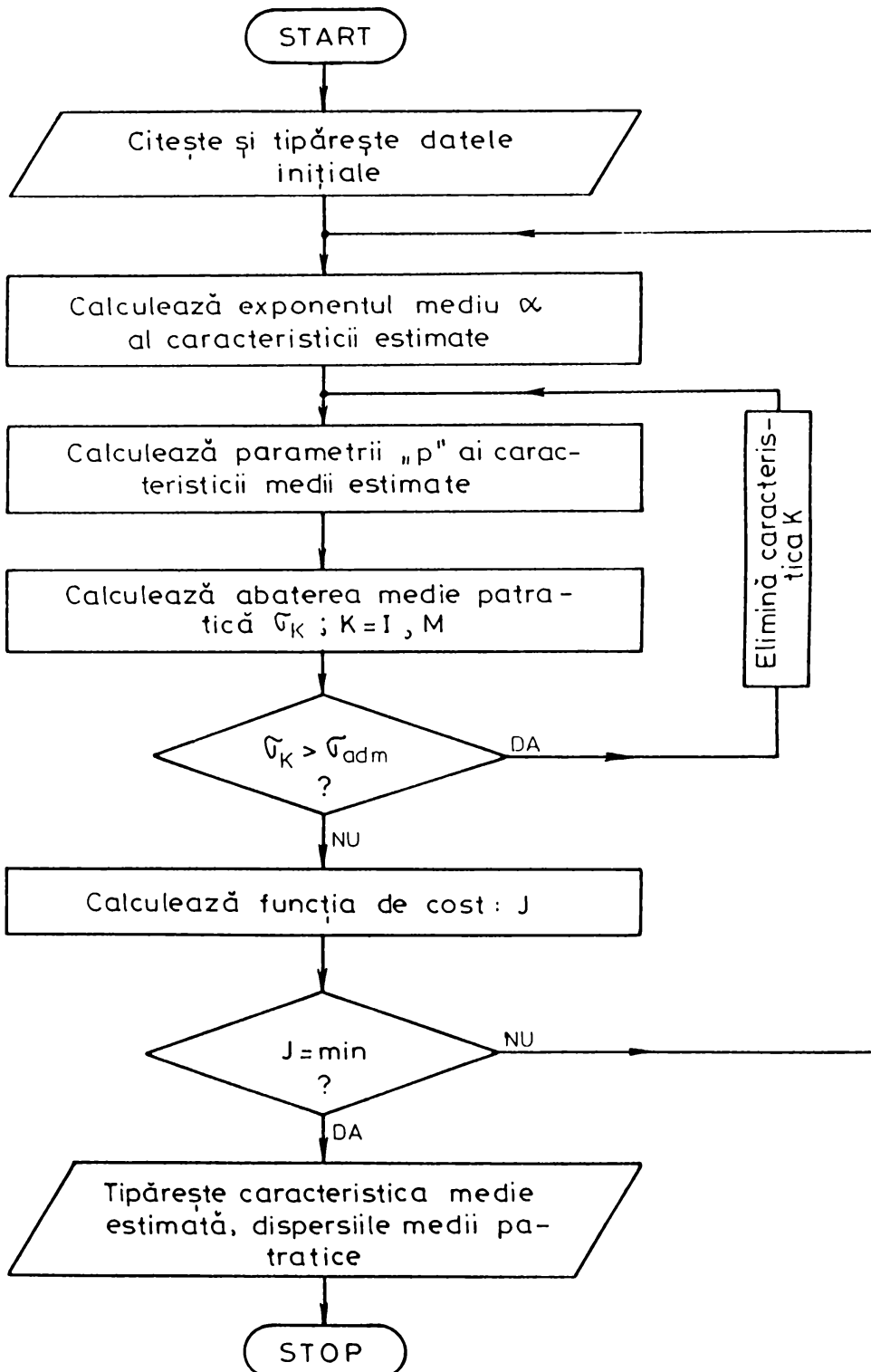


Fig.4.17. Ordinograma de principiu a programului „CSPU”

rea caracteristicilor statice de putere în funcție de tensiune, programul CSPU.

Utilizînd algoritmul propus, pentru prelucrarea unui set de caracteristici statice determinate experimental pentru același consumator (de exemplu: Timișoara S-E), avînd componenta indicată în tabelul 4.2), la diferite momente ale unei zile lucrătoare medii: vîrf de dimineață (VD), ora 11 (P), vîrf de seară (VS) și gol de noapte (GN), s-au obținut expresiile analitice ale caracteristicilor statice medii de putere activă și reactivă, considerînd matricea de pondere [W] unitară, care conduce la abateri minime față de caracteristicile date ( $J=\min$ ) :

$$\begin{aligned} P_r &= -5,92 \cdot U_r^{1,5} + 10,07 U_r - 2,97 \\ Q_r &= -15,57 U_r^2 + 35,385 U_r - 20,843 \end{aligned} \quad (4.11)$$

Dispersiile medii pătratice ale caracteristicilor estimate față de cele experimentale au valorile indicate în tabelul 4.9 (vezi anexa A-4).

TABELUL nr.4.9

Dispersiile medii pătratice ale caracteristicilor estimate față de cele experimentale				
Ora	Caracteristica	P	Q	Obs.
VD		0,001633	0,012187	
P		0,001310	0,009874	
VS		0,003993	0,006024	
GN		0,001828	0,024289	

Valorile exponentelor caracteristicilor identificate  $\alpha_p = 1,5$  și  $\alpha_Q = 2$ , ca și valorile efectelor reglante pentru tensiunea nominală ( $U_n = 1$ ),  $\frac{\partial P}{\partial U} = 1,192$  și  $\frac{\partial Q}{\partial U} = 4,244$ , se încadrează în limitele precizate în literatura de specialitate.

Analizînd expresiile caracteristicilor statice de putere funcție de tensiune obținute aplicînd algoritmul propus, pentru consumatorii luati în studiu în etapa I (vezi tabelul nr.4.1), se observă că deși în funcție de coeficientul  $\alpha$  în expresiile analitice (4.2) ale caracteristicilor, există o mare dispersie a parametrilor  $K_{1P} \dots K_{3Q}$ , efectul reglant al sarcinii se păstrează.

ză între anumite limite, specifice diferenților consumatori, așa cum rezultă spre exemplu din expresiile (4.12) și (4.13) obținute pentru caracteristica statică medie a caracteristicilor experimentale măsurate pentru consumatori 100% industrial : C9, C14, C26, C31, C32 (vezi tabelul nr.4.5) :

- pentru putere activă

$$P = 122,31625U_r^{1,2} - 146,06599U_r + 24,73192; \frac{dP}{dU_r} = 0,7135,$$

$$P = 39,36353U_r^{1,5} - 58,33312U_r + 19,95174; \frac{dP}{dU_r} = 0,71222, \quad (4.12)$$

$$P = 22,59903U_r^{1,75} - 38,83726U_r + 17,22033; \frac{dP}{dU_r} = 0,711,$$

$$P = 14,89973U_r^2 - 29,08955U_r + 15,17188; \frac{dP}{dU_r} = 0,7099,$$

- pentru putere reactivă

$$Q = -99,21315U_r^{1,5} + 151,04279U_r - 50,68539; \frac{dQ}{dU_r} = 2,2251,$$

$$Q = -56,4800U_r^{1,75} + 101,06601U_r - 43,54182; \frac{dQ}{dU_r} = 2,2260, \quad (4.13)$$

$$Q = -36,92481U_r^2 + 76,07846U_r - 38,0095; \frac{dQ}{dU_r} = 2,2268,$$

$$Q = -19,5432U_r^2 + 51,09262U_r - 30,40546; \frac{dQ}{dU_r} = 2,2346.$$

#### 4.3.2. Efectul de reglaj al puterii funcție de tensiune al consumatorului complex echivalent determinat pe baza caracteristicilor statice experimentale

In tabelul 4.1e sunt indicate valorile efectului reglant  $\frac{dP}{dU}$  și  $\frac{dQ}{dU}$  pentru tensiunea nominală  $U_n = 1\mu_r$ , considerind caracteristicile statice medii.

Urmărind datele prezentate în tabelul nr.4.1o, se observă că, în general, există o dispersie a valorilor efectului reglant al sarcinii, acesta fiind influențat sensibil de caracterul general al consumatorului. De asemenea există o anumită dispersie a caracteristicilor obținute chiar și pentru același tip de consumator considerat la ore diferite sau în zile diferite, situație justificată prin modificarea permanentă a structurii sale. În cazul consumatorului industrial se constată un efect reglant al puterii active mai accentuat la VS și GN față de VD ca urmare a creșterii ponderii consumului pentru iluminat și consumatori rezistivi. În cazul consumatorului agrar, efectul reglant atât al puterii active cât și al puterii reactive variază relativ puțin în funcție de ora, indicând o constantă mai mare a componen-

TABELUL nr. 4.10

Efectul reglant al sarcinii, considerind caracteristici statice medii

Ora	Tipul consumator. $R_p, R_q$	100% I *)	100% C *)	100% A *)	Valori medii **)		
					100% I	100% C	100% A
1	2	3	4	5	6	7	8
VD	$\frac{dP}{dU}$	0,7099	1,4913	1,7752	$\frac{dP}{dU} = 1,6693 \dots 1,672; \frac{dQ}{dU} = 4,1162 \dots 4,1324$	:	3,3096...3,31
	$\frac{dQ}{dU}$	0,7135	1,4933	1,7798			
	$\frac{dP}{dU}$	2,2250		4,6358	$\frac{dP}{dU} = 1,4179 \dots 1,4193; \frac{dQ}{dU} = 3,9684 \dots 3,9821$	:	3,3096...3,31
	$\frac{dQ}{dU}$	2,2345	-	4,6456			
II	$\frac{dP}{dU}$	0,684	1,7721	2,1744	$\frac{dP}{dU} = 1,6693 \dots 1,672; \frac{dQ}{dU} = 4,1162 \dots 4,1324$	:	3,3096...3,31
	$\frac{dQ}{dU}$	0,6859	1,7753	2,1817			
	$\frac{dP}{dU}$	5,74934	3,0718	-	$\frac{dP}{dU} = 1,4179 \dots 1,4193; \frac{dQ}{dU} = 3,9684 \dots 3,9821$	:	3,3096...3,31
	$\frac{dQ}{dU}$	5,7522	3,082	-			
VS	$\frac{dP}{dU}$	1,5038	1,0777	2,4006	$\frac{dP}{dU} = 1,6693 \dots 1,672; \frac{dQ}{dU} = 4,1162 \dots 4,1324$	:	3,3096...3,31
	$\frac{dQ}{dU}$	1,5048	1,0784	2,4007			
	$\frac{dP}{dU}$	1,9584	6,5298	4,6078	$\frac{dP}{dU} = 1,4179 \dots 1,4193; \frac{dQ}{dU} = 3,9684 \dots 3,9821$	:	3,3096...3,31
	$\frac{dQ}{dU}$	1,9803	6,5359	4,6151			
GN	$\frac{dP}{dU}$	2,1449	0,7149	-	$\frac{dP}{dU} = 1,6693 \dots 1,672; \frac{dQ}{dU} = 4,1162 \dots 4,1324$	:	3,3096...3,31
	$\frac{dQ}{dU}$	2,1480	0,7152	-			
	$\frac{dP}{dU}$	-	5,8934	-	$\frac{dP}{dU} = 1,4179 \dots 1,4193; \frac{dQ}{dU} = 3,9684 \dots 3,9821$	:	3,3096...3,31
	$\frac{dQ}{dU}$		5,9319	-			

\*) Caracteristicile statice s-au fost calculate cu programul CSPU din caracteristici statice experimentale obtinute prin măsurători la diferite paliere de consum.

\*\*) Valorile medii pentru efectul reglant al sarcinii s-au calculat pentru o caracteristică statică a sarcinii medie, obținută din datele experimentale măsurate la diferite ore: VD, II, VS, GN.

tei acestui tip de consumator.

Având în vedere diversitățile de valori ale efectului reglant al sarcinii active și reactive dependente de ora din zi la care se fac determinările, s-a calculat efectul reglant al sarcinii pentru o caracteristică medie, obținută din măsurători

efectuate la ore caracteristice (vezi coloanele 6, 7, 8 din tabelul nr.4.10).

Considerindu-se utilă cunoașterea unor caracteristici statice medii corespunzătoare orelor caracteristice (VD, P, VS și GN) s-a aplicat algoritmul propus pentru prelucrarea rezultatelor măsurătorilor efectuate în etapa II-a (vezi tabelul nr.4.11).

4.4. Caracteristicile statice medii de putere funcție de tensiune ale consumatorilor complecsi echivalenți dintr-un sistem electroenergetic

4.4.1. Caracteristici statice medii și efectul reglant al puterii, obținute din măsurători , etapa II-a

Necesitatea măsurătorilor efectuate în etapa a II-a a rezultat în urma prelucrării rezultatelor măsurătorilor din prima etapă. Mare disperzie a rezultatelor a condus la ideea estimării unor caracteristici statice de putere în funcție de tensiuni medii pentru orele caracteristice (VD, P, VS, GN) obținute pe baza măsurătorilor efectuate la aceste ore în mai multe zile pentru același consumator. În tabelul nr. 4.11 se indică componenta consumatorilor complecsi pentru care s-au făcut măsurători-le în etapa a II-a.

TABELUL nr.4.11

Componenta consumatorului complex de pe plecările din stație (măsurători etapa II)			
Stația	Recordul	Tipul consumatorului	Obs.
1	2	3	4
Bucovina	Trafo. stație	cesnic	
	Mehala	cesnic	
	LES 1	cesnic	
	Agronomie	cesnic. edilitar	
Dumbrăvița	Trafo. stație	30%I; 30%C; 40%E	I = industrial -15% industrie textilă -10% industria cărnii - 5% construcții mașini

- 101 -

TABELUL nr.4.11(continuare)

I	2	3	4
			C-casnic,inclusiv iluminat stradal E-edilitor(mixt) casnic și mici ateliere
	C42	I-industria textila	
	C46	I-industria textila	
Ceta-te	Trafo stație	80%I +5 il.+15%	I-industria construc- ții de mașini il-iluminat E-edilitor
	C9	I-ind.constr.de mașini	
	c10	I-ind.constr.de mașini	

Pe baza celor 272 caracteristici determinate experimental, expresiile analitice ale caracteristicilor statice medii au fost estimate prin metoda de prelucrare statistică și identificare prezentată în subcapitolul 4.3.1, sub formă (4.2), folosind programul de calcul "CSPU".

In tabelele nr. 4.12 se indică pentru diversi consumatori valorile coeficientilor  $K_{1P}, K_{2P}, \dots, K_{3Q}$ , a exponentilor  $\alpha_p, \alpha_Q$  și efectul reglant  $R_p = \frac{dp}{dU}$ ;  $R_Q = \frac{dq}{dU}$ , pentru caracteristici statice medii la diferite ore din zi (GN, VD, ll, VS) cît și o caracteristică medie zilnică obținută din media măsurătorilor la toate orele considerate (GN, VD, ll, VS) utilizând rezultatele măsurătorilor din aceleasi zile ca și pentru caracteristicile medii orare. In tabele se mai indică și abaterea medie pătratică J a curbei medii calculate față de cele măsurate.

S-a considerat pentru caracteristica medie exponentul  $\alpha_{optim}$ , înțelegindu-se prin  $\alpha_{optim}$  acel grad al polinomului ce exprimă caracteristica statică medie care determină abateri medii pătratice minime față de caracteristica măsurată.

TABELUL nr. 4.2.a

Caracteristicile statice medii  $P_r = f(U_r)$  pentru consumatorul complex echivalent estimate pe baza rezultatelor măsurătorilor

Consumatorul	ora	$\alpha_p$	Caracteristica $P_r = f(U_r)$			$R_P$	$J_P$
			$K_{1P}$	$K_{2P}$	$K_{3P}$		
I	2	3	4	5	6	7	8
Total stația Dumbrăvița, $T_D$	GN	1,1	-388,97164	425,58379	-35,85559	-2,285012	0,134663
VD	1,1	-139,27822	151,23077	-11,17142	-1,953266	0,114286	
VS	4	-2,20249	10,89237	-6,89029	-1,91759	0,11356	
zilnic	-1,1	-548,58177	602,29956	-52,79287	-1,14031	0,058607	
Total stația Cetate, $T_C$	VD	4	-0,96638	4,00923	-2,15527	0,143708	0,066404
II	4	-0,70191	3,0443	-1,45131	0,236674	0,066214	
VS	4	1,7232	-6,2077	5,39714	0,685087	0,057077	
zilnic	-1,1	-210,12416	230,85335	-19,75644	0,283227	0,027304	
Total stația Bucovina, $T_B$	GN	4	0,67542	-1,45067	1,52312	1,251003	0,122427
VD	4	0,11745	1,84811	-0,97721	1,378306	0,122813	
II	4	-0,23006	2,40094	1,36925	1,480704	0,104568	
VS	4	1,29689	-4,38699	3,94737	0,800557	0,079495	
zilnic	4	0,59763	-1,00673	1,35112	1,383803	0,036584	
Industrial, C42 (ind. textila)	GN	1,1	354,76746	-392,15783	28,15224	-1,913624	0,137184
II	1,1	-289,82767	317,11133	-26,45411	-1,699103	0,098464	
VS	4	2,86983	-13,22647	11,1586	-1,747155	0,11645	
zilnic	-1,1	6,61569	-9,12201	3,45071	-1,84475	0,043061	
Industrial, C46 (ind. textila)	GN	4	4,28979	-16,84429	13,30799	0,314885	0,135012
VD	4	2,41695	-9,99134	8,30112	-0,313534	0,132111	
P	1,1	-142,5385	156,80973	-13,47743	0,017386	0,11366	
VS	4	-1,54355	5,88101	-3,54103	-0,293179	0,113459	
zilnic	1,1	88,72132	-97,67017	9,88539	-0,086628	0,048652	
Industrial, C9	GN	1,1	-26,41988	29,4136	2,07241	0,351736	0,058527
VD	4	-1,6501	6,5335	4,01891	-0,066875	0,07354	
II	1,1	33,11007	-36,54671	4,33035	-0,125634	0,068827	
zilnic	1,1	-78,83846	87,06938	-7,26669	0,361679	0,027857	
Industrial, C10	GN	4	-0,94867	3,71367	-1,86669	-0,081006	0,060288
II	4	-0,16122	0,18383	0,84983	-0,461042	0,074051	
VS	4	-1,90241	7,66637	4,88143	0,066729	0,061222	
zilnic	4	-1,32733	4,95546	-2,65992	-0,35385	0,023006	
Total, Timisoara	GN	1,1	-386,4996	424,8414	-37,3704	-0,30814	0,044329
VD	1,1	96,5275	-107,9725	10,41096	0,407819	0,034117	
II	1,1	-8,9649	10,3285	-0,40135	0,467094	0,038765	
VS	4	0,07174	-0,16522	1,05461	0,121722	0,040598	
zilnic	-1,1	-76,8976	84,7679	-6,8672	0,18054	0,01858	

TABELUL nr.4.12.b

Caracteristicile statice medii  $Q_r = f(U_r)$  pentru consumatorul complex echivalent estimate pe baza rezultatelor experimentale

Consumatorul	Ora	Caracteristica $Q_r = f(U_r)$				$R_Q$	$J_Q$
		$\alpha_Q$	$K_{1Q}$	$K_{2Q}$	$K_{3Q}$		
1	2	3	4	5	6	7	8
Total stația Dumbrăvita, $T_D$	GN	1,1	2543,20454	-2788,2406	245,7853	9,284366	0,145042
	VD	1,1	405,48033	-440,30242	35,64002	5,725936	0,121028
	II	1,1	416,9698	-450,0889	33,9045	8,577944	0,128951
	VS	1,1	1142,92719	-1251,6005	109,4837	5,619372	0,136942
	zilnic	1,1	1200,9808	-1312,53	112,4818	8,548929	0,073631
Total stația Cetate, $T_C$	GN	1,1	534,64287	-584,6833	50,89104	3,423802	0,07551
	VD	1,1	182,20678	-196,73535	15,41886	3,692101	0,064946
	II	1,1	262,37388	-284,83323	23,35158	3,778042	0,071843
	VS	1,2	207,7652	-244,8394	37,99089	4,47883	0,058286
	zilnic	1,1	398,02071	-433,6354	36,57671	4,187358	0,032062
Total stația Bucovina, $T_B$	GN	4	1,26624	0,23236	-0,74074	5,29731	0,138448
	VD	1,3	170,1904	-217,8836	48,44618	2,363888	0,134753
	II	4	4,64053	-13,87322	10,03922	4,68889	0,118364
	VS	1,1	18,69714	-16,58622	-1,23939	3,980631	0,10692
	zilnic	1,3	95,9689	-119,70196	24,68449	5,057608	0,056251
Industrial, C42	GN	4	-4,7796	21,203	-15,766	2,081582	0,153573
	VS	1,1	-44,9404	57,1226	-11,39	7,68815	0,12034
	zilnic	4	-0,30602	4,60994	3,37254	3,385816	0,064146
Industrial, C9	GN	1,1	-1050,9	1158,9	107,425	3,01	0,1375
	VD	4	4,535	-8,309	4,65	9,83	0,1165
	VS	4	1,44728	10,48161	-11,2492	16,2707	0,155748
	zilnic	4	2,6561	1,11508	-2,8355	11,7395	0,115436
Industrial, C10	GN	4	-2,40408	21,22665	-18,1237	11,61033	0,114851
	II	4	-4,10106	23,1907	-18,27	6,78646	0,106709
	zilnic	4	-1,14485	13,78638	-11,815	3,206976	0,108803
Total Timisoara	GN	1,1	30,198	-26,86	-2,376	6,3573	0,06862
	VD	4	6,21293	-21,5516	16,305	3,300160	0,04865
	II	1,3	235,1945	-301,73	67,4922	4,022826	0,062011
	VS	1,1	324,275	-350,46	27,153	6,24255	0,042968
	zilnic	1,1	309,153	-335,006	26,857	5,0625	0,036532

In tabelul nr.4.13 se indică efectul reglant pentru alți consumatori complecși echivalenți, calculat printr-o medie ponderată din efectul reglant al consumatorilor se intră în componentă.

TABELUL nr.4.13

Consumatorul	ore	Efectul reglant	
		$R_P$	$R_Q$
$T_D + T_C$	GN	-	5,9307709
	VD	-0,7423369	4,5621125
	VS	-0,414635	4,9667182
	zilnic	-0,6453707	6,0531032
$T_D + T_C + T_B$	GN	-	5,8999973
	VD	-0,6249642	4,5039029
	VS	-0,3473803	4,918814
	zilnic	-0,533058	6,0047421

#### 4.4.2. Analize rezultatelor obținute

Analizînd rezultatele obținute prin măsurători, se observă că slura caracteristicilor statice de putere în funcție de tensiune , figura 4.18 , este influențată atât de caracterul con-

sumatorului propriu-zis cât și de parametrii rețelei electricice de alimentare a acestuia /86/, /121/.-

Valorile efectului de reglaj al puterii active determinate experimental pentru consumatorii de tip industrial (tabelul nr.4.12.a) sunt în general foarte apropiate de zero, de forma  $P_2$  din figura 4.18,

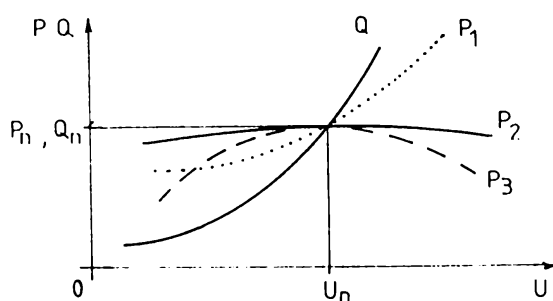


Fig.4.18.Tipuri de caracteristici statice de putere funcție de tensiune

fie chiar negative, forma  $P_3$ , figura 4.18, ceea ce indică ponderea consumului în motoare electrice asincrone și sincrone.

Valorile negative ale efectului reglaj , vezi tabelul nr.4.12.a se explică prin influența reducerii pierderii de putere activă în rețeaua electrică de alimentare la creșterea tensiunii,

admitând consumatorii prioritari (motoare electrice), ca fiind cea mai puternică rezistență la încărcare.

Semnalează că în general nu sunt variații mari ale efectului reglajelor puterii active în funcție de tensiune pentru un anumit consumator la diferite ore (de la -2,285 la +1,916 pentru consumatorul complex echivalent total Dumbrăvița, sau de la -0,144 la +0,685 pentru consumatorul complex echivalent Cetate), concluzii similară fiind prezentate și în [121].

Întrucât valorile efectului reglajelor puterii active pentru consumatorul de tip casnic, cuprinse în gama -0,6-+1,48 în funcție de ora efectuării înregistrării (tabelul nr. 4.12.a), indică prezența în componentă acestui tip de consumator pe lîngă consumatorii statici (rezistivi, iluminat) și a unui număr relativ mare de motoare electrice de antrenare a aparatelor de uz casnic.

Valorile efectului reglajelor puterii reactive determinate experimental pentru consumatorii de tip industrial au rezultat întotdeauna pozitive, curbe Q din figura 4.18, și în general mai mari decât în cazul puterii active. Limitele de variație sunt (tabelul nr.4.12.b): 3,364 și 9,284 depinzând de structura consumatorului complex echivalent și în special de gradul de compensare al puterii reactive. Pentru consumatorul industrial puternic compensat, cazul consumatorului complex echivalent Cetate, valoarea efectului de reglaj a rezultat mult mai mică față de cea a consumatorului similar, consumatorul complex Dumbrăvița.

Expresiile analitice ale caracteristicilor statice de putere funcție de tensiune, de tipul (4.2) au condus la valori ale parametrilor foarte dispuseți (tabelul nr.4.12.a și 4.12.b) chiar pentru același consumator considerat la diverse ore din zi, această formă de exprimare nefiind concludentă, neavând o valabilitate generală. Rezultă deci dificultatea introducerii și utilizării expresiilor (4.2) în calcul.

Totodată se constată (tabelul nr.4.12.) că efectul de reglaj ai puterilor funcție de tensiune prezintă variații relativ mici pentru un anumit tip de consumator, putând fi considerat în consecință ca o mărime caracteristică a acestuia. O expresie analitică a caracteristicii statice de putere în funcție de tensiune bazată pe aceeași mărime ar putea să fie mai intuitivă componența consumatorului în regimuri staționare. Învățând în vedere

că în regimurile staționare variațiile de tensiune și putere sînt relativ mici, este posibilă liniarizarea caracteristicii de putere a consumatorului în jurul punctului de funcționare staționară (vezi subcapitolul 2.5), justificîndu-se expresiile scrise în capitolul 2, expresii care redau mult mai fidel comportarea reală a consumatorului, decît reprezentările simplificate (tabelul nr.1.3).

Pentru exemplificare, în tabelul nr.4.14 se dau valorile puterilor active și reactive calculate, considerînd caracteristica statică neliniară (4.2) și caracteristici statice liniarizate (2.1o6) și (2.1o7), respectiv consumator de tip putere, curent sau impedanță constantă sau caracteristici statice "normale", (tabelul nr.1.3), pentru variația tensiunii în jurul valorii nominale, cît și eroarea  $\epsilon$  comisă prin folosirea acestora în raport cu expresia neliniară estimată din măsurători:

$$\epsilon_p = \frac{P_{N\ell} - P_x}{P_{N\ell}} \cdot 100\% \quad (4.14)$$

unde  $P_x$  este puterea  $P_\ell$  calculată cu relațiile de liniarizare (2.1o6), (2.1o7), sau puterea  $P_{P=K}$ ,  $P_{I=K}$ ,  $P_{Z=K}$ ,  $P_{P=N}$  calculată cu relațiile din tabelul nr. 1.3, iar  $P_{N\ell}$  este puterea calculată cu relația (4.2). Relație similară se obține și pentru erourile în calculul puterii reactive. S-a considerat pentru exemplificare consumatorul complex echivalent total din stația Centrală (tabelul nr. 4.12.a) pentru curba medie zilnică.

TABELUL nr.4.14

Rezultate comparative					
$P_r, Q_r$ u.r.	$U_r$ u.r.	0,95	1	1,05	$\epsilon_1 \%$ ; $\frac{\epsilon_0,95 \%}{\epsilon_{1,05 \%}}$
putere activă	$P_{N\ell}$	0,956166	0,97075	0,92812025	0; 0
	$P_\ell$	1,01416	1	0,98583865	$\frac{-6,065}{-6,219}$
	$P_{P=K}$	1	1	1	$\frac{-3,013}{-7,745}$
	$P_{Z=K}$	0,9025	1	1,1025	$\frac{5,613}{-18,789}$
	$P_{P=N}$	1	1	1	$\frac{-3,013}{-7,745}$
putere reactive	$P_{I=K}$	0,95	1	1,05	$\frac{0,645}{-13,13}$
	$Q_{N1}$	0,80821	0,962	1,2253	0; 0

TABULUL nr.4.14 (continuare)

1	2	3	4	5
putere reactivă Q · U · H · Q	$Q_l$	0,7906321	1	1,2093679
	$Q_{Q=K}$	1	1	1
	$Q_{Z=K}$	0,9025	1	1,1025
	$Q_{I=K}$	0,95	1	1,05
	$Q_{Q=M}$	0,9025	1	1,1025
				$3,95; \frac{2,175}{1,300}$
				$3,95; \frac{23,73}{18,93}$
				$3,95; \frac{11,6667}{10,02}$
				$3,95; \frac{17,54}{14,31}$
				$3,95; \frac{11,666}{10,02}$

#### 4.5. Concluzii

Metoda propusă pentru estimarea caracteristicilor medii de putere activă și reactivă funcție de tensiune ale consumatorilor complecși echivalenți pe baza caracteristicilor determinate experimental, permite obținerea expresiei analitice, pentru aceste caracteristici, utilă pentru calcule de analiză a regimului staționar al sistemelor electroenergetice.

Algoritmul prezentat permite prelucrarea unui mare număr de caracteristici experimentale identificând gradul și coeficienții expresiei analitice a caracteristicilor statice medii de putere funcție de tensiune recomandată a fi considerată în calcule.

Utilizând metode directe pentru rezolvarea sistemelor de ecuații ce intervin în procesul de estimare, timpul de calculator necesar este minim (de exemplu pentru calculul caracteristicilor prezentate în relațiile (4.11) timpul de calcul în programul CSPU a fost 9s respectiv 11 s).

Expresiile analitice ale caracteristicilor statice de putere în funcție de tensiune obținute se află în concordanță cu unele rezultate din literatura de specialitate, dar, în general, aceste date fiind specifice fiecărui consumator complex echivalent, se consideră necesare ridicările periodice de astfel de caracteristici.

In acest capitol se prezintă rezultatele unui mare număr de măsurători efectuate în cîteva stații de transformare de înaltă/medie tensiune din sistemul energetic național, în vederea stabilirii caracteristicilor statice de putere în funcție de tensiune.

Cunoscind structura generală a consumatorului complex e-

echivalent, datele prezentate în tabelele nr. 4.10, 4.12 și 4.13 permit aprecierea efectului reglant  $R$  al acestuia cu relații de forma:

$$R = p_A R_A + p_I R_I + p_C R_C + p_E R_E \quad (4.15)$$

în care  $p_i$  reprezintă pondera din consumul total al consumatorului de tip  $i$ ,  $R_i$  - reprezintă efectul reglant al acestuia, iar i poate fi: A-agrar, I-industrial, C-casnic, respectiv E-ediliter.

Valorile măsurate au fost prelucrate statistic, iar rezultatele calculului au fost sistematizate și comentate, evidențiindu-se influența structurii consumatorului complex asupra comportării acestuia în regim staționar.

Caracteristicile statice de putere în funcție de tensiune obținute prin prelucrarea statistică de forma (4.2), au prezentat parametri mult dispersați chiar pentru același consumator dar considerat la diverse ore din zi, nefiind conclurente pentru utilizarea în calcule.

Po de altă parte însă, efectul reglant al sarcinii în funcție de tensiune a prezentat o relativă constantă pentru un anumit tip de consumator.

Po baza acestor constatări, se justifică exprimarea caracteristicilor statice de putere funcție de tensiune în forma liniară, având ca parametru tocmai efectul reglant.

In încheiere, în figura 4.19 se prezintă posibilitățile de estimare a caracteristicilor statice putere funcție de tensiune pentru consumatorul complex echivalent dintr-un nod din SEN.

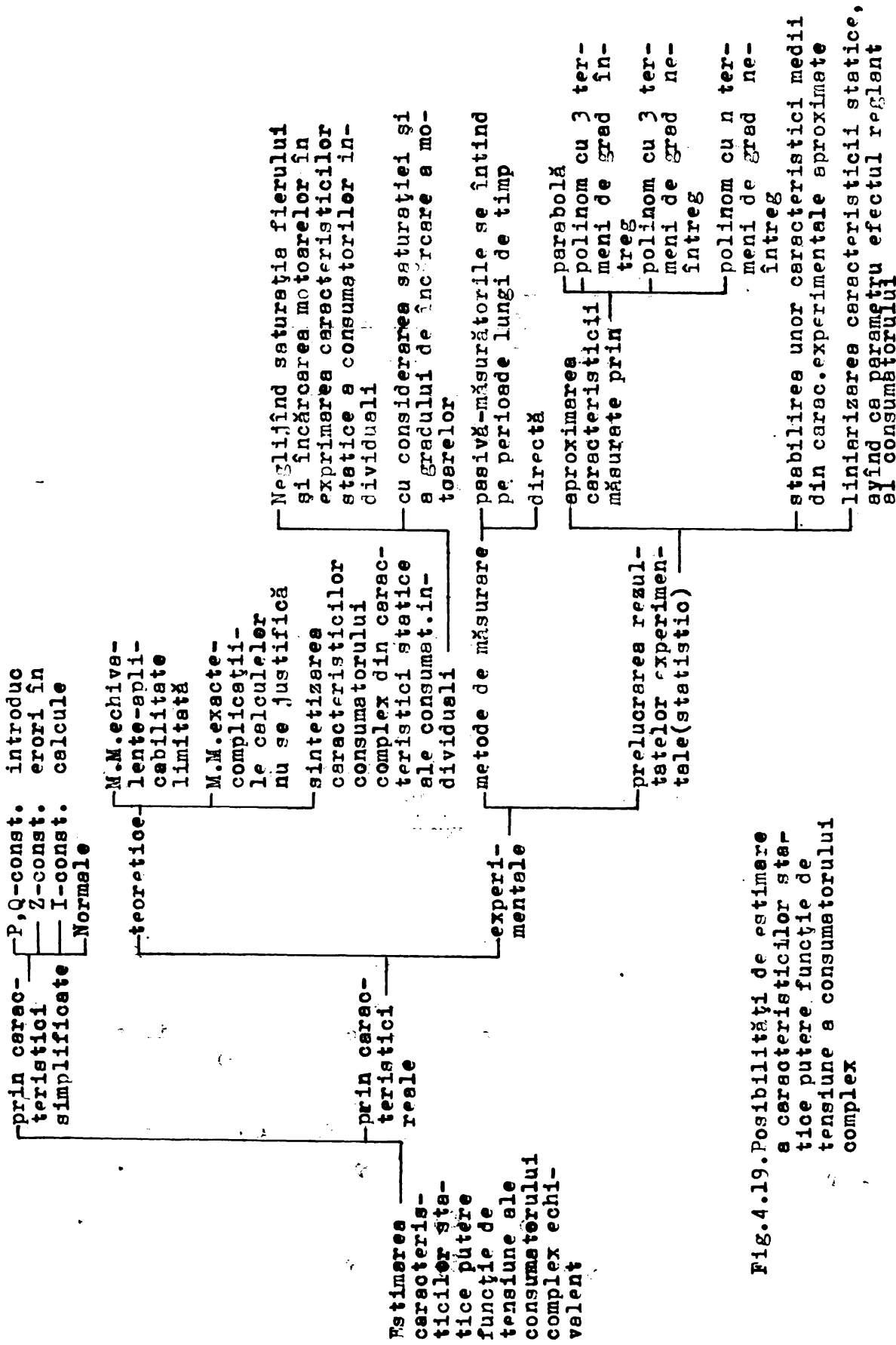


Fig.4.19. Posibilități de estimare a caracteristicilor statice putere funcție de tensiune a consumatorului complex

## Capitolul 5

ANALIZA STABILITATII STATICE A SISTEMELOR ELECTROENERGETICE CONSIDERIND CONSUMATORUL COMPLEX ECHIVALENT PRIN CARACTERISTICILE SALE STATICE ALE PUTERII FUNCTIE DE TENSIUNE

5.1. Criteriul  $dQ/dU$  de apreciere a stabilității statice într-un sistem electroenergetic simplificat, în cazul considerării caracteristicilor statice ale consumatorului complex echivalent

### 5.1.1. Relații de calcul

Se consideră un consumator unic cu caracteristica de tipul (5.1):

$$\begin{aligned} P_s &= K_{1P} U^2 + K_{2P} U + K_{3P} \\ Q_s &= K_{1Q} U^2 + K_{2Q} U + K_{3Q} \end{aligned} \quad (5.1)$$

alimentat de pe o bară de tensiune  $U$ , pe care debitează n genereatoare.

Se admit următoarele ipoteze simplificătoare:

- se neglijă rezistențele din circuitul generatorului;
- se consideră reactanța sincronă a GS, fiind vorba de stabilitatea statică a SEE;
- GS se consideră cu polișă plină în rotor, la acestea reactanța  $X_d$  după axa longitudinală a mașinii nu diferă de reactanța  $X_q$  după axa transversală;
- se consideră sistemul fără reglarea tensiunii.

Din figura 5.1 (care reprezintă diagrama fazorială a tensiunii pentru o fază a unui sistem format din generator ce debitează pe bare de putere infinită) se pot deduce ușor expresiile puterilor active  $P_y$  și reactive  $Q_y$  ale generatorului  $y$  în funcție de tensiunea internă a generatorului,  $U_{eEy}$ , de tensiunea  $U$  a barei pe care debitează generatorul, de unghiul  $\delta_y$  dintre tensiunea  $U_{eEy}$  și tensiunea  $U$  și de admitanța  $Y_y$  a generatorului.

$$P_y = U_{eEy} U Y_y \sin \delta_y \quad (5.2)$$

$$Q_y = U_{eEy} U Y_y \cos \delta_y - U^2 Y_y \quad (5.3)$$

în care

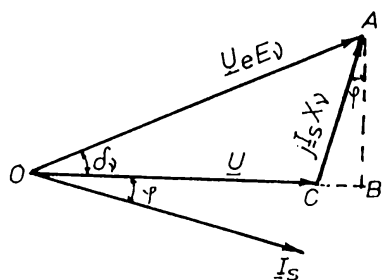


Fig.5.1. Diagrama fazorială a tensiunilor pentru un sistem format dintr-un generător ce debitează pe bare de putere infinită.

cu caracteristicile statice de putere funcție de tensiune de tipul (5.1), se obține:

$$\frac{d(Q_g - Q_s)}{dU} = \sum_{j=1}^n U_{eEj} Y_j \cos \delta_j - \sum_{j=1}^n U_{eEj} U Y_j \sin \delta_j \frac{d\delta_j}{dU} - 2 \left( \sum_{j=1}^n Y_j + K_{1Q} \right) U - K_{2Q}. \quad (5.5)$$

Pentru consumatorul considerat în regim permanent se poate scrie:

$$\frac{dP_g}{dU} = \sum_{j=1}^n \frac{dP_j}{dU} = 2K_{1P}U + K_{2P}. \quad (5.6)$$

Din relația (5.2) rezultă:

$$\sum_{j=1}^n \frac{dP_j}{dU} = \sum_{j=1}^n U_{eEj} Y_j \sin \delta_j + \sum_{j=1}^n U_{eEj} U Y_j \cos \delta_j \frac{d\delta_j}{dU} = 2K_{1P}U + K_{2P}. \quad (5.7)$$

$$\text{Deci: } \sum_{j=1}^n U_{eEj} U Y_j \frac{d\delta_j}{dU} = \sum_{j=1}^n \frac{dP_j}{dU} \frac{1}{\cos \delta_j} - \sum_{j=1}^n U_{eEj} Y_j \frac{\sin \delta_j}{\cos \delta_j}. \quad (5.8)$$

Inlocuind expresia (5.8) în (5.5) se obține:

$$\frac{d(Q_g - Q_s)}{dU} = \sum_{j=1}^n U_{eEj} Y_j \frac{1}{\cos \delta_j} - 2 \left( \sum_{j=1}^n Y_j + K_{1Q} \right) U - \sum_{j=1}^n \frac{dP_j}{dU} \operatorname{tg} \delta_j - K_{2Q}, \quad (5.9)$$

$$Y_j = \frac{1}{X_j}.$$

Să stie că, /54/, /115/, /125/, criteriul de stabilitate Bruck-Marcovici se exprimă prin relația (5.4):

$$\frac{dQ_g}{dU} = \frac{d(Q_g - Q_s)}{dU} \leq 0 \quad (5.4)$$

$$Q_g = \sum_{j=1}^n Q_j.$$

Deci, pentru cazul consumatorilor

cu caracteristicile statice de putere funcție de tensiune de tipul (5.1), se obține:

- 112 -  
sau explicitând pe  $\frac{dP_y}{dU}$  :

$$\frac{d(Q_g - Q_s)}{dU} = \sum_{Y \in E}^n U_e Y \frac{1}{\cos \delta_Y} - 2 \left( \sum_{Y \in E}^n Y + K_{1Q} \right) U - \sum_{Y \in E}^n (2K_{1P}U + K_{2P}) \operatorname{tg} \delta_Y - K_{2Q} . \quad (5.1e)$$

Prin particularizarea valorilor coeficienților  $K_{1P}$ ,  $K_{2P}$ ,  $K_{1Q}$ ,  $K_{2Q}$  se pot obține expresiile derivatei  $\frac{dQ}{dU}$  pentru toate categoriile de consumatori (vezi tabelul nr. 5.1).

TABELUL nr. 5.1

Nr. crt.	Caracteristica consumatorilor	Expresia derivatei $\frac{dQ}{dU}$
1.	$P = K_{3P}$ $Q = K_{3Q}$	$\sum_{Y \in E}^n U_e Y \frac{1}{\cos \delta_Y} - 2 \sum_{Y \in E}^n Y U$
2.	$P = K_{2P}U$ $Q = K_{2P}U$	$\sum_{Y \in E}^n U_e Y \frac{1}{\cos \delta_Y} - 2 \sum_{Y \in E}^n Y U - K_{2P} \sum_{Y \in E}^n \operatorname{tg} \delta_Y - K_{2Q_s}$
3.	$P = K_{1P}U^2$ $Q = K_{1Q}U^2$	$\sum_{Y \in E}^n U_e Y \frac{1}{\cos \delta_Y} - 2 \left( \sum_{Y \in E}^n Y + K_{1Q_s} \right) U - \sum_{Y \in E}^n 2K_{1P} U \operatorname{tg} \delta_Y$
4.	$P = K_{3P}U^2$ $Q = K_{1Q}U^2$	$\sum_{Y \in E}^n U_e Y \frac{1}{\cos \delta_Y} - 2 \left( \sum_{Y \in E}^n Y + K_{1Q_s} \right) U$

Trebuie menționat că aprecierea stabilității statice pe baza acestui criteriu, aplicabilă la un sistem simplu (generator debătind pe bare de putere infinite) în absența reglajului de tensiune, este un calcul cu caracter estimativ, permitînd numai o primă apreciere rapidă a situației.

Considerarea consumatorului complex echivalent prin caracteristici statice de putere funcție de tensiune simplificate în locul caracteristicilor măsurate, introduc erori suplimentare a căror valori se obțin din rel. (5.1e) și relațiile care dă valoarea derivatei  $\frac{dQ}{dU}$  în cazul caracteristicilor simplificate, tabelul nr. 5.1. Astfel:

- Pentru consumatorul de tipul (1) din tabelul nr. 5.1 eroarea de calcul,  $\xi$  va fi :

$$\xi = \frac{-2K_{1Q}U - \sum_1^n (2K_{1P}U + K_{2P}) \operatorname{tg}\delta_y - K_{2Q}}{\sum_1^n \frac{U_e E_y Y_y}{\cos\delta_y} - 2(\sum_1^n Y_y + K_{1Q})U - \sum_1^n (2K_{1P}U + K_{2P}) \operatorname{tg}\delta_y - K_{2Q}} \cdot 100\% ; \quad (5.11)$$

- Pentru consumatorul de tipul (2) din tabelul nr. 5.1:

$$\xi = \frac{-2K_{1Q}U - \sum_1^n 2K_{1P}U \operatorname{tg}\delta_y - K_{2Q} + K_{2Qs} - \sum_1^n (K_{2P} - K_{2Ps}) \operatorname{tg}\delta_y}{\sum_1^n \frac{U_e E_y Y_y}{\cos\delta_y} - 2(\sum_1^n Y_y + K_{1Q})U - \sum_1^n (2K_{1P}U + K_{2P}) \operatorname{tg}\delta_y - K_{2Q}} \cdot 100\% ; \quad (5.12)$$

- Pentru consumatorul de tipul 3 din tabelul nr. 5.1 :

$$\xi = \frac{-2K_{1Q} - K_{1Qs}U - \sum_1^n (2K_{1P}U - 2K_{1Ps}U + K_{2P}) \operatorname{tg}\delta_y - K_{2Q}}{\sum_1^n \frac{U_e E_y Y_y}{\cos\delta_y} - 2(\sum_1^n Y_y + K_{1Q})U - \sum_1^n (2K_{1P}U + K_{2P}) \operatorname{tg}\delta_y - K_{2Q}} \cdot 100\% \quad (5.13)$$

- Pentru consumatorul de tipul 4 din tabelul nr. 5.1:

$$\xi = \frac{-\sum_1^n (2K_{1P}U + K_{2P}) \operatorname{tg}\delta_y - K_{2Q} - 2(K_{1Q} - K_{1Qs})U}{\sum_1^n \frac{U_e E_y Y_y}{\cos\delta_y} - 2(\sum_1^n Y_y + K_{1Q})U - \sum_1^n (2K_{1P}U + K_{2P}) \operatorname{tg}\delta_y - K_{2Q}} \cdot 100\% \quad (5.14)$$

In relațiile (5.11)...(5.14), s-au notat cu  $K_{1P}$ ,  $K_{2P}$ ... $K_{3Q}$  coeficienții din expresia caracteristicilor reale ale consumatorului complex echivalent, iar prin indicele s-așașat acestor coeficienți ( $K_{2Qs}$ ,  $K_{2Ps}$ , ...) s-au notat aceeași coeficienți, dar din expresiile simplificate a caracteristicilor statice ale consumatorului.

### 5.1.2. Aprecierea erorii introduse prin considerarea unor caracteristici simplificate în locul caracteristicilor statice reale în calculul derivatei $\frac{dQ}{dU}$

Pentru exemplificare, s-a considerat schema din figura 5.2, parametrii generatoarelor din schema fiind precizați în tabelul nr. 5.2, iar ai consumatorului în tabelul nr. 5.3. Valorile parametrilor sunt date în unități relative, utilizând sistemul de bază  $S_b = 100$  MVA,  $U_b = 110$  kV.

In tabelul nr. 5.3 s-au notat consumatorii cu caracte-

TABELUL nr. 5.2

Para-metrii Gena-tor	Parametrii generatoarelor schemei din figura 5.2		
	G <sub>1</sub>	G <sub>2</sub>	G <sub>3</sub>
P u.r.	1,1702	0,6438	0,279
Q u.r.	0,2192	0,3104	0,1066
X sincr. u.r.	0,824	1,827	1,01
Y u.r.	1,2136	0,547	0,9901
E u.r.	1,525	1,955	1,1324
δ grade	38°40'	36°30'	35°15'

TABELUL nr. 5.3

Nr. crt.	Tipul con-su-matorului (ca-recteristice statică)	Coefficenții expresiei ca-recteristicii statice P=f(U), Q=f(U)					
		K <sub>1P</sub>	K <sub>2P</sub>	K <sub>3P</sub>	K <sub>1Q</sub>	K <sub>2Q</sub>	K <sub>3Q</sub>
1	2	3	4	5	6	7	8
1.	Industrial Tmş.S- <sup>+</sup> ,VD (măsurată, tabelul nr. 4.3)	19,422	-37,774	20,325	55,80	-109,027	53,874
2.	Industrial Tmş.S- <sup>+</sup> ,VS, (măsurată tabelul nr. 4.3)	97,109	-188,87	93,96	213,90	-427,7	214,41
3.	Industrial C9 Tmş.SE, ora 11 (măsurată)	97,11	-193,80	98,65	62	-124	61,71
4.	Agrar Tmş.E ora VD (măsurată, tabelul nr. 4.3)	19,422	-36	18,53	-15,5	34,92	-18,83
5.	Curent const.	0	1,9674	0	0	0,628	0
6.	Putere const.	0	0	1,993	0	0	0,6362
7.	Impedanță const.	1,9422	0	0	0,62	0	0
8.	P=ct., Q=KU <sup>2</sup>	0	0	1,993	0,62	0	0
9.	Linier, Tmş. SE-VD	0	1,575	0,3975	0	4,024	-3,44
10.	Linier, Tmş. SE-VS	0	7,873	-5,982	0	5,661	-5,099

TARFLUL nr.5.3(continuare)

1	2	3	4	5	6	7	8
11.	Liniar, C9	0	2,945	-0,9903	0	1,612	- 0,997
12.	Liniar- exer Tm <sub>q</sub> .F	0	3,349	-1,3995	0	3,517	- 2,927

\*) Coeficienții ecuațiilor caracteristicilor statice a sarcinilor cunoscute din tabelul nr.4.3 în u.r. față de mărimele nominale, au fost recalculați în u.r. față de mărimele de bază

considerare (poziția 9-12 din tabel), caracteristicile liniare - obținute din liniarizarea  $\checkmark$  caracteristicilor reale de la pozițiile 1...4 din același tabel.

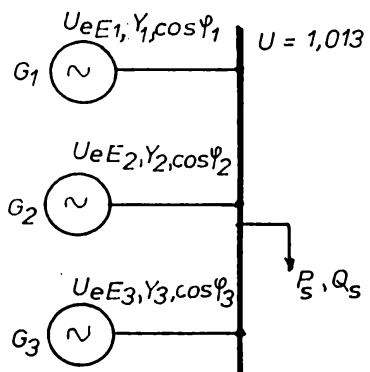


Fig.5.2.Schemă de calcul

Pentru fiecare tip de consumator considerat (pozițiile 1...4 din tabelul nr.5.3) s-au traseat curbele de variație în funcție de tensiunea erorilor de calcul a derivatei  $\frac{dQ}{dU}$ , dacă se admit simplificările sub formă consumatorilor de la pozițiile 5...12 din tabelul nr.5.3, obținându-se curbele din figura 5.3.

Din examinarea curbelor rezultă că erorile ce apar în calcule prin folosirea caracteristicilor statice de putere simplificate, în locul celor măsurate, nu sunt de loc neglijabile. Pentru caracteristicile de tip putere constantă, erorile sunt practic independente de tensiune (figura 5.3). Erorile cele mai mari se obțin în cazul considerării consumatorului prin caracteristici de tip impedanță constantă în cazul consumatorilor industriali, figura 5.3.a și 5.3.c sau de tip liniar, pentru cazul din fig.5.3.b și 5.3.c. Caracteristicile liniare deși prezintă erori mari, au avantajul că în imediata apropiere a punctului de funcționare, erorile sunt relativ mici.

In general în jurul valorii tensiunii nominale ( $0,975-1,025)U_n$ , erorile sunt mici pentru reprezentarea consumatorului prin caracteristici liniare. Curbele prezentate pentru cazul analizat indică potrivită reprezentarea prin caracteristici de tip curent constant pentru consumatorul mixt la VD (figura 5.3.a), în timp ce la consumatorul industrial este potrivită reprezentarea prin caracteristici normale (figura 5.3.c), în fe-

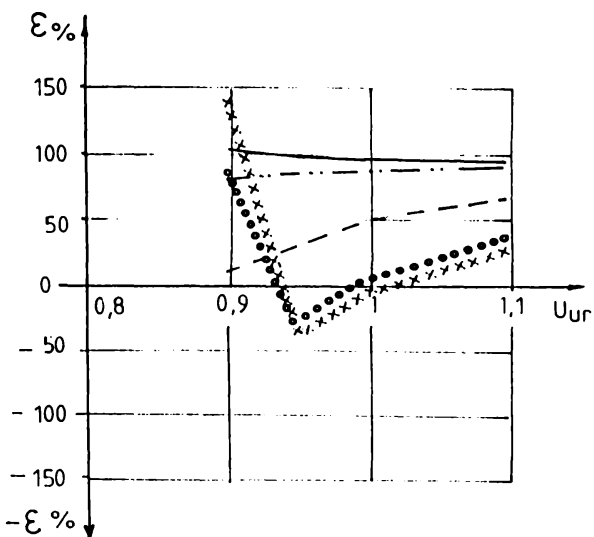
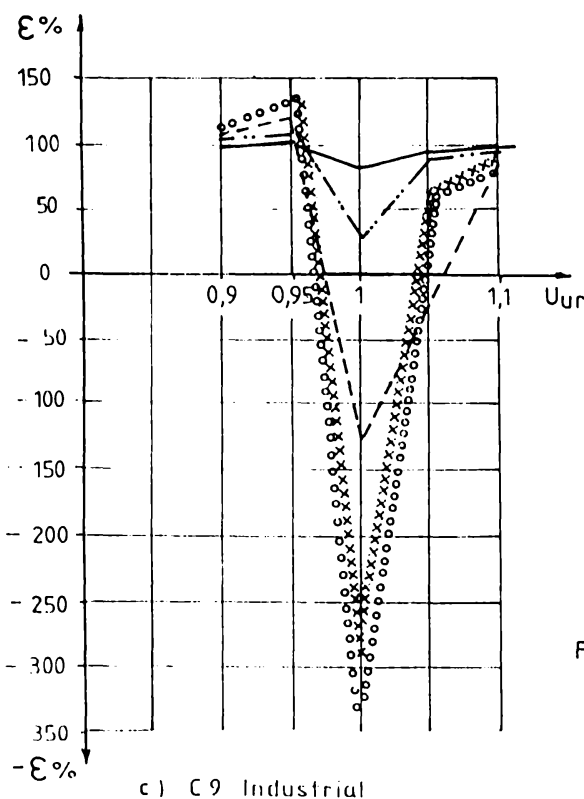
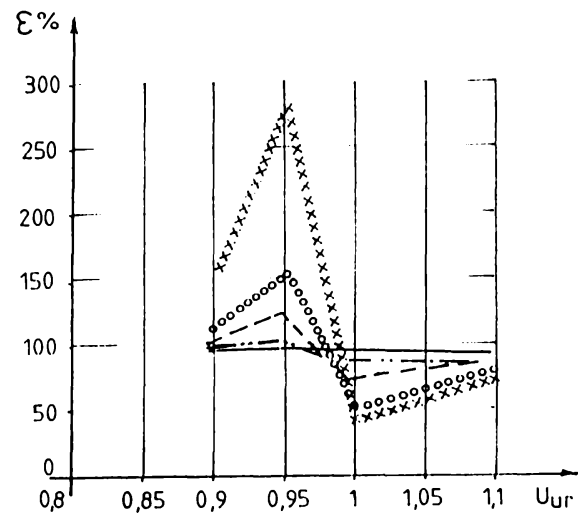
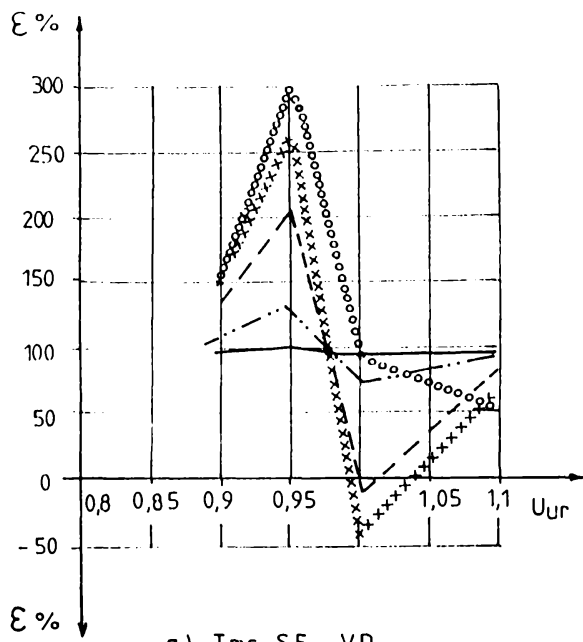


Fig. 5.3 Curba de variație a erorilor  $\epsilon = f(U)$   
în cazul reprezentării simplificate a consumatorilor

- 1 —— consumator  $P = K_3P, Q = K_3Q$
- 2 -...- consumator  $P = K_3P, Q = K_1Q U^2$
- 3 oooo consumator  $P = K_1P U^2; Q = K_1Q U^2$
- 4 ---- consumator  $P = K_2P U; Q = K_2Q U$
- 5 xxxx consumator  $P = R_p U + (1 - R_p), Q = R_Q U + (1 - R_Q)$

lul acesta asigurîndu-se erori minime.

Din curbele prezentate în figura 5.3 se observă că modul de considerare a caracteristicii de sarcină influențează valoarea erorii față de situația considerării unor caracteristici statice măsurate în special în plaja de tensiuni ( $0,9\dots1,1U_r$ ), în afara acestor limite erorile se păstrează practic de valori constante și apropiate, independent de simplificarea adoptată. În același timp se remarcă un maxim al acestor erori pentru  $U_r=0,95$  în cazul consumatorilor de tip mixt (industrial+casnic+casnic edilitar) respectiv pentru  $U_r=0,9$  în cazul consumatorilor de tip agrar; în cazul acestor consumatori obținîndu-se erori minime, cu mici excepții pentru  $U_r=1$ .

Din același curbe se observă și faptul că erorile care se obțin prin reprezentări simplificate sunt mai mici în cazul consumatorilor de tip agrar ( $-50\dots+140\%$ ) față de cazul consumatorilor de tip industrial considerat.

Din cele prezentate se poate afirma că mărimea erorii introdusă în calculul stabilității statice a SEE simplificat considerat, prin înlocuirea caracteristicilor statice de sarcină ale consumatorului complex echivalent simplificate, față de situația considerării caracteristicilor obținute prin măsurători, este funcție de tipul consumatorului: industrial, agrar, etc (figura 5.3.a,d), de ora la care s-au determinat caracteristicile statice reale (VD, VS, etc) (figura 5.3.a,b).

Pentru o reprezentare mai sugestivă s-a traseat în fig.5.4 eroarea față de caracteristica măsurată, în punctul  $U_r=1$ , pentru diferite caracteristici de sarcină, în condițiile păstrării valorilor  $U$ ,  $U_{eRy}$  și  $\delta$  (fig.5.2) constante.

Trebui să precizăm că aceste curbe ale erorilor s-au dat numai cu titlul informativ pentru a sublinia necesitatea considerării în calcule a caracteristicilor statice reale, înlocuirea acestora cu caracteristici simplificate conducînd la erori mari.

Concluzia care se desprinde din dezvoltările de mai sus este că nu se poate fixa o lege a acestei dependențe dar că se impune reprezentarea consumatorilor - în calcule de stabilitate statică - prin caracteristicile lor statice reale obținute prin măsurători și numai în situații fortuite, în absența acestora, prin caracteristici liniare.

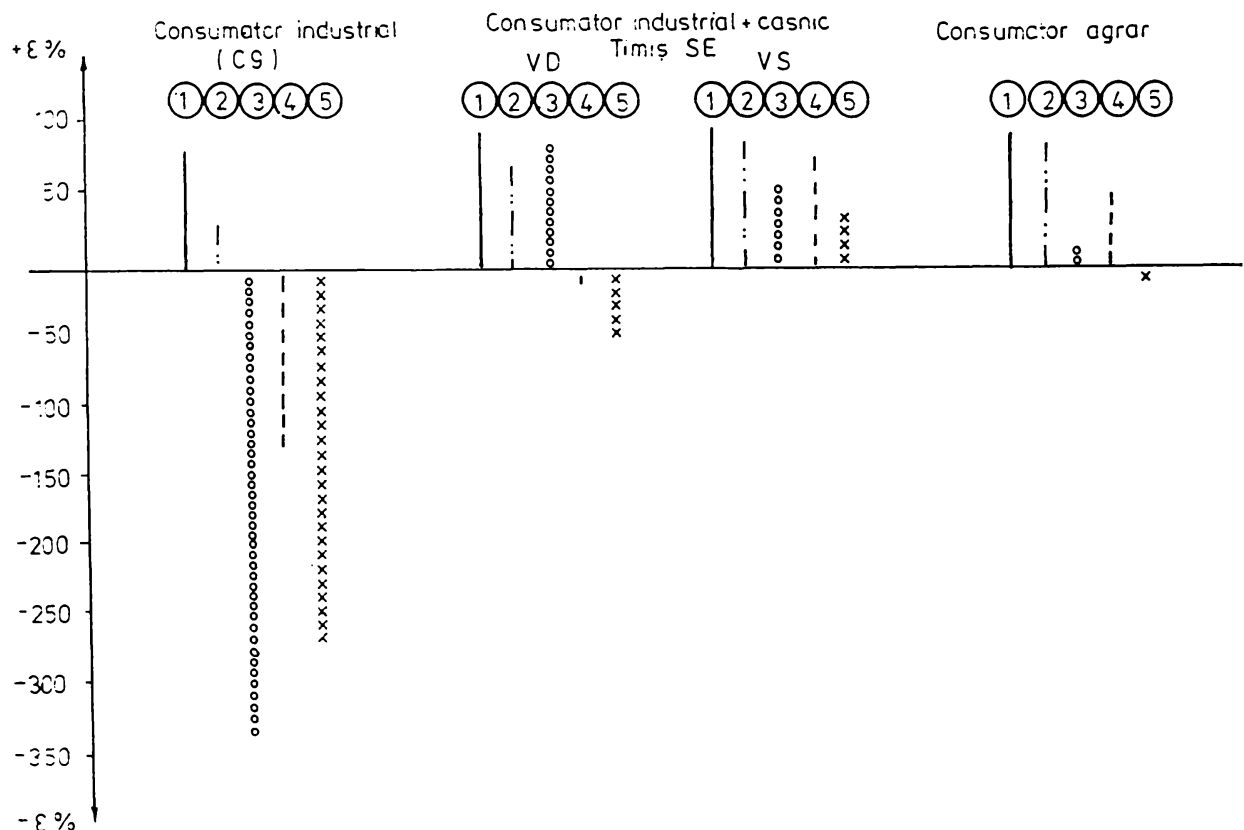


Fig.5.4. Procese introduse prin considerarea unor caracteristici statice simplificate în locul caracteristicilor reale a consumatorului complex, în punctul de funcționare  $U_g = 1$ .

(1-caracteristici P,Q constant; 2-caracteristici "normale"; 3-caracteristici Z constant; 4-caracteristici I constant; 5-caracteristici liniare).

5.1.3. Calculul tensiunii critice și a rezervei de stabilitate statică având în vedere caracteristicile de putere funcție de tensiune ale consumatorilor

Tensiunea critică din punct de vedere al stabilității statice pentru un sistem electroenergetic redus, figura 5.2, rezultă din relația (5.10) impunând condiția limită ( $\frac{dQ}{dU} = 0$ ) :

$$U_{cr} = \frac{\sum_{j=1}^n \frac{U_j E_j Y_j}{\cos \delta_j} - K_{2P} \sum_{j=1}^n \operatorname{tg} \delta_j - K_{2Q}}{2 \left( \sum_{j=1}^n Y_j + K_{1Q} + K_{1P} \sum_{j=1}^n \operatorname{tg} \delta_j \right)}, \quad (5.15)$$

iar rezerva de stabilitate se știe că se definește prin relația (1.2).

Pentru a urmări influența modului de reprezentare a sarcinii asupra acestor mărimi, fiind necesare numeroase calcule, s-a întocmit programul de calcul "RFZSTATIC" - program pentru analiza rezervei de stabilitate statică în funcție de modul de reprezentare al consumatorilor - a căror ordinogramă este dată în figura 5.5, iar programul este prezentat în anexa A-5.

Pentru calcul s-a considerat același sistem din figura 5.2, parametrii generatoarelor fiind cei indicați în tabelul nr. 5.2, iar consumatorul recordat la bare s-a considerat succesiv având diferite caracteristici simplificate.

TABELUL nr.5.4

Tensiunea critică și rezerva de stabilitate statică pentru sistemul din figura 5.2 (calculate cu programul "REZSTATIC")

Nr. crt.	Carac- terul consu- mat.	U <sub>cr</sub> u.r.	Rezerva de stabilitate statică R <sub>u</sub> % pentru tensiunea U u.r.							
			0,8	0,85	0,9	0,95	1	1,05	1,10	
1.	I=ct	0,00475	99,406	99,440	99,47	99,50	99,525	99,55	99,57	
2.	P=ct., Q=ct.	0,92247	-15,308	-8,525	-2,496	2,898	7,753	12,146	16,14	
3.	Z=ct	0,32805	58,993	61,405	63,55	65,47	67,20	68,76	70,177	
4.	P=ct., Q=KU <sup>2</sup>	0,75278	5,902	11,437	16,357	20,76	24,722	28,307	31,56	

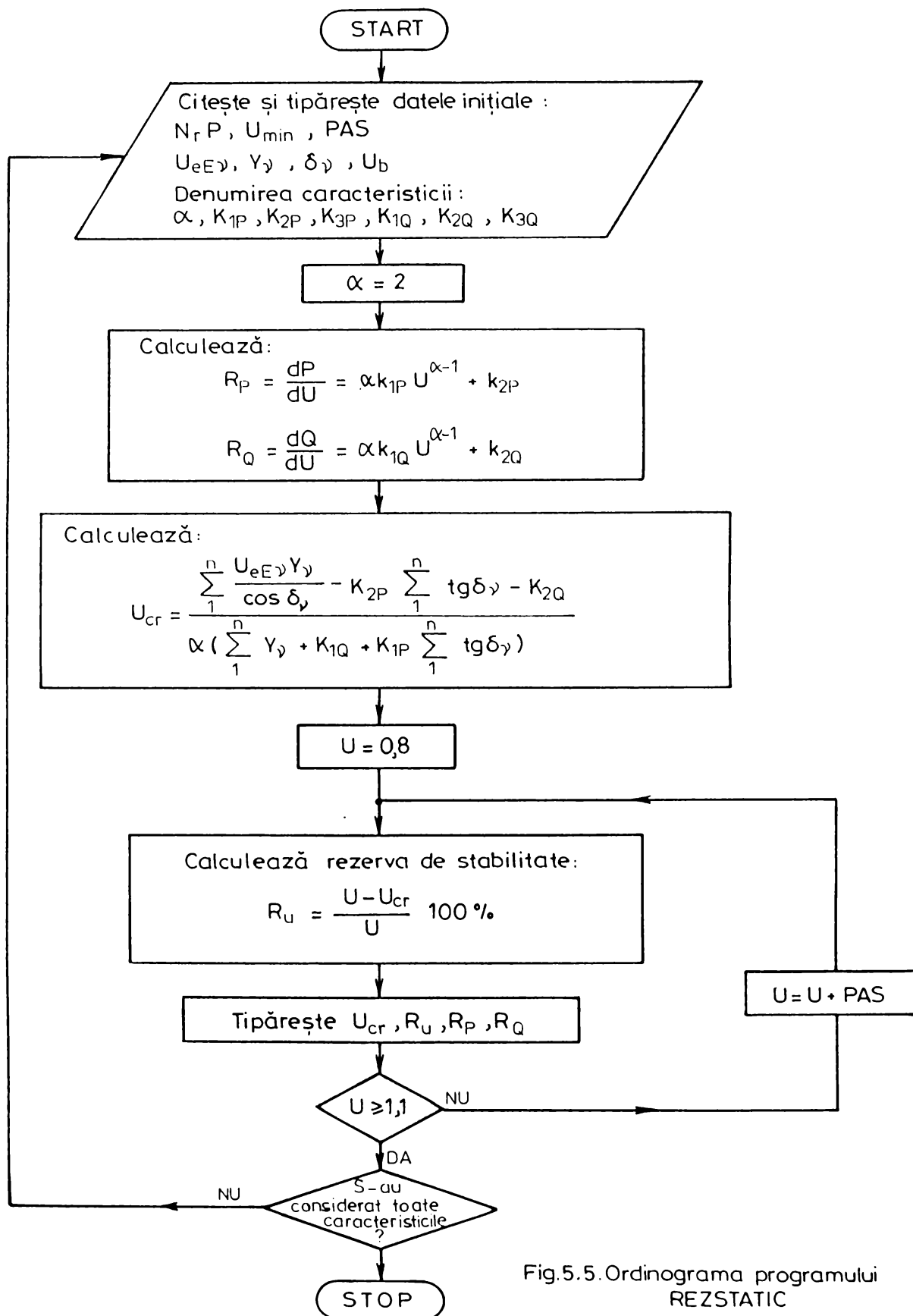


Fig.5.5. Ordinograma programului REZSTATIC

Din analiza rezultatelor se poate observa că există o mare dispersie a valorilor tensiunii critice din punctul de vedere al stabilității statice, aceasta depinzind mult de modul de reprezentare în calcul a consumatorului complex. Soluția se pretează la estimări ale stării unui sistem privind depărtarea funcționării acestuia față de regimul limită.

In figura 5.6 se prezintă dependența rezervei de stabilitate  $R_u$  față de tensiune pentru cazul consumatorilor considerați prin caracteristici simplificate.

Din aceste curbe se observă ușor că reprezentarea consumatorului complex echivalent prin caracteristici statice simplificate conduce la rezultate optimiste considerând caracteristici de tipul  $Z=ct$  și mai ales  $I=ct$ , la rezultate pesimiste în cazul considerării caracteristicii de tip putere constantă. Caracteristicile de tip "normale" conducind la rezultatele intermediare.

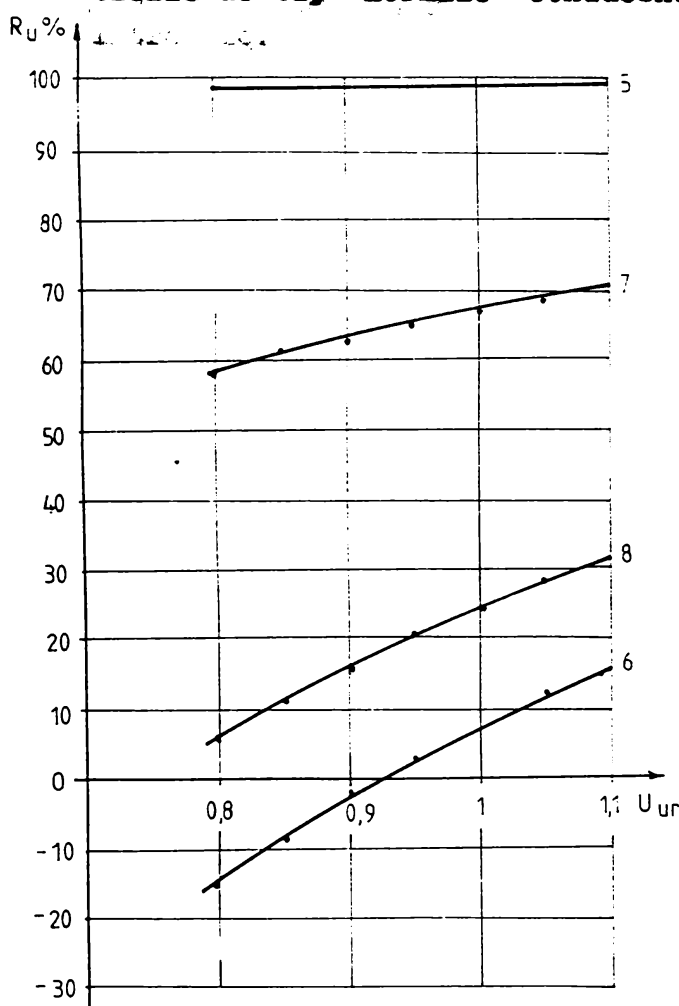


Fig.5.6. Dependența  $R_u=f(U)$  pentru caracteristici simplificate.

Aceste estimări ale stării de stabilitate a sistemului pot fi acceptate numai într-o primă fază de calcul. În cazul sistemelor energetice extinse și puternic încărcate este deseori necesar să se funcționeze în zona din imediata apropiere a celei limită, ca urmare calculele acesteia trebuie efectuate cât mai precis. Astfel de calcule, la baza cărora să fie admise cât mai puține ipoteze simplificatoare, impun folosirea calculatoarelor numerice pentru rezolvarea problemei.

5.2. Calculul stabilității statice a zonei din Sud-Vest a S.E.N., înînd cont de influența sarcinii

5.2.1. Algoritmul de calcul al stabilității statice

Pentru calculul stabilității statice s-a utilizat pachetul de programe PROGSTS, descris pe larg în /148/, elaborat pentru calculatorul Felix C256.

In cele 10 programe incluse în PROGSTS se rezolvă, pe etape, problemele legate de crearea fișierelor de date, stabilirea regimului permanent analizat, întocmirea modelului matematic, aprecierea stabilității statice, simularea răspunsului la mici perturbații și afișarea rezultatelor tabelare sau sub formă de grafice.

Programele sunt scrise majoritatea în limbaj FORTRAN iar pentru probleme delicate în ASSIRIS. Numele tuturor programelor începe cu literalele "STS" de la Stabilitatea Statică.  
1) STS PWN - calculează regimul stacionar normal al rețelei electrice cu metoda Newton-Raphson;  
2) STS GEN - crează fișierul de date cu parametrii GS exprimați în u.r. la nivelul S.E.E.;  
3) STS CON - crează fișierul de date cu parametrii consumatorilor exprimați în u.r. la nivelul S.E.E.;  
4) STS RET - calculează mărimele de stare ale GS și coeficienții din ecuațiile corespunzătoare bilanțului de putere activă, respectivă reactivă în nodurile rețelei electrice;  
5) STS MAST - formează matricile de stare, intrare și ieșire ale sistemului de ecuații diferențiale liniare ce aproximează comportarea SEE la mici perturbații;  
6) STS PREP - pregătește sistemul de ecuații diferențiale pentru integrarea numerică;  
7) STS DYN - integrează sistemului de ecuații diferențial liniar utilizând algoritmul bazat pe folosirea matricei de tranziție, /127/;  
8) STS LIST - afișează răspunsul SEE la o perturbație, calculează și tipărește indicatorii de calitate.

Pentru calculul regimului stacionar al rețelei s-au făcut următoarele ipoteze:

- Generatorele din sistem și reglajele aferente de tensiune și turărie s-au reprezentat prin sistemul de ecuații li-

niarizat în punctul de funcționare, valabile pentru regimul de mici perturbații, /123/, /148/;

- reprezentarea liniilor electrice, a transformatoarelor și autotransformatoarelor electrice se face prin intermediul impedanțelor și admitanțelor ce compun schema lor echivalentă pentru regimul stacionar;

- consumatorii complecși echivalenți s-au considerat prin caracteristicile lor statice de putere funcție de tensiune, relațiile (5.1) respectiv (4.2);

- interconexiunea elementelor din rețeaua electrică se realizează prin intermediul bilanțului de putere în nodurile acesteia, puterile fiind exprimate prin relațiile binecunoscute:

$$P_{ret_i} = U_i^2 G_{ii} + \sum_{\substack{k=1 \\ k \neq i}}^{NN} U_i U_k \{ G_{ik} \cdot \cos(\delta_i - \delta_k) + B_{ik} \sin(\delta_i - \delta_k) \}, \quad (5.16)$$

$$Q_{ret_i} = U_i^2 B_{ii} + \sum_{\substack{k=1 \\ k \neq i}}^{NN} U_i U_k \{ G_{ik} \sin(\delta_i - \delta_k) - B_{ik} \cos(\delta_i - \delta_k) \}, \quad (5.17)$$

în care  $G_{ik} = G_{ik} + jB_{ik}$  sunt elementele matricii de admitanță nodala  $Y_n$  a rețelei electrice.

Prin liniarizarea ecuațiilor (5.16) și (5.17) în punctul de funcționare și eliminarea nodurilor fără injectie de puteri se obține modelul matematic al rețelei electrice la mici perturbații:

$$\begin{bmatrix} \overline{\Delta P}_{ret} \\ \overline{\Delta Q}_{ret} \end{bmatrix} = \begin{bmatrix} \frac{\partial P_{ret}}{\partial \delta} & \frac{\partial P_{ret}}{\partial U} \\ \frac{\partial Q_{ret}}{\partial \delta} & \frac{\partial Q_{ret}}{\partial U} \end{bmatrix} \begin{bmatrix} \overline{\Delta \delta} \\ \overline{\Delta U} \end{bmatrix}. \quad (5.18)$$

Rezultatele obținute sunt afișate sub formă de tabele sau grafice, conținând comentariile necesare pentru o ușoară înțelegere.

In studiu s-au considerat în regim stabil de funcționare, diferite cazuri referitoare la caracteristicile statice ale consumatorului complex echivalent.

Compararea comportării diferitelor modele pentru consumatorul complex echivalent s-a realizat cu ajutorul unor indici de calitate ai regimului perturbat obținut prin mărirea cu 1% a puterii consumate într-un nod mare consumator (nodul 15-Rovinari 400 - figura 5.7). Prin acestia se poate sesiza cantitativ deose-

birile existente între diferitele cazuri considerate:

1) Valoarea medie a variabilelor,

$$V_{\text{med}} = \frac{1}{t_f} \int_0^{t_f} X(t) dt ; \quad (5.19)$$

2) Valoarea maximă a variabilelor,  $V_{\text{max}}$ ;

3) Valoarea minimă a variabilelor,  $V_{\text{min}}$ ;

4) Abaterea medie pătratică,  $\bar{\sigma}$ :

$$\bar{\sigma}^2 = \frac{1}{t_f} \int_0^{t_f} \left( \frac{X(t) - V_{\text{med}}}{V_{\text{med}}} \right)^2 dt, \quad (5.20)$$

în care  $X(t)$  reprezintă răspunsul sistemului, iar  $t_f$  durata considerată în calcule.

Mărimile pentru care s-au calculat acești indici de călitate au fost: unghiul intern al generatorului sincron,  $\theta$ ; unghiul între tensiunea la bornele GS și tensiunea centrului de inerție CI,  $\delta$ ; tensiunea la bornele generatorului,  $U$ ; puterea activă,  $P$  și puterea reactivă,  $Q$  la bornele generatorului; accelerarea rotorului,  $\alpha$ ; viteza unghiulară,  $\Omega$ ; cuplul mecanic,  $C_m$ ; tensiunea de excitație,  $U_{ex}$ ; tensiunea electro-motoare,  $U_{eE}$ .

### 5.2.2. Sistemul electroenergetic considerat în calcule

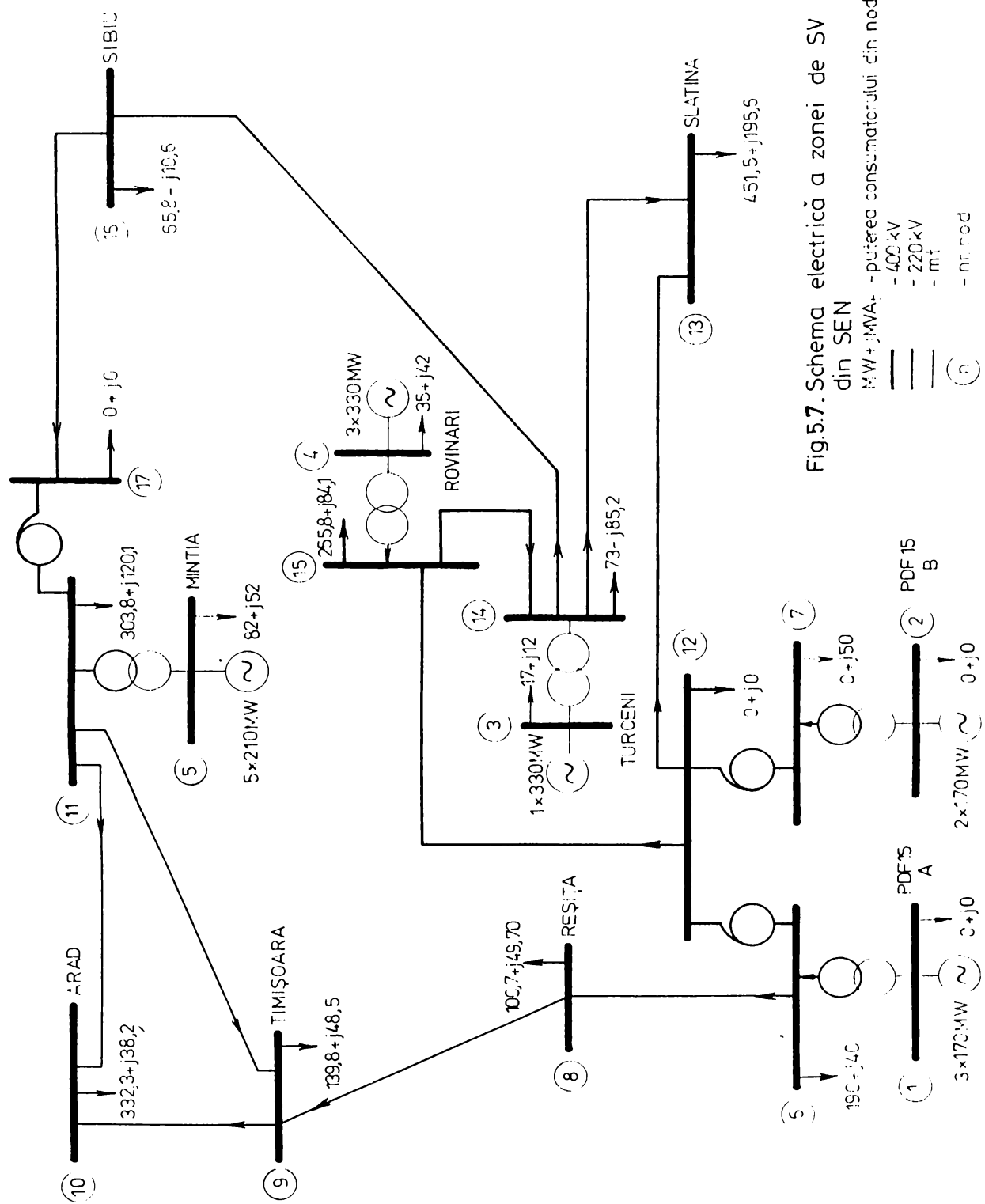
Pentru evidențierea influenței caracteristicii statice de putere funcție de tensiunea a consumatorului complex echivalent asupra stabilității statice a unui sistem electroenergetic, s-a considerat schema zonei de Sud-Vest din sistemul energetic național, figura 5.7. Referitor la structura sistemului considerat se fac următoarele precizări:

1. Sistemul cuprinde cinci noduri generatoare: Porțile de Fier 15A, Porțile de Fier 15B, Turceni 24, Rovinari 24, Mintia 15;

2. Toate generatoarele sincrone din centrale s-au modelat printr-un singur GS echivalent având în vedere următoarele condiții de echivalare:

- puterea nominală a GS echivalent este egală cu suma puterilor nominale a GS reale de același tip;

- GS echivalent are aceeași tensiune nominală, rezis-



tență și reactanță, deci și constante de timp ale înșăurărilor, ca și GS reale;

- inerția GS echivalent este suma inerțiilor GS reale, deci constanta de timp mecanică echivalentă este suma constanțelor de timp reale corespunzătoare.

3. S-a considerat rețeaua electrică de 220 kV și de 400 kV.

4. Sistemul conține 12 noduri consumatoare: Porțile de Fier 220 A, Porțile de Fier 220 B, Reșița, Timișoara, Arad, Mintia 200, Porțile de fier 400, Slatina, Turceni 400, Rovinari 400, Sibiu, Mintia 400.

5. Consumatorii s-au considerat prin caracteristicile lor statice de putere funcție de tensiune obținute pe baza determinărilor experimentale în SEN (vezi capitolul 4 și /86/, /120/, /160/) cît și prin caracteristici statice simplificate folosite în calcule practice, respectiv prin caracteristici liniare. Pentru studiu s-au considerat 37 cazuri din punct de vedere al caracteristicilor statice ale consumatorilor în vederea aprecierii influenței modului de considerare a sarcinii asupra rezultatelor calculelor de stabilitate statică a sistemului electroenergetic.

Parametrii generatoarelor sunt date în tabelul nr.5.5, parametrii caracteristici nodurilor în tabelul nr.5.6, parametrii caracteristici elementelor de rețea ale schemei din figura 5.7 în tabelul nr.5.7, iar caracteristicile consumatorilor în tabelul nr. 5.8. În tabelul nr.5.9 se indică parametrii caracteristici consumatorului complex echivalent considerat cu caracteristici statice măsurate (cazul nr. 1 din tabelul nr. 5.8). Pe baza datelor din figura 5.7 și a celor din tabelul nr.5.8 au fost stabiliți parametrii caracteristici statice de sarcină putere funcție de tensiune pentru consumatorul complex echivalent din fiecare nod, corespondator regimurilor considerate.

Pentru toate cazurile considerate, parametrii caracteristici statice ale consumatorilor complecși echivalenți s-au calculat din expresia matematică a caracteristicii statice și valorile tensiunii respectiv puterii consumatorilor din fiecare nod.

TABEUL nr.5.5.

Parametrii generatoarelor sincrone (GS), a sistemelor de reglare automată a excitării (SRAE) și a sistemului de reglare automată a vitezei (SRAV) pentru centralele din zona SV a SEN		Porțile de Turceni		Rovinări		Mintia	
Nr. crt.	Mărimea	Unitatea	Fier A	Fier B	TURC 24 (nodul 3)	ROVI 24 (nodul 4)	MINT 15 (nodul 5)
1. $\text{M}_{\text{GS}} \text{P}_{\text{n}}$	MW	3x170	2x170	1x330	6	7	8
2. $S_{\text{n}}$ total	MVA	570	370	368	1164	1235	
3. $\cos \varphi_n$		0,9	0,9	0,85	0,85	0,85	
4. $U_n$	kV	15,75	15,75	24	24	15,75	
5. $X_{dd}$	u.r.n.	1,132	1,132	2,247	2,247	2,42	
6. $X_{qq}$	u.r.n.	0,70	0,7	2,247	2,247	2,42	
7. $X_{dh}$	u.r.n.	0,957	0,957	2,103	2,103	2,295	
8. $X_{qh}$	u.r.n.	0,525	0,525	2,103	2,103	2,295	
9. $X_d^1$	u.r.n.	0,350	0,350	0,288	0,288	0,25	
10. $X_d^2$	u.r.n.	0,260	0,260	0,200	0,200	0,170	
11. $X_q^1$	u.r.n.	0,188	0,188	0,188	0,188	0,1724	
12. $Bx10^3$	u.r.n.	5,09	5,09	5,09	5,09	5,228	
13. $RDX10^2$	u.r.n.	1,332	1,332	1,768	1,768	1,672	
14. $RQX10^2$	u.r.n.	0,429	0,429	1,14	1,14	1,148	
15. $RFX10^3$	u.r.n.	0,591	0,591	1,23	1,23	1,174	
16. $X_{rB}$	u.r.n.	1,171	1,171	2,257	2,257	2,427	
17. $X_{DD}$	u.r.n.	1,122	1,122	2,194	2,194	2,365	

Tabelul nr.5.5 (continuare)

	2	3	4	5	6	7	8
16. $X_{QQ}$	u.r.n.	0,539	0,539	2,148	2,148	2,343	
19. $K_{fr}$	%	3	3	1,5	1,5	1,5	
20. $T_m$	s	6,05	6,05	6,1	6,1	6,34	
21. $G$	%	8	8	5	5	5	
22. $T_b$	s	2	2	0,1	0,1	0,2	
22. $m$		1	1	0	0	0	
24. $K_{1T}$		-1	-1	1	1	1	
25. $T_{1T}$	s	2	2	0	0	0	
26. $K_{2T}$		1	1	1	1	1	
27. $T_{2T}$	s	1	1	0,3	0,3	0,3	
28. $K_R$	u.r.n.	2,5	2,5	6	6	6	
29. $T_R$	s	0,2	0,2	0,05	0,05	0,05	
30. $K_{ex}$	u.r.n.	1	1	1	1	1	
31. $T_{ex}$	s	0,05	0,05	0,05	0,05	0,05	
32. $K_Q$	%	3	3	3	3	3	
33. $e_n$	u.r.n.	0,0013072	0,0013072	0,0017745	0,0017745	0,001714	

TABELUL nr.5.6

Parametrii caracteristici nodurilor schemei din fig.5.7							
Nr. crt.	Numele nodului	P <sub>C</sub> MW	Q <sub>C</sub> MVAr	P <sub>g</sub> MW	U kV	Q <sub>min</sub> MVAr	Q <sub>max</sub> MVAr
1.	PDF 15A	0	0	490	16,2	0	243,5
2.	PDF 15B	0	0	325	16,5	0	165,7
3.	TURC 24	-17	-12	170	24,25	-390	204,5
4.	ROVI 24	-35	-42	395	24,3	-116	613,2
5.	MINT 15	-82	-52	710	15,67	-145	650,6
6.	PDF 220 A	-190	-40	-	245,24	-	-
7.	PDF 220B	0	-50	-	238,94	-	-
8.	RESI 220	-100,7	-49,7	-	218,40	-	-
9.	TIMI 220	-339,8	-48,5	-	219,36	-	-
10.	ARAD 220	-332,3	-38,2	-	219,51	-	-
11.	MINT 220	-303,8	-120,1	-	237,78	-	-
12.	PDF 400	0	0	-	415,49	-	-
13.	SLAT 400	-451,5	-195,6	-	410,58	-	-
14.	TURC 400	-73	+85,2	-	420,91	-	-
15.	ROVI 400	-255,6	-84,1	-	419,93	-	-
16.	SIBIU 400	-65,8	+10,6	-	411,68	-	-
17.	MINT 400	0	0	-	395,68	-	-

TABELUL nr. 5.7

Parametrii elementelor rețea ale schemei din fig.5.7, /43/							
Nr. crt	Latura (noduri limitrofe)	Tip	R Ω	X Ω	G/2 μs	B/2 μs	K <sub>tr</sub>
1.	2	3	4	5	6	7	8
1.	1-6	T	0,2704	10,788	3,842	-29,22	15,3651
2.	2-7	T	0,4055	16,182	2,561	-19,48	14,597
3.	3-14	T	1,016	62,4	0,875	- 5,625	17,5

- TABELUL nr.5.7(continuare)

1	2	3	4	5	6	7	8
4.	4-15	T	0,3833	22,932	2,625	-16,875	17,5
5.	5-11	T	0,1774	5,06	12,04	-128,06	15,365
6.	6-12	T	1,2	40	1,312	-12,25	1,688
7.	7-12	AT	1,2	40	1,312	-12,25	1,753
8.	11-17	AT	0,85	46	0,5	-5	1,58
9.	6-8	L	14,14	100,1	0	305	-
10.	8-9	L	2,35	15,35	0	185	-
11.	9-10	L	1,8	11,65	0	141	-
12.	9-11	L	8,57	54,7	0	176,5	-
13.	10-11	L	4,7	47	0	237	-
14.	12-13	L	5,2	53,7	0	270,5	-
15.	12-15	L	2,8	28,8	0	144	-
16.	13-14	L	2,8	29	0	139,5	-
17.	14-15	L	1,8	18,3	0	92,5	-
18.	14-16	L	8,7	88,9	0	441	-
19.	16-17	L	4,29	43,2	0	217,5	-

Calculele s-au efectuat în u.r. , mărimile de bază fiind prezentate în tabelul nr. 5.10.

Trebuie precizat că s-au utilizat pentru estimarea caracteristicilor măsurate a celor 17 noduri din sistemul energetic considerat rezultatele obținute prin măsurători făcute de autoarele prezentei lucrări, cît și rezultatele obținute de colective de la ISPE și DEN, adoptându-se pentru nodurile pentru care nu s-a dispus de rezultate experimentale, caracteristici obținute în noduri cu consum asemănător.

In tabelul nr.5.8 s-au notat "caracteristici măsurate" caracteristicile statice determinate experimental sau apreciate, obținute din măsurători parțiale sau globale pentru unii consumatori, sau apreciate ținând seama de compozitia similară a nodurilor cu noduri în care s-au făcut măsurători (vezi tabelul nr.5.9); "caracteristici teoretice" - caracteristici indicate

TABELUL nr.5.8.

Caracteristici statice considerate pentru consumatorul complex echivalent

Consumatorul Nr. cezu- lui	Total consuma- torii din SRE:	Consumatorul MINTELĂ 5, ca- ract.măsurate, restul consu- matorilor	Consumatorul ROVI 15, caract. măsurate,restul consumato- rilor	Consumatorul TMS.9, caract. măsurate,restul consumato- rilor	Consumatorul Slatina,carac- teristici mă- surate,restul consumat- rilor
1	2	3	4	5	6
1.	e) Nodul 5, nod de referință - caracte- ristici măsu- rate	-	-	-	-
2.	" - PUTERE const.	-	-	-	-
3.	" - IMPEDANȚA const.	-	-	-	-
4.	" - NORMALE	-	-	-	-
5.	" - CURENT const.	-	-	-	-
6.	" - LINIARE	-	-	-	-
7.	" - TEORITICE	-	-	-	-
8.	" - cu EP.RYGL	-	-	-	-
9.	<0	-	-	-	-
10.	Caracteristici PUTERE const. - " IMPEDANȚA const.	-	-	-	-

TABELUL nr.5.8 (continuare 1)

1	2	3	4	5	6
11.	-	Căreacteristici NORMALĂ	-	-	-
12.	-	"-CURRENT const.	-	-	-
13.	-	"-LINIAR	-	-	-
14.	-	TOTI NORMALĂ, MINȚIA 5 putere const.	-	-	-
15.	-	-	caracteristici PUTERE const.	-	-
16.	-	-	"-IMPEDANȚA const.	-	-
17.	-	-	"-NORMALĂ	-	-
18.	-	-	"-CURRENT const.	-	-
19.	-	-	"-LINIAR	-	-
20.	-	-	TOTI Normale, Rov.4 corect. măsurate	-	-
21.	-	-	Caracteristici PUTERE const.	-	-
22.	-	-	"-IMPEDANȚA const.	-	-
23.	-	-	caracteristici NORMALĂ	-	-
24.	-	-	"-CURRENT const.	-	-
25.	-	-	"-LINIAR	-	-

TABELUL nr.5.8 (continuare 2)

1	2	3	4	5	6
26.	-	-	-	Totii caract.putere const., Tms.CURRENT ct.	-
27.	-	-	-	Totii putere ct., Tms. Z=ct.	-
28.	-	-	-	Totii putere ct., Tms. Normal@	-
29.	-	-	-	Caracteris. PUTERE const.	-
30.	-	-	-	"-IMPEDANTA const.	-
31.	-	-	-	"-NORMALE	-
32.	-	-	-	"-CURRENT ct.	-
33.	-	-	-	"-LENIARE	-
34.	b) Modul 3 nod de referinta (cas 34.0.37)	-	-	-	-
35.	Caracteristici MASURATE	-	-	-	-
36.	"- PUTERE ct.	-	-	-	-
37.	"- Z=ct.	-	-	Caract.putere const.	-

TABLUL nr.5.9

Nr. nod	Nume nod	Parametrii caracteristilor statici si de tensiune a consumatorilor complecsi echivalenți caracteristici măsurate (rezimul din tabelul nr.5.8)			Modulul efectui referent	cărăsării obținute
		K <sub>2P</sub>	K <sub>1P</sub>	K <sub>2Q</sub>		
1.	PDF 15A	0	0	0	0	-
2.	PDF 15B	0	0	0	0	-
3.	Turcoani 24	-12,83	0,28908	27,513	-0,510	1,7
4.	Rovinari 24	867,51	-17,884	-2268,57	46,982	-1,14
5.	Mintie 15	-5,2675	0,39905	-397,173	1,2,207	1,284
6.	PDF 220A	0,4757	0,00103	-10,6156	0,02404	1,266
7.	PDF 220B	0	0	0	0,000876	2
8.	Răpita	-17,798	0,0422	-72,33	0,17192	1,399
9.	Timișoara	54,0233	-0,122876	-74,069	0,1714	0,18
10.	Arad	-25,2810	0,06207	-13,1214	0,03155	1,3
11.	Mintie 220	108,304	-0,22725	-169,20775	0,3612	0,182
12.	PDF 400	0	0	0	0	0
13.	Slatina	-10,447	0,01674	-6,253	0,01088	3
14.	Turcoani 400	-0,03243	0,000053	-18,643	0,02342	0,703
15.	Rovinari 400	140,6241	-0,167643	-66,8448	0,104402	-0,279
16.	Sibiu	1,90345	-0,001949	0,98134	-0,0010113	1,87
17.	Mintie 400	0	0	0	0	0

134

TABELUL nr.5.10

Mărimile de bază adoptate				
Nivelul de tensiune	$U_{nom}$ kV	$U_B$ kV	$S_B$ MVA	$Y_B$ S
1	400	400	100	0,000625
2	220	220		0,002066
3	24	24		0,173611
4	15,75	15,75		0,40312

În literatură fără referire specială la o anumită determinare experimentală într-un SEE dar în general având un efect reglant mai mic decât în cazul caracteristicilor "reale". În cazul S s-a considerat un consumator fictiv, rezultat din consumatorul real la care s-au modificat coeficienții ecuațiilor caracteristicilor statice astfel ca efectul reglant atât al puterii active cât și al celei reactive să rezulte negativ, pentru a se urmări influența semnului efectului de reglaj asupra stabilității statice a sistemului. Cazul respectiv nu este rupt de realitate pentru că și în unele măsurători /122/ s-au obținut pentru  $R_p$  valori negative.

Pentru consumatorul complex echivalent cu caracteristici statice măsurate, în tabelul nr.5.9 se indică parametrii caracteristicilor statice (coeficienții ecuației caracteristicilor statice și valoarea efectului reglant al sarcinii active respectiv reactive).

Pentru analiza stabilității statice a zonei considerate, s-a presupus consumatorul complex echivalent din noduri având diferite caracteristici statice, urmărindu-se influența acestor caracteristici pentru 37 cazuri diferite, în regim stabil de funcționare a sistemului electroenergetic.

Timpul de calcul este de aproximativ 20 minute.

### 5.2.3. Influența caracteristicilor consumatorului complex echivalent asupra stabilității statice a sistemului electroenergetic considerat. Rezultate obținute

#### 5.2.3.1. Probleme generale

În urma calculului stabilității statice pentru zona de S.V. din S.E.E. (figura 5.7) considerind consumatorii reprezentați prin diferite modele pentru caracteristicile statice, folosind

programul de calcul PROGSTS, s-au obținut variația în timp a principalelor mărimi ce caracterizează comportarea celor cinci generate din SEE considerat, în regim de mici perturbații, pentru exemplificare prezentându-se în figurile 5.9 ... 5.12 aceste curbe în cazul reprezentării tuturor consumatorilor complecși echivalenți prin caracteristici statice putere funcție de tensiune obținute experimental. Curbele de oscilație a principalelor mărimi pentru GS-PDF 15B având o variație similară cu cele pentru GS-PDF 15A, nu s-au mai reprezentat, deosebirile fiind de ordin cantitativ și rezultând din tabelele nr. 5.11 și 5.12.

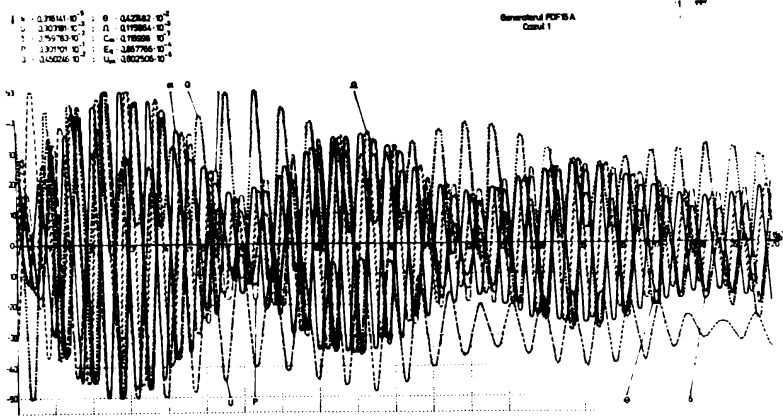


Fig.5.9.Varietățea  
în timp a prin-  
cipalelor mărimi la  
GS-PDF 15A pen-  
tru regim stabil  
de funcționare  
Cazul 1:consuma-  
torii reprezen-  
tati prin cerac-  
teristici măsu-  
rate

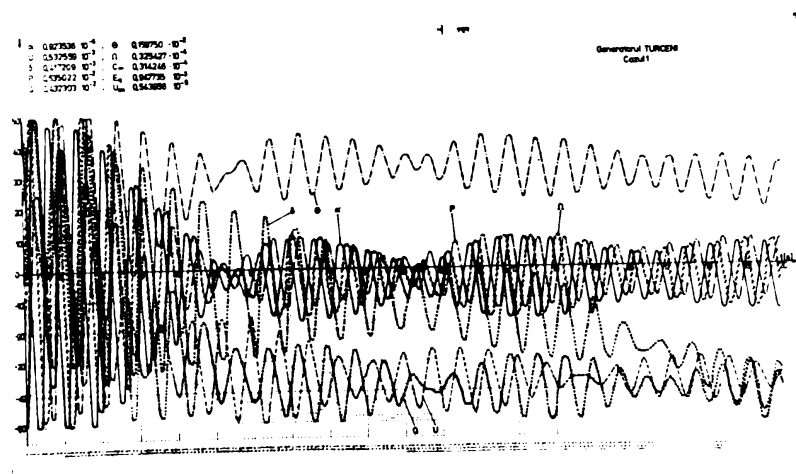
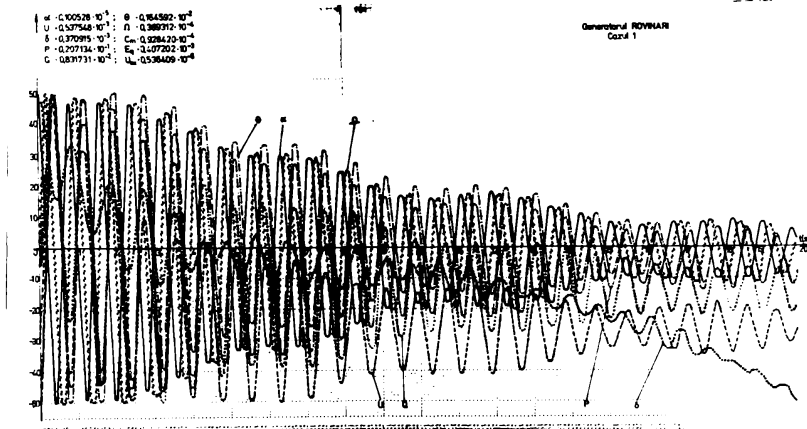
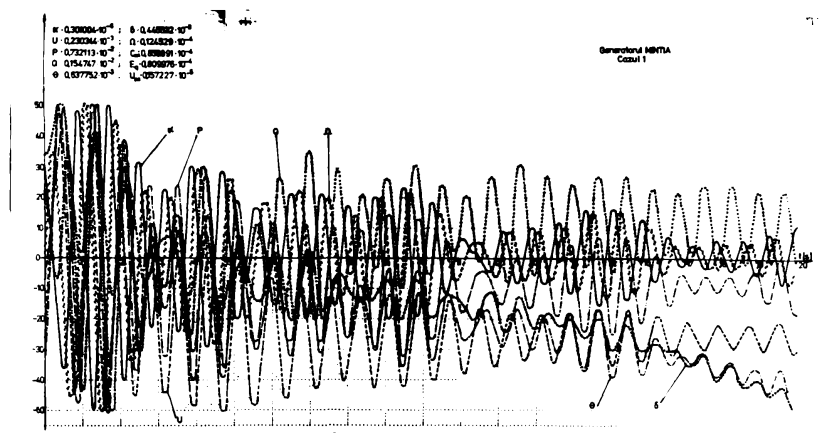


Fig.5.10.Idem fig.  
5.9, dar pentru  
GS Turceni



**Fig.5.11.** Idem  
fig.5.9, dar pen-  
tru GS-Rovinari



**Fig.5.12.** Variatia  
în timp a principa-  
lelor mărimi la GS-  
Mintia pentru regim  
stabil de funcțio-  
nare: Casul 1: con-  
sumatori reprezen-  
tați prin caracte-  
ristici măsurate.

Se precizează că accelerările  $\alpha$ , vitezele unghiulare  $\Omega$  și un-  
ghiurile rotoarelor  $\Theta$  sunt raportate la mărimile corespunzătoare ale centrului de inerie al SEE.

Pentru a analiza influența caracteristicii statice putere  
funcție de tensiune a consumatorului complex echivalent asupra  
stabilității statice a SEE considerat, s-au presupus următoarele  
situații:

- toți consumatorii complecși echivalenți din SEE repre-

zentați prin același fel de caracteristici măsurate (experimentale) sau simplificate;

- consumatorul complex echivalent de pe bara Mintia reprezentat prin caracteristici măsurate, restul consumatorilor reprezentați succesiv toți prin diferite caracteristici simplificate;

- consumatorul complex echivalent de pe bara Rovinari reprezentat prin caracteristici măsurate, restul consumatorilor succesiv prin diferite caracteristici simplificate;

- consumatorul complex echivalent de pe bara Timișoara reprezentat prin caracteristici măsurate sau simplificate, restul consumatorilor reprezentați succesiv prin diferite caracteristici simplificate;

- consumatorul complex echivalent de pe bara Slatina reprezentat prin caracteristici măsurate, restul consumatorilor reprezentați prin caracteristici simplificate.

Drept situație de referință s-a considerat cazul cu consumatori reprezentați prin caracteristici statice măsurate, obținute experimental, presupus ca cel mai apropiat de situația reală.

S-au urmărit în mod deosebit valorile maxime, minime și abaterile medii pătratice ale variabilelor  $\theta$ ,  $\Omega$ , P, Q, U cît și valorile  $\theta_{CI}$ ,  $\Omega_{CI}$  ale centrelor de inerție față de axa sincronă. Selecția acestor mărimi pentru a caracteriza regimul a fost dictată de considerentul că  $\theta$  și  $\Omega$  sunt mărimi ce caracterează fenomenul electromagnetic la GS, iar P, Q, U sunt mărimi la bornele generatorului și valorile  $\frac{dP}{dU}$  respectiv  $\frac{dQ}{dU}$  caracterizează stabilitatea sistemului electroenergetic. Distanța față de limita de stabilitate statică se va aprecia prin valoarea raportelor  $\frac{\theta_{maxGS}}{\theta_{maxCI}}$  știut fiind că o valoare mai mare

a acestuia, indică un regim mai apropiat de limita de stabilitate. De asemenea cazul caracterizat prin valori mai mari pentru abaterile medii pătratice, prezintă oscilații mai mari, deci este mai puțin stabil.

Se va numi în continuare "optimist" cazul care aduce sistemul mai departe de limita de stabilitate ( $\frac{\theta_{max}}{\theta_{CImax}}$ ) și respectiv "pesimist" dacă ( $\frac{\theta_{max}}{\theta_{CImax}}$ )<sub>real</sub> <  $\frac{\theta_{max}}{\theta_{CImax}}$ .

Studiind curbele de oscilații din figurile 5.9...5.12 se evidențiază următoarele aspecte:

- Geometriile de la PDF15B și PDF15A sunt mai apropiate

te de limită de stabilitate (amplitudinea oscilațiilor e mai mare, amortizarea acestora durează mai mult față de situația GS de la Turceni, Rovinari sau Mintia).

- Pentru fiecare centrală viteza unghiulară  $\Omega$  este defăzată cu  $\frac{\pi}{2}$  față de unghiul rotorului  $\theta$ , ceea ce oglindescă de fapt fenomenul fizic,  $\Omega$  fiind derivata lui  $\theta$ .

- Unghiul  $\delta$  al tensiunii la borne față de axa sincronă variază practic sinfazic cu unghiul  $\theta$  al rotorului.

- Abaterea puterii la borne P, urmărește variația abaterii unghiului  $\theta$ .

- La scăderea tensiunii la borne U, tensiunea de excitație  $U_{ex}$  crește, evidențiindu-se astfel acțiunea SRAE.

- Variația vitezei unghiulare  $\Omega$  și ale cuplului mecanic  $C_m$  reflectă acțiunea SRAV: la creșterea turăției se produce o scădere a  $C_m$  cu întârzierea dată de constanta de timp a RAV.

#### 5.2.3.2. Toti\_consumatorii\_din\_SEE\_reprezentati\_prin acelasi fel de caracteristici statice de putere\_functie\_de\_tensiune\_măsurate sau simplificate

In tabelul nr. 5.11 se prezintă valorile indicilor de calitate în regim stabil considerând consumatorii reprezentăți conform cazurilor 1-8 din tabelul nr.5.8 iar în tabelul nr. 5.12 se dau valorile  $\theta_{max}$  ale fiecărui GS raportate la valoarea unghiului centrului de inerie  $\theta_{CImax}$ . Pentru a ilustra oscilațiile principalelor mărimi caracteristice GS în cele opt cazuri considerate s-au prezentat în figurile 5.13...5.22 variația în

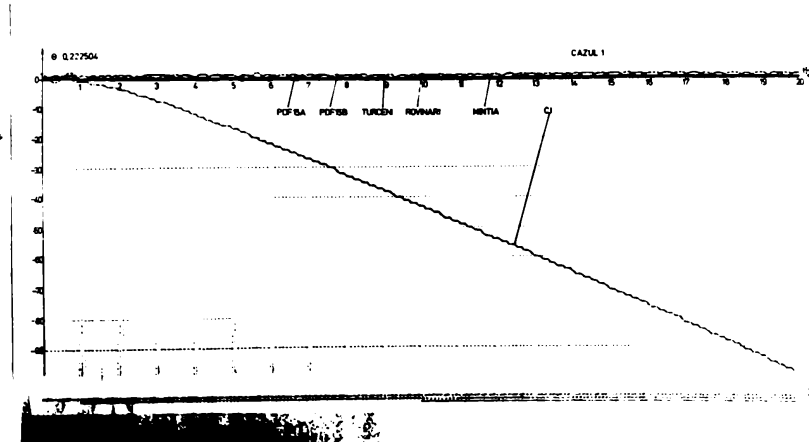


Fig.5.13.  
Variația  $\theta=f(t)$ .  
Cazul 1

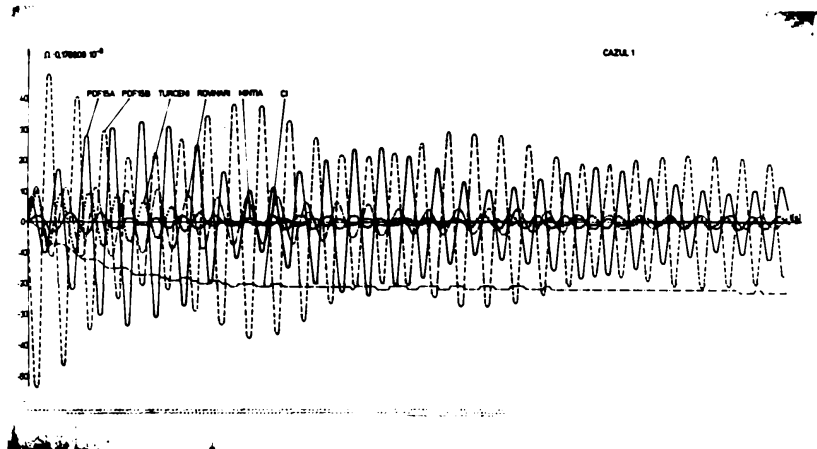


Fig. 5.14. Variatia  
 $\Omega = f(t)$ . Cazul 1.

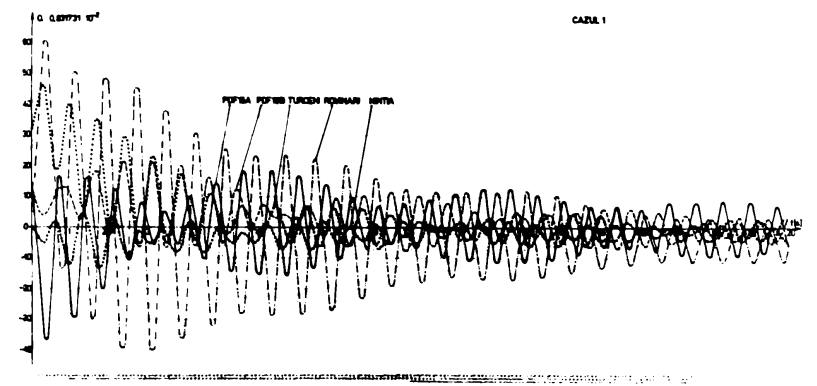


Fig. 5.15. Variatia  
 $Q=f(t)$ . Cazul 1.

temp a unora din mărimele analizate, considerate mai semnificative.

Analizind variația în timp a mărimilor din figurile 5.13... 5.22 se constată următoarele fenomene:

In figura 5.13 - sint prezentate oscilațiile unghiurilor rotoarelor GS față de centrul de inerție și a acestuia față de axa sincronă. Se observă că:

- GS nu oscilează sinfazic, ceea ce se explică prin caracteristicile mecanice și electrice diferite;

- Amplitudinile oscilațiilor față de centrul de inerție sunt mai mici la Mintia, Turceni și Kovinari în comparație cu

'AHELUW NR. 5.11

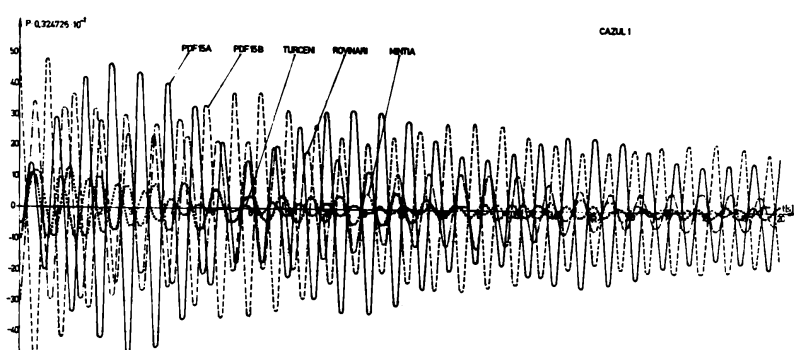


Fig.5.16. Variatia  
 $P=f(t)$ . Cazul 1.

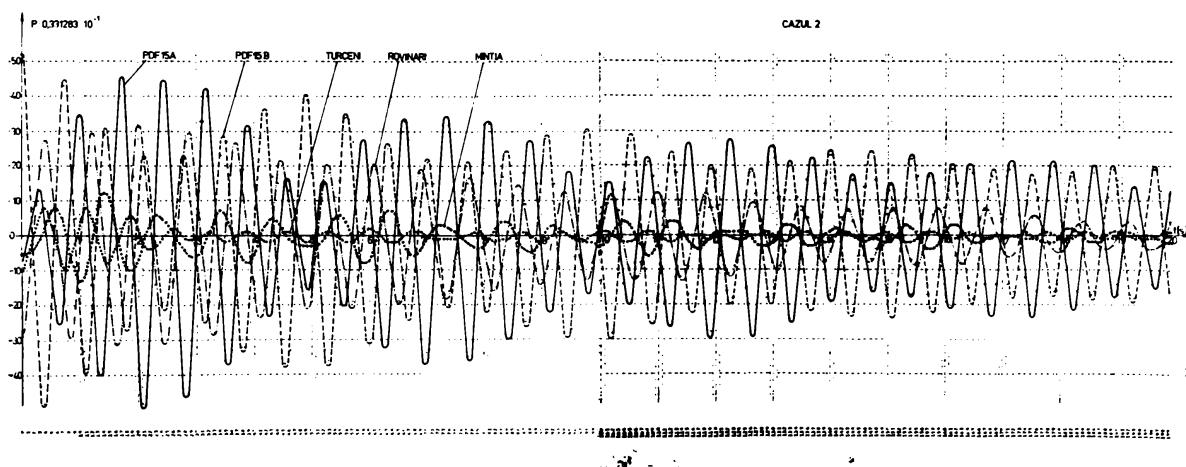


Fig.5.17. Variatia  $P=f(t)$ . Cazul 2.

PDF15A și PDF15B, lucru explicabil dacă se are în vedere raportul dintre constantele de inerție ale GS din centralele respective.

2) Urmărind modul de variație a vitezelor unghiulare  $\omega$  (fig.5.14) se observă că rotoarele GS de la PDF15A și PDF15B prezintă o variație mult mai pronunțată decât la Mintia, Rovinari și Turceni (în primele momente de cca. 4 ori) datorită accelerărilor mai importante la care sunt supuse, cît și datorită inerției lor mecanice mai reduse.

3) În figura 5.15 se prezintă variația în timp a puterilor reactive la bornele GS. Se observă că abateri importante ale puterii debitate de PDF15A sunt relativ rapid amortizate, iar abateri mai mici ale puterii GS de la Mintia sunt mai încet amortizate.

4) Modul de variație al puterii active debitate de GS și prezentate în figurile 5.16...5.19 pentru cîteva din cazurile analizate, arată oscilații mult mai mari pentru GS la PDF 15A și PDF 15B în comparație cu Turceni și Rovinari.

5) Variația în timp a tensiunilor la bornele GS, prezentată pentru cîteva cazuri în figurile 5.20...5.22, evidențiază o variație sinfazică pentru toate cele cinci centrale, iar diferențele între valori sunt relativ mici pentru GS de la PDF15B și Rovinari. Acest fenomen se explică prin cuplajul electric strins între aceste centrale, ca urmare a unei legături directe prin LEA de 400 kV.

Studiind aceste oscilații se evidențiază următoarele aspecte:

In cazul caracteristicilor simplificate de tipul "putere activă și reactivă constantă" respective de tip "normale" rezultatele sunt optimiste, în timp ce în cazul consumatorilor de tipul "împedanță const." și "current const.", rezultatele sunt în majoritate ușor pesimiste, "cazul considerării caracteristicilor liniare" conducând la rezultatele cele mai apropiate de situația reală.

TABELUL nr. 5.12

Nr. crt.	Cazul mea	GS	mărimea				max/0,01 max
			PDF15A	PDF15B	Turc.	Rov.	
1	2	3	4	5	6	7	
1.	Toți consumatorii caracteristici măsurate	10,847	18,0007	1,2120	3,9614	2,3632	
2.	Toți consumatorii caracteristici, P,Q const.	0,0806	0,1347	0,00719	0,038	0,0244	
3.	Toți consumatorii caracteristici Z=const.	11,974	17,578	0,955	4,117	2,434	
4.	Toți consumatorii caracteristici "Normal"	0,206	0,335	0,0171	0,0822	0,0481	

TAPELUL nr.5.12(continuare)

1	2	3	4	5	6	7
5.	Totii consumatorii caracteristici I=ct.	11,804	17,723	0,803	4,055	2,3857
6.	Totii consumatorii caracteristici liniare	10,8512	18,008	1,2157	3,966	2,3715
7.	Totii consumatorii caracteristici teoretice	10,8466	17,9	1,155	3,858	2,305
8.	Totii consumatorii caracteristici cu efect reglant negativ	0,00006	0,00012	0,000017	0,0000394	0,0018
						-

Fig.5.18.  
Variația  $P=f(t)$ .  
Cazul 3.

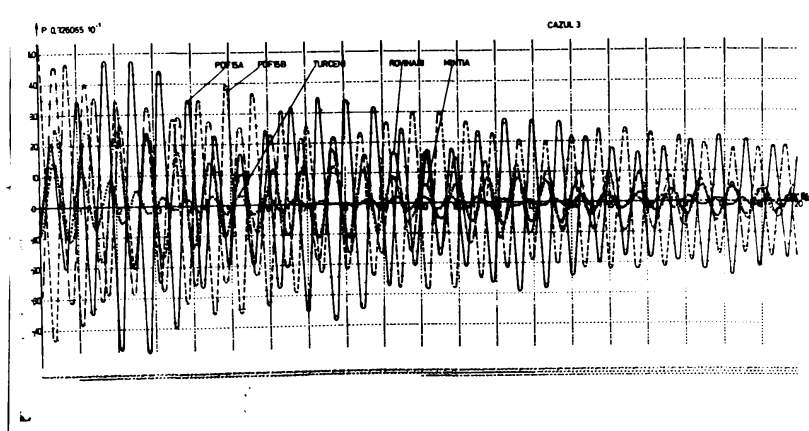
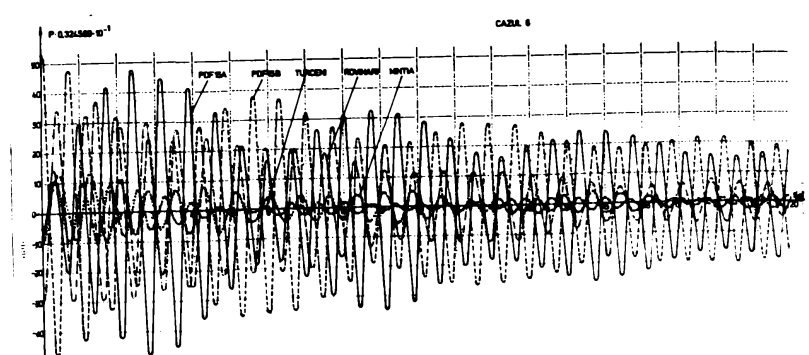


Fig.5.19.  
Variația  $I=f(t)$ .  
Cazul 6.



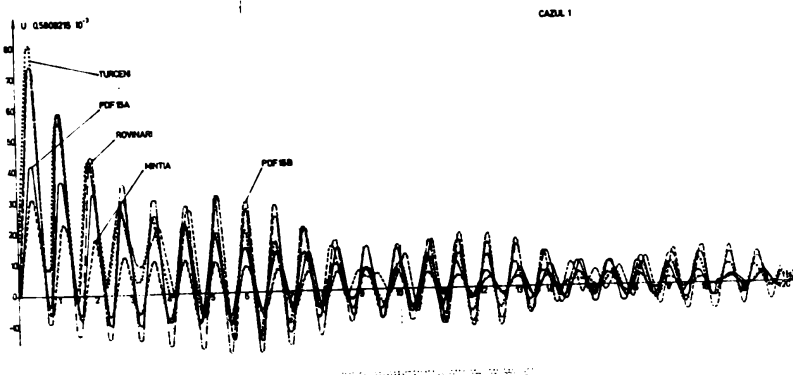


Fig.5.20.  
Variația  $U=f(t)$ .  
Casul 1.

- Situația menționată se referă la SEE în ansamblu. Analizând însă situația fiecărei centrale se observă că în cazurile Z constant și I constant situația este pessimistă mai adesea pentru GS de la PDFA, Rovinari și ușor optimistă pentru cele de la Mintia, în timp ce pentru GS de la PDFB și Turceni, rezultatele sunt optimiste, ceea ce conduce la concluzia că analiza trebuie făcută de la caz la caz, pentru fiecare GS, neputindu-se accepta în general verdictul dat în literatură că o anumită metodă conduce la rezultate pessimiste sau optimiste.

- Efectul reglant al sarcinii influențează rezultatul în sensul că cu cât efectul reglant este mai mic, sistemul devine mai stabil (a se vedea valorile  $\frac{\Theta_{max}}{\Theta_{CImax}}$  din tabelul nr.

5.11 pentru cazul cu caracteristici măsurate, respectiv cazul 2 sau 7).

- Inversarea semnului efectului reglant are o pronunțată influență asupra calculului de stabilitate statică conducând la rezultate foarte distanțate de situația obținută pe căile experimentale (vezi tabelul nr.5.1b și nr.5.12).

- Se observă analizând datele din aceste tabele că generatoarele PDFA și PDFB se află mai aproape de limita de stabilitate statică în comparație cu generatoarele de la Turceni, Rovinari sau Mintia, situație ce a ieșit în evidență și din a-

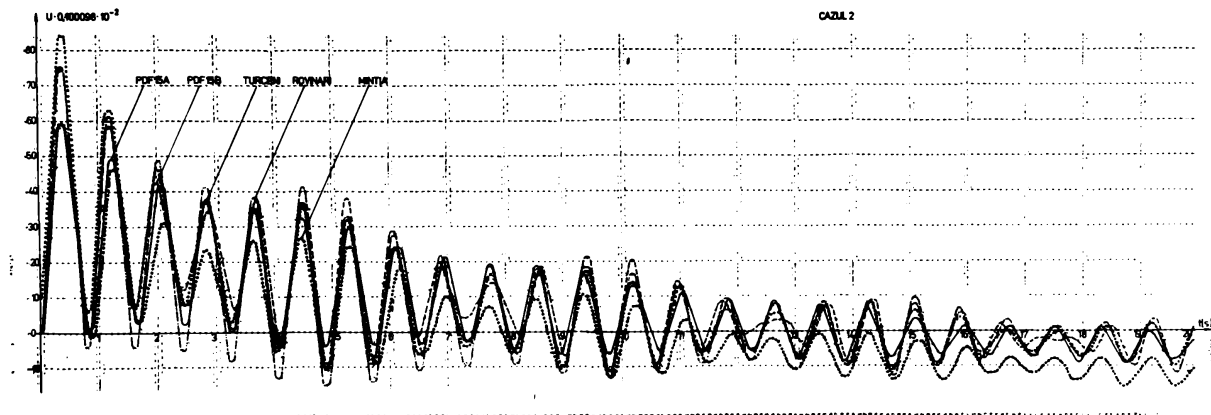


Fig.5.21. Variatia  $U=f(t)$ . Cazul 2.

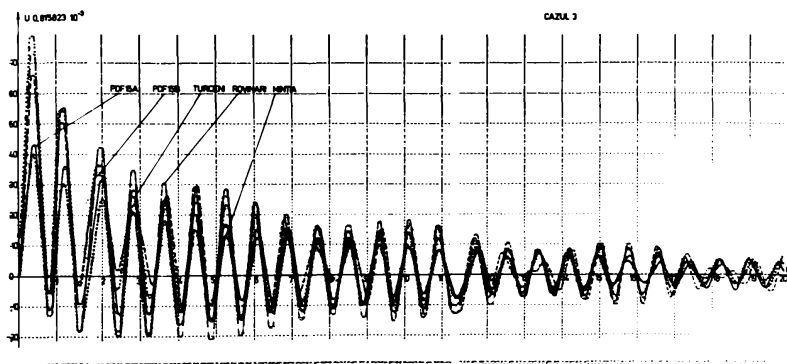


Fig.5.22  
Variatia  $U=f(t)$ .  
Cazul 3

naliza curbelor de oscilație obținute - figurile 5.9 -5.22 .

- Comparind valorile indicilor de calitate ai GS din SEE considerat, se observă că în toate cazurile comportarea relativă a GS din SEE rămîne aceeași: astfel dacă în situația considerării consumatorului prin caracteristici de tipul  $I, Q$  constant, GS de la Mintia se află cel mai departe de limita de stabilitate statică, în toate celelalte cazuri în acastă situație se află GS de la Turceni, de unde se poate trage concluzia că prezintă importanță modul de reprezentare a consuma-

torului pentru aprecierea distanței de limită de stabilitate a GS.

- Se observă că rezultatele obținute pentru cazurile "P,Q-const." și "Normale" sunt relativ apropiate, diferența datorindu-se efectului reglant al puterii reactive.

- Efectul reglant al puterii active are o pronunțată influență, cazul "Z=const." ( $R_p=2$ ) modificând mult rezultatele față de cazul caracteristici "normale" ( $R_p=0$ ).

#### 5.2.3.3. Influența reprezentării consumatorului de pe bara Mintia . . . .

S-a considerat sarcina de pe bara Mintia având în vedere că pentru calcule s-a presupus nodul Mintia 5 - nod de echilibru.

In vederea analizei modului de considerare a caracteristicii statice putere-funcție de tensiune a consumatorului recordat pe bara Mintia, s-a presupus în SEE considerat toti consumatorii reprezentați succesiv prin cele cinci cazuri simplificate cu excepția consumatorului de pe bara Mintia 5 care s-a considerat cu caracteristici măsurate, iar apoi consumatorul de la Mintia reprezentat prin caracteristici  $P,Q=const.$ , toți ceilalți consumatori fiind reprezentați prin caracteristici normale. Rezultatele calculelor sunt prezentate în tabelele nr.5.13 și tabelul nr. 5.14.

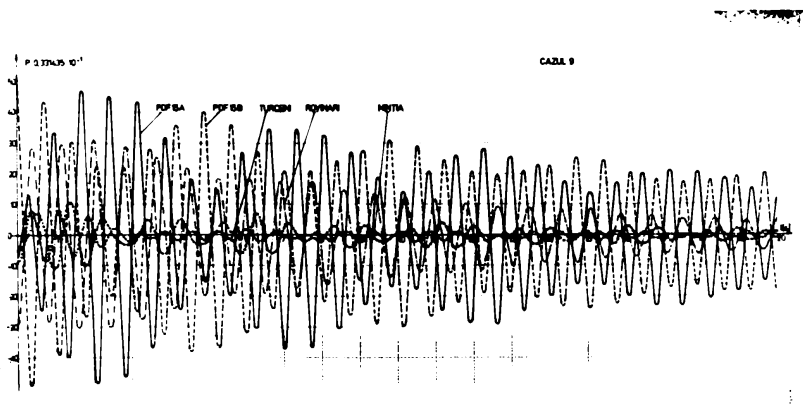
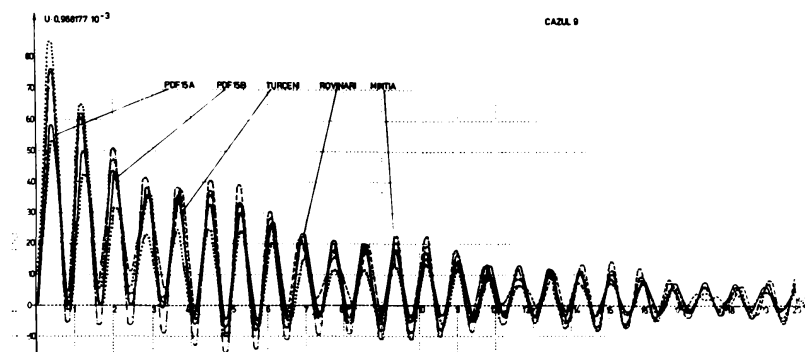


Fig.5.23.  
Variația  $P=f(t)$ .  
Cazul 9

*— 146a —*

Taux de mortalité des enfants. Région établie. Taux combinatoire ou exceptio ouler de la Matrice S représentant le plus caractéristique simplifiée. Cas de la Matrice S (15 ans) représentée par la matrice régionale standard (pms. 9...13), respectif $P_0$ et (pms. 14).											
N°	M	M	$\Delta \times 10^3$			$P \times 10$			$Q \times 10$		
			1	2	3	1	2	3	1	2	3
1	21,45	36,88	1,67	9,3	5,7	6,05	6,95	1,81	2,19	0,78	15,92
2	23,36	36,90	1,69	8,88	4,82	6,45	9,03	1,78	2,06	0,77	16,06
3	21,48	36,85	1,76	8,3	4,8	5,94	9,05	1,78	2,04	0,61	15,66
4	23,30	36,88	1,90	7,98	4,63	6,40	9,03	1,77	2,05	0,67	16,30
5	21,45	36,85	1,90	7,98	4,63	6,40	9,05	1,71	2,05	0,67	16,31
6	23,30	36,88	1,90	7,98	4,63	6,40	9,03	1,77	2,05	0,67	16,31
7	21	36,85	2,35	7,6	4,39	5,76	9,05	1,71	1,99	0,61	15,20
8	21	36,85	2,36	7,6	4,39	5,76	9,05	1,71	1,99	0,61	15,20
9	21,45	36,88	1,8	6,51	5,50	5,93	9,03	1,77	2,1	0,61	15,57
10	21,45	36,88	1,8	6,51	5,50	5,93	9,03	1,77	2,1	0,61	15,57
11	21,45	36,85	1,8	6,51	5,50	5,93	9,03	1,77	2,1	0,61	15,57
12	21,45	36,85	1,8	6,51	5,50	5,93	9,03	1,77	2,1	0,61	15,57
13	21,45	36,85	1,8	6,51	5,50	5,93	9,03	1,77	2,1	0,61	15,57
14	21,45	36,88	1,8	6,51	5,50	5,93	9,03	1,77	2,1	0,61	15,57
15	21,45	36,88	1,8	6,51	5,50	5,93	9,03	1,77	2,1	0,61	15,57
16	21,45	36,88	1,8	6,51	5,50	5,93	9,03	1,77	2,1	0,61	15,57
17	21,45	36,88	1,8	6,51	5,50	5,93	9,03	1,77	2,1	0,61	15,57
18	21,45	36,88	1,8	6,51	5,50	5,93	9,03	1,77	2,1	0,61	15,57
19	21,45	36,88	1,8	6,51	5,50	5,93	9,03	1,77	2,1	0,61	15,57
20	21,45	36,88	1,8	6,51	5,50	5,93	9,03	1,77	2,1	0,61	15,57
21	21,45	36,88	1,8	6,51	5,50	5,93	9,03	1,77	2,1	0,61	15,57
22	21,45	36,88	1,8	6,51	5,50	5,93	9,03	1,77	2,1	0,61	15,57
23	21,45	36,88	1,8	6,51	5,50	5,93	9,03	1,77	2,1	0,61	15,57
24	21,45	36,88	1,8	6,51	5,50	5,93	9,03	1,77	2,1	0,61	15,57
25	21,45	36,88	1,8	6,51	5,50	5,93	9,03	1,77	2,1	0,61	15,57
26	21,45	36,88	1,8	6,51	5,50	5,93	9,03	1,77	2,1	0,61	15,57
27	21,45	36,88	1,8	6,51	5,50	5,93	9,03	1,77	2,1	0,61	15,57
28	21,45	36,88	1,8	6,51	5,50	5,93	9,03	1,77	2,1	0,61	15,57
29	21,45	36,88	1,8	6,51	5,50	5,93	9,03	1,77	2,1	0,61	15,57
30	21,45	36,88	1,8	6,51	5,50	5,93	9,03	1,77	2,1	0,61	15,57
31	21,45	36,88	1,8	6,51	5,50	5,93	9,03	1,77	2,1	0,61	15,57
32	21,45	36,88	1,8	6,51	5,50	5,93	9,03	1,77	2,1	0,61	15,57
33	21,45	36,88	1,8	6,51	5,50	5,93	9,03	1,77	2,1	0,61	15,57
34	21,45	36,88	1,8	6,51	5,50	5,93	9,03	1,77	2,1	0,61	15,57
35	21,45	36,88	1,8	6,51	5,50	5,93	9,03	1,77	2,1	0,61	15,57
36	21,45	36,88	1,8	6,51	5,50	5,93	9,03	1,77	2,1	0,61	15,57
37	21,45	36,88	1,8	6,51	5,50	5,93	9,03	1,77	2,1	0,61	15,57
38	21,45	36,88	1,8	6,51	5,50	5,93	9,03	1,77	2,1	0,61	15,57
39	21,45	36,88	1,8	6,51	5,50	5,93	9,03	1,77	2,1	0,61	15,57
40	21,45	36,88	1,8	6,51	5,50	5,93	9,03	1,77	2,1	0,61	15,57
41	21,45	36,88	1,8	6,51	5,50	5,93	9,03	1,77	2,1	0,61	15,57
42	21,45	36,88	1,8	6,51	5,50	5,93	9,03	1,77	2,1	0,61	15,57
43	21,45	36,88	1,8	6,51	5,50	5,93	9,03	1,77	2,1	0,61	15,57
44	21,45	36,88	1,8	6,51	5,50	5,93	9,03	1,77	2,1	0,61	15,57
45	21,45	36,88	1,8	6,51	5,50	5,93	9,03	1,77	2,1	0,61	15,57
46	21,45	36,88	1,8	6,51	5,50	5,93	9,03	1,77	2,1	0,61	15,57
47	21,45	36,88	1,8	6,51	5,50	5,93	9,03	1,77	2,1	0,61	15,57
48	21,45	36,88	1,8	6,51	5,50	5,93	9,03	1,77	2,1	0,61	15,57
49	21,45	36,88	1,8	6,51	5,50	5,93	9,03	1,77	2,1	0,61	15,57
50	21,45	36,88	1,8	6,51	5,50	5,93	9,03	1,77	2,1	0,61	15,57
51	21,45	36,88	1,8	6,51	5,50	5,93	9,03	1,77	2,1	0,61	15,57
52	21,45	36,88	1,8	6,51	5,50	5,93	9,03	1,77	2,1	0,61	15,57
53	21,45	36,88	1,8	6,51	5,50	5,93	9,03	1,77	2,1	0,61	15,57
54	21,45	36,88	1,8	6,51	5,50	5,93	9,03	1,77	2,1	0,61	15,57
55	21,45	36,88	1,8	6,51	5,50	5,93	9,03	1,77	2,1	0,61	15,57
56	21,45	36,88	1,8	6,51	5,50	5,93	9,03	1,77	2,1	0,61	15,57
57	21,45	36,88	1,8	6,51	5,50	5,93	9,03	1,77	2,1	0,61	15,57
58	21,45	36,88	1,8	6,51	5,50	5,93	9,03	1,77	2,1	0,61	15,57
59	21,45	36,88	1,8	6,51	5,50	5,93	9,03	1,77	2,1	0,61	15,57
60	21,45	36,88	1,8	6,51	5,50	5,93	9,03	1,77	2,1	0,61	15,57
61	21,45	36,88	1,8	6,51	5,50	5,93	9,03	1,77	2,1	0,61	15,57
62	21,45	36,88	1,8	6,51	5,50	5,93	9,03	1,77	2,1	0,61	15,57
63	21,45	36,88	1,8	6,51	5,50	5,93	9,03	1,77	2,1	0,61	15,57
64	21,45	36,88	1,8	6,51	5,50	5,93	9,03	1,77	2,1	0,61	15,57
65	21,45	36,88	1,8	6,51	5,50	5,93	9,03	1,77	2,1	0,61	15,57
66	21,45	36,88	1,8	6,51	5,50	5,93	9,03	1,77	2,1	0,61	15,57
67	21,45	36,88	1,8	6,51	5,50	5,93	9,03	1,77	2,1	0,61	15,57
68	21,45	36,88	1,8	6,51	5,50	5,93	9,03	1,77	2,1	0,61	15,57
69	21,45	36,88	1,8	6,51	5,50	5,93	9,03	1,77	2,1	0,61	15,57
70	21,45	36,88	1,8	6,51	5,50	5,93	9,03	1,77	2,1	0,61	15,57
71	21,45	36,88	1,8	6,51	5,50	5,93	9,03	1,77	2,1	0,61	15,57
72	21,45	36,88	1,8	6,51	5,50	5,93	9,03	1,77	2,1	0,61	15,57
73	21,45	36,88	1,8	6,51	5,50	5,93	9,03	1,77	2,1	0,61	15,57
74	21,45	36,88	1,8	6,51	5,50	5,93	9,03	1,77	2,1	0,61	15,57
75	21,45	36,88	1,8	6,51	5,50	5,93	9,03	1,77	2,1	0,61	15,57
76	21,45	36,88	1,8	6,51	5,50	5,93	9,03	1,77	2,1	0,61	15,57
77	21,45	36,88	1,8	6,51	5,50	5,93	9,03	1,77	2,1	0,61	15,57
78	21,45	36,88	1,8	6,51	5,50	5,93	9,03	1,77	2,1	0,61	15,57
79	21,45	36,88	1,8	6,51	5,50	5,93	9,03	1,77	2,1	0,61	15,57
80	21,45	36,88	1,8	6,51	5,50	5,93	9,03	1,77	2,1	0,61	15,57
81	21,45	36,88	1,8	6,51	5,50	5,93	9,03	1,77	2,1	0,61	15,57
82	21,45	36,88	1,8	6,51	5,50	5,93	9,03	1,77	2,1	0,61	15,57
83	21,45	36,88	1,8	6,51	5,50	5,93	9,03	1,77	2,1	0,61	15,57
84	21,45	36,88	1,8	6,51	5,50	5,93	9,03	1,77	2,1	0,61	15,57
85	21,45	36,88	1,8	6,51	5,50	5,93	9,03	1,77	2,1	0,61	15,57
86	21,45	36,88	1,8	6,51	5,50	5,93	9,03	1,77	2,1	0,61	15,57
87	21,45	36,88	1,8	6,51	5,50	5,93	9,03	1,77	2,1	0,61	15,57
88	21,45	36,88	1,8	6,51	5,50	5,93	9,03	1,77	2,1	0,61	15,57
89	21,45	36,88	1,8	6,51	5,50	5,93	9,03	1,77	2,1	0,61	15,57
90	21,45	36,88	1,8	6,51	5,50	5,93	9,03	1,77	2,1	0,61	15,57
91	21,45	36,88	1,8	6,51	5,50	5,93	9,03	1,77	2,1	0,61	15,57
92	21,45	36,88	1,8</								



**Fig.5.24.**  
Variația  $U=f(t)$ .  
Cazul 9.

**TABELUL nr.5.14**

Nr. crt.	mărimea ca- zul	Valori caracteristice				
		GS	PDFA	PDFB	$\theta_{max}/\theta_{CImax}$	Rov.
1	2	3	4	5	6	7
1.	(9) Toți consumatorii $P, Q = \text{const.}$ Mint. 5-caracteristici măsurate	19,975	17,85	0,856	4,76	2,916
2.	(10) Toți consumatorii $Z = \text{const.}$ , Mintia 5-caracteristici măsurate	11,88	17,5854	0,954	4,071	2,33
3.	(11) Toți consumatorii caracteristici normale; Mintia 5 caracteristici măsurate	11,20	18,05	0,915	4,3	2,486
4.	(12) Toți consumatorii caract. $I = \text{ct.}$ Mintia 5, caracteristici măsurate	11,84	17,72	0,804	4,045	2,35
5.	(13) Toți consumatorii caract. $L_i$ -nici, Mint. 5 caracter. măsurate	10,85	18,006	1,216	3,966	2,371

TABELUL nr.5.14(continuare)

1	2	3	4	5	6	7
6.	(14) Toți consumatorii caract. normale; Mint.5 caract. P,Q=ct.	0,168	0,274	0,014	0,0677	0,03973

Analizând aceste rezultate se observă că:

- În cazul considerării tuturor consumatorilor din SEE cu excepția celor de la Mintia 5- de tip  $Z=\text{const.}$ ,  $I=\text{const.}$  sau liniar, iar cel de la Mintia cu caracteristici măsurate, situația practic este neschimbată cu cazurile cînd și consumatorul de pe bara Mintia se reprezinta prin caracteristici de tip  $Z=\text{const.}$ ,  $I=\text{const.}$ , respectiv liniare.

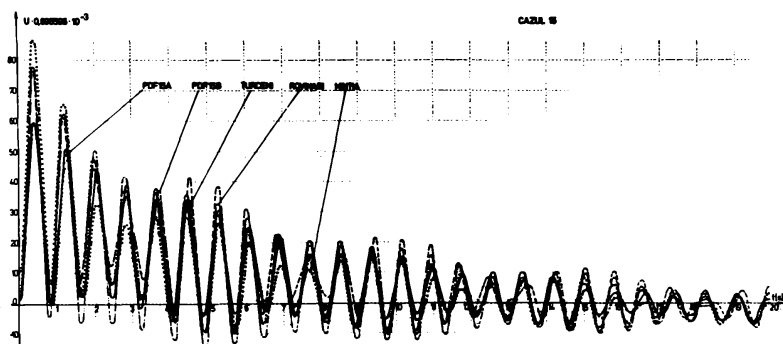
- În schimb, în cazul cînd toți consumatorii din SEE cu excepția celor de la Mintia 5 sunt reprezentați prin caracteristici  $P,Q = \text{const.}$ , respectiv prin caracteristici normale, în timp ce consumatorul de la Mintia se reprezintă prin caracteristici reale, situația se schimbă mult față de cazul cînd și consumatorul de la Mintia s-ar reprezenta prin caracteristici  $P,Q = \text{const.}$  respectiv normale. Considerind consumatorul din Mintia prin caracteristici măsurate, în această situație rezultatele se apropie de cele din situația cînd toți consumatorii din SEE se reprezintă prin caracteristici măsurate.

- Considerarea consumatorului Mintia 5 prin caracteristici de tip  $P,Q = \text{const.}$ , în timp ce toți ceilalți consumatori sunt reprezentați prin caracteristici normale conduce la rezultate intermediare între cazurile 2 și 4 din tabelul nr.5.12.

#### 5.2.3.4. Influența reprezentării consumatorului de pe bara Rovinari

S-a presupus în SEE considerat diferite cazuri, în care toți consumatorii, cu excepția celui din nodul 15-Rovinari, sunt reprezentați succesiv prin caracteristici simplificate, consumatorul 15-Rovinari fiind reprezentat prin caracteristici măsurate și cazul cînd consumatorul din nodul 4 Rovinari este reprezentat prin caracteristici măsurate restul consumatorilor fiind reprezentați prin caracteristici normale. Rezultatele calculelor sunt prezentate în tabelele nr.5.15 , 5.16 și pentru exemplificare - figura 5.25. S-a considerat consumatorul de pe bara Rovinari avînd în vedere că acesta este practic sarcina locală pentru centrala Kovinari.

SAHAKULU N. 15



**Fig.5.25.**  
Variația  $U=f(t)$ .  
Cazul 15.

TABELUL nr. 5.16

Nr. crt.	mări- zul Ca- mea GS	<b>Valori caracteristice</b>			
		PDFA	PDFB	$\theta_{max}$ / $\theta_{CImax}$	Rov.
1.	(15) Toți consuma- torii caract. P, Q =const., Rov.15 caract.măsurate	0,04606	0,0763	0,00383	0,020492
2.	(16) Toți consuma- torii caract. Z=ct. Rov.15 caract.mă- surate	12,168	17,736	0,9363	4,16276
3.	(17) Toți consuma- torii caract."nor- male", Rov.15 ca- ract.măsurate	0,0855	0,13954	0,007245	0,03348
4.	(18) Toți consuma- torii caracte- ristici I=const., Rov.15 caract.mă- surate	11,977	17,842	0,7624	4,0555
5.	(19) Toți consuma- torii caracte- ristici "li- niare", Rov.15 ca- ract.măsurate	10,8557	18,0067	1,21578	3,9661
6.	(20) Toți consuma- torii caracte- ristici "normale", Rov.4 caract.mă- surate	0,11134	0,183	0,009497	0,04386

Analizând aceste rezultate se observă că:

- În cazul considerării tuturor consumatorilor din SEE cu excepția celor de la Rovinari 15 cu caracteristici statice de tip "liniare" iar cel de la Rovinari 15 cu caracteristici de tip "măsurate" rezultatele sunt practic aceleasi ca în cazul considerării tuturor consumatorilor prin caracteristici liniare.

- Considerarea tuturor consumatorilor din SEE cu excepția celor de la Rovinari 15 de tip  $I=const$  sau  $Z=const$ . În timp ce consumatorul Rovinari 15 este considerat prin caracteristicile sale statice măsurate, conduce la rezultate aproximativ egale cu cele din situație cind toți consumatorii se consideră prin caracteristici de tipul  $I=const$ , respectiv  $Z=const$ .

- Reprezentarea tuturor consumatorilor din SEE cu excepția celor de la Rovinari 15 prin caracteristici de tip  $P, Q = const$ , respectiv "normale", consumatorul de la Rovinari 15 fiind reprezentat prin caracteristici măsurate, conduce la rezultate ușor optimiste (vezi tabelele nr. 5.15 și 5.11) față de cazul considerării tuturor consumatorilor din SEE prin caracteristici statice de tip  $P, Q$  const. respectiv normale. Efectul favorabil e mai pronunțat în cazul reprezentării tuturor consumatorilor prin caracteristici normale. De precizat însă că și în aceste cazuri rezultatele sunt mult diferite de situația considerării tuturor consumatorilor prin caracteristici măsurate.

- Considerarea consumatorului Rovinari 4 (recordat pe bara 4) cu caracteristici măsurate, în timp ce toți ceilalți consumatori din SEE sunt reprezentați prin caracteristici "normale" conduce la rezultate esemnătoare cu cazul cind toți consumatorii se reprezintă prin caracteristici normale, dar consumatorul Rovinari 15 prin caracteristici măsurate.

#### 5.2.3.5. Influența reprezentării consumatorului de bara Timișoara

S-a considerat consumatorul de pe bara Timișoara pe de o parte pentru că pentru acest consumator s-a dispus de caracteristici ridicate experimental chiar în cadrul acestei lucrări și pe de altă parte, s-a avut în vedere faptul că în SEE considerat consumatorul de pe bara Timișoara 9 este un consumator relativ depărtat de o centrală electrică. Ca și

în cazurile anterioare, s-au considerat succesiv consumatorii din SEE reprezentați prin diferite caracteristici simplificate, în timp ce consumatorul Timișoara a fost reprezentat prin caracteristici statice măsurate, respectiv prin diferite caracteristici simplificate. Rezultatele calculelor se prezintă în tabelul nr.5.17 și tabelul nr.5.18.

In figura 5.26 s-a prezentat pentru exemplificare curbe de oscilație a tensiunii pentru cazul 25.

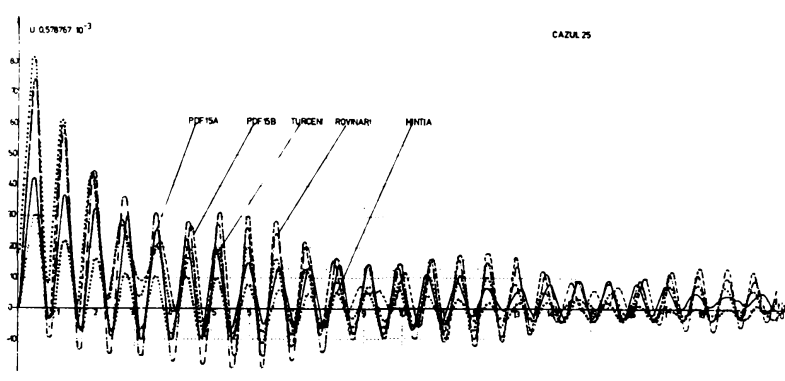


Fig.5.26.  
Variație  $U=f(t)$ .  
Cazul 25

Analizând aceste rezultate se observă că:

- Dacă se consideră consumatorul de pe bară Timișoara reprezentat prin caracteristici statice măsurate, toți ceilalți consumatori din SEE considerat fiind reprezentați prin consumatori de tipul  $P, Q = \text{const.}$ , rezultatele obținute din punctul de vedere al precierii distanței față de limita stabilității statice sunt asemănătoare cu cele din cazul considerării tuturor consumatorilor din SEE prin caracteristici "normale".

- Considerind consumatorul de pe bară Timișoara de tip "măsurate" restul consumatorilor fiind numai de tip  $Z = \text{const.}$  sau respectiv  $I = \text{const.}$ , se obțin rezultate similare cu cazurile considerării tuturor consumatorilor prin caracteristici statice de tip  $Z = \text{const.}$ , respectiv de tip  $I = \text{const.}$ .

- Considerind consumatorul din Timișoara prin caracteris-

TABELUL nr.5.18

Nr. crt.	mări- măea Ca- zul	GS	PDFA	PDFB	$\theta_{max}/\theta_{CImax}$	Mint.
1.	(21) Toți consumat. caract. P,Q const. Tms.9-ca-rac't.măs.		0,209245	0,338374	0,0165	0,090385 0,055514
2.	(22) Toți consumat. caract. Z-const. Tms.9 ca-racteris. măsurate		11,786765	17,64221	1,00724	4,03646 2,332851
3.	(23) Toți consumat. caract. "normale" Tms.9 ca-ract.mă- surate		0,390426	0,6322	0,032755	0,15228 0,0805971
4.	(24) Toți consumat. caract. I=const. Tms.9 ca-ract.mă- surate		11,65992	17,79865	0,8905	4,14381 2,432308
5.	(25) Toți consumat. caract. "liniere" Tms.9 ca-ract.măsu-rate		10,84859	18,005114	1,21402	3,96193 2,36853
6.	(26) Toți consumat. caract. P,Q=ct. Tms.9 ca-ract.I=ct.		11,077993	17,90506	0,836003	4,7289 2,88817
7.	(27) Toți consumat. caract. P,Q=ct. Tms.9 ca-ract. Z const.		11,42576	17,91963	0,74271	4,496963 2,630654
8.	(28) Toți consumat. caract.P,q & Tms.9 căr."normale"		0,0852866	0,135354	0,010862	0,03733 0,023575

TIME OUT NO. 5-17

Nume	Cognome	0-10 <sup>2</sup>			0-10 <sup>3</sup>			P-10			Q-10			U-10 <sup>2</sup>			Theta <sub>10</sub> x10 <sup>2</sup>			Theta <sub>11</sub> x10 <sup>4</sup>								
		TELESA PENTRU Serie B	Mare	TELESA PENTRU Serie C	Marie	TELESA PENTRU Tunca Roti-Mare	TELESA PENTRU Tunca	Mare	TELESA PENTRU Tunca-Lordi	Mare	TELESA PENTRU Tunca-Lordi	Mare	TELESA PENTRU Tunca-Lordi	Mare	TELESA PENTRU Tunca-Lordi	Mare	TELESA PENTRU Tunca-Lordi	Mare	TELESA PENTRU Tunca-Lordi	Mare	TELESA PENTRU Tunca-Lordi	Mare						
(21) 1001 1.05	1.11	21,56	36,07	1,17	9,31	5,72	6,05	8,96	1,80	2,22	0,77	15,93	17,33	2,85	16,07	3,71	2,66	2,12	2,63	0,91	1,05	5,33	7,04	7,96	7,34	9,78	103,68	2,31929
(22) 1001 1.06	1.12	21,50	36,08	1,19	9,38	4,61	6,29	9,03	1,73	2,06	0,72	15,98	17,30	4,60	14,45	7,72	2,12	2,21	3,59	3,64	7,35	3,49	5,31	6,46	5,90	3,17	1,977	0
(23) 1001 1.07	1.13	21,53	36,06	1,18	8,29	4,89	5,91	9,05	1,77	2,06	0,62	15,80	17,32	2,88	9,57	0,09	2,113	1,36	2,66	2,35	0,79	3,8	5,40	0,61	5,46	2,88	55,34	1,35298
(24) 1001 1.08	1.14	22,04	36,07	1,11	4,71	6,30	9,02	1,78	2,05	0,67	16,15	17,31	5,90	12,31	5,17	2,41	2,18	2,86	2,16	0,64	4,2	6,01	7,03	6,4	3,75	1,959	0	
(25) 1001 1.09	1.15	22,0	36,05	2,35	7,67	4,59	5,76	9,05	1,71	1,99	0,6	15,19	17,31	3,60	11,28	4,36	1,71	1,76	3,82	5,07	0,53	2,4	4,28	4,8	4,25	1,70	1,956	0
(26) 1001 1.10	1.16	21,57	36,07	1,68	9,21	5,63	6,67	6,95	1,81	2,17	0,76	15,95	17,32	2,93	10,66	3,87	2,01	2,15	2,63	0,73	1,26	5,6	7,23	8,2	7,56	5,33	1,9476	0
(27) 1001 1.11	1.17	22,23	36,07	1,85	8,75	5,12	6,20	6,99	1,81	2,06	0,17	16,22	17,26	5,18	9,76	3,68	2,79	2,25	2,63	1,22	1,50	5,3	7,08	0,05	7,23	6,91	1,946	0
(28) 1001 1.12	1.18	21,97	36,07	2,07	9,16	6,03	5,94	6,95	1,81	2,27	0,53	15,75	17,33	2,83	10,3	3,85	2,76	2,07	2,63	0,8	1,12	5,60	7,26	8,20	7,34	5,34	275,6	5,28667
(29) 1001 1.13	1.19	22,06	36,07	1,56	9,67	5,63	6,67	6,95	1,81	2,17	0,76	15,95	17,32	2,93	10,66	3,87	2,01	2,15	2,63	0,73	1,26	5,6	7,23	8,2	7,56	5,33	-2,641	-0,611
(30) 1001 1.14	1.20	22,53	36,07	1,97	9,09	5,97	6,20	6,99	1,81	2,06	0,17	16,22	17,26	5,18	9,76	3,68	2,79	2,25	2,63	1,22	1,50	5,3	7,08	0,05	7,23	6,91	1,946	0
(31) 1001 1.15	1.21	22,53	36,07	1,56	9,58	5,12	6,20	6,99	1,81	2,06	0,17	16,22	17,26	5,18	9,76	3,68	2,79	2,25	2,63	1,22	1,50	5,3	7,08	0,05	7,23	6,91	1,946	0
(32) 1001 1.16	1.22	22,53	36,07	1,56	9,58	5,12	6,20	6,99	1,81	2,06	0,17	16,22	17,26	5,18	9,76	3,68	2,79	2,25	2,63	1,22	1,50	5,3	7,08	0,05	7,23	6,91	1,946	0
(33) 1001 1.17	1.23	22,53	36,07	1,56	9,58	5,12	6,20	6,99	1,81	2,06	0,17	16,22	17,26	5,18	9,76	3,68	2,79	2,25	2,63	1,22	1,50	5,3	7,08	0,05	7,23	6,91	1,946	0
(34) 1001 1.18	1.24	22,53	36,07	1,56	9,58	5,12	6,20	6,99	1,81	2,06	0,17	16,22	17,26	5,18	9,76	3,68	2,79	2,25	2,63	1,22	1,50	5,3	7,08	0,05	7,23	6,91	1,946	0
(35) 1001 1.19	1.25	22,53	36,07	1,56	9,58	5,12	6,20	6,99	1,81	2,06	0,17	16,22	17,26	5,18	9,76	3,68	2,79	2,25	2,63	1,22	1,50	5,3	7,08	0,05	7,23	6,91	1,946	0
(36) 1001 1.20	1.26	22,53	36,07	1,56	9,58	5,12	6,20	6,99	1,81	2,06	0,17	16,22	17,26	5,18	9,76	3,68	2,79	2,25	2,63	1,22	1,50	5,3	7,08	0,05	7,23	6,91	1,946	0
(37) 1001 1.21	1.27	22,53	36,07	1,56	9,58	5,12	6,20	6,99	1,81	2,06	0,17	16,22	17,26	5,18	9,76	3,68	2,79	2,25	2,63	1,22	1,50	5,3	7,08	0,05	7,23	6,91	1,946	0
(38) 1001 1.22	1.28	22,53	36,07	1,56	9,58	5,12	6,20	6,99	1,81	2,06	0,17	16,22	17,26	5,18	9,76	3,68	2,79	2,25	2,63	1,22	1,50	5,3	7,08	0,05	7,23	6,91	1,946	0
(39) 1001 1.23	1.29	22,53	36,07	1,56	9,58	5,12	6,20	6,99	1,81	2,06	0,17	16,22	17,26	5,18	9,76	3,68	2,79	2,25	2,63	1,22	1,50	5,3	7,08	0,05	7,23	6,91	1,946	0
(40) 1001 1.24	1.30	22,53	36,07	1,56	9,58	5,12	6,20	6,99	1,81	2,06	0,17	16,22	17,26	5,18	9,76	3,68	2,79	2,25	2,63	1,22	1,50	5,3	7,08	0,05	7,23	6,91	1,946	0
(41) 1001 1.25	1.31	22,53	36,07	1,56	9,58	5,12	6,20	6,99	1,81	2,06	0,17	16,22	17,26	5,18	9,76	3,68	2,79	2,25	2,63	1,22	1,50	5,3	7,08	0,05	7,23	6,91	1,946	0
(42) 1001 1.26	1.32	22,53	36,07	1,56	9,58	5,12	6,20	6,99	1,81	2,06	0,17	16,22	17,26	5,18	9,76	3,68	2,79	2,25	2,63	1,22	1,50	5,3	7,08	0,05	7,23	6,91	1,946	0
(43) 1001 1.27	1.33	22,53	36,07	1,56	9,58	5,12	6,20	6,99	1,81	2,06	0,17	16,22	17,26	5,18	9,76	3,68	2,79	2,25	2,63	1,22	1,50	5,3	7,08	0,05	7,23	6,91	1,946	0
(44) 1001 1.28	1.34	22,53	36,07	1,56	9,58	5,12	6,20	6,99	1,81	2,06	0,17	16,22	17,26	5,18	9,76	3,68	2,79	2,25	2,63	1,22	1,50	5,3	7,08	0,05	7,23	6,91	1,946	0
(45) 1001 1.29	1.35	22,53	36,07	1,56	9,58	5,12	6,20	6,99	1,81	2,06	0,17	16,22	17,26	5,18	9,76	3,68	2,79	2,25	2,63	1,22	1,50	5,3	7,08	0,05	7,23	6,91	1,946	0
(46) 1001 1.30	1.36	22,53	36,07	1,56	9,58	5,12	6,20	6,99	1,81	2,06	0,17	16,22	17,26	5,18	9,76	3,68	2,79	2,25	2,63	1,22	1,50	5,3	7,08	0,05	7,23	6,91	1,946	0
(47) 1001 1.31	1.37	22,53	36,07	1,56	9,58	5,12	6,20	6,99	1,81	2,06	0,17	16,22	17,26	5,18	9,76	3,68	2,79	2,25	2,63	1,22	1,50	5,3	7,08	0,05	7,23	6,91	1,946	0
(48) 1001 1.32	1.38	22,53	36,07	1,56	9,58	5,12	6,20	6,99	1,81	2,06	0,17	16,22	17,26	5,18	9,76	3,68	2,79	2,25	2,63	1,22	1,50	5,3	7,08	0,05	7,23	6,91	1,946	0
(49) 1001 1.33	1.39	22,53	36,07	1,56	9,58	5,12	6,20	6,99	1,81	2,06	0,17	16,22	17,26	5,18	9,76	3,68	2,79	2,25	2,63	1,22	1,50	5,3	7,08	0,05	7,23	6,91	1,946	0
(50) 1001 1.34	1.40	22,53	36,07	1,56	9,58	5,12	6,20	6,99	1,81	2,06	0,17	16,22	17,26	5,18	9,76	3,68	2,79	2,25	2,63	1,22	1,50	5,3	7,08	0,05	7,23	6,91	1,946	0
(51) 1001 1.35	1.41	22,53	36,07	1,56	9,58	5,12	6,20	6,99	1,81	2,06	0,17	16,22	17,26	5,18	9,76	3,68	2,79	2,25	2,63	1,22	1,50	5,3	7,08	0,05	7,23	6,91	1,946	0
(52) 1001 1.36	1.42	22,53	36,07	1,56	9,58	5,12	6,20	6,99	1,81	2,06	0,17	16,22	17,26	5,18	9,76	3,68	2,79	2,25	2,63	1,22	1,50	5,3	7,08	0,05	7,23	6,91	1,946	0
(53) 1001 1.37	1.43	22,53	36,07	1,56	9,58	5,12	6,20	6,99	1,81	2,06	0,17	16,22	17,26	5,18	9,76	3,68	2,79	2,25	2,63	1,22	1,50	5,3	7,08	0,05	7,23	6,91	1,946	0
(54) 1001 1.38	1.44	22,53	36,07	1,56	9,58	5,12	6,20	6,99	1,81	2,06	0,17	16,22	17,26	5,18	9,76	3,68	2,79	2,25	2,63	1,22	1,50	5,3	7,08	0,05	7,23	6,91	1,946	0
(55) 1001 1.39	1.45	22,53	36,07	1,56	9,58	5,12	6,20	6,99	1,81	2,06	0,17	16,22	17,26	5,18	9,76	3,68	2,79	2,25	2,63	1,22	1,50	5,3	7,08	0,05	7,23	6,91	1,946	0
(56) 1001 1.40	1.46	22,53	36,07	1,56	9,58	5,12	6,20	6,99	1,81	2,06	0,17	16,22	17,26	5,18	9,76	3,68	2,79	2,25	2,63	1,22	1,50	5,3	7,08	0,05	7,23	6,91	1,946	0
(57) 1001 1.41	1.47	22,53	36,07	1,56	9,58	5,12	6,20	6,99	1,81	2,06	0,17	16,22	17,26	5,18	9,76	3,68	2,79	2,25	2,63	1,22	1,50	5,3	7,08	0,05	7,23	6,91	1,946	0
(58) 1001 1.42	1.48	22,53	36,07	1,56	9,58	5,12	6,20	6,99	1,81	2,06	0,17	16,22	17,26	5,18	9,76	3,68	2,79	2,25	2,63	1,22	1,50	5,3	7,08	0,05	7,23	6,91	1,946	0
(59) 1001 1.43	1.49	22,53	36,07	1,56	9,58	5,12	6,20	6,99	1,81	2,06	0,17	16,22	17,26	5,18	9,76	3,68	2,79	2,25	2,63	1,22	1,50	5,3	7,08	0,05	7,23	6,91	1,946	0
(60) 1001 1.44	1.50	22,53	36,07	1,56	9,58	5,12	6,20	6,99	1,81	2,06	0,17	16,22	17,26	5,18	9,76	3,68	2,79	2,25	2,63	1,22	1,50	5,3	7,08	0,05	7,23	6,91	1,946	0
(61) 1001 1.45	1.51	22,53	36,07	1,56	9,58	5,12	6,20	6,99	1,81	2,06	0,17</																	

tici statice măsurate; restul consumatorilor din SEE prin caracteristici statice de tip "liniere", rezultatele sunt similare cu cele considerind toți consumatorii reprezentați prin caracteristici măsurate.

- Rezultatele obținute în cazul considerării tuturor consumatorilor din SEE, cu excepția celor de pe bara Timișoara, de tipul P,Q const., iar consumatorul de la Timișoara fie de tipul I const., fie de tipul Z const., vor fi apropiate cu rezultatele obținute considerind toți consumatorii prin caracteristici statice de tipul I= const. respectiv Z=const.

- Considerind consumatorul din Timișoara prin caracteristici statice "normale", ceilalți consumatori fiind presupuși cu caracteristici de tipul P,Q const., rezultatele sunt similare cu cazul considerării tuturor consumatorilor din SEE prin caracteristici P,Q const. Această observație conduce din nou la concluzia că efectul reglant al puterii active  $R_p$  are un rol important în estimarea limitei stabilității statice a unui SEE (vezi și paragraful 5.2.3.2) ...

- Se observă că, modificările caracteristicii consumatorului de pe bara Timișoara influențează în foarte mică măsură rezultatele studiului de stabilitate statică a SEE.

#### 5.2.3.6. Influența reprezentării consumatorului de pe bara Slatina

S-a considerat consumatorul de pe bara Slatina pentru că este consumatorul de putere cea mai mare din SEE studiat, fiind în același timp relativ departe de un centru de producere a energiei electrice.

Ca și în cazurile anterioare, s-au considerat succesiv consumatorii complexi echivalenți din SEE reprezentați prin diferențe caracteristici statice simplificate, în timp ce consumatorul de pe bara Slatina s-a considerat reprezentat prin caracteristici măsurate. Rezultatele calculelor se prezintă în tabelele nr. 5.19 și 5.20.

Analizând aceste rezultate se constată că:

- Dacă se consideră consumatorul complex echivalent de pe bara Slatina reprezentat prin caracteristici statice măsurate, toți ceilalți consumatori din SEE considerat fiind reprezentați prin consumatori de tipul P,Q= const, rezultatele obținute din punctul

Valorile indicilor de calitate, Toți consumatorii  
bără Slatina reprezentăți prin caracteristici simplificate,

Indice	mări- mea Ce- zul GS	$\Theta \times 10^2$					P		
		PDFA	PDFB	Turc.	Rovi.	Mint.	PDFA	PDFB	Turc.
Valori maxime	(29) Toți P,Q ct. Slatina măsurate	19,452	34,891	2,348	10,445	54,197	1,497	1,7311	0,696
	(30) Toți consumat.Z.ct. Slatina măs.	23,051	34,882	2,393	7,892	4,56	1,574	1,7296	0,467
	(31) Toți Normale, Slatina măsurate	20,398	34,865	2,598	9,457	5,916	1,497	1,7311	0,354
	(32) Toți I.ct. Slatina măsurate	22,214	34,879	2,408	8,175	9,186	1,564	1,730	0,428
	(33) Toți liniare Slatina măsurate	21,01	34,854	2,352	7,673	4,59	1,519	1,7306	0,358
Valori minime	(29) Toți P,Q ct. Slatina măsurate	8,144	83,625	13,54	10,321	2,3	1,437	1,5694	0,308
	(30) Toți Z.ct. Slatina măsurate	23,808	35,313	13,508	8,818	1,72	1,525	1,476	0,306
	(31) Toți Normale Slatina măs.	21,416	35,617	13,602	9,356	1,585	1,492	1,596	0,308
	(32) Toți I.ct. Slatina măsurate	22,738	35,678	13,525	8,809	1,615	1,493	1,514	0,307
	(33) Toți liniare Slatina măs.	21,72	34,916	13,633	8,811	0,989	1,516	1,597	0,306
G	(29) Toți P,Q ct. Slatina măsurate	21,91	21,905	2,345	4,06	13,65	0,657	0,6374	0,186
	(30) Toți Z.ct. Slatina măsurate	8,817	12,48	2,3116	3,063	1,227	0,635	0,6286	0,092
	(31) Toți normale Slatina măsurate	8,431	12,32	2,422	3,489	1,371	0,626	0,6296	0,087
	(32) Toți I.ct. Slatina măs.	8,672	12,37	2,265	3,338	1,242	0,631	0,627	0,088
	(33) Toți liniare Slatina măsurate	8,438	12,41	2,417	3,148	1,026	0,627	0,635	0,089

TABELUL nr. 5.19

cu excepția celor de pe  
cel de la Slatina reprezentat prin caracteristici măsurate

		$U \times 10^3$					$\theta_{CI} \times 10$
Rov.	Min.	PDFA	PDFB	Turc.	Rov.	Min.	
2,071	2,091	577,1	422,23	458,8	368,9	1,5844	0,196335
1,458	0,792	30,135	47,97	58,36	53,68	29,33	0,197838
1,167	0,452	34	49,7	56,6	51,32	30,97	0,194557
1,338	0,657	35,14	51,97	61,53	56,60	36,29	0,196873
1,117	0,435	24,23	42,76	47,86	42,54	16,95	0,19354
1,127	0,401	1,096	1,197	0,923	8,49	3,497	1,796,46
0,989	0,556	9,62	11,48	10,77	1,675	14,952	382,76
1,068	0,333	6,52	10,93	10,9	15,72	10,934	119,822
0,999	0,393	8,11	12,05	11,03	17,08	11,71	337,774
0,949	0,289	6,40	9,367	6,56	11,998	5,33	199,21
0,667	0,552	145	103,5	113,4	91,62	402,7	459,216
0,4553	0,236	6,987	9,24	10,13	11,3	6,85	117,504
0,4325	0,119	6,86	10,04	11,31	11,68	7,14	40,655
0,452	0,163	7,77	9,97	10,8	11,86	7,185	104,204
0,406	0,1208	5,55	8,33	8,32	9,02	3,45	61,5016

TABELUL nr. 5.20

Nr. crt.	mări- mea Ca- zul	Valori caracteristice					
		GS	PDFA	PDFB	Turc	Rovi	Mint
1.	(29) Toți consumat. caract. P, Q ct, Slatina caract. măsurate	9,90776	17,76637	1,195874	5,32009	2,76042	
2.	(30) Toți consumat. caract. Z ct. Slatina, caract. măsurate	11,651452	17,631547	1,2096	3,9890213	2,304916	
3.	(31) Toți consumat. caract. Normală Slatina caract. măsurate	10,484331	17,9205	1,3354	4,8610946	3,04075	
4.	(32) Toți consumat. caract. I ct. Slatina caract. măsurate	11,283416	17,71675	1,223225	4,1325	4,666104	
5.	(33) Toți consumatorii caract. liniare Slatina caract. măsurate	10,855637	18,00863	1,215118	3,9645	2,3712	

de vedere al aprecierii distanței față de limita stabilității statice sănt ușor optimiste, în schimb aproximarea acestora, prin caracteristici  $P=\text{const.}$ ,  $Q=KU^2$  conduce la rezultate mai apropiate decât teate optimiste față de cele obținute considerind toți consumatorii prin caracteristici măsurate.

- Si în această situație considerarea tuturor consumatorilor complecși prin caracteristici liniare, cu excepția celui de la Slatina conduce la rezultatele cele mai apropiate de situația cu caracteristici măsurate.

- Considerind consumatorul de la Slatina prin caracteristici măsurate, restul consumatorilor fiind reprezentăți prin caracteristici de tip  $Z=\text{const.}$  sau de tip  $I=\text{const.}$ , se obțin rezultate ușor pesimiste.

- In general se poate spune că reprezentarea consuma-

torului complex în nodul Slatina influențează sensibil rezultatele calculelor de stabilitate statică.

#### 5.2.3.7. Influența considerării nodului de echilibrare

In vederea analizei influenței alegerii nodului de echilibrare asupra rezultatelor calculelor în tabelul nr.5.20 se prezintă rezultatele obținute prin același calcul ca în paragrafule anterioare, dar ca nod de echilibrare în loc de nodul nr. 5 (Mintia) s-a considerat nodul 3 (Turceni). Se observă că rezultatele nu sunt sensibil influențate de schimbarea nodului de echilibrare (vezi tabelul nr.5.21), ceea ce de fapt era de asteptat.

#### 5.2.4. Concluzii privind influența reprezentării consumatorului complex echivalent asupra calculelor de stabilitate statică într-un SEE

La funcționarea în regim permanent, forma de reprezentare a consumatorului complex echivalent prin diferite caracteristici statice putere funcție de tensiune măsurate sau simplificate influențează în mare măsură rezultatele calculelor de stabilitate statică a SEE.

Se observă o mare dispersie a rezultatelor obținute înlocuind caracteristicile statice putere funcție de tensiune măsurate ale consumatorului complex echivalent prin caracteristici simplificate, ceea ce impune utilizarea în calculele de stabilitate statică a caracteristicilor statice măsurate. O eventuală simplificare poate fi admisă, în lipsa caracteristicilor măsurate, prin considerarea caracteristicilor de tip "liniare", care se pot scrie ușor, considerind efectul reglant de valoare cunoscută de la consumatori cu componentă asemănătoare, la care s-au făcut măsurători.

Considerarea în calcule a consumatorului complex echivalent prin caracteristici liniare reprezintă o simplificare față de reprezentarea prin caracteristici măsurate din următoarele motive:

- caracteristicile statice se exprimă prin relații simple, liniare;

TABEUL nr. 5.21

Valorile indicilor de calitate, considerind nodul de echilibrare nr. 3. Regim stabil

mes- ce-	ca- zul	GS	PDPA	PDFB	Turco. $\kappa_Q$	Rovi. $\kappa_Q$	Mint. $x10^{-2}$	PDFA	PDFB	Turco. $\kappa_Q$	Rovi. $\kappa_Q$	Mint. $x10^{-2}$	PDFA	PDFB	Turco. $\kappa_Q$
(34) Toti P,Q,ct.	1,59	1,73	2,87	1,0	0,38	1,95	21,5	34,9	1,67	9,3	5,7	11,0	17,9	0,85	4,77
Mint.mg- surate															
(35) Toti Assurate	1,52	1,73	3,6	1,17	0,44	1,94	21,0	34,85	2,34	7,64	4,56	10,85	18,0	1,21	3,95
(36) Toti P,Q,ct.	1,56	1,73	2,83	1,64	0,40	307	20,9	34,8	1,85	9,83	6,30	0,07	0,11	0,006	0,03
(37) Toti Z ct.	1,61	1,73	4,71	1,48	0,81	1,98	23,7	34,9	1,9	8,17	4,83	11,9	17,6	0,95	4,12
Val. mintime															
(34)	1,58	1,64	0,05	1,0	0,36	12,5	23,3	36,5	13,5	8,9	1,36	-	-	-	-
(25)	1,52	1,59	3,06	0,95	0,29	1994	21,7	34,9	13,6	8,8	1,0	-	-	-	-
(36)	1,56	1,64	3,05	1,05	0,41	2,33	23,0	36,7	13,5	9,5	1,76	-	-	-	-
Val. mintime															
(37)	1,53	1,47	3,06	0,99	0,62	4327	24,3	35,6	13,5	8,82	39,0	-	-	-	-
(34)	0,64	0,63	0,67	0,4	0,1	3,2	8,72	12,3	2,17	3,57	1,28	-	-	-	-
(35)	0,63	0,64	0,89	0,41	0,12	616	8,44	12,4	2,4	3,1	1,02	-	-	-	-
(36)	0,64	0,63	0,68	0,40	0,12	97,6	8,66	12,31	2,22	3,63	1,49	-	-	-	-
(37)	0,64	0,63	0,89	0,46	0,26	1315	9,04	12,55	2,2	3,3	1,9	-	-	-	-

- exprimarea este funcție de efectul reglant al puterii active, respectiv reactive, efect care are aceeași valoare pentru un anumit tip de consumator și poate fi estimat prin analogie cu consumatori similari la care s-au făcut măsurători.

Analiza rezultatelor obținute indică existența unor puncte sensibile în SEE (în schema considerată pentru calcul erau nodurile Mintia și Slatina) în care, în mod obligatoriu consumatorii trebuie introduși prin caracteristici statice reale, în celelalte noduri din SEE acestia putindu-se eventual considera prin caracteristici simplificate. Punctele (nodurile) sensibile trebuie identificate calculând stabilitatea statică a SEE cu diferite caracteristici statice ale consumatorilor. Odată stabilite aceste puncte, se va introduce în calcule caracteristica statică măsurată (stabilită prin experimentări în SEE), în celelalte puncte considerindu-se consumatorii prin caracteristici liniare, eventual de tip  $I=const.$

Calculele au evidențiat de asemenea marea influență a efectului reglant al puterii active  $R_p$  asupra aprecierii stabilității SEE.

De precizat că nu toate GS din SEE se comportă identic din punctul de vedere al stabilității statice, deci nu se poate generaliza soluția, nu se poate preciza că un anumit mod de reprezentare a caracteristicii statice al consumatorilor mai mult sau mai puțin simplificat ar rezolva optim problema sau ar conduce la rezultate optimiste respectiv pesimiste. Numai reprezentarea în calcule a consumatorilor prin caracteristici reale obținute prin măsurători, redau corect starea SEE, apreciază corect depărtarea acestuia față de limita stabilității statice.

### 5.3. Concluzii

Sintetizând rezultatele obținute prin dezvoltările din cadrul capitolului 5 se pot trage următoarele concluzii:

- Expresia caracteristicilor statice putere funcție de tensiune a consumatorului complex echivalent din SEE introducând în calculele de stabilitate statică are o deosebită influență asupra rezultatelor calculelor. Un calcul exact impune exprimarea caracteristicilor prin relații obținute prelucrind măsurările efectuate în SEE.

comparind concluziile obținute în cazul considerării unui SEE simplificat (paragraful 5.1) cu cele obținute în cazul unui SEE real (paragraful 5.2) se observă că rezultatele sunt numai parțial în concordanță și anume numai cu privire la faptul că reprezentarea consumatorilor prin caracteristici de tip "liniar" conduce, în domeniul de funcționare cu tensiuni apropiate de tensiunea nominală, la rezultate foarte puțin diferite de cele obținute prin considerarea caracteristicilor statice măsurate. Concluziile diferite obținute în cazul considerării consumatorului complex echivalent prin caracteristici de tip  $Z=const.$ ,  $P, Q = const.$  respectiv "normale" atenționează asupra posibilității reducerii SEE complexe la SEE simplificate de tip GS echivalent, consumator echivalent, etc., reduceri admise numai în calculele din prima treaptă de selecție a regimurilor periculoase, cum de altfel se și procedează în practică, /55/. Calculul stabilității statice în continuare se va face adoptând schema electrică completă a SEE și reprezentând toți consumatorii prin caracteristici simplificate, identificând punctele sensibile din SEE iar apoi în final se va calcula considerând consumatorii din aceste puncte prin caracteristici măsurate, ceilalți consumatori din SEE reprezentându-i prin caracteristici liniare.

Trebuie menționat să nu se pot da rețete, ci situația trebuie analizată concret în funcție de schema electrică a SEE, dar în mod cert vor exista în orice SEE noduri în care consumatorii trebuie înlocuiți prin caracteristici reale, obținute prin măsurători, pentru ca rezultatele să corespundă situației din realitate.

## Capitolul 6

### CONCLUZII GENERALE

#### 6.1. Continutul lucrării

Tendințele actuale de dezvoltare foarte rapidă a sistemelor electroenergetice impun studii din ce în ce mai largi în vederea proiectării și exploatarii optime a acestora.

Problema stabilității statice a sistemelor electroenergetice este în strânsă legătură cu preocupările existente privind studiul regimurilor de funcționare ale sistemelor electroenergetice.

Tema tezei de doctorat urmărește studierea influenței reprezentării consumatorilor din SEE asupra calculelor de stabilitate statică în vederea delimitării aplicabilității soluțiilor simplificate folosite în calcule clasice.

Teza cuprinde o parte teoretică (capitolele 1, 2, 3 și 5) și o parte practică (capitolul 4) cu experimentări efectuate în SEN, fiecare parte cu contribuții originale după cum s-a menționat în dezvoltările anterioare și se sistematizează în cele ce urmează.

#### 6.2. Concluzii în urma analizei rezultatelor teoretice și experimentale

Din concluziile expuse în teză, se menționează următoarele:

- Reprezentarea caracteristicii consumatorilor prin caracteistică statică de putere funcție de tensiune simplificate, introduce în calcule erori mari în raport cu situația considerării consumatorilor prin caracteistică experimentală, ceea ce impune limitarea aplicabilității acestor simplificări de calcul.

- Considerarea caracteristicilor statice simplificate pot conduce la concluzii eronate, în sensul unei aprecieri prea optimiste sau din contră, prea pesimiste față de situația reală, ceea ce prezintă o deosebită importanță în cazul SEE care funcționează în apropierea limitei de stabilitate statică.

Dacă rezultatele optimiste sunt inadmisibile din punctul de vedere al aprecierii stabilității statice, rezultatele pesimiste obținute utilizând reprezentarea în calcule a consumatorilor prin caracteristici simplificate nu permit utilizarea întregii rezerve de stabilitate statică a SEE respectiv.

Având în vedere dispersia rezultatelor obținute considerind caracteristicile statice putere funcție de tensiune ale consumatorului complex echivalent simplificate, se impune utilizarea în calculele de stabilitate statică a caracteristicilor statice obținute prin determinări experimentale în sistemul electroenergetic. În cazul în care nu se dispune de astfel de date, se va putea admite numai considerarea caracteristicilor liniare, care se pot scrie ușor considerind efectul reglant de valoare cunoscută de la consumatori cu componentă asemănătoare la care s-au făcut măsurători.

- De precizat că există noduri "sensibile" în sistem în care rezultatele calculelor de stabilitate statică sunt mult afectate de modul în care se consideră caracteristica statică a consumatorului, noduri care trebuie identificate în fiecare schema completă a SEE. Acest lucru se poate face adoptând pentru început diferite caracteristici simplificate pentru consumatorii complecși echivalenți din SEE. În fază următoare de calcul se vor considera consumatorii din aceste noduri "sensibile" prin caracteristici obținute prin măsurători, iar restul consumatorilor vor fi reprezentați prin caracteristici liniare.

- Aprecierea exactă a limitei stabilității statice a SEE necesită deci considerarea în calcule a caracteristicilor statice de putere funcție de tensiune obținute prin măsurători și impune utilizarea calculatoarelor numerice pentru calculul stabilității statice a SEE.

- Considerarea caracteristicilor obținute experimental complică însă calculul, atât modelul matematic al consumatorului cit și implicit mărește durata rulării programului față de cazul considerării caracteristicilor simplificate.

- În reprezentarea caracteristicilor statice de putere funcție de tensiune ale pierderilor de putere în rețea nu se pot neglija caracteristicile sarcinii și nici elementele transversale

ale rețelei.

- La reprezentarea caracteristicilor statice de putere funcție de tensiune a căreia motorului asincron trebuie considerat gradul de încărcare al acestuia care influențează considerabil valoarea (implicit expresia) puterii reactive a motorului.

- Considerarea saturăției fierului motorului asincron, influențează sensibil valoarea reactanței de magnetizare, modificind implicit expresia caracteristicii statice putere reactivă funcție de tensiune a motorului, ducând la o caracteristică cu efect reglant mai pronunțat.

- Dispersia mare a caracteristicilor statice obținute experimental impune stabilirea unor caracteristici statice medii bazate pe prelucrarea statistică a rezultatelor experimentale.

- Determinarea experimentală a caracteristicilor statice de putere funcție de tensiune pentru consumatorul complex echivalent racordat în nodurile SEE se poate face relativ ușor și rapid, fără a perturba funcționarea consumatorilor.

- Măsurătorile, pe viu, în SEE sunt de mare interes nu numai pentru calcule de stabilitate statică ci și pentru calcule de regimuri de funcționare, cu atât mai mult cu cât astfel de rezultate sunt prezentate relativ puțin în literatură de specialitate.

- Date fiind modificările componentei consumatorului complex echivalent, se recomandă experimentări și stabilirea caracteristicilor statice medii de putere funcție de tensiune periodic, asigurîndu-se astfel calcule și rezultate corecte, corespunzătoare sistemului electroenergetic real.

- Existenta unor astfel de determinări periodice în noduri cu diferiți consumatori, ar permite folosirea caracteristicilor statice medii putere funcție de tensiune nu numai în exploatarea SEE, ci și în calcule de proiectare.

- Caracteristicile statice de putere funcție de tensiune pentru consumatorii complecși echivalenți dintr-un SEE determinate prin măsurători în cadrul lucrării, sunt în concordanță cu datele existente în literatură obținute prin măsurători în alte sisteme energetice.

### 6.3. Contributii teoretice si experimentale

Se prezintă în continuare o sinteză a elementelor considerate contribuții originale la problema studiată :

- Sistematizarea și prezentarea unei imagini de ansamblu asupra considerării consumatorului complex echivalent din SEE în calcule de stabilitate statică.

- Modelizarea matematică a caracteristicii statice a motorului asincron, considerînd gradul de încărcare al acestuia.

- Includerea saturăției în modelizarea caracteristicii statice putere funcție de tensiune a motorului asincron, folosind reprezentarea caracteristicii de mers în gol.

- Modelul matematic a caracteristicii statice pentru consumatorul casnic.

- Modelizarea matematică a caracteristicii statice de putere funcție de tensiune pentru pierderile de putere în rețea considerînd și caracteristicile sarcinii și elementele transversale ale rețelei (rezistență capacitive  $X_c$  a liniilor electrice de transport).

- Modelul matematic propus pentru exprimarea caracteristicilor statice putere funcție de tensiune pentru consumatorul complex din SEE prin expresii liniare bazată pe efectul reglant al sarcinii.

- Rezultatele experimentale obținute prin măsurători în zona de SV a SEN în vederea stabilirii caracteristicilor statice de sarcină putere funcție de tensiune pentru consumatorul complex echivalent.

- Metoda de estimare a expresiei caracteristicilor statice de putere funcție de tensiune ale consumatorilor complecși echivalenți pe baza caracteristicilor determinate experimental.

- Algoritmul de calcul al programului CSPU.

- Programul de calcul al caracteristicilor statice de putere funcție de tensiune, programul CSPU.

- Expresia criteriului  $\frac{dQ}{dU}$  de apreciere a stabilității statice într-un sistem electroenergetic simplificat, în cazul considerării caracteristicii statice măsurate a consumatorului

complex echivalent.

- Aprecierea erorii introduse prin considerarea unor caracteristici simplificate în locul caracteristicilor statice experimentale în calculul derivatei  $\frac{dQ}{dU}$ .
- Algoritmul programului de calcul REZSTATIC .
- Programul de calcul a tensiunii critice și a rezervei de stabilitate statică, având în vedere caracteristicile de putere funcție de tensiune ale consumatorilor, programul REZSTATIC.
- Analize influenței modului de reprezentare a sarcinii în calculul de stabilitate statică pentru zona de SV a SEN pe baza considerării a 37 de cazuri de reprezentare a caracteristicilor statice de putere funcție de tensiune pentru consumatorul complex echivalent în regim stabil de funcționare a Sns. Evidențierea existenței într-un SEE a unor noduri, numite în lucrare "sensibile" în care modificarea caracteristicii statică a sarcinii influențează sensibil stabilitatea statică a sistemului, noduri în care aceasta trebuie considerată prin caracteristice statice stabilite experimental.
- Se demonstrează posibilitatea aplicării în calcule la studiul stabilității statice a SEE pe CN a consumatorilor prin caracteristici măsurate sau liniarizate - analizindu-se rezultatele în comparație cu cele obținute considerind caracteristice statice simplificate pentru caracteristicile statice ale consumatorului complex echivalent.

Rezultatele obținute contribuie la rezolvarea unor probleme actuale de cercetare-proiectare în domeniul SEE. Între acestea se încadrează și problema calculelor de STS a SEE complexe.

#### 6.4. Perspective de cercetare în viitor

- Estimarea caracteristicilor statice de putere funcție de tensiune medie, prin metoda propusă, pe baza măsurătorilor efectuate și în alte noduri caracteristice din sistem.
- Continuarea cercetărilor teoretice, în domeniul neabordat de această lucrare, considerind caracteristici statice de putere funcție de tensiune și frecvență.

- Aplicarea concluziilor prezentei teze la calcule de stabilitate a SEN.

**ANEXE DE CALCUL**

**Anexa A-1**

Parametri motoarelor electrice asincrone trifazate de uz general de 1s 0,06 la 132 kW, pe baza datelor de catalog, conf. STAS 1764-70.

Pu-te-reas kW	$\cos\varphi_n$	$b_n = \frac{M_{max}}{M_n}$	$X_0 = \frac{1}{b_n \cos\varphi_n}$	$B_0 = \sin\varphi_n - (b_n - \sqrt{b_n^2 - 1}) \cos\varphi_n$	$X_m = \frac{1}{B_0}$
1	2	3	4	5	6
15	0,82	2,2	0,2772	0,3753	2,665
15	0,79	1,8	0,3516	0,3735	2,6774
15	0,74	1,8	0,3754	0,448	2,232
18,5	0,83	2,2	0,274	0,3582	2,790
18,5	0,795	1,8	0,3494	0,3654	2,737
18,5	0,75	1,8	0,3704	0,4339	2,305
22	0,835	2	0,2722	0,3495	2,861
22	0,80	1,8	0,3472	0,3573	2,799
22	0,765	1,8	0,363	0,412	2,427
30	0,84	2,2	0,2706	0,34066	2,935
30	0,81	1,8	0,343	0,3407	2,935
30	0,78	1,8	0,356	0,3892	2,570
37	0,845	2,2	0,269	0,3316	3,016
37	0,82	1,8	0,340	0,3236	3,09
37	0,79	1,8	0,3516	0,3735	2,677
40	0,845	2,2	0,269	0,3316	3,016
40	0,825	1,8	0,337	0,3148	3,177
40	0,795	1,8	0,3494	0,36545	2,736
45	0,85	2,2	0,2674	0,32245	3,1
45	0,83	1,8	0,3347	0,3060	3,27
45	0,8	1,8	0,3472	0,3573	2,799
55	0,85	2,2	0,2674	0,3244	3,100
55	0,835	1,8	0,3327	0,2970	3,367
55	0,805	1,8	0,345	0,3490	2,865

Anexa A-1(continuare)

1	2	3	4	5	6
75	0,855	2,2	0,266	0,3130	3,195
75	0,84	1,8	0,3307	0,2878	3,475
75	0,81	1,8	0,343	0,3407	2,935
90	0,855	2,2	0,266	0,313	3,194
90	0,845	1,8	0,329	0,278	3,597
90	0,815	1,8	0,341	0,3323	3,010
100	0,86	2,2	0,2643	0,30355	3,294
100	0,845	1,8	0,329	0,2785	3,590
100	0,82	1,8	0,339	0,3236	3,090
110	0,86	2,2	0,2643	0,3035	3,295
110	0,845	1,8	0,329	0,2785	3,590
110	0,83	1,8	0,3347	0,306	3,268
132	0,865	2,2	0,263	0,294	3,400
132	0,85	1,8	0,327	0,269	3,717
132	0,83	1,8	0,3347	0,306	3,268

Anexa A-2APROXIMAREA UNII FUNCTII PRINTR-UN POLINOM

Fiind dată o funcție  $f(x)$  de variabilă reală  $x$ , se pune problema că într-un interval dat de variație a lui  $x$ , funcția  $f(x)$  să fie înlocuită cu un polinom. Funcția este cunoscută empiric (prin măsurători) adică numai prin tabloul valorilor  $b_0, b_1, \dots, b_n$  pe care le ia pentru valorile  $a_0, a_1, \dots, a_n$  ale variabilei.

Pentru rezolvare se poate folosi metoda lui Lagrange /8/, care constă în înlocuirea valorilor  $(a_i, b_i)$  în expresia polinomialui :

$$P(x) = \sum_{i=0}^n b_i \frac{\prod_{s=0, s \neq i}^n (x - a_s)}{\prod_{s=0, s \neq i}^n (a_i - a_s)} \quad (A-1)$$

unde  $n$  reprezintă gradul polinomului. Formula (A-1) se numește formula de interpolare a lui Lagrange.

Având în vedere că aplicînd-o nu se poate face un calcul numeric rapid, se preferă metoda mai simplă, folosită și în prezentă lucrare pentru obținerea expresiilor caracteristicilor statice de putere, care constă în următoarele :

Se scrie polinomul  $P(x)$  sub forma :

$$P(x) = B_0 + B_1(x-a_0) + B_2(x-a_0)(x-a_1) + \dots + B_n(x-a_0)(x-a_1)\dots(x-a_{n-1})$$

și

$$P(a_0) = b_0 = B_0.$$

Se întocmește tabelul :

$x$	$P(x)$	$Q_x = \frac{P(x)-b_0}{x-a_0}$	$R(x) = \frac{Q(x)-B_1}{x-a_1}$	$S_x = \frac{R(x)-B_2}{x-a_2}$
$a$	$b_0 = B_0$			
$a_1$	$b_1$	$\frac{b_1-b_0}{a_1-a_0} = q_1 = B_1$		
$a_2$	$b_2$	$\frac{b_2-b_0}{a_2-a_0} = q_2$	$\frac{q_2-q_1}{a_2-a_1} = r_2 = B_2$	
$a_3$	$b_3$	$\frac{b_3-b_0}{a_3-a_0} = q_3$	$\frac{q_3-q_1}{a_3-a_1} = r_3$	$\frac{r_3-r_2}{a_3-a_2} = s_3 = B_3$
$\dots$	$\dots$	$\dots$	$\dots$	$\dots$
$a_n$	$b_n$	$\frac{b_n-b_0}{a_n-a_0} = q_n$	$\frac{q_n-q_1}{a_n-a_1} = r_n$	$\frac{r_n-r_2}{a_n-a_2} = s_n$

Pentru exemplificare se prezintă calculul efectuat în vederea obținerii expresiei analitice a caracteristicii statice de putere reactivă în funcție de tensiune din fig.4.4.

Se citește din curba  $Q_x = f(U_x)$ , fig.4.4:

$$a_0 = 98 ; \quad b_0 = 91$$

$$a_1 = 99 ; \quad b_1 = 95$$

$$a_2 = 100 ; \quad b_2 = 100$$

$$B_1 = \frac{95-91}{99-98} = 4 ; \quad q_2 = \frac{100-91}{100-98} = 4,5$$

$$B_2 = \frac{4,5-4}{100-99} = 0,5$$

$$Q = 91 + 4U - 4 \cdot 98 + 0,5U^2 - 0,5 \cdot 98U - 0,5 \cdot 99U + 0,5 \cdot 98 \cdot 99$$

Deci

$$Q = 0,5U^2 - 94,5U + 4550, [\%].$$

### Anexa A-3

#### ESTIMAREA PARAMETRILOR /8/, /37/, /38/, /181/

Dacă se consideră rezultatele măsurătorii (a celor n cîtiri):  $x_1, x_2, x_3, \dots, x_n$ ,

valoarea cea mai probabilă este media aritmetică a acestora :

$$\bar{x} = \frac{\sum_{i=1}^n x_i}{n} \quad (A-2)$$

$x_i$  fiind valoarea unei măsurători.

Avînd în vedere că estimăriile variază în precizie, e important ca o estimărie să fie însotită de o descriere a preciziei, adică de o indicație cît de aproape poate fi estimăria de parametrul pe care trebuie să-l estimeze.

Abaterea medie patratică (dispersia unui sir de măsurători) este

$$S^2 = \sqrt{\frac{\sum_{i=1}^n (x_i - \bar{x})^2}{n}} \quad (A-3)$$

unde  $\bar{x}$  este valoarea adevărată (necunoscută).

Necunoscîndu-se  $\bar{x}$  se va calcula abaterea medie patratică a șirului de măsurători cu formula lui Bessel, (relația A-4) :

$$S^2 = \sqrt{\frac{\sum_{i=1}^n (x_i - \bar{x})^2}{n-1}} \quad (A-4)$$

Eroarea medie patratică a rezultatului  $\bar{x}$  este

$$S = \frac{\sigma}{\sqrt{n}} . \quad (A-5)$$

Pentru a defini intervalul de încredere se consideră o repartiție ce depinde de un singur parametru necunoscut  $\theta$  și se presupune că  $(X_1, \dots, X_n)$  este o selecție din această măsurătoare. Fie  $\underline{\theta}(X_1, \dots, X_n)$  și  $\bar{\theta}(X_1, \dots, X_n)$  două statistici astfel încât  $\underline{\theta} < \bar{\theta}$ . Dacă  $\underline{\theta}$  și  $\bar{\theta}$  pot fi astfel alese pentru un  $\alpha$  dat încit

$$P(\underline{\theta} < \theta < \bar{\theta}) = 1 - \alpha \quad (A-6)$$

atunci  $(\underline{\theta}, \bar{\theta})$  este denumit interval de încredere pentru parametrul  $\theta$ .

$\underline{\theta}$  și  $\bar{\theta}$  poartă numele de limită inferioară și respectiv limită superioară de încredere pentru  $\theta$ . Ele depind numai de  $(1-\alpha)$  numit coeficient de încredere. Se observă că  $(\underline{\theta}, \bar{\theta})$  este o variabilă aleatoare astfel încit probabilitatea ca intervalul  $(\underline{\theta}, \bar{\theta})$  să conțină valoarea parametrului  $\theta$  este  $(1-\alpha)$ .

Coefficientul  $\alpha$  este numit coeficient de încredere și în cazul repartițiilor normale reduse (sau standard) se definește din :

$$\alpha = \frac{1}{\sqrt{2\pi}} \int_{-\infty}^a e^{-\frac{x^2}{2}} dx . \quad (A-7)$$

In tabele (de ex. tab.l.a /37/ se află valoarea funcției

$$\phi(a) = \frac{1}{\sqrt{2\pi}} \int_{-\infty}^a e^{-\frac{x^2}{2}} dx , \quad (A-8)$$

care dă proporția cazurilor în care se poate obține o medie de selecție la o anumită distanță de  $\bar{X}$ .

Se observă că relația (A-7) se poate pune sub forma :

$$\alpha = \frac{1}{\sqrt{2\pi}} \int_{-\infty}^a e^{-\frac{x^2}{2}} dx = \frac{1}{\sqrt{2\pi}} \int_{-\infty}^{\bar{\theta}} e^{-\frac{x^2}{2}} dx - \frac{1}{\sqrt{2\pi}} \int_{-\infty}^{-\bar{\theta}} e^{-\frac{x^2}{2}} dx = \phi(a) - \phi(-a) \quad (A-9)$$

- 171 -

Dar

$$\phi(-a) = 1 - \phi(a) \quad (A-10)$$

Deci

$$\chi = 2\phi(a) - 1$$

sau

$$\phi(a) = \frac{\chi+1}{2} \quad (A-11)$$

Considerind variabila aleatoare  $X$  repartizata normal cu abaterea medie patratica  $\sigma$  si coeficient de incredere  $\alpha$ , se poate scrie relatia (A-7), iar din tabelul 1 a /37/ rezulta a.

Intervalul de incredere pentru parametrul  $\theta$  (care reprezinta valoarea reala) va fi:  $(\underline{\theta}, \bar{\theta})$ , unde:

$$\bar{\theta} = \bar{X} + a \frac{\sigma}{\sqrt{n}},$$

$$\underline{\theta} = \bar{X} - a \frac{\sigma}{\sqrt{n}}.$$

Pentru exemplificare se prezinta calculul efectuat in vederea obtinerii raspunsului mediu, abatieri medii patratici si a intervalului de incredere pentru raspunsul puterii active pe baraj de 10 kV la vîrful de seara (ora 21).

Datele de calcul sunt centralizate in tabelul A 3.

Tabelul A-3

i	$\Delta P/\Delta U = X_i$	$X_i - \bar{X}$	$(X_i - \bar{X})^2$
1	4	2,176	4,7349
2	0,36	-1,464	2,1432
3	2	0,176	0,0309
4	2	0,176	0,0309
5	1	-0,824	0,6789
6	0	-1,824	3,3269
7	1	-0,824	0,6789
8	0	-1,824	3,3269
9	6	4,176	17,4389
10	2	0,176	0,0309
11	3,5	1,676	2,8089
12	2	0,176	0,0309

Tabelul A-3 (continuare)

i	$\Delta P / \Delta U$	$x_i$	$(x_i - \bar{x})^2$
13	0	-1,824	3,3269
14	1,5	-0,324	0,1049
15	2	0,176	0,0309
Total		$\bar{x} = 1,824$	38,7238

$$s^2 = \frac{1}{n-1} \sum_{i=1}^n (x_i - \bar{x})^2 = \frac{38,7238}{14} = 2,765986$$

$$s = \sqrt{\frac{1}{n-1} \sum_{i=1}^n (x_i - \bar{x})^2} = \sqrt{\frac{2,765986}{14}} = 1,6631$$

$$s = \frac{s}{\sqrt{n}} = \frac{1,6631}{\sqrt{15}} = 0,42942$$

Se admite un interval de încredere de 50% ( $\alpha = 0,5$ )

$$\phi(a) = \frac{\alpha+1}{2} = \frac{1,5}{2} = 0,75$$

Din tabele  $a \approx 0,675$ .

Deci intervalul de încredere :

$$(\bar{x} - a \frac{s}{\sqrt{n}}, \bar{x} + a \frac{s}{\sqrt{n}})$$

$$(1,824 - 0,28985 ; 1,824 + 0,28985)$$

adică

$$(1,53414 ; 2,11385)$$

**Anexa A - 4**

## PROGRAMUL DE CALCUL "CSPU"

```

48      US2= 0.
49      USA= 0;
50      USA1=0;
51      US2A=0;
52      BL=AL=1
53      DU7=L=1,N
54      US1=US1+U(I)
55      US2=US2+U(I)*P2
56      USA=USA+U(I)*P AL
57      USAL=USA+U(I)*PBL
58      USAZ=USAZ+U(I)*PC
59      DU6K=L=1,N
60      ZSU=ZSN*Z(K,I)
61      ZSL=ZST*Z(K,I)+U(I)
62      ZSA=ZSA+Z(K,I)*U(I)*P AL
63      CONTINUE
64      CONTINUE
65      C COEFICIENTESTSTEMULUIDECCUAT:I
66      C
67      C
68      A(1)=--1;
69      A(2)=L;
70      A(3)=1;
71      A(4)=JS1/N
72      A(5)=JS2/N
73      A(6)=JS4/N/JS4
74      A(7)=USA/P
75      A(8)=USA/L/JS-
76      A(9)=JS5/N/M
77      B(1)=ZSN/M/JS1/M
78      B(2)=ZSL/M/JS1/M
79      B(3)=ZSA/M/JS1/M
80      CALL SISL1(A+B,XX,YY,ZZ)
81      B(L)=0
82      B(2)=YY
83      B(3)=ZZ
84      EPR=ZZ*4L*YY
85      XXX(L)=XX
86      VVY(L)=YY
87      ZZZ(L)=ZZ
88      EFT(L)=FFR
89      IF(KE7,70,1) GO TO 25
90      WRITE(1,FMT=70) B(1)+B(2)*P(1)*EPR
91      *1 FJFORMAT('Y/I',A=1,F12.9,A=1,F12.9,A=1,F12.9,A=1,F12.9)
92      *1,F12.9/1
93      C CALCULULINIEATORILOR DE CORRELATIE
94      C
95      C

```

Anexa A - 4  
(continuare)

```

C   9#    C
96      75 DJ45I=+,N
97      Y(I)=D('')+B(I)*U(I)+B(3)*U(I)*AL
98      75 CONTINUE
99      SIGMAY=_
10      DO 36 T=T,N
11      SIGM=_
12      SIGMA(K)=_
13      DO 36 T=T,N
14      SIG=SIG+(T*(K+I)-Y(I))*I2
15      32 CONTINUE
16      SIGMA(K)=SORT(SIG)/N
17      IF(KT,=0,1) GO TO 24
18      WRITE(*,11) K,SIGMA(K)
19      24 FORMAT(1H ,T3,"SIGMA('I')="I12_,6B)
20      SIGM=SIGM+SIGMA(K)
21      32 CONTINUE
22      SIGM=N*SIGM/T/N
23      SJM=SIGHM
24      WRITE(1A,JM+2) SIGHM,AL
25      172 FORMAT(T3,"J="I2,F2.6," AL="F0.3)
26      24 CONTINUE
27      GO TO 1
28      SJM=SJM()
29      UD=30-T*PI
30      IF(SJM()GT,SJM) GO TO 34
31      SJM=SJM()
32      M=1
33      29 CONTINUE
34      WRITE(1,33) XXX(M),YYY(M),ZZZ(M),ALT(M),FERT(M),SJM
35      75 FORMAT(1H ,T2 ,1CHARISTICA STATICA ESTIMATA/T2 ,4"(=)
36      /T1 ,F2,M," "+I2,M," "+U ,"+F1,I2,M," "+U000,F2,M/" )
37      T1="SF REGLINT1",F2,M," J="I2,F2,M/" )
38      STOP
39      END

```

CD120000 - 7/7/83 48.75-13

## **PROGRAMUL DE CALCUL REZSTATIC**

Apexia A-5

B I B L I O G R A F I E

1. Abdulaev N.D., Petrov Iu.P., Sintez reguliatorov v<sup>z</sup>bjudennia dlia sinhronnykh mašin s uchetom sluchainovo haraktera nagruzki. Elektricestvo, U.R.S.S., nr.1, 1981, pag.64-65.
2. Albert Hermina s.a., Alimentarea cu energie electrică a întreprinderilor industriale. Edit.Tehnică, Bucureşti, 1978.
3. Albert Hermina, Pierderi de putere și energie în rețelele electrice. Determinare. Măsuri de reducere. Edit.Tehnică, Bucureşti, 1984.
4. Aldred A.S., Electronic analogue computer simulation of multi-machine power system networks. Proc. of IEE, Part A, Tom 109, fasc.45, iunie 1962, pag.195-202.
5. Aldred A.S., Schakshaft G., The effect of a voltage regulator on the steady-state and transient stability of a synchronous generator. Proc.of IEEE, Part.A, Tom 105, fasc.22, 1958, pag. 420-427.
6. Altalib H.Y., Krause P.C., Dynamic equivalents by combination of reduced order models of system components. PAS-95, nr.5, 1976, pag.1534-1544.
7. Andronescu P., Bazile electrotehnicii, vol.II, Edit.Didactică și Pedagogică, Bucureşti, 1973.
8. Angot A., Complemente de matematici pentru inginerii din electrotehnica și din telecomunicații. Trad. din lba.franceză. Edit. Tehnică, Bucureşti, 1965.
9. Anisimova N.D., Ob ucte harakteristic nagruzok pri oprodelenii propusknoi sposobnosti elektroperedaci sverhvisokovo napriajenia. Elektricestvo, U.R.S.S., nr.6, iunie 1973, pag.6-9.
10. Anisimova N.D., Seluhina T.I., Issledovaniie staticeskoi ustoicivosti predelinh po mognosti regimov elektricskikh sistem. IAN, En.,tr., Anul 11, fasc.1, 1973, pag.54-65.
11. Antoniu I.S., Bazile electrotehnicii, vol.I, Edit.Didactică și Pedagogică Bucureşti, 1974.
12. Arie E., Arie A., Relativ la criteriile practice de caleul a stabilității statice. Bul.I.P.B., Bucureşti, Tom 18, fasc.3-4, iul.-dec., 1956, pag.281-299.
13. Arie E., Ionescu S., Aproximations introduites par les schémas équivalents dans l'étude des régimes permanents et de la stabilité statique des systèmes électriques. Rev. Roumain Electr.-Energ., Bucureşti, Tom 2, fasc.1, 1957, pag.709-745.

14. Arie E., Nicolae P., Comparatie intre diferite tipuri de scheme echivalente. Energetica, Bucuresti, Tom 6, fasc.1, ian.1958, pag.268-274.
15. Azarev D.I., Matematicheskoe modelirovanie elektriceskikh sistem. Gosenergoizdat, U.R.S.S., 1962.
16. Azarev V.D.I. s.a., Vliyanie sposobov predstavleniya nagruzok na rasceti staticeskoj ustoicivosti slojnih ener-gosistem. Elektriceskie stantii, U.R.S.S., Tom 43, fasc.10, oct.1972, pag.13-16.
17. Barbier C., s.a., Utilisation des calculatrices numeriques pour l'étude de la stabilité des réseaux de transport d'énergie. R.G.E., nr.7-8, iul.-aug.1968, pag.719-736.
18. Barbier C., s.a., Tentative classification and terminolo-gies relating stability problems of power systems CIGRE. Electra, nr.56, ian.1979, pag.57-76.
19. Barinov V.A., Issledovaniie statisceskoj ustoicivosti elek-troenergeticskikh sistem po velicine i otenga sobstvennih znachenii matriç. I.A.N.; En.,tr.,nr.3, 1976, pag.21-31.
20. Bercovici M., Arie A., Poetă A., Retele electrice. Calcu-lul electric. Edit.Tehnică, Bucuresti, 1974.
21. Berg G.J., Power system load representation. Proc. of IEE, vol.120, fasc.3, martie 1973, pag.344-347.
22. Berg G.J., System and load behaviour following loss of ge-neration. Experimental results and evaluation. Proc. of IEE, vol.119, fasc.10, oct.1972, pag.1483-1486.
23. Birolini A., Clemen I., Simulation sur l'ordinateur ana-logique d'une instalation hydroélectrique en marche in-solée sur charge chimique symétrique. Bul:ASE, Tom 63, sept.1972, pag.1147-1156.
24. Borisov P.I., Rascioti regimov elektriceskie setei s uscijotom zavistnosti moscinosti nagruzok ot napriajeniia. Izv. VUZ Energ., fasc.6, iunie 1959, pag:190-199.
25. Brameiller A., Deméad J.K., Some improved methods for di-gital network analysis. Proc. of IEE, Tom 109, fasc.43, febr.1962, pag.109-116.
26. Brandwajn W., Representation of magnetic saturation in the synchronous machine model in a electromagnetic trans-iénts program. PAS-99; nr:5, 1980, pag.1996-2002.
27. Braşovan M., AcŃionări electromecanice. Edit.Didactică și Pedagogică, Bucuresti, 1967.
28. Brereton D.S., s.a., Representation of Induction Motor Loads During Power-System Stability Studies. PAS-76, part.III, aug.1957, pag.451-461.

29. Brown H.E., s.a. A study of stability equivalents, PAS-88, nr.3, 1969, pag.200-207.
30. Burunge P.E., Barton I.H., Investigation of a power synchron system analysis and experimental results. PAS-89, nr.4, apr.1970, pag.633-637.
31. Buta A., Energetica generală. Litografia I.P.T.V.F., Timisoara, 1983.
32. Cazacu C., Jucan T., Programarea în limbajul FORTRAN .Calculatorul Feix C 256. Edit.Junimea, Iași ,1978.
33. Câmpeanu A., Mașini electrice. Edit.Scrisul Românesc,Craiova, 1977.
34. Chang A.A., Adibi M.M., Power system dynamic equivalents, PAS-89, nr.5, 1970, pag.1737-1744.
35. Chari M., Csendes E.J., Load characteristics of synchronous generators by finite element method. PAS-100, nr.1, ianuarie 1981, pag.1-13.
36. Cioc I. s.a. , Mașini electrice. Indrumar de proiectare,vol.II. Edit.Scrisul Românesc, Craiova, 1981.
37. Ciucu G., Craiu V., Introducere în teoria probabilităților și statistică matematică. Edit.Didactică și Pedagogică, București, 1971.
38. Ciucu G., Craiu V., Teoria estimării și verificarea ipotezelor statistice.Edit.Didactică și Pedagogică, București, 1968.
39. Colombo A. s.a., Determination of the dynamic response of electrical system by means of a digital program.PAS-87, nr.6, 1968, pag.1411-1418.
40. Concordia C., Ihara S., Lead representation in power system stability studies, PAS -101, nr.4, 1982, pag.969-977.
41. Concordia C., s.a., Definition des termes usuels concernant la stabilité des machines synchrones interconnectées. CIGRE 1966, Complement au rapp.334.
42. Constantinescu J., Homos M., Metode practice de calcul pentru studiul stabilității statice a sistemelor electroenergetice complexe. Energetica, București, Tom 25, fasc.9, sept. 1977, pag.328-336.
43. Colectiv RSHE-IPTVT, Criterii îmbunătățite privind reglajul tensiunii și puterii reactive în sistem cu aplicatie la îmbunătățirea reglajului de tensiune în modul Portile de Fier. Contract de cercetare științifică IPTVT-nr.33/1978-1981, beneficiar CHE Portile de Fier.
44. Clarke Edith, Analiza circuitelor sistemelor electroenergetcice. Trad. selectivă din Iba.englleză (S.U.A.) Edit.Tehnică, București, 1973.

45. Crețu G., Aspects privind alimentarea cu energie electrică a marilor consumatori, cu referire specială la consumatorii cu socuri. Energetica, București, tom 17, fasc.1, ian.1969, pag.29-38.
46. Crișan O., s.a., Considerații privind determinarea caracteristicilor statice ale consumatorilor complecși din cadrul sistemelor electroenergetice. Bul.I.P.T.V.T.-El., tom 24(38) fasc.2, iul.-dec. 1979, pag.138-150.
47. Crișan O., Sisteme electroenergetice. Edit.Didactică și Pedagogică, București, 1979.
48. Crișan O., Ecuațiile de funcționare pentru mașina sincronă liniarizată. Sistemizarea și ordonarea convențiilor și ipotezelor. Ecuațiile în coordonate de fază. Electrotehnica-Automatică, București, Tom 24, fasc.7, oct.1976, pag. 217-231.
49. Dandeno P.L., Kundur P., Simulation of the non-linear dynamic response of interconnected synchronous machines; Part II, Network solution procedures and comparisons of particular computational methods , PAS-91, nr.5, sept./oct. 1972, pag.2069-2075.
50. Dandeno P.L., Kundur P., A non-iterative transient stability program including the effects of variable load-voltage characteristics. PAS-92, nr.5, 1973, pag.1478-1484.
51. Dandeno P.L. s.a., Effects of synchronous machine modeling in large scale system studies. PAS-92, nr.2, 1973, pag. 574-582.
52. Danilevici Iu.P.s.a., Parametrii mașinilor de curent alternativ.. Edit.Tehnică, București, 1968.
53. Despotovich S.T., A fast procedure for testing steady state stability by the method of small oscillations. Simpozionul de analiză și sinteză rețelelor electrice, Comunicări, vol.II, București, oct.1967, lucrarea 5.2.
54. Dimo P., Analiza nodală a sistemelor electroenergetice. Edit.Acad.R.S.R., București, 1968.
55. Dimo P., s.a., Calculul și proiectarea sistemelor electroenergetice, Edit.Tehnică, București, 1971,
56. Dimo P., Importanța caracteristicii sarcinii în cercetarea problemelor de stabilitate statică. Energetica, București, Tom 5, fasc.2, febr.1957,pag.70-71.
57. Dimo P., Analiza sistemelor electroenergetice prin separarea nodurilor și utilizarea curentilor de scurtcircuit. Edit.Tehnică, București, 1959.
58. Dimo P., Separarea nodurilor cu utilizarea curentilor de scurtcircuit, metodă unitară pentru analiza sistemelor electroenergetice; analizorul grafic. Studii și cercetări de energetică, București, Tom 8, fasc.3, 1958,pag.451-476.

59. Dimo P., Modele REI și indicatori de stare. Sisteme energetice interconectate. Edit. Academiei RSR, București, 1979.
60. Dimo P., Separarea nodurilor cu utilizarea curentilor de scurtcircuit. Metodă unitară pentru analiza sistemelor electroenergetice. Partea II-a. Stabilitatea statică și reglaj. Studii și cercetări de energetică, București, Tom 9, nr.2, 1959, pag.287-303.
61. Dimo P., Schemă radială, structură simplă tip, reprezentativă. Studii și cercetări de energetică și electrotehnică, București, Tom 14, fasc.1, 1964, pag.203-208.
62. Dimo P., Etude de la stabilité statique et du réglage de la tension d'un point de jonction d'un réseau, par la méthode de l'analyse graphique associée aux calculateurs numériques. R.G.E., Tom 70, fasc.11, nov.1961, pag.552-556.
63. Dimo P., O "filozofie" nouă în cercetarea stabilității sistemelor energetice în timp real. Energetică, București, Tom 21, fasc.1, ian.1973, pag.28-30.
64. Dimo P., Revoluție în conceptele cercetării sistemelor electroenergetice. Energetică, București, Tom 25, fasc.8, aug. 1977, pag.267-279.
65. Dommel H.W., Sato N., Fast transient stability solutions, PAS-91, nr.4, 1972, pag.1643-1650.
66. Dordea T., Mașini electrice. Edit.Didactică și Pedagogică, București, 1970.
67. Dordea T., Asupra ecuațiilor mașinilor electrice de curenț alternativ. Studii și cercetări de energetică și electrotehnică, București, Tom 16, fasc.1, 1966, pag.17-31.
68. Dougherty J.W., Minnich S.M., Finit element modeling of large turbine generators. Calculations versus load tests data. PAS-100, nr.8, august 1981, pag.3921-3929.
69. Drăgan C., Analiza consumului propriu tehnologic și a posibilităților de minimizare a acestuia pe LEA 400 kV Brașov-Gutinaș. Simpozionul Național al rețelelor electrice, ediția III-a.Timișoara, 1984, vol.III, pag.50-58.
70. Edelmann H., Calculul electric al rețelelor interconectate. Trad. din limba germană. Edit.Tehnică, București, 1966.
71. Eremin M., s.a., Analiza asistată de calculator a regimurilor sistemelor electroenergetice. Edit.Tehnică, București, 1985.
72. Fedorova I.A., O vliianie nekotorikh himiceskih privedstv na staticeskie karakteristiki uzlov nagruzki energheticeskikh sistem. Izv. VUZ Energ., fasc.7, iulie 1964, pag.88-91.
73. Fedorova I.A., Vliianie nekotorikh vidov mestnoi nagruzki na ustoyivostи dalinih elektroperekadaci. Elektricestvo, Moscova, fasc.4, apr.1954, pag.7-10.

74. Fokin Iu.A., Arsamakov I.I., Experimentalnoe issledovanie nagruzok krupnykh gorodskikh podstantii s kompleksnym sostavom potrebiteli. Elektricestvo, Moscova, fasc.10, oct.1972, pag.23-28.
75. Fokin Iu.A., Rascetnie nagruzki gorodeskikh elektriceskikh setei napriajeniem viye 1000 V. Elektricestvo, Moscova, fasc.2, febr.1968, pag.45-52.
76. Fred C., s.a., Power system static state estimation Part II. Approximate model. PAS-89, fasc.1, ian.1970, pag.125-130.
77. Frowd R.I., Podmore R., Syntheses of dynamic load models for stability studies. PAS-101, fasc.1, ian.1982, pag.127-135.
78. Funk G., Die Spannungsabhängigkeit von Drehstromlasten. Elektrizitätswirtschaft, Frankfurt am Main, Tom 68, fasc.8, aug.1969, pag.276-284.
79. Gellings C.W., Taylor B.W., Electrical load curve syntheses. A computer simulation of an electrical load shape. PAS-100 fasc.1, ian.1981, pag.82-91.
80. Gheorghe O. s.a., Aspecte noi ale cercetării stabilității sistemelor cu ajutorul calculatoarelor cifrice. Studii și cercetări în energetică. București, nr.4, 1971, pag.315-331.
81. Gherman G., Cîrnu I., Aproximarea cîrbelor de magnetizare cu funcții spline de ajustare. Electrotehnica, București, nr.1, ian.1981, pag.13-16.
82. Goruskin, Efectuarea calculelor energetice cu mașini de calcul. Edit.Tehnică, București, 1963.
83. Gougeuil J.C., Baudry J.C., Etude de la stabilité de fonctionnement des fortes charges asynchrones R.G.E., Tom 73, fasc.7-8, iul.-aug., 1964, pag.387-407.
84. Gougeuil J.C., Maury F., Analyse des influences de différents facteurs sur la stabilité des réseaux. R.G.E., Tom 83, fasc.3, mart.1974, pag.161-169.
85. Gove R.M., Geometric construction of the stability limits of synchronous machines. Proc. of IEE, tom 112, fasc.5, mai 1965, pag.977-985.
86. Groza,L., s.a., Studiu preliminar privind stabilirea treptelor de reducere a nivelor de tensiune în sistem în vederea scăderii puterilor electrice absorbite. Lucrare ISPE nr.8026, București, apr.1973.
87. Groza L., Aplicarea unui criteriu simplificat pentru determinarea stabilității statice a sistemelor energetice. A 5-a sesiune de comunicări tehnico-științifice ISPE, București, 1965, pag.30-37.
88. Groza L., Introducerea unor mărimi și indicări caracterisind starea de funcționare a unui sistem electroenergetic. Teză de doctorat, Institut Politehnic București, 1969.

89. Groza L., Formule practice pentru calcule de rețele electrice cu referire specială la variațiile de tensiune. Energetică, București, Tom II, fasc.8, aug.1963, pag.416-421.
90. Groza L. și a., Contribuții la îmbunătățirea condițiilor de funcționare a sistemului electroenergetic din punct de vedere al stabilității și reglajului. Bul.șt. și tehnic al sesiunii ISPE, București, martie 1969.
91. Groza L., Marinescu S., Comportarea rețelelor electrice la diverse tipuri de perturbații. Bul.șt. și tehnic al sesiunii ISPE, București, martie 1969.
92. Groza L., Urmărirea funcționării agregatelor mari în sistemul electroenergetic, cu referire specială la stabilitatea statică. Energetică, București, tom 18, fasc.9, sept.1970, pag.383-387.
93. Gurevici Iu.E., Libova L.E., Ob opredelenii harakteristik nagruzki no napriajenim metodom pasivnogo eksperimenta. Elektricestvo, Moscova, fasc.2, febr.1972, pag.21-24.
94. Guseinov F.G., Rahmanov N.R. Ekvivalentirovanie nagruzok elektriceskikh sistem pri issledovaniyah staticeskoi i dinamiceskoi ustoicivosti. Elektricestvo, Moscova, fasc.6, iunie 1973, pag.14-17.
95. Hammos I.J., Quatrième conference internationale sur l'étude par ordinateurs des réseaux électriques, Grenoble 1972. R.G.E., tom 82, fasc.2, febr.1973, pag.116-121.
96. Hammos T.J., Winning D.J., Comparison of synchronous machine models in the study of transient behaviour of electrical power systems, Proc. of IEE nr.10, 1971, pag.1442-1458.
97. Hannakam L., Nachbildung der Asynchronmaschine mit einachsigen Läufer auf dem elektronischen analogrechner. Archiv für Elektrotechnik, Berlin, Tom 49, fasc.6, iunie 1965, pag. 365-375.
98. Heinrich I., Partea electrică a centralelor și stațiilor electrice, vol.II, Litografia I.P.Timișoara, 1973.
99. Hore R.A., Metode moderne de calcul și proiectare a sistemelor electrice. Trad. din limba engleză, Edit.Tehnică, București, 1970.
100. Hortopan E., Aplicații ale mașinilor de calcul în tehnica curentilor tari. Electrotehnica, București, Tom 8, fasc.4, aprilie 1960, pag.116-124.
101. Iacobescu Gh. și a., Rețele și sisteme electrice. Edit.Didactică și Pedagogică, București, 1979.
102. Iliceto F., Capasso A., Dynamic equivalents of asynchronous motor loads in system stability study. PAS-93, nr.5, 1974, pag.1650-1659.
103. Iliev S., Vliianie sposoba uceta nagruzki na dinamiceskuiu usteicivosti slojnih energeticskikh sistem. Elektricestvo, U.h.S.S., nr.6, iunie 1974, pag.76-79.

104. Iliev S., Opitno opredeliane na staticesnite karakteristiki na komplexen tovar pri nasi usloviia. Energhetika, R.P.Bulgaria, Tom 22, febr.1971, pag.10-13.
105. Iliseva P.N. s.a., Utilizarea CEN pentru calculul stabilității sistemelor energetice. Simpozionul de analiza și sinteza rețelelor electrice, Comunicări vol.II, București, oct.1967, lucrarea 5.6.
106. Ionescu S. s.a. Un nou algoritm de calcul pentru determinarea regimurilor staționare de funcționare a sistemului energetic cu ajutorul calculatoarelor electronice cifrice. Studii și cercetări de energetică și electrotehnică, București, Tom 17, fasc.2, 1967, pag.399-415..
107. Ionascu S., Ungureanu B., Metodă numerică pentru studiul stabilității statice a sistemelor electroenergetice complexe. Energetica, București, Tom 15, fasc.4, spr.1967, pag.161-169.
108. Ionescu S., Caracteristici de funcționare ale motorului asincron la tensiuni aplicate variabile și frecvență constantă pentru anumite valori ale cuplului electromagnetic. Studii și cercetări de energetică, București, Tom 9, fasc.2, 1959, pag.337-347.
109. Ionescu S., Reprezentări nodale pentru analiza stabilității statice cu considerarea influenței reglajului de tensiune. Energetica, București, Tom 18, fasc.9, sept.1970, pag. 390-396.
110. Ionescu T., Baciu A., Rețele electrice de distribuție. Edit.Tehnică, București, 1981.
111. Ionescu G.T., Neagoe Marina, Determinarea pe bază de măsurători a caracteristicilor graficelor de sarcină la consumatori de energie electrică din mediul urban. Simpozionul Național de rețele electrice. Ediția III, Timișoara, 1984, vol.III, pag.9-21.
112. Iordănescu I. s.a., Algoritm de calcul al stabilității dinamice a sistemelor electroenergetice cu ajutorul mașinilor electronice cifrice. Energetica, București, Tom 15, fasc.2, febr.1967, pag.65-72.
113. Iordănescu I., Metode matematice moderne pentru studiul sistemelor energetice și rezolvarea lor cu ajutorul calculatoarelor analogice și al instalațiilor hibrid. Energetica, București, Tom 15, fasc.1, ian.1967, pag.14-22.
114. Iordănescu I., Mijloace de analiză a sistemelor energetice de la masa de curent continuu la masina electronică cifrică. Posibilitățile lor în tehnica actuală. Simpozionul de analiza și sinteza rețelelor electrice, București, oct.1967, art.4.3.
115. Itoafa Al., Comparaties între metoda "analizei grafice" și metodele clasice cunoscute în problemele de stabilitate statică. Studii și cercetări de energetică, București, Tom 10, fasc.3, 1959, pag.505-528.

116. Ivașcu Cornelia, Modelarea caracteristicii consumatorilor Referat susținut în ședința colectivului de catedră al cătrei de Utilizările energiei electrice de la Facultatea de Electrotehnica, Timișoara, 25 nov.1968.
117. Ivașcu Cornelia, Influența caracteristicii consumatorilor asupra stabilității statice a sistemelor electroenergetice. Referat susținut în ședința colectivului de catedră al Cătrei de Utilizările energiei electrice de la Facultatea de Electrotehnica, Timișoara, 11 dec.1969.
118. Ivașcu Cornelia, Considerații privind studiul influenței caracteristicii consumatorilor asupra stabilității statice a sistemelor electroenergetice. Bul.I.P.T.V. El. Timișoara, Tom 15(29), fasc.1, ian.-iunie 1970, pag.123-130.
119. Ivașcu Cornelia, Reprezentarea sarcinii în studiul de stabilitate statică a sistemelor electroenergetice. Lucrare comunicată la sesiunea științifică jubiliară "60 de ani de învățămînt electrotehnic în Iași", 21-23 dec.1972.
120. Ivașcu Cornelia, Caracteristicile statice ale sarcinii. Încercări efectuate în județul Timiș. Energetică, București, Tom 21, fasc.7, iulie 1973, pag.343-348.
121. Ivașcu Cornelia, Moga M., L'effet de réglage de la puissance du consommateur complexe en fonction de la tension déterminé à base des caractéristiques statiques expérimentales. Bul. IPTV El. Timișoara, Tom.30(44), 1985, pag.61-64.
122. Ivașcu Cornelia, Moga M., Milea L., Identificarea caracteristicilor statice de putere funcție de tensiune ale unor consumatori complecsi din sistemul electroenergetic. Lucrările sesiunii științifice a Institutului Politehnic Iași, mai 1986, vol.13, pag.249-255.
123. Ivașcu Cornelia, Luștrean B., Effects of load characteristics on the static stability of power systems. Sub tipar la Bul. IPTVT El. Timișoara
124. Ivașcu Cornelia, O formă simplă de exprimare a caracteristicii statice putere funcție de tensiune a motorului asincron. Sub tipar
125. Jdanov P.S., Stabilitatea sistemelor electrice. Trad. din lba.rusă. Edit.Energetică de stat, București, 1952.
126. Jukov L.A., Halilov Ci.S., Opredelenie zapasov ustoicivosti elektroperedaci pri učete sluchainih variacij nagruzki sistemî. JAN, En.tr.fasc.6, nov.-dec.1967, pag.50-55..
127. Kalpathi R.D., Krishna-Murthy M.R., Polyphase induction machine with a slotted ferromagnetic rotor II-Analyses. PAS-86, fasc.7, iulie 1967, pag.844-852..
128. Kaminski A., Stabilität des elektrischen Verbundbetriebs, VEB Verlag Technik, Berlin, 1959.

129. Karasev E.D., K analiza staticeskoi ustoicivosti elektriceskikh sistem po kriterii Mihailova. IAN En.tr. nr.3, 1981, pag.47-54.
130. Kimbark Ed.W., Power System Stability , vol.I, John Wiley, New York, 1964.
131. Kitusin V.G., Staticeskaia ustoicivosti uzlov nagruzok. Elektricestvo, URSS, fasc.4, aprilie 1968, pag.21-23.
132. Kitusin V.G., K issledovaniu staticeskoi ustoicivosti elektriceskikh sistem. IAN, En.tr., tom 5, fasc.3, mai-iunie 1967, pag.77-83.
133. Konevalov Iu.S., Kughelevicius I.B., O vremenjnosti opredelenia staticeskikh harakteristik nagruzki metodami matematiskoj statistiki. Elektricestvo, URSS, fasc.3, iulie 1968, pag.11-13.
134. Kostenko M., Piotrovski L., Machines électriques, tom II, Machines à courant alternatif, Edit.Mir, Moscova, 1969.
135. Kovacs K.P., Analiza regimurilor tranzitorii ale masinilor electrice, Trad din lba maghiară, Edit.Tehnică, Bucureşti, 1980.
136. Kozlov B.K., Matematiskaia modeli dlia opredelenia elektronotrebleniya upromislenimi predpriatiami. Promislenaja energetika, URSS, nr.5, mai 1973, pag.42-44.
137. Kozlovski A., s.a.. Demand/Voltage Response at Chessington Supergrid Point, Sept.1972.
138. Krishnamurt G. s.a., Optimisation of Speed-Governor Parameters in the presence of Pseudorandom Load Disturbances. PAS-89, nr.6, iulie-august 1970, pag.1242-1247.
139. Kucere M.J., Les repères tournants dans l'analyse temporelle des machines électriques, R.G.E., Tom 61, fasc.7, iulie 1952, pag.325-338.
140. Kundur P., Simulation of the non-linear dynamic response of interconnected synchronous machines. PAS-91, nr.5, sept./ oct.1972, pag.2064-2069.
141. Kuppurajulu A., Flangoran S., Simplified Power Systems models for dynamic stability studies. PAS-90, nr.1, ian./ febr.1971, pag.11-22.
142. Lediashkin D.P., Makarina M.B., Utocinenie uslovii ustoicivosti elektriceskikh sistem. IAN En.tr., Anul 10, fasc.1, 1972, pag.141-145.
143. Leonhard A., Die Asynchronmaschine bei Laständerungen. Elektrotechnik und Maschinenbau", Viena, T.82, fasc.1, ian.1965, pag.3-7.

144. Litskens I.V. Opredelenie zapasa staticeskoi ustoicivosti posleavariinovo rejima i puti ego uvelicheniya. Elektricestvo, URSS, An 89, fasc.4, apr.1969, pag.9-18.
145. Livgut V.S. K rascetu elektriceskikh nagruzok za visimih elektropriemnikov. Elektricestvo, URSS, An 93, fasc.7, iulie 1973, pag.83-85.
146. Lokay H.E., Bolger R.L., Effect of turbine generator representation in system stability studies PAS-84, fasc.10, oct.1965, pag.933-942.
147. Luders G., Discussion 2 of paper "Feasibility of Liapunov functions for the stability analyses of electric power systems, having, up to 60 generators" PAS-91, fasc.3, mai-iunie 1972, pag.1145-1153.
148. Lustrea B., Analiza stabilității statice a generatoarelor sincrone complex interconectate, cu aplicație la funcționarea insularizată a unei zone din sistemul electroenergetic național. Teză de doctorat. Institutul Politehnic "Traian Vuia" Timișoara, 1985.
149. Lustrea B., Aspecte privind aprecierea stabilității statice a sistemelor electroenergetice complexe. Conferința Națională de Electrotehnica și Electroenergetică, Timișoara, 1982, vol.12, pag.169-180.
150. Lustrea B., Calculul exact al răspunsului SEE la mici perturbații ale mărimilor de intrare. Simpozionul Național al Rețelelor electrice, ediția III, Timișoara, 1984, vol.I, pag.97-101.
151. Magnien M., Rapport spécial du groupe 32 (conception et fonctionnement des réseaux), CIGRE, 1964.
152. Manea F., Criteriile practice și premissa de calcul ale stabilității statice a sistemelor electroenergetice. Studii și cercetări de energetică, București, Tom 7, fasc.1, 1957, pag.117-123.
153. Manea F., Generator echivalent în studiul stabilității statice a sistemelor electroenergetice. Studii și cercetări de energetică, București, Tom 7, fasc.2, 1957, pag.227-236.
154. Manea F., Studiu comparativ al unei noi căi de apreciere a stabilității statice a sistemelor electrice. Studii și cercetări de energetică, București, Tom 5, fasc.3-4, 1955, pag. 423-433.
155. Manea F. s.a., Analiza criteriilor practice și studiul stabilității statice a sistemelor electroenergetice. Simpozionul de analiza și sinteza rețelelor electrice, București, oct.1967, vol.II, lucrarea 5.1.
156. Manea F., Condiții limită de stabilitate statică a sistemelor electroenergetice. Studii și cercetări de energetică, București, Tom 6, fasc.3, 1956, pag.330-346..

157. Marcovici I.M., Sisteme energetice. Regimuri de funcționare. Trad. din limba rusă, Edit. tehnică, București, 1970.
158. Marport E.I., Ornov V.G., Nekotoriye voprosy eksperimenta- linovo i raschetnovo opredeleniya reguliruiusavovo efekta nagruzki po ciastoti i napriajenim. Elektriceskie Stanții, URSS, fasc.1, ian.1969, pag.32-34.
159. Melnikov N.A., Elektriceskie seti i sistemi. Edit. Energia, Moscova, 1969.
160. Milițescu I., Petroianu A., Determinarea experimentală a unor parametri caracteristici ai sistemului energetic na- tional. Energetică, București, Tom XIIII, fasc.12, dec.1965, pag.599-606.
161. Miron R., Introducere vectorială în geometria analitică plană, Edit. didactică și pedagogică, București, 1970.
162. Moga M., Ivașcu Cornelia, Estimarea expresiei caracteris- ticilor statice de putere funcție de tensiune ale consumator- rilor complecși pe baza caracteristicilor determinate expe- rimental. Simpozionul Național al rețelelor electrice, edi- ţia III-a, 25-26 oct.1984, Timișoara, vol.I, pag.90-96.
163. Moga M., Ivașcu Cornelia, Reprezentarea caracteristicilor statice de putere funcție de tensiune ale consumatorilor complecși prin expresii liniare. Sesiunea științifică a Institutului Politehnic Iași, mai 1986, vol.13, pag.257-262.
164. Moraite G., Probleme privind capacitatea maximă de trans- port a rețelei românești de 220 (400)kV. Energetică, Bucu- rești, Tom XV, fasc.1, ian.1967, pag.23-27.
165. Moraite G.s.a., Probleme privind continuitatea în funcțio- nare a grupurilor generatoare de putere unitară mare. Ener- getica, București, Tom XVIII, fasc.2, febr.1970, pag.80-86.
166. Moroskin Iu.V., K issledovaniia staticeskoi ustoicivosti slojnih elektriceskikh sistem. IAN, En.tr., Anul 10, fasc.2, 1972, pag.44-50.
167. Morozovskii V.T., Ob ekvivalentirovaniî elektroenergetics- kih sistem, obladaiuscich polinoi ili ciasticinoi simetriei. IAN, En.tr., Anul 8, fasc.5, 1970, pag.19-27.
168. Moussa H.A., Yag Nau Yu., Dynamic interaction of multi-ma- chine power system and excitation control, PAS-99, nr.4, 1974, pag.1150-1158.
169. Nedelcu V., Regimuri de funcționare ale mașinilor de curent alternativ. Edit.Tehnică, București, 1968.
170. Novac I., Mașini electrice Edit. IPTV Timișoara, 1969.
171. Novac I., s.e. Mașini și acționări electrice. Edit. Didactică și Pedag., București, 1982.

172. Novas V.I. s.a. Staticeskai ustoychivosti uzla nagruzki. Elektroenergetika. Izd. vyschieskola, Minsk, Tom 1, 1971, pag.43-46.
173. Ohyama T., s.a., Voltage dependence of composite loads in power systems. PAS-104, nr.11, nov.1985, pag.3e64-3e73.
174. Okamura M. s.a., A new power Flow model and solution method including load and generator characteristics and effects of system control devices. PAS-94, nr.3, 1975, pag.1o42-1o50.
175. Palaniswamy K.A., s.a., Optimum load shedding taking into account of voltage and frequency characteristics of loads. PAS-104, nr.6, iunie 1985, pag.1342-1348.
176. Park G.L., Colony R., Voltage reduction as a mean of reducing distribution loads, PAS-96, fasc.2, februar 1977, pag.628-633.
177. Pelissier P., Les reseaux d'énergie electrique, vol.I. Les aspects techniques du services Dunod, Paris, 1971.
178. Podmore R.M., Identification of coherent generators for dynamic equivalents, PAS-97, nr.4, aprilie 1978, pag.1344-1354.
179. Poetă A.s.a., Transportul și distribuția energiei electrice. Edit.Didactică și Pedagogică, București, 1981.
180. Pomirleanu M., Bejuscu L., Utilizarea unor relații succesiv reduse pentru studii de stabilitate statică în sisteme electroenergetice complexe. Prima conferință a energeticienilor din România; 17-19 oct.1974, București, secția IV-a.
181. Pop E., Chivu M., Măsuri electrice și magnetice. Litografia Institutului Politehnic "Traian Vuia" Timișoara, 1969.
182. Popa T. s.a., Avarii în instalațiile energetice. Edit.Tehnică, București, 1978.
183. Portela C., Representation tensorielle du comportement incremental des réseaux électriques. Quelques applications. Simpozionul de "Analiza și sinteza rețelelor electrice", București, oct.1967.
184. Potolea E., Calculul regimurilor de funcționare ale sistemelor electroenergetice. Edit.Tehnică, București, 1977.
185. Potolea E., Calculul regimului permanent al sistemelor electrice. Edit.Tehnică, București, 1967.
186. Potolea E., Estimarea regimului optim al unui sistem electroenergetic. Conferință Națională de Electrotehnica și Energetică, Timișoara, 1982.
187. Price W.W., Roth B.A. Large scale implementation of model dynamic equivalents, PAS- 100, nr.8, 1981, pag.3811-3817.
188. Radulescu R., Gheorghiu N., Baza energetică a electrificării. Industria românescă 1944-1964, Edit.Academiei RSR, 1964, pag.255.

189. Radulescu R., Opaschi M., Proiectarea hidrogeneratoarelor și a motoarelor sincrone. Edit.Tehnică, București, 1981.
190. Rudnițki M.P., Opredelenie criticeskikh rajimov elektronegryfeticheskikh sistem. IAN ,En.tr., Anul 11, fasc.2, 1973, pag.57-65.
191. Rumisiski L.Z., Prelucrarea matematică a datelor experimentale. Edit.Tehnică, București, 1974.
192. Shackshaft G. s.a., Demand Responses to Changes of Voltage. Report on South Wales System Tests, Liverpool, System Technical, Planning Report nr.EL-ST/1/70 din 27 apr.1970.
193. Shackshaft G., Symons, O.C. , General purpose model for power system load, Proc. of IEE, vol.124, nr.8, 1977, pag.715-723,
194. Shackshaft G., Digital solution of power system steady state and transient stability. Proceedings Queen-Mary College, Conference 1963, Documentul 5.3.
195. Slemon G.R., Analytical models for saturated synchronous machines. PAS-90, nr.2, 1971, pag.409-417.
196. Siromiatnikov I.A., Regimurile de functionare ale motoarelor asincrone. Trad. din lba rusă, Edit.Tehnică, București, 1952.
197. Skopintsev V.A. s.a, Ob odnom primenenii nelineinovo D-razieniiia k analiza staticeskoi ustoychivosti elektricheskikh sistem, IAN, En.tr., Anul 5, fasc.5, 1967, pag.81-85.
198. Soci A., s.a. Evaluarea variatiilor de tensiune. Studii și cercetări de energetică-electrotehnică, Tom 14, fasc.2, București, 1964, pag.255-271.
199. Sokolov N.I., Primenenie analogovih včislitelnih mašin v energheticheskikh sistemah, Moscova, 1964.
200. Stănciulescu F., s.a, Un model matematic al mașinii sincrone pentru calculatorul analogic. Electrotehnica, București, nr.9, sept.1970, pag.330-336.
201. Stroev V.A., Sreedharan B., Steady-state stability of alternators as affected by voltage regulators. Proc. of IEE, Tom 114, fasc.7, 1967, pag.939-945.
202. Tavora C.J., Smith O.M., Characterization of equilibrium and stability in power systems, PAS-91, nr.3, martie 1972, pag.1127-1130.
203. Taylor O.W., Cresap R.L., Real-time power system simulation for automatic generators control. PAS-95, nr.1, ian.1976, pag.375-382.
204. Teodorescu I., Geometrie analitică și elemente de algebră liniară. Edit.Didactică și Pedagogică, București, 1965.

205. Timotin A. s.a., Lectii de bazele electrotehnicii. Edit. Didactică și Pedagogică, București, 1970.
206. Ueda K., Takata S., Effects of induction machine load on power system. PAS-100, nr.5, mai 1981, pag.2555-2562.
207. Ušakov E.I., Faschet aperiodiceskoi ustoicivosti slojnih elektriceskikh sistem s uchetom staticeskikh harakteristik nagruzok. IAN, En.tr., nr.4, 1974, pag.3-16.
208. Van Ness I.E., Respons of large power systems to cyclic load variations. PAS-85, nr.7, iulie 1966, pag.723-727.
209. Vasin V.P., Ocenka ustoicivosti uzla nagruzki pri asinhronnom rejime v energosisteme. I.A.N., Ed.tr., fasc.2, mart-apr. 1967, pag.20-24.
210. Venikov V.A., Aplicarea teoriei similitudinii și modelării în electroenergetică. Trad.din lbă rusă. Edit.Tehnică, București, 1972.
211. Venikov V.A., Hariharan M.V. Ob ustoicivosti nagruzki elektrosistem. IAN, En.Anț., fasc.4, iulie-aug.1962, pag.19-23.
212. Venikov V.A., Stroev G.V., Primecenie matematicheskikh metodov i sdrestv včislitelnoi tekhniki v proektirovaniï i ekspluatacii energheticheskikh sistem. Izdatelstvo Energhifia, Moscova, 1965, pag.154-184.
213. Venikov V.A., s.a. Ekvivalentirovanie uzlov nagruzki energosistem. Izv.VUZ Energhetika, Minsk, fasc.5, mai 1973,pag.3-10,
214. Venikov V.A.s.a., Ocenka staticeskoi ustoicivosti elektriceskikh sistem na osnove resenii uravnenii ustanovivoshchego rejima. IAN, En.tr., anul 9, fasc.5, 1971, pag.18-23.
215. Venikov V.A.s.a., Uchet ogranicenii po staticeskoi ustoicivosti pri rascetah rejimov slojnih elektriceskikh sistem. I.A.N., En.tr., anul 11, fasc.2, 1973, pag.51-56.
216. Venikov V.A.s.a. Primenenie metoda statisticheskikh ispitaniï k analizu ustoicivosti elektriceskikh sistem, Elektricestvo, URSS, nr.1, ian.1969, pag.13-18.
217. Venikov V.A., Feodorov D.A., Analiz povedenia elektriceskikh sistem pri rezkikh izmeneniih nagruzki. Elektricestvo, URSS, nr.4, spr.1959, pag.16-22.
218. Waldyr M., Semlyen A., Effect of load characteristics on the dynamic stability of power systems. PAS-91, nov-dec.1972, pag.2295-2304.
219. Wasynczuk O., Krause P.C., Theory and comparison of reduced order models of induction machines. PAS-104, nr.3, martie 1985, pag.598-606.
220. Wood A.J., Concordia C., An analyses of solid rotor machines Part.IV. An approximate non-linear analysis. PAS-47, nr.1, 1960, pag.26-31.
221. Wood A.J., An analyses of solid rotor machines. Part I.Ope-

- rational impedances and equivalent circuits. PAS.Part. III.B. nr.2, 1960, pag.1657-1665.
222. Yao Nan Yu, Vongsuriys.K., Steady-state stability limits of a regulated synchronous machine connected to an infinite system. PAS-85, fasc.7, 1966, pag.759-766.
223. Yao Nan Yu, El-Sharkwi M.A., Estimation of external dynamic equivalents of a thirteen machine system, PAS-100, nr.3, martie 1981, pag.1324-1332.
224. Zhecenko G.N., Fouad A.A., Steady state stability analysis with frequency response methods. Optimisation of excitation system parameters, PAS-103, nr.4, apr.1984, pag.715-722.
225. Zickman M., Studiul actual al calculelor stabilității sistemelor electroenergetice cu ajutorul calculatoarelor electronice. Energetica, București, tom 17, nr.5, mai 1969, pag.244-251.
226. \*\*\* Lexiconul tehnic român. Edit.Tehnică, București, 1958, vol.3, pag.452.
227. \*\*\* Aplicarea mijloacelor moderne de calcul în proiectarea și exploatarea sistemelor energetice.I.D.T., București, 1964.
228. \*\*\* Procedeu de analiză a condițiilor de stabilitate statică a sistemelor energetice cu utilizarea mașinilor electronice cifrice și analogice. Lucrare ISPE nr.1073, București, oct.1966.
229. \*\*\* Cercetări experimentale pentru precizarea premiselor calculelor de stabilitate statică și a modului de interpretare a rezultatelor acestor calcule pentru luarea unor decizii de exploatare. Studii ICEMENERG, Sectorul SHC, București, iunie 1971.
230. \*\*\* Conferințe și studii recente privind direcțiile principale ale cercetării în SUA, în domeniul sistemelor electroenergetice. Energetica, București, Tom 24, fasc.2, febr.1976, pag.64-70.
231. \*\*\* System load dynamic simulation effects and determination of load constant. IEEE Committee report, PAS-92; nr.2, 1973, pag.600-609.
232. \*\*\* Excitation system models for power system stability studies, IEEE Committee report, PAS-100, nr.7, iulie 1981, pag.3229-3245.
233. \*\*\* Proposed terms and definitions for power system stability, PAS-101, nr.7, iulie 1982, pag.1894-1895.

\* \* \*

LISTA CUPRINZIND ABREVIATIILE TITLURILOR DE REVISTE

Proc.of IEE - Proceedings of IEE - Anglia

PAS - IEEE Transactions on Power Apparatus and Systems-  
SUA

IAN, En.tr. - Izvestia Akademii Nauk SSSR, Energhetika i Trans-  
port - URSS

IAN, En. Aut - Izvestia Akademii Nauk SSSR, Energhetika i Automa-  
tika - URSS

Bul.I.P.B. - Buletinul științific și tehnic al Institutului  
Politehnic București

Bul.IPTV El.- Buletinul științific și tehnic al Institutului  
Politehnic "Traian Vuia" Timișoara, seria Elec-  
trotehnică.

R.G.E. - Revue Generale de l'Electricité- Franța